



industriales  
etsii  
Escuela Técnica  
Superior  
de Ingeniería  
Industrial

# UNIVERSIDAD POLITÉCNICA DE CARTAGENA

Escuela Técnica Superior de Ingeniería Industrial

## Desarrollo y prueba de una aplicación informática para el estudio de secciones en régimen plástico

### TRABAJO FIN DE GRADO

GRADO EN INGENIERÍA MECÁNICA



Universidad  
Politécnica  
de Cartagena

Autor: Alicia Alfonso Martínez  
Director: Manuel Santiago Torrano Martínez

Cartagena, 30 de Mayo del 2018

# Resumen

El presente trabajo tiene como objetivo el diseño e implementación de una aplicación informática que permite caracterizar el comportamiento de una sección de un elemento prismático sometido a flexión pura o compuesta en diferentes regímenes de trabajo para pequeñas deformaciones.

Para ello se hace uso de las hipótesis de la Resistencia de Materiales, con excepción de la hipótesis de comportamiento del material elástico y lineal. Ya que al considerar los regímenes de trabajo elastoplástico y plástico de la sección, las tensiones y deformaciones dejan de ser proporcionales. De manera que el problema a nivel de sección tiene un carácter no lineal. De modo que se ha implementado en lenguaje Matlab las funciones necesarias para resolver los problemas de tensión - deformación a nivel de sección. Debido al carácter no lineal, ha sido necesario implementar esquemas iterativos para poder hacer cumplir las relaciones entre esfuerzos, tensiones y deformaciones que se dan en la sección. Para lo cual se han utilizado métodos numéricos conocidos de resolución de ecuaciones no lineales.

En consecuencia, el programa permite caracterizar el comportamiento de la sección en los regímenes elástico, elastoplástico y plástico mediante los diagramas de Interacción Axil - Momento y Momento - Curvatura, y también, resolver problemas de carácter práctico de estructuras isostáticas.



# Índice general

<b>Resumen</b>	<b>I</b>
<b>Índice general</b>	<b>III</b>
<b>1. Introducción</b>	<b>1</b>
<b>2. Fundamentos Teóricos</b>	<b>2</b>
2.1. Planteamiento del problema . . . . .	2
2.2. Plastificación de una sección sometida a flexión pura . . . . .	6
2.3. Caracterización de una sección sometida a flexión . . . . .	7
<b>3. Descripción del programa</b>	<b>9</b>
3.1. Definición del problema . . . . .	9
3.2. Diseño del programa . . . . .	9
3.2.1. Estructura del programa . . . . .	9
3.2.2. Diseño de los datos . . . . .	11
<b>4. Implementación</b>	<b>13</b>
4.1. Scripts de arranque del programa . . . . .	13
4.1.1. <i>main_modoConsola.m</i> . . . . .	13
4.1.2. <i>main_modoArchivo.m</i> . . . . .	14
4.1.3. <i>main_modoGUI.m</i> . . . . .	14
4.2. Módulo de preproceso y post-proceso . . . . .	14
4.2.1. Módulo de preproceso . . . . .	14
4.2.2. Módulo de post-proceso . . . . .	15
4.3. Módulo de análisis . . . . .	16
4.3.1. <i>main_logic.m</i> . . . . .	16
4.3.2. Generación del modelo . . . . .	16
4.3.3. Acondicionamiento de los datos . . . . .	17
4.3.4. Problemas de flexión . . . . .	18
4.3.4.1. Cálculo de tensiones y deformaciones . . . . .	20
4.3.4.2. Cálculo de esfuerzos . . . . .	24
4.3.4.3. Cálculo del factor de forma . . . . .	27
4.3.4.4. Cálculo del diagrama Momento - Curvatura . . . . .	27
4.3.4.5. Cálculo del diagrama interacción $N'_p - M'_p$ . . . . .	28
4.3.5. Propiedades de las secciones . . . . .	28
4.3.5.1. Propiedades geométricas . . . . .	28

4.3.5.2. Propiedades del material . . . . .	30
4.3.6. Problemas geométricos . . . . .	30
4.3.6.1. Cambio de sistema de referencias . . . . .	31
4.3.6.2. Calcular los puntos de corte entre un polígono y una recta . . . . .	31
4.3.6.3. Calcular la porción de una sección que cae a un lado de una recta . . . . .	32
4.3.7. Resolución de ecuaciones no lineales . . . . .	35
4.3.7.1. Cálculo del intervalo que contiene una raíz . . . . .	35
4.3.7.2. Método de la secante . . . . .	35
4.3.7.3. Método de Brent . . . . .	36
<b>5. Ejemplos de aplicación</b>	<b>38</b>
5.1. Caracterización del comportamiento de una sección . . . . .	38
5.1.1. Definición de la sección . . . . .	38
5.1.2. Diagrama Momento - Curvatura . . . . .	39
5.1.3. Diagrama interacción Axil - Momento . . . . .	39
5.1.4. Plastificación de una sección . . . . .	40
5.2. Casos de aplicación . . . . .	41
<b>6. Conclusiones y trabajos futuros</b>	<b>48</b>
6.1. Conclusiones . . . . .	48
6.2. Trabajos futuros . . . . .	48
<b>A. Guía de Usuario</b>	<b>49</b>
A.1. Descripción del programa . . . . .	49
A.1.1. Desarrollo del programa . . . . .	49
A.1.2. Datos de entrada . . . . .	49
A.1.3. Datos de salida . . . . .	52
A.1.4. Visualización del modelo . . . . .	52
A.1.5. Presentación de los resultados . . . . .	53
A.1.5.1. Gráficos . . . . .	54
A.1.5.2. Generación de un informe . . . . .	55
A.1.6. Guardar resultados . . . . .	57
A.2. Modo E/S por medio de GUI . . . . .	57
A.2.1. Inicio . . . . .	57
A.3. Modo E/S por consola . . . . .	58
A.3.1. Inicio . . . . .	58
A.3.2. Generación del modelo . . . . .	58
A.3.2.1. Generación de la geometría . . . . .	58
A.3.2.2. Generación del modelo del material . . . . .	58
A.3.3. Introducción de los valores propios del problema . . . . .	59
A.3.4. Guardar resultados . . . . .	59
A.3.5. Presentación de resultados . . . . .	59
A.4. Modo E/S por medio de archivo . . . . .	59
A.4.1. Generación del modelo . . . . .	60
A.4.1.1. Generación de la geometría . . . . .	60
A.4.1.2. Generación del modelo del material . . . . .	60

A.4.2. Introducción de los valores propios del problema . . . . .	60
A.4.3. Definir un caso . . . . .	61
A.4.4. Inicio . . . . .	61
A.4.5. Presentación de resultados . . . . .	61
<b>B. Código del programa</b>	<b>62</b>
B.1. Scripts de arranque del programa . . . . .	62
B.1.1. <i>main_modoConsola.m</i> . . . . .	62
B.1.2. <i>main_modoArchivo.m</i> . . . . .	63
B.1.3. <i>main_modoGUI.fig</i> . . . . .	65
B.1.4. <i>main_modoGUI.m</i> . . . . .	66
B.2. <i>presentation/</i> . . . . .	89
B.2.1. <i>entradaDatos</i> . . . . .	89
B.2.2. <i>salidaDatos</i> . . . . .	99
B.3. <i>logic/</i> . . . . .	127
B.3.1. <i>main_logic()</i> . . . . .	127
B.3.2. <i>generacion_Modelo</i> . . . . .	130
B.3.3. <i>acondicionamientoDatos</i> . . . . .	138
B.3.4. <i>problFlexion</i> . . . . .	141
B.3.5. <i>propSeccion</i> . . . . .	176
B.3.6. <i>metNum</i> . . . . .	186
B.3.7. <i>problGeom</i> . . . . .	193
<b>Bibliografía</b>	<b>208</b>

# Capítulo 1

## Introducción

El presente trabajo tiene como objetivo el diseño e implementación de una aplicación informática que permite caracterizar el comportamiento de una sección de un elemento prismático sometido a flexión pura o compuesta en diferentes régimenes de trabajo para pequeñas deformaciones.

Para cumplir este objetivo se sigue el enfoque del libro de 'Plasticidad Abreviada' de Rafael Fernández Díaz-Munío [3]. Donde se siguen considerando las hipótesis simplificativas de la Resistencia de Materiales para elementos prismáticos pero añadiéndole una complejidad al problema al considerar el comportamiento no lineal del material. De esta manera, las tensiones y deformaciones dejan de ser proporcionales y por tanto, deja de ser válido aplicar el Principio de Superposición.

Esta aplicación se ocupa de los problemas a nivel de sección. Por lo que haciendo uso de las expresiones de la Resistencia de Materiales relacionadas con las hipótesis de pequeños movimientos y deformaciones de elementos prismáticos (hipótesis de Navier), teniendo en cuenta la equivalencia estática entre tensiones y esfuerzos, y por último, considerando la relación entre tensiones y deformaciones que ofrecen las leyes constitutivas del material; se ha diseñado el programa y su implementación está escrita en el lenguaje Matlab.

El contenido de los capítulos del trabajo es el que sigue: el Capítulo 2, presenta el marco teórico que ha servido de base para la implementación del programa. En el Capítulo 3 se describe el programa de manera que quedan definidas las tareas de las que se ocupa, así como el enfoque bajo el cual se ha diseñado. En el Capítulo 4 se describe cómo han sido implementadas las funciones del programa. El Capítulo 5 muestra ejemplos de cómo puede ser utilizado el programa. En el capítulo 6 se presentan las conclusiones y se propone una serie de problemas con el que se podría avanzar en el estudio de secciones en régimen elastoplástico y plástico. El Apéndice A ofrece la información necesaria para poder utilizar el programa a nivel de usuario. Finalmente, el Apéndice B muestra el código del programa escrito en Matlab.

# Capítulo 2

## Fundamentos Teóricos

### 2.1. Planteamiento del problema

Se tiene una pieza prismática que está caracterizada por tener la dimensión longitudinal significativamente mayor a las dimensiones de la sección transversal.

Por el Principio de Saint Venant sabemos que *en una pieza prismática las tensiones (y deformaciones) que actúan sobre una sección recta alejada de los puntos de aplicación de un sistema de cargas, sólo dependen de la fuerza  $\vec{R}$  y del momento resultante  $\vec{M}$  de las fuerzas situadas a un lado de la sección.*

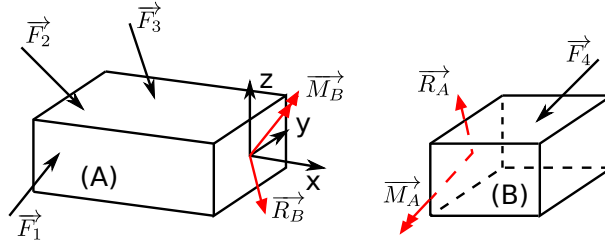


Figura 2.1: Elemento prismático solicitado

$\vec{R}$  y  $\vec{M}$  son las componentes de fuerza aplicadas en el centro de gravedad de una sección. En el caso de la Figura 2.1,  $\vec{R}_A$  y  $\vec{M}_A$  representan las resultantes de las fuerzas que la parte B ejerce sobre A. Además, para que exista equilibrio en la pieza, estos esfuerzos han de cumplir:  $\vec{R}_A = -\vec{R}_B$  y  $\vec{M}_A = -\vec{M}_B$ .

La pieza prismática es un modelo de material continuo en el que se desarrolla un sistema de fuerzas internas continuas,  $d\vec{f}$ , que contrarrestan las fuerzas externas. Se define como tensión ( $\vec{t}$ ) en un punto a la fuerza por unidad de área de la forma:  $\vec{t} = \frac{d\vec{f}}{dS}$ . El vector tensión en un punto del sólido, cuando éste se corta imaginariamente con una superficie  $\Omega$ , es el vector de fuerzas por unidad de superficie que el resto del cuerpo realiza sobre este punto y superficie. Por tanto, los esfuerzos se relacionan con las tensiones por medio de las expresiones:

$$\begin{aligned}\vec{R} &= \int \int_{\Omega} \vec{t} dS \\ \vec{M} &= \int \int_{\Omega} \vec{r} \times \vec{t} dS\end{aligned}$$

Se considera el sistema de ejes cartesiano XYZ con origen en el centro de gravedad de la sección. Los ejes  $y$  y  $z$  son ejes principales de la sección, y el eje  $x$  es tangente a la directriz de la pieza. Las componentes de los esfuerzos respecto al sistema de referencia son:

$$\begin{aligned}\vec{R} &= N \hat{i} + V_y \hat{j} + V_z \hat{k} \\ \vec{M} &= M_x \hat{i} + M_y \hat{j} + M_z \hat{k}\end{aligned}$$

las componentes de tensión respecto al sistema de referencia son:

$$\vec{t} = \sigma_x \hat{i} + \tau_{xy} \hat{j} + \tau_{xz} \hat{k}$$

y el vector posición es de la forma:  $\vec{r} = (0, y, z)$

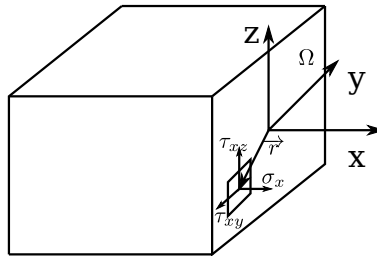


Figura 2.2: Componentes de tensión en un prisma mecánico

De este modo, las relaciones entre las diferentes componentes de tensión y esfuerzo son:

$$N = \int \int_{\Omega} \sigma_x dS; V_y = \int \int_{\Omega} \tau_{xy} dS; V_z = \int \int_{\Omega} \tau_{xz} dS;$$

$$M_x = \int \int_{\Omega} (\tau_{xz} y - \tau_{xy} z) dS; M_y = - \int \int_{\Omega} \sigma_x z dS; M_z = \int \int_{\Omega} \sigma_x y dS$$

Si además, se considera el plano XZ como plano de carga, las resultantes de las fuerzas estarán contenidas en este plano. Si se considera flexión pura y compuesta, los esfuerzos que intervienen son:

$$\vec{R} = N \hat{i}; \vec{M} = M_y \hat{j}; \text{ Ambos tipos de esfuerzo solo producen tensiones normales, } \sigma_x.$$

Para poder determinar la distribución de tensiones a lo largo de la sección es necesario establecer hipótesis simplificativas relativas a la deformación de la pieza. Ya que para saber cómo resiste un elemento, necesitamos información sobre cómo se deforma ante diferentes tipos de solicitación. Puesto que nos encontramos en el rango de pequeñas deformaciones y movimientos, se considera la hipótesis de Navier que establece que *las caras permanecen planas tras la deformación*.

Si el elemento prismático está sometido a flexión pura, el momento es constante, de forma que la directriz de la viga se deformará conforme a un arco de circunferencia. Por tanto, las fibras longitudinales formarán arcos concéntricos con la directriz de la pieza. No aparecen distorsiones como se muestra en la Figura 2.3. Así, tanto las deformaciones angulares como las tensiones tangenciales son nulas.

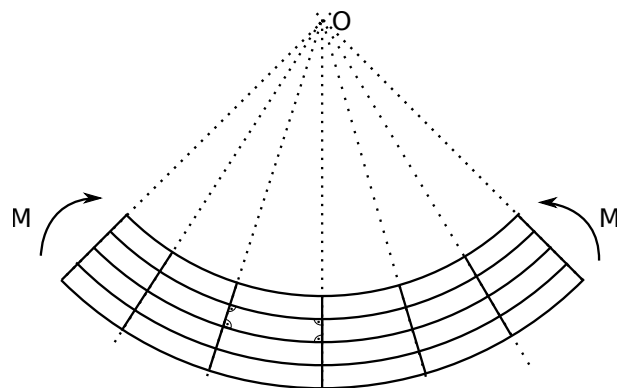


Figura 2.3: Deformación de un elemento prismático por flexión pura.

Para determinar la expresión que caracteriza la deformación por flexión pura consideramos una rebanada de longitud  $dx$  de la pieza prismática como se muestra en la Figura 2.4.

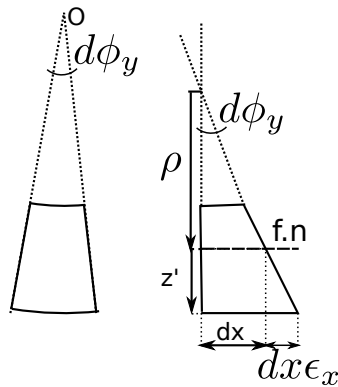


Figura 2.4: Deformación de la rebanada por flexión

Al tratarse de pequeñas deformaciones, el giro relativo entre dos caras de la rebanada ( $d\phi_y$ ) es pequeño, consecuentemente se pueden asociar arcos con tangentes. Así, haciendo semejanza de triángulos obtenemos la relación cinemática que caracteriza a la deformación:

$$\frac{\rho}{dx} = \frac{-z}{\epsilon_x dx}; \text{ Por definición la curvatura } (\chi) \text{ es la inversa del radio de curvatura: } \chi = \frac{1}{\rho}.$$

$\epsilon_x = -\chi z$  (Hipótesis de Navier de deformación por flexión pura)

De la expresión se puede deducir que conforme nos alejamos de la posición de la fibra neutra las fibras experimentan deformaciones mayores y proporcionales a esta distancia.

Si la flexión es compuesta, la componente del axil no es nulo. Un axil produce deformaciones longitudinales uniformes a lo largo de la sección en el que está aplicado para así cumplir con la hipótesis de Navier. Por tanto, sumando las contribuciones del axil y del momento queda una deformada con el aspecto de la Figura 2.5.

Podemos concluir que tanto en flexión pura como compuesta la deformación se puede ver como un giro de la sección alrededor de un eje. Sobre este eje, llamado fibra neutra, la ley tanto de deformaciones como de tensiones se hace nula. De este modo, la deformación de la sección en flexión pura y compuesta queda determinada por la posición de la fibra neutra y la curvatura.

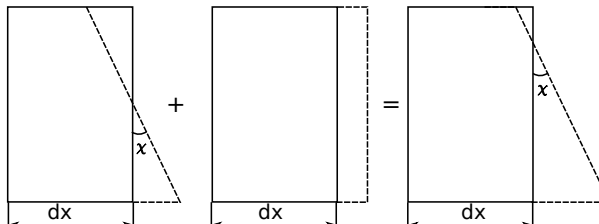


Figura 2.5: Hipótesis de Navier para flexión compuesta

Para poder completar las expresiones que relacionan las cantidades que determinan el comportamiento resistente de una sección, se necesita conocer la relación entre tensiones y deformaciones. Esta relación es característica del material, la cual se obtiene de ensayos mecánicos. Sea por ejemplo el ensayo de tracción en el que una probeta es sometida a esfuerzos de tracción y cuyos resultados se muestran en la Figura 2.6.

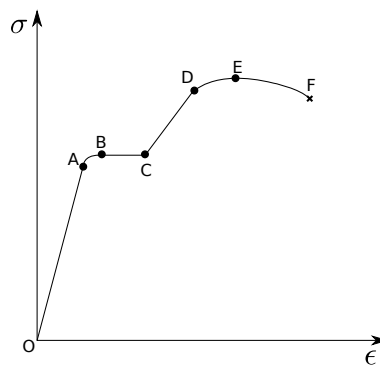


Figura 2.6: Curva tensión - deformación de un ensayo a tracción

Si se presta atención al diagrama, se pueden distinguir diferentes relaciones entre tensión y deformación: elástico lineal (tramo OA), elástico no lineal (tramo AB), fluencia (tramo BC), endurecimiento (CE), reblandecimiento (EF) y rotura (F). Donde un comportamiento elástico está caracterizado por presentar deformaciones reversibles y un comportamiento plástico por presentar irreversibilidades en las deformaciones. En consecuencia, si un elemento cargado solo presenta un comportamiento elástico, el estado de tensiones solo depende de ese instante y además, al ser descargado recupera su forma original. Por otro lado, un elemento que presenta un comportamiento plástico del material, al ser descargado parte de la deformación es reversible y otra parte no se recupera. Por este motivo al evaluar las tensiones de un elemento que presenta un comportamiento plástico se debe de contemplar la historia de las cargas.

Estas relaciones de tensión-deformación son las que nos interesan a la hora de modelar el comportamiento del material. Existen diferentes modelos ideales que simplifican los resultados reales de los ensayos. Sea por ejemplo en la Figura 2.7, donde se muestran 3 tipos de modelos de comportamiento del material [11]:

- a) Perfectamente plástico con igual comportamiento a tracción y compresión: este modelo puede caracterizar materiales como el acero estructural, que presentan grandes deformaciones antes de la rotura y su capacidad resistente tanto a compresión como a tracción es similar.
- b) Perfectamente plástico con diferente comportamiento a tracción y compresión: este modelo resulta interesante para modelar un material frágil como el hormigón, que presenta una capacidad resistente a compresión significativamente mayor que a tracción .
- c) Material con endurecimiento: este modelo se utiliza para modelar el endurecimiento que presentan diferentes aceros aleados tras el escalón de fluencia, pudiendo cuantificar así la reserva de resistencia que ofrecen.

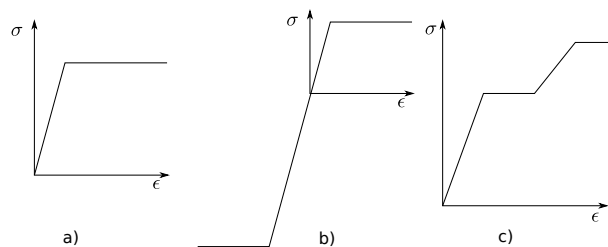


Figura 2.7: Diferentes modelos ideales de material

En resumen, la relación entre tensión, deformación y esfuerzos que caracteriza el comportamiento de una sección, queda determinada por las expresiones:

- Equivalencia estática entre tensiones y esfuerzos:

$$N = \int \int_{\Omega} \sigma(z) dS; \quad M_y = - \int \int_{\Omega} \sigma(z) z dS$$

- Hipótesis de Navier para flexión pura y compuesta de deformaciones:

$$\epsilon(z') = -\chi z'$$

$$z' = z - z_{fn}$$

- Ley constitutiva del material:

$$\sigma = \sigma(\epsilon)$$

- Criterio de plastificación:

$$\sigma_{ec} \leq \sigma \leq \sigma_{et}$$

## 2.2. Plastificación de una sección sometida a flexión pura

En este apartado se verá cómo evoluciona una sección conforme aumenta el momento flector que la somete. Según el valor del momento flector, la sección puede trabajar en tres regímenes diferentes:

a) Régimen elástico, donde ninguna fibra ha alcanzado el valor del límite elástico de deformación y por tanto no presenta ninguna fibra plastificada. De manera que la relación entre tensión y deformación será proporcional en toda la sección.

b) Régimen elastoplástico, donde la relación entre tensión y deformación será proporcional solo en aquellas zonas donde no se aprecia plastificación. Otra característica que presenta este régimen es que las fibras que han plastificado no ofrecen mayor resistencia ante incrementos de carga, lo cual implica una redistribución de tensiones a lo largo de la sección.

c) Régimen plástico, es una situación ideal ya que se refiere al estado límite de la sección cuando todas su fibras han plastificado. De modo que presenta una curvatura infinita, lo que se traduce a deformaciones infinitas.

Conforme aumenta el momento flector, aumentan las deformaciones según la ley de Navier. Debido al comportamiento característico de cada uno de los regímenes, nos puede interesar conocer cómo se reparte las tensiones según aumentan los esfuerzos en la sección, para lo cual se requiere calcular los parámetros que caracterizan a la distribución de tensiones. Estos parámetros son la curvatura ( $\chi$ ) y la posición de la fibra neutra ( $z_{fn}$ ).

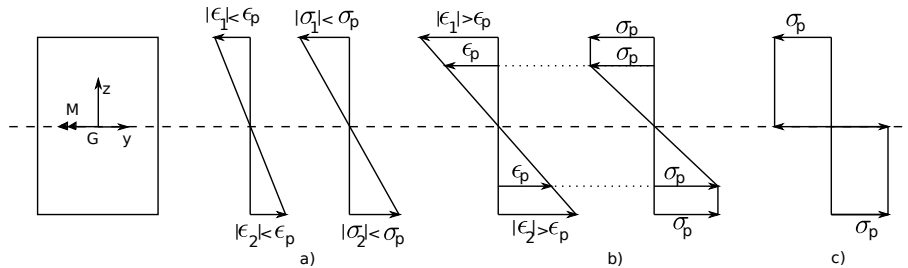


Figura 2.8: Plastificación de una sección sometida a flexión pura

### ■ Régimen elástico

Como en este régimen el comportamiento del material es elástico y lineal, se pueden utilizar las expresiones:

$$\sigma(z) = \frac{N}{A} - \frac{M_y}{I_y} z; \quad \epsilon(z) = \epsilon_g - \chi z; \quad \sigma = E \epsilon$$

Al ser la flexión pura,  $N=0$ , la posición de la fibra neutra coincide con la fibra baricéntrica. De manera que las expresiones de la posición de la fibra neutra y curvatura quedan:

$$z_{fn} = z_G = 0; \quad \chi = \frac{M_y}{E I_y}$$

### ■ Régimen elastoplástico

En el régimen elastoplástico, la relación entre la tensión y deformación deja de ser lineal. Por tanto, no se puede calcular los valores de posición de fibra neutra y curvatura mediante una expresión analítica. Estos valores tienen que ser tal que la distribución de tensiones sea estáticamente equivalente a la solicitación y ésta

ha de ser coherente con la deformación y la ley constitutiva del material. Lo que lleva a resolver un sistema de ecuaciones no lineales.

Solo en el caso de que la sección sea bisimétrica y con material perfectamente plástico con igual comportamiento a tracción y compresión y con una solicitación de flexión pura; debido a que la ley constitutiva es antisimétrica y la sección es simétrica, para que se pueda cumplir la condición de axil nulo, la fibra neutra tiene que coincidir con la baricéntrica.

En este régimen, la curvatura se calcula mediante la expresión:  $\chi = -\frac{\epsilon_e}{z'_e}$ . Donde  $\epsilon_e$  es la deformación unitaria longitudinal en el límite elástico, y  $z'_e$  la posición de la primera fibra plastificada en referencia a la posición de la fibra neutra.

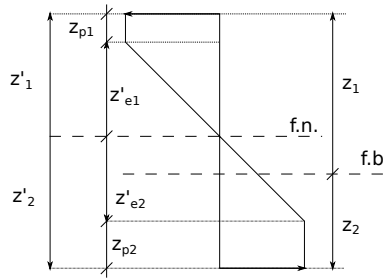


Figura 2.9: Diagrama de tensión normal en régimen elastoplástico

#### ■ Régimen plástico

La distribución de tensiones cuando la sección está agotada por flexión pura es de la forma, Figura 2.11b:

$$\sigma(z) = \begin{cases} \sigma_{p2} & z_2 \leq z \leq z_{fnp} \\ \sigma_{p1} & z_{fnp} \leq z \leq z_1 \end{cases}$$

se puede ver que la relación entre tensiones y solicitación queda:

$$N_p = \int \int_{\Omega} \sigma(z') dy' dz' = \sigma_{p1} \int \int_{\Omega_{p1}} dy' dz' + \sigma_{p2} \int \int_{\Omega_{p2}} dy' dz' = \sigma_{p1} A(\Omega_{p1}) + \sigma_{p2} A(\Omega_{p2});$$

Haciendo momentos respecto la posición de la fibra neutra:

$$M_p = N z'_G - \int \int_{\Omega} \sigma(z') z' dy' dz' = N z'_G - \sigma_{p1} \int \int_{\Omega_{p1}} z' dy' dz' - \sigma_{p2} \int \int_{\Omega_{p2}} z' dy' dz' = -\sigma_{p1} W(\Omega_{p1}) - \sigma_{p2} W(\sigma_{p2}) + N z'_G$$

Siendo  $\Omega_{p1}$  y  $\Omega_{p2}$ , la porción de la sección que cae por encima y por debajo de la posición de la fibra neutra ( $z_{fnp}$ ), respectivamente.

Como en el régimen elastoplástico, para el caso en el que la sección sea bisimétrica con material perfectamente plástico e igual comportamiento a tracción y compresión, la posición de la fibra neutra debe de coincidir con la baricéntrica para que se cumpla la condición de axil nulo.

### 2.3. Caracterización de una sección sometida a flexión

Se puede ver del apartado anterior que la relación entre la flexión y la deformación tiene un carácter asintótico y esta relación es característica de la sección, depende del material que la compone y su geometría. Esta relación se puede visualizar por medio del diagrama Momento - Curvatura de la sección, Figura 2.10. Donde se puede apreciar el cambio de comportamiento que presenta la sección cuando empieza a presentar un comportamiento plástico del material; la curvatura deja de ser proporcional al momento y éste crece de forma asintótica conforme aumenta la deformación (curvatura). Por tanto, los valores característicos que se deducen del diagrama son: el momento elástico,

el momento plástico y la relación entre estos dos valores es el factor de forma. Este valor es característico de la sección y nos indica el margen que presenta ésta cuando empieza a presentar plastificación hasta el agotamiento. Aunque el momento plástico es un valor ideal, establece un valor límite de esfuerzo que puede ser soportado por la sección.

La combinación de estos valores límites en el caso de que la sección esté sometida a flexión compuesta se puede ver en un diagrama interacción Axil - Momento, Figura 2.11a. A su vez este diagrama encierra todas las combinaciones posibles axil - momento que puede soportar la sección. Para poder establecer el régimen para una combinación concreta, se pueden utilizar las expresiones del apartado anterior, con la diferencia de que en flexión compuesta el axil no es nulo.

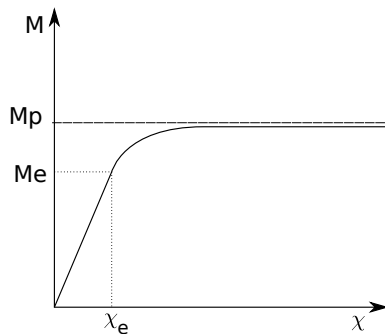


Figura 2.10: Diagrama Momento - Curvatura

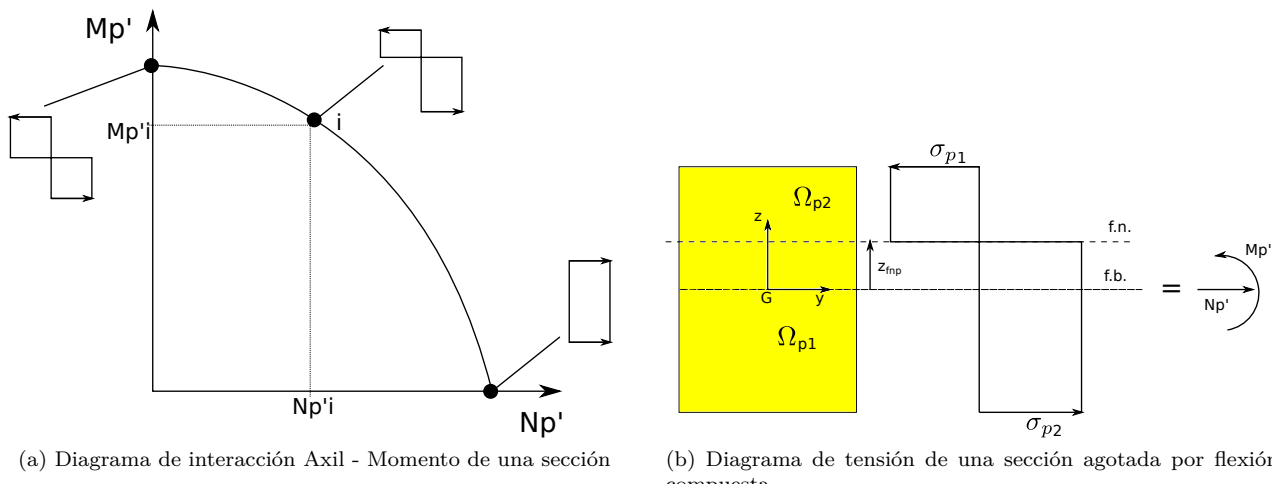


Figura 2.11

# Capítulo 3

## Descripción del programa

### 3.1. Definición del problema

El programa ha de resolver las siguientes tareas:

1. A partir de la geometría y modelo de material de la sección, calcular el diagrama Momento - Curvatura.
2. A partir del carácter del axil (compresión/tracción), la geometría y modelo de material de la sección, calcular el diagrama de interacción Axil - Momento de la sección.
3. A partir de la solicitud, geometría y modelo de material de la sección, calcular la distribución de tensiones y deformaciones.

La ejecución del programa se llevará a cabo por medio de las siguientes fases:

1. Preproceso, donde se incluyen las tareas: escoger problema, definir geometría (a partir de la forma y dimensiones de la sección), definir el material (a partir del tipo de modelo del material y sus valores característicos) y definir la solicitud (si fuera necesario).
2. Análisis: el programa resuelve el problema en función de los parámetros determinados durante el preproceso.
3. Post-Proceso, donde se incluyen las tareas: visualización del modelo de entrada y presentación de los resultados de forma gráfica y numérica.

Por tanto, se requiere implementar funciones que se ocupen de todas las fases necesarias para la resolución de cada uno de los problemas. Por lo que el programa ha de ser capaz de: recoger los datos introducidos por el usuario, generar el modelo, resolver el problema y presentar los resultados.

### 3.2. Diseño del programa

#### 3.2.1. Estructura del programa

Se trata por separado las funciones de recogida y muestra de los resultados con las propias para la resolución de los problemas. Por tanto, el programa consta de dos módulos principales independientes, ver Figura 3.1:

*presentation/* : módulo principal que recoge las funciones propias de las fases de preproceso y postproceso.

*logic/*: módulo principal que recoge las funciones propias de la fase de resolución del problema.

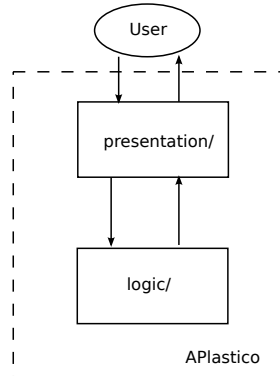


Figura 3.1: Enfoque del programa

Para la introducción de los datos se han considerado tres modos: por consola, por archivo, que permite correr varios casos automáticamente, y por interfaz gráfica de usuario, en la que el usuario puede introducir los datos sin la incomodidad de introducirlos de forma secuencial como ocurre con el modo por consola. Los resultados se muestran tanto en forma numérica como gráfica.

El módulo de análisis (*logic*) se ocupa de todas las tareas relacionadas con la resolución del problema. Desde la generación del modelo (*generacion\_Modelo*) como el acondicionamiento de los datos tanto a la entrada como a la salida de los cálculos (*acondicionamientoDatos*) y los propios para resolver cada uno de los problemas de flexión (*problFlexion*). La resolución de los diferentes problemas se basa en hacer cumplir las condiciones de equivalencia estática entre esfuerzos y tensiones, la hipótesis de Navier de deformación y la ecuación constitutiva del material. Es por ello que se han implementado los siguientes módulos adicionales:

Para calcular los esfuerzos a partir de la distribución de tensiones se requiere resolver integrales dobles. Como la distribución de tensiones tanto en región elástica como elastoplástica y plástica se puede descomponer en regiones donde presenta un mismo comportamiento respecto a la deformación, esto supone integrales que pueden ser resueltas por medio de las propiedades geométricas (área, momento estático,...) de dichas regiones[9].

Descomponer la sección en diferentes regiones es un problema geométrico. Por lo que se ha implementado un módulo para resolver problemas geométricos. Es por esto que se han implementado los módulos de *problGeom*, para la resolución de problemas geométricos, y *propSeccion* para el cálculo de las propiedades tanto geométricas como del material de la sección.

Para hacer cumplir las condiciones se requiere un esquema iterativo ya que tanto en régimen elastoplástico como plástico supone resolver ecuaciones no lineales. Para ello se han utilizado métodos numéricos, es por esto que se ha implementado un módulo de métodos numéricos (*metNum*).

La Figura 3.2 muestra la estructura del programa.

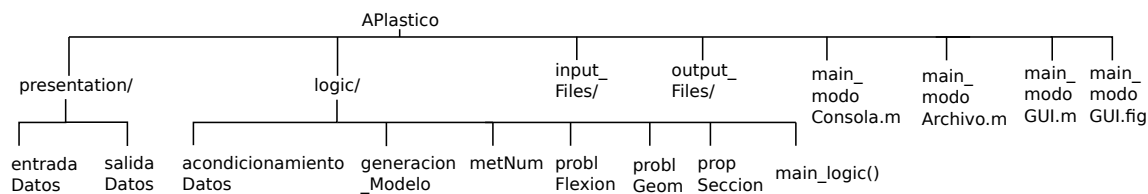


Figura 3.2: Estructura del programa

De donde podemos distinguir las diferentes carpetas y módulos siguientes:

*presentation/*: módulo principal que recoge las funciones propias de las fases de preproceso y postproceso.

*entradaDatos*: módulo que contiene las funciones para la recogida y almacenamiento de datos.

*salidaDatos*: módulo que contiene las funciones para la muestra de resultados.

*logic/*: módulo principal que recoge las funciones propias de la fase de resolución del problema.

*main\_logic()*: función que resuelve cada uno de los problemas.

*acondicionamientoDatos*: módulo que contiene las funciones para preparar los datos a la entrada de la resolución del problema y para la presentación de los resultados.

*generacion\_Modelo*: módulo que recoge las funciones para la generación del modelo.

*metNum*: módulo para la resolución de problemas de Métodos Numéricos (resolución de ecuaciones no lineales).

*problFlexion*: módulo que recoge las funciones para la resolución de problemas de flexión en régimen elasto-plástico.

*problGeom*: módulo que recoge las funciones que calculan los problemas geométricos.

*propSeccion*: módulo que recoge las funciones para la generación de las propiedades de la sección.

*input\_Files/*: carpeta que contiene los archivos de entrada para la resolución del problema en modo archivo.

*output\_Files/*: carpeta que contiene los archivos de salida en caso de elegir guardar los resultados.

*main\_modoConsola.m*: script de arranque del programa en modo consola.

*main\_modoArchivo.m*: script de arranque del programa en modo archivo.

*main\_modoGUI.m*: script de arranque del programa en modo interfaz gráfica de usuario (GUI). *main\_modoGUI.fig*: archivo imagen que contiene la interfaz del programa.

### 3.2.2. Diseño de los datos

En la Figura3.3, se puede ver el flujo de datos del programa de donde se distinguen los siguientes datos:

*tipoProblema*: tipo de problema (integer). <1: calcular diagrama Momento - Curvatura | 2: calcular diagrama interacción axil - momento | 3: calcular la distribución de la tensión a partir de la solicitudación>

*datEntrada*: datos de entrada, incluye la información necesaria para resolver el problema escogido (estructura cell).

*datEntrada{1}*: *tipoSecc*, tipo de sección (string). <'R': sección rectangular | 'C': sección circular | 'I': sección doble T | 'Inb': sección doble T no bisimétrica | 'Rombo' | 'T': sección en T | 'H': sección en H | 'cajon': sección en cajón | 'Rh': sección rectangular con hueco | 'Ch': sección circular con hueco | 'IPN' | 'IPE'>

*datEntrada{2}*: *dimSecc*, dimensiones de la sección (array). Valores depende del tipo de sección.

*datEntrada{3}*: *tipoMat*, tipo de modelo de material (string). <'G1': material perfectamente plástico con igual comportamiento a tracción y compresión | 'G2': material perfectamente plástico con diferente comportamiento a tracción y compresión | 'G3': material con endurecimiento e igual comportamiento a tracción y compresión >

*datEntrada{4}*: *valMat*, propiedades características del modelo del material (array). Valores dependen del tipo de modelo del material.

Para problema 2, cálculo del diagrama  $N'_p - M'_p$ :

*datEntrada{5}*: *signoN*, indica si el axil del diagrama interacción axil - momento es de tracción o compresión (string). <'p': axil de tracción | 'n': axil de compresión>

Para el problema 3, cálculo de la distribución de tensiones y deformaciones dada una solicitudación:

*datEntrada{5}*: *N*, valor del axil (double).

*datEntrada{6}*: *M*, valor del momento (double).

*valEntrada*: valores a la entrada de la resolución del problema (estructura cell). Son generados a partir de *datEntrada*.

*valEntrada{1}*: *P*, vértices del polígono que define a la sección (array).

*valEntrada{2}*: *ley\_mat*, ley constitutiva del material (array).

*valSalida*: resultados, valores a la salida de la resolución del problema (estrucura cell).

Para el problema 1, cálculo del diagrama  $M - \chi$ :

*valSalida{1}:  $M_e$ , momento elástico (double)*

*valSalida{2}:  $\chi_e$ , curvatura correspondiente al momento elástico (double)*

*valSalida{3}:  $M_p$ , momento plástico (double)*

*valSalida{4}:  $\lambda$ , factor de forma de la sección (double)*

*valSalida{5}: signo\_zp, carácter de la profundidad de plastificación, compresión/tracción (string). <'c': plastificación de compresión | 't': plastificación de tracción>*

*valSalida{6}: condic, desde qué extremo (superior/inferior) de la sección se mide la profundidad de plastificación de referencia (integer). <1: extremo superior | 2: extremo inferior>*

*valSalida{7}: d\_MC, diagrama momeno - curvatura (array).*

*d\_MC(1): zp, profundidad de plastificación (double); d\_MC(2):  $\chi_i$  (double), curvaturas; d\_MC(3): momento asociado a  $\chi_i$ ,  $M_i$  (double).*

Para problema 2, cálculo del diagrama  $N'_p - M'_p$ :

*valSalida{1}: d\_int, diagrama interacción axil - momento (array).*

*d\_int(1):  $N_{pi}$ , valores de axil de agotamiento (double); d\_int(2):  $M_{pi}$ , valores de momento de agotamiento (double).*

*valSalida{2}:  $N_p$ , axil puro de agotamiento (double).*

*valSalida{3}:  $M_p$ , momento de agotamiento en flexión pura (double).*

Para el problema 3, cálculo de la distribución de tensiones y deformaciones dada una solicitud:

*valSalida{1}: z', posiciones de los puntos característicos de la distribución de tensiones referidos a la posición de la fibra neutra (array).*

*valSalida{2}: sigz', valores de tensión de la distribución de tensiones (array).*

*valSalida{3}: epsz', valores de deformación de la distribución de deformaciones (array).*

*valSalida{4}:  $\chi$ , curvatura de la distribución de deformaciones*

*valSalida{5}: Ap1, polígono del área plastificada superior (array).*

*valSalida{6}: Ap2, polígono del área plastificada inferior (array).*

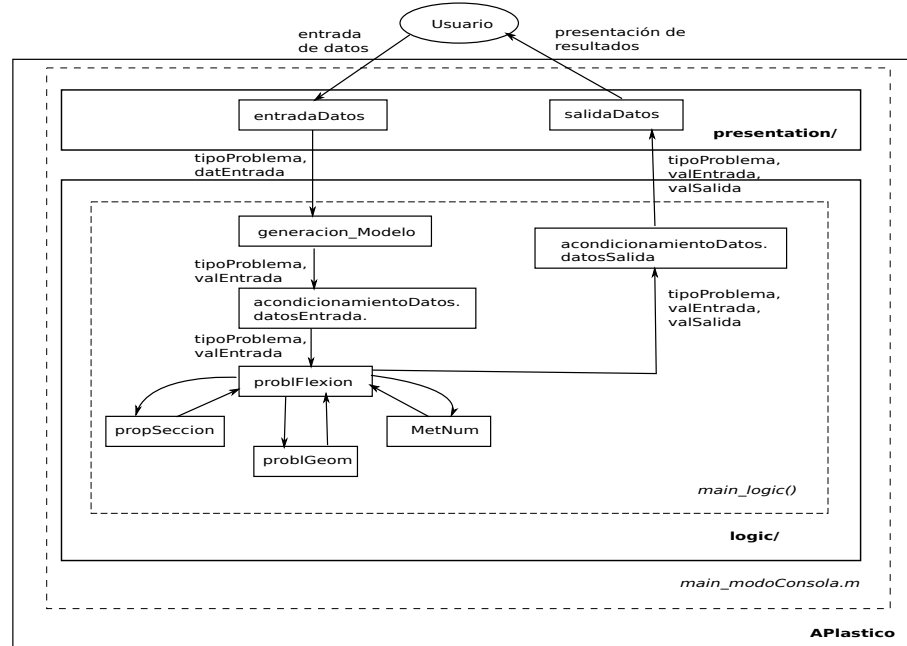


Figura 3.3: Diagrama de flujo del programa

# Capítulo 4

## Implementación

Este capítulo ofrece una visión de cómo han sido implementadas las diferentes funciones y módulos del programa. Para ver las funciones escritas en Matlab, ver el Apéndice B.

### 4.1. Scripts de arranque del programa

El programa se puede ejecutar de tres modos, según como quiera el usuario interaccionar con el programa.

Los tres modos siguen el mismo esquema, solo varía ligeramente de uno a otro debido a las diferencias a la hora de introducir los datos. El esquema que sigue cada uno de los modos es:

1. Entrada de datos
2. Resolución del problema
3. Salida de datos

#### 4.1.1. *main\_modoConsola.m*

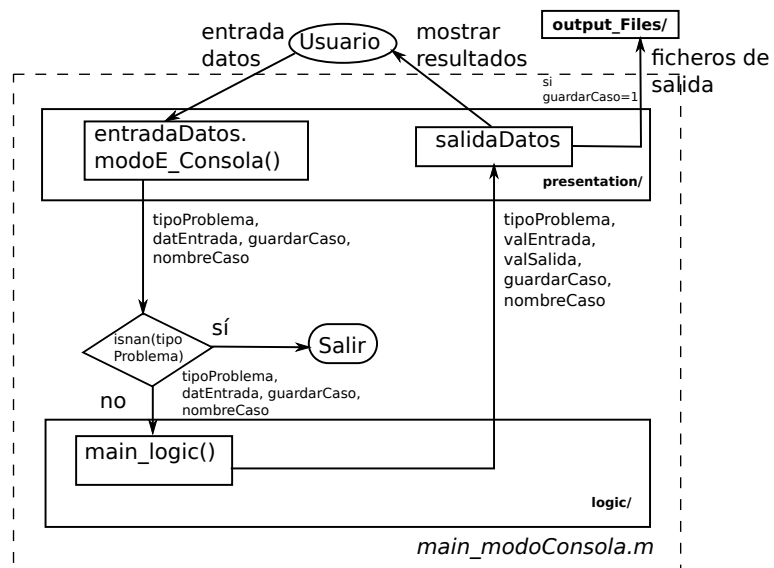


Figura 4.1: *main\_modoConsola.m*

#### 4.1.2. *main\_modoArchivo.m*

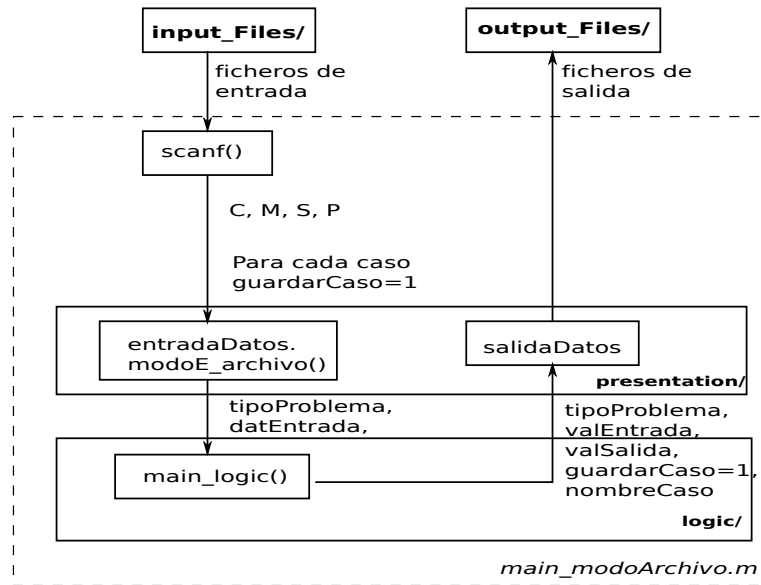


Figura 4.2: *main\_modoArchivo.m*

#### 4.1.3. *main\_modoGUI.m*

Ver B.1.3.

## 4.2. Módulo de preprocesso y post-proceso

*presentation/*: módulo que recoge las funciones relacionadas con la recogida de datos (preproceso) y la generación y muestra de resultados(postproceso). Por lo que está dividida en los submódulos: *entradaDatos* que corresponde a la fase de preprocesso y *salidaDatos* que corresponde a la fase de postproceso.

### 4.2.1. Módulo de preprocesso

El módulo *entradaDatos* se encarga de recoger los datos bien directamente del usuario por medio del modo consola o GUI, o bien desde los archivos que se encuentran en la carpeta *Input\_Files/*. Estos datos son: el tipo de sección, dimensiones de la sección, tipo de modelo de material, valores del material, tipo de problema y valores propios del problema. Esta información es almacenada en la variable *datEntrada*.

Para la recogida de los datos por medio de consola está la función *entradaDatos.modoE\_consola()* y para el modo por archivo, *entradaDatos.modoE\_archivo()*.

Para el modo entrada de datos por archivo se necesitan los archivos:

*input\_casos.csv* de la que se genera la estructura (cell) C que recoge los casos que se quieren llevar a cabo.

*input\_problemas.csv* de la que se genera la estructura (cell) P que recoge la definición de los problemas.

*input\_materiales.csv* de la que se genera la estructura (cell) M que recoge la definición de los diferentes materiales.

*input\_secciones.csv* de la que se genera la estructura (cell) S que recoge la definición de las diferentes secciones.

#### 4.2.2. Módulo de post-proceso

El módulo *salidaDatos* se encarga de mostrar el modelo de entrada y los resultados del problema al usuario tanto en forma gráfica como numérica.

- Para la muestra del modelo de entrada de forma gráfica están las funciones: *mostrar\_ley\_material()* para visualizar la ley constitutiva del material y *mostrar\_perfilConEjes()* para mostrar la geometría de la sección.

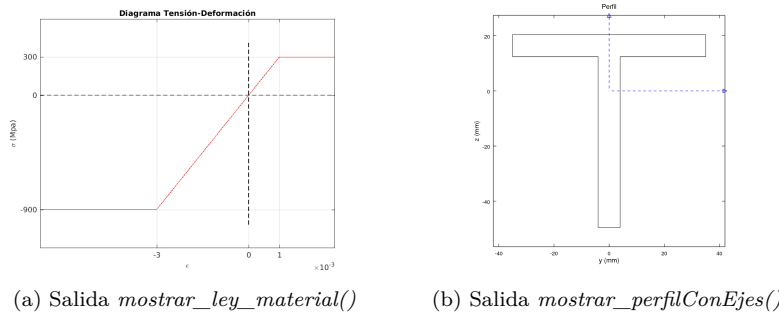


Figura 4.3: Mostrar modelo de forma gráfica.

- Para la muestra de los resultados de forma gráfica están las funciones según el tipo de problema:

- Para el problema 1, se muestra el diagrama momento - curvatura mediante *mostrar\_diagrama\_MC()*.
- Para el problema 2, se muestra el diagrama de interacción axil - momento mediante la función *mostrar\_diagr\_interaccion()*.
- Para el problema 3, se muestra el perfil con las áreas plastificadas mediante *mostrar\_areasPlastificadas()*, la distribución de tensiones por medio de *mostrar\_ley\_tensiones()* y la distribución de deformaciones mediante *mostrar\_ley\_deformaciones()*. Adicionalmente mediante la función *mostrar\_solicitudacion()* se muestra la solicitudación que es estáticamente equivalente a la distribución de tensiones calculada.

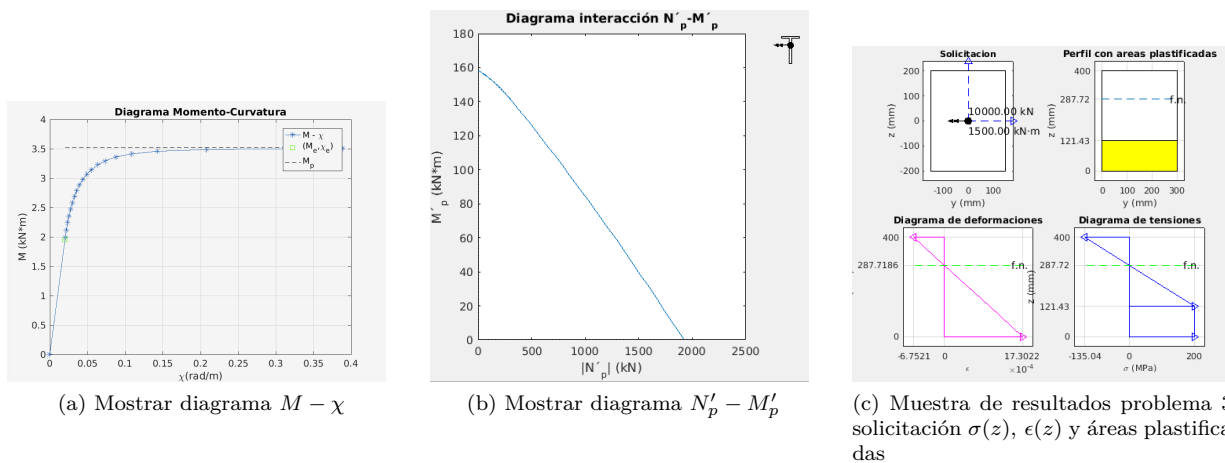


Figura 4.4: Mostrar resultados de forma gráfica

- Para la representación de los resultados numéricamente están las funciones según sea el tipo de problema:

- Para el problema 1, *informe\_problemaMC()* , donde se muestran los valores numéricos de las dimensiones, valores del material y una tabla con los valores numéricos del diagrama momento - curvatura.

b) Para el problema 2, *informe\_diagrama\_interacc()*, donde se muestran los valores numéricos de las dimensiones, valores del material y una tabla con los valores numéricos del diagrama interacción axil - momento.

c) Para el problema 3, *informe\_leyTensiones()*, donde se muestran los valores numéricos de las dimensiones, valores del material y dos tablas: una con los puntos característicos de la distribución de tensiones y otra con los puntos característicos de la distribución de deformaciones.

Las unidades en la salida de los resultados son: tensiones (MPa), distancias (mm), curvaturas (rad/m).

## 4.3. Módulo de análisis

### 4.3.1. *main\_logic.m*

La función *main\_logic()* gestiona las tareas necesarias para la resolución de cada uno de los problemas, estas tareas son:

1. Generación del modelo:
  - a) *generacion\_Modelo.verticesPoly()* para la generación del modelo geométrico de la sección.
  - b) *generacion\_Modelo.comportMaterial()* para la generación del modelo del material del que está compuesta la sección.
2. Acondicionamiento de los datos a la entrada de la resolución del problema, *acondicionamientoDatos.datosEntrada*.
3. Resolución del problema. Depende del tipo de problema:
  - a) Si se trata del problema 1, donde se caracteriza el comportamiento de la sección cuando está sometida por flexión pura: calcula el momento plástico ( $M_p$ ) por medio de *problFlexion.N\_Mp()*, el momento elástico ( $M_e$ ) y su curvatura ( $\chi_e$ ) mediante *problFlexion.N\_Me()* y el diagrama momento - curvatura ( $d_{MC}$ ) mediante la función *problFlexion.N\_diagramaMC()*. El factor de forma ( $\lambda$ ) se obtiene dividiendo el momento plástico entre el momento elástico.
  - b) Si se trata del problema 2, donde se busca calcular el diagrama interacción axil - momento de la sección ( $d_{int}$ ), este diagrama se calcula mediante la función *problFlexion.diagrama\_interaccionNM()*.
  - c) Si se trata del problema 3, donde se calcula el diagrama de tensiones ( $\sigma(z)$ ) y deformaciones ( $\epsilon(z)$ ) asociado a una solicitación definida por su axil y momento ( $N, M$ ). Para ello se calculan los parámetros que determinan la distribución de deformaciones, posición de la fibra neutra respecto el sistema global de coordenadas ( $z_{fn}$ ) y la curvatura ( $\chi$ ), mediante la función *problFlexion.NAndM\_zfnAndChi()*. Y con estos parámetros se calcula la distribución de tensiones y de deformación mediante la funciones:
    - 1) si  $z_{fn} = \infty$ , mediante la función *problFlexion.EpszAndSigz\_AxilPuro*,
    - 2) si  $z_{fn} \neq \infty$  mediante la función *problFlexion.zfnAndChi\_EpszAndSigz()*.
4. Acondicionamiento de los datos a la salida de la resolución del problema, *acondicionamientoDatos.datosSalida*.

El modelo de entrada se guarda en la variable *valEntrada* y los resultados son almacenados en la variable *valSalida*.

### 4.3.2. Generación del modelo

A partir del tipo y dimensiones características de la sección, la función *generacion\_Modelo.verticesPoly()* genera los vértices del polígono que define el contorno de la sección.

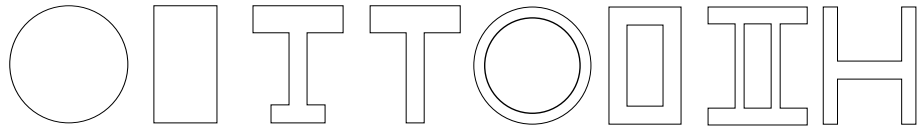


Figura 4.5: Secciones que genera el programa

El polígono está formado por una sucesión de vértices ordenados de manera que dos puntos consecutivos forman una arista. El polígono es almacenado en un array cuyo vector fila  $i$  son las coordenadas del punto  $p_i$ ,  $[y_i, z_i]$ . Sea por ejemplo el polígono generado para una sección rectangular a partir de sus dimensiones: ancho (b) y canto(h):

$$P = \begin{bmatrix} 0 & 0 \\ 0 & b \\ b & h \\ 0 & h \end{bmatrix}$$

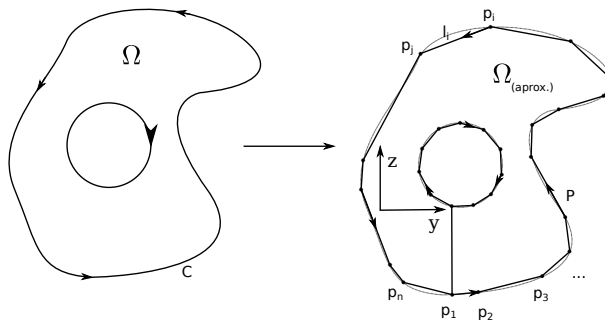


Figura 4.6: Polígono que representa una sección cualquiera

A partir del tipo y valores característicos del material, la función `generacion_Modelo.comportMaterial()` genera la ley constitutiva del material,  $\sigma = \sigma(\epsilon)$ . Ésta es almacenada en un array cuyo vector fila  $i$  es  $[\epsilon_i, \sigma_i]$ . Siendo por ejemplo para el material perfectamente plástico con igual comportamiento a tracción y compresión:

$$ley\_mat = \begin{bmatrix} -100 & -\sigma_e \\ -\epsilon_e & -\sigma_e \\ 0 & 0 \\ \epsilon_e & \sigma_e \\ 100 & \sigma_e \end{bmatrix}$$

Donde el valor 100 es un valor suficientemente grande de deformación unitaria para ser considerado infinito.

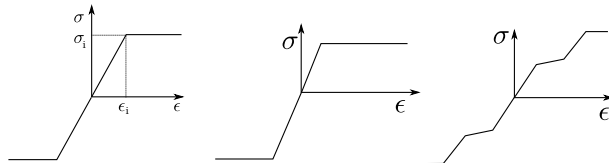


Figura 4.7: Modelos de material que genera el programa

### 4.3.3. Acondicionamiento de los datos

Las unidades empleadas en el programa vienen recogidas en las siguientes tablas:

Magnitud	Unidad
Distancia	<i>mm</i>
Fuerza	<i>kN</i>
Momento	<i>kN · m</i>
Tensión	<i>MPa</i>
Curvatura	<i>rad/m</i>

(a) Unidades en la Entrada/-Salida de resultados

Magnitud	Unidad
Distancia	<i>m</i>
Fuerza	<i>kN</i>
Momento	<i>kN · m</i>
Tensión	<i>kPa</i>
Curvatura	<i>rad/m</i>

(b) Unidades en los cálculos

Las funciones *acondicionamientoDatos.datosEntrada()* y *acondicionamientoDatos.datosSalida()* se encargan de asegurar los cambios de unidades para la entrada de datos en los cálculos y la muestra de los resultados, respectivamente.

El sistema de referencia que el programa espera, para la resolución del problema, es el sistema global (*OYZ*), donde *y* y *z* son ejes principales de inercia de la sección y su origen se encuentra en el centro de gravedad de ésta. Puesto que para definir los puntos del polinomio puede no ser práctico definirlos en referencia a su centro de gravedad, la función *acondicionamientoDatos.datosEntrada()* refiere los puntos a su centro de gravedad.

#### 4.3.4. Problemas de flexión

*problFlexion*: módulo que resuelve los problemas relacionados con el comportamiento de secciones sometidas a flexión pura y compuesta con pequeñas deformaciones. Para lo cual interesarán conocer la relación entre tensiones, deformaciones y esfuerzos de la sección.

La sección queda definida por su geometría y el material que la constituye. Por tanto, todos los cálculos de este módulo requieren conocer la ley constitutiva del material (*ley\_mat*) y el polígono que define el contorno de la sección (*P*).

$$ley\_mat = \begin{bmatrix} \epsilon_1 & \sigma_1 \\ \epsilon_2 & \sigma_2 \\ \dots & \dots \\ \epsilon_n & \sigma_n \end{bmatrix}; P = \begin{bmatrix} y_1 & z_1 \\ y_2 & z_2 \\ \dots & \dots \\ y_n & z_n \end{bmatrix}.$$

De modo que la ley constitutiva del material queda de la forma:

$$\sigma = \sigma_{i-1} + \frac{\sigma_i - \sigma_{i-1}}{\epsilon_i - \epsilon_{i-1}} (\epsilon - \epsilon_{i-1}) \text{ si } \epsilon_{i-1} < \epsilon \leq \epsilon_i$$

*i* = 2, ..., *n*; *n*: número de puntos característicos de la ley constitutiva.

En el caso de la Figura 4.8, *n*=5.

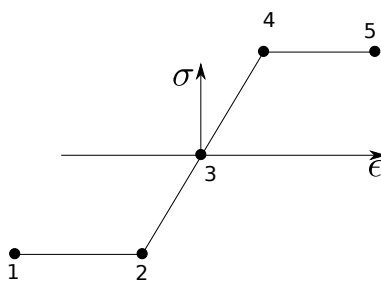


Figura 4.8: Ley constitutiva tramos lineales

#### Planteamiento del problema

Se asume:

- Sección forma parte de un elemento prismático.

- Tipos de solicitud de la sección: flexión pura y compuesta.
- Plano de carga: plano XZ.
- Ejes  $z$  e  $y$  son ejes principales de inercia de la sección.
- Hipótesis de pequeños movimientos y deformaciones.
- El comportamiento elástico del material se considera lineal. El comportamiento del material en su etapa final hasta la rotura se considera perfectamente plástico.

Relación entre tensiones, deformaciones y esfuerzos:

- Equivalencia estática entre tensiones y esfuerzos:

$$N = \int \int_{\Omega} \sigma(z) dS; \quad M_y = - \int \int_{\Omega} \sigma(z) z dS$$

- Hipótesis de Navier para flexión pura y compuesta de deformaciones:

$$\epsilon(z') = -\chi z'$$

$$z' = z - z_{fn}$$

- Ley constitutiva del material:

$$\sigma = \sigma(\epsilon)$$

### Convenio de signos

Se considera:

- Momento positivo aquel que produce compresiones en el extremo superior y tracciones en el extremo inferior de la sección.
- Axil positivo aquel que produce tracciones.
- Deformación unitaria longitudinal positiva si produce elongaciones.
- Tensión normal positiva, si la tensión es de tracción.

### Sistemas de referencia y posiciones relevantes

En los cálculos se consideran dos sistemas de referencia,  $OYZ$  y  $O'Y'Z'$ .

Siendo:

$OYZ$  : sistema de ejes global. Tiene su origen en el centro de gravedad y los ejes  $y, z$  son ejes principales de inercia de la sección. El eje  $y$  coincide con la fibra baricéntrica (f.b.).

$O'Y'Z'$  : sistema de ejes local. El eje  $y$  es paralelo a  $y$ . El eje  $y'$  coincide con el eje neutro (f.n.). Está relacionado con el sistema global de la forma:

$$\begin{cases} y' = y \\ z' = z - z_{fn} \end{cases}$$

**Posiciones relevantes que se consideran en el sistema de referencia global ( $OYZ$ ):**

$y = 0; z = 0$  : posición del centro de gravedad de la sección.

$z = z_{f.n.}$  : posición de la fibra neutra.

$z_1$  : posición del extremo superior de la sección.

$z_2$  : posición del extremo inferior de la sección.

**Posiciones relevantes que se consideran en el sistema de referencia local ( $O'Y'Z'$ ):**

$z' = 0$ , posición de la fibra neutra.

$z'_{e1}$  : posición de la primera fibra plastificada de la sección que cae por encima de la fibra neutra.

$z'_{e2}$  : posición de la primera fibra plastificada de la sección que cae por debajo de la fibra neutra.

$z'_1$  : posición del extremo superior de la sección.

$z'_2$  : posición del extremo inferior de la sección.

$z = z'_G$  : posición de la fibra baricéntrica.

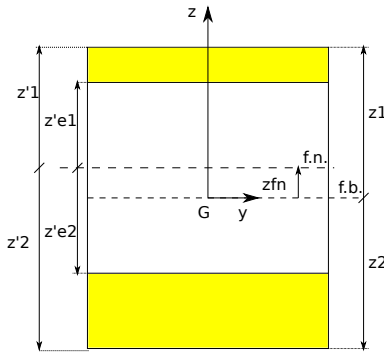


Figura 4.9: Posiciones relevantes en los sistemas  $OYZ$  y  $O'Y'Z'$

En el caso de un material con endurecimiento, pueden existir posiciones intermedias a considerar entre  $[z'_e1, z'_1]$  y  $[z'_2, z'_e2]$ .

#### 4.3.4.1. Cálculo de tensiones y deformaciones

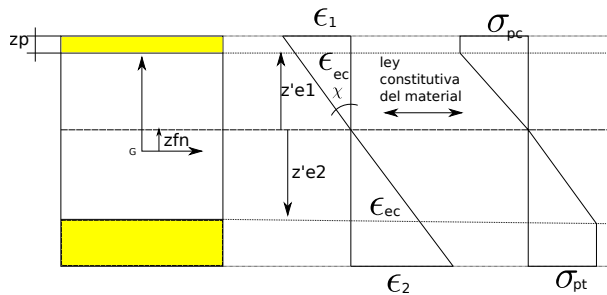


Figura 4.10: Distribución de tensiones y deformaciones en régimen elastoplástico

Un diagrama de deformaciones puede quedar determinado por los parámetros de posición de fibra neutra ( $z_{fn}$ ) y curvatura ( $\chi$ ). También se podría determinar conociendo la profundidad de plastificación  $z_p$  y la posición de la fibra neutra ( $z_{fn}$ ), ya que la relación de la profundidad de plastificación ( $z_p$ ) y curvatura es:

$$\chi = \frac{-\epsilon_e}{z'_e}$$

donde,

Si la profundidad de plastificación está medida desde el extremo superior de la sección  $\rightarrow z'_e = z'_e1 = z'_1 - z_p$

Si la profundidad de plastificación está medida desde el extremo inferior de la sección  $\rightarrow z'_e = z'_e2 = z'_2 + z_p$

Además,

Si la zona plastificada considerada con  $z_p$  es de compresión  $\rightarrow \epsilon_e = \epsilon_{ec}$ .

Si la zona plastificada considerada con  $z_p$  es de tracción  $\rightarrow \epsilon_e = \epsilon_{et}$ .

De esto último, podemos concluir que para especificar una profundidad de plastificación ( $z_p$ ) necesitamos una distancia ( $z_p$ ), especificar desde que extremo de la sección se mide la distancia (superior/inferior) y cual es el carácter de la zona plastificada (compresión/tracción), ver Figura 4.10.

Las tensiones se calculan por medio de la deformación ( $\epsilon$ ) y la ley constitutiva del material (*ley\_mat*) mediante la función *sigma()*, que sigue el siguiente procedimiento:

i. Obtener los valores  $\epsilon_{i-1}$ ,  $\sigma_{i-1}$  y  $\epsilon_i$  (ver Figura 4.11) a partir de la ley constitutiva, de manera que  $\epsilon_{i-1} < \epsilon \leq \epsilon_i$ ,  $i=2,\dots,n$ ;  $n$ : número total de puntos que definen la ley constitutiva.

ii. Calcular la tensión por medio de la expresión:

$$\sigma = \sigma_{i-1} + \frac{\sigma_i - \sigma_{i-1}}{\epsilon_i - \epsilon_{i-1}} (\epsilon - \epsilon_{i-1})$$

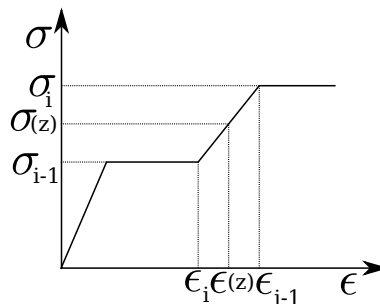


Figura 4.11: Cálculo de la tensión de una fibra

- Calcular la distribución de tensiones y deformaciones a partir de los parámetros  $z_{fn}$  y  $\chi$ :
  - Si la solicitación es flexión ( $\chi \neq 0$ ), la distribución de deformaciones y tensiones se calcula por medio de la función `zfnAndChi_EpszAndSigz()`:
 

Procedimiento:

    - a Si  $\chi = \infty$ , la sección se encuentra en régimen plástico  $\rightarrow z' = [z'_2, 0, z'_1]; \epsilon(z') = [\infty, \infty, \infty]; \sigma(z') = [\sigma_{p1}, 0, \sigma_{p2}]$ .
    - b Si  $\chi \neq \infty$ , la sección se encuentra en régimen elástico o elastoplástico:
      - b Se calcula el vector  $z'$  que contiene las posiciones características del diagrama de tensiones, siendo  $z'_i = \frac{-\epsilon_i}{\chi}$ .  $\epsilon_i$ : deformaciones de los puntos característicos de la ley constitutiva del material. Se descartan las posiciones que no cumplan:  $z'_2 \leq z'_i \leq z'_1$ ;
      - b Se calcula la distribución de deformaciones,  $\epsilon(z') = -\chi z'$ .
      - b Se calcula la distribución de tensiones ( $\sigma(z')$ ) a partir de la distribución de deformaciones y la ley constitutiva del material por medio de la función `sigma()`.
    - c Si la solicitación es axil puro ( $\chi = 0$ ), la tensión normal y la deformación son uniformes a lo largo de la sección.
      - i. Se calcula el vector  $z'$ .  $z' = [z'_2, z'_1]$ .
      - ii. Se calcula la tensión uniforme,  $\sigma = N/A(\Omega)$
      - iii. Se calcula la deformación longitudinal unitaria a lo largo de la sección,  $\epsilon = \sigma/E$ .
      - iv. Las leyes de tensiones y deformaciones quedan:  $\sigma(z') = [\sigma, \sigma]$  y  $\epsilon(z') = [\epsilon, \epsilon]$ .

Debido a la relación entre tensión, deformación y esfuerzos se pueden implementar esquemas iterativos con los que a partir de cierta información se pueden determinar los parámetros ( $z_{fn}, \chi$ ) que definen una distribución de tensiones. Estos esquemas iterativos hacen cumplir las condiciones y se resuelven por medio de métodos de resolución de ecuaciones no lineales. Para ello se requiere una función con una variable independiente, que representa la condición que tenemos interés que se cumpla y dos valores de la variable independiente que o bien sea un intervalo que encierra al valor que hace cumplir a la condición o bien son valores próximos a dicho valor. Más una tolerancia, que es el grado de precisión con que la raíz aproximada cumple la condición. El procedimiento que siguen estos esquemas iterativos es:

1. Definir una condición  $f(x) = 0$ .
2. Especificar dos valores del dominio de x (a,b) que o bien estén próximos a la raíz de  $f(x)$  o la acote.
3. Buscar un intervalo de x que contenga a la raíz a partir de los valores (a,b) mediante la función `metNum.approot()`.

4. Si se ha conseguido un intervalo que encierra a la raíz, se obtiene ésta por medio del método de Brent con la función `metNum.zero()`.

5. Si no se ha conseguido un intervalo, se obtiene la raíz por medio del método de la secante mediante `metNum.secant()`.

Los esquemas iterativos que se emplean en el programa son los que siguen:

- a) Calcular el valor de la posición de la fibra neutra a partir de los valores de curvatura ( $\chi$ ) y axil ( $N^*$ ), `chiAndN_zfn()`:

Para cierto valor de curvatura, solo existe un valor de  $z_{fn}$  que hace cumplir la condición del axil.

Si  $z_{fne} = z_{fnp} \rightarrow z_{fn} = z_{fne}$

Si  $z_{fne} \neq z_{fnp} \rightarrow z_{fn}$  se calcula por medio del esquema iterativo:

Condición:  $f(z_{fn}) = N^* - N(z_{fn})|_{\chi}$

$$\text{Valores a,b: } \begin{cases} \text{si } z_{fne} > z_{fnp} & a = z_{fne}; b = z_2 \\ \text{si } z_{fne} < z_{fnp} & a = z_{fne}; b = z_1 \end{cases}$$

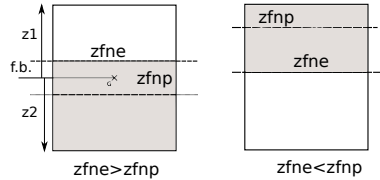


Figura 4.12: Búsqueda de  $z_{fn}$  con `chiAndN_zfn()`

tolerancia:  $10^{-6}$

Donde:  $N(z_{fn})|_{\chi}$  esta implementado por medio de la función `zfnAndChi_N()`

$z_{fne}$  y  $z_{fnp}$  se calculan por medio de `N_Me()` y `N_Mp()`, respectivamente

- b) Calcular el valor de la posición de la fibra neutra a partir de la profundidad de plastificación ( $zp$ ) y el valor del axil ( $N^*$ ), `zpAndN_zfn()`:

Para cierta profundidad de plastificación existe un valor de  $z_{fn}$  que hace cumplir la condición del axil.

Si  $z_{fne} = z_{fnp} \rightarrow z_{fn} = z_{fne}$

Si  $z_{fne} \neq z_{fnp} \rightarrow z_{fn}$  se calcula por medio del esquema iterativo:

Condición:  $f(z_{fn}) = N^* - N(z_{fn})|_{zp}$

$$\text{Valores a,b: } \begin{cases} \text{si } zp = z'_1 - z'_{e1} & a = z_2 + zp; b = \max(z_{fne}, z_{fnp}) \\ \text{si } zp = z'_{e2} - z'_2 & a = z_1 - zp; b = \min(z_{fne}, z_{fnp}) \end{cases}$$

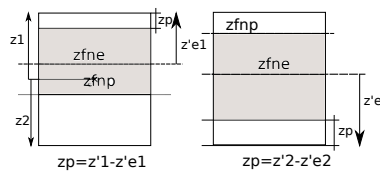


Figura 4.13: Búsqueda de  $z_{fn}$  con `zpAndN_zfn()`

tolerancia:  $10^{-6}$

Donde:  $N(z_{fz})|_{zp}$  esta implementado por medio de la función `zpAndZfn_N()`.

$z_{fne}$  y  $z_{fnp}$  se calculan por medio de `N_Me()` y `N_Mp()`, respectivamente.

`zpAndN_zfn()` puede presentar limitaciones para material con endurecimiento con axil elevado en relación al momento. Debido a que una misma profundidad de plastificación puede estar asociado a más de una distribución de tensiones como se muestra en la Figura 4.14 (donde una misma profundidad medida desde el extremo superior de una sección, le corresponden diferentes valores de  $z_{fn}$ ).

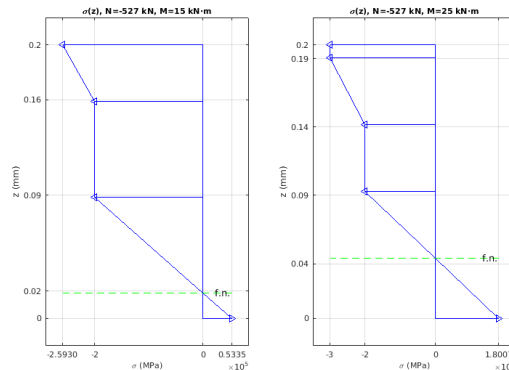


Figura 4.14: Limitación `zpAndN_zfn()`

- c) Calcular la posición de la fibra neutra y curvatura a partir de los valores del axil y momento (`NAndM_zfnAndChi()`)

Dados unos valores de axil ( $N^*$ ) y momento ( $M^*$ ), les corresponden una combinación de valores de  $z_{fn}$  y  $\chi$ .

i. Garantizar que la solicitudación ( $N^*, M^*$ ) cae dentro de la superficie de interacción, para ello:

Si  $N < 0 \rightarrow N_p = \sigma_{pc} A(\Omega)$ ; si  $N > 0 \rightarrow N_p = \sigma_{pt} A(\Omega)$ ;

Se debe cumplir  $|N^*| < |N_p|$ . Si  $|N^*| > |N_p|$ , el punto cae fuera del diagrama de interacción Axil - Momento y no tiene sentido continuar.

Se calcula  $M_e|_{N^*}$  y  $M_p|_{N^*}$  mediante `N_Me()` y `N_Mp()`, respectivamente.

Si  $|M^*| > |M_p|_{N^*} \rightarrow$  la solicitudación ( $N^*, M^*$ ) cae fuera del diagrama de interacción, por lo que es una solicitudación inadmisible para la sección y no tiene sentido continuar.

ii. Determinar el régimen de trabajo de la solicitudación (ver Figura 4.15a) y calcular los parámetros  $z_{fn}$  y  $\chi$ :

Como  $M(\chi)|_{N^*}$  es asintótico, para evitar que en la búsqueda de los valores de  $z_{fn}$  y  $\chi$  (en régimen elásto-plástico) tienda a infinito, se considera un momento máximo y curvatura máxima ( $M_{max}|_{N^*}, \chi_{max}|_{N^*}$ ) que están asociadas a una profundidad de plastificación igual a 0,95  $zpmax$ , estos valores se calculan mediante la función `zpAndN_momento()`.

$zpmax$  se ha calculado previamente con `N_Mp()`.

ii.a Si  $|M^*| \leq |M_e|_{N^*} \rightarrow$  régimen elástico. Los valores de  $z_{fn}$  y  $\chi$  se calcula por medio de las expresiones:

$$\chi = \frac{M^*}{E I_y(\Omega)}$$

$$\sigma_1 = \sigma(z_1) = \frac{N^*}{A(\Omega)} - \frac{M^*}{I_y(\Omega)} z_1; \quad \sigma_2 = \sigma(z_2) = \frac{N^*}{A(\Omega)} - \frac{M^*}{I_y(\Omega)} z_2;$$

$$z_{fn} = \frac{z_1 \sigma_2 - z_2 \sigma_1}{\sigma_2 - \sigma_1}$$

ii.b Si  $|M_e|_{N^*} < |M^*| \leq |M_{max}|_{N^*} \rightarrow$  régimen elastoplástico. Los valores de  $z_{fn}$  y  $\chi$  se calculan por medio del siguiente esquema iterativo:

Condición:  $f(\chi) = M^* - M(\chi)|_{N^*}$

Valores a y b:  $a = \chi_e|_{N^*}$ ,  $b = \chi_{max}|_{N^*}$

tolerancia:  $10^{-6}$

Donde,  $M(\chi)|_{N^*}$  está implementada por medio de la función `chiAndN_momento()`, ver Figura 4.15b.  $\chi_e|_{N^*}$  ha sido previamente calculada por medio de la función `N_Me()`.

ii.c Si  $|M_{max}|_{N^*} < |M^*| \leq |M_p|_{N^*}| \rightarrow$ régimen plástico. Por tanto, los valores  $z_{fn}$  y  $\chi$  son:

$$z_{fn} = z_{fnp}, \chi = \infty$$

donde  $z_{fnp}$  ha sido previamente calculada por medio de `N_Mp()`.

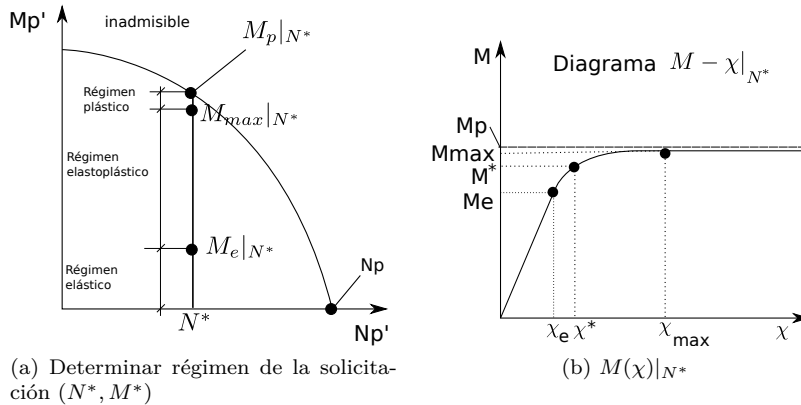


Figura 4.15

#### 4.3.4.2. Cálculo de esfuerzos

A partir de la distribución de tensión se calcula la solicitudión de la sección mediante las relaciones (estando los vértices de la sección referidos al sistema local  $O'Y'Z'$ ):

$$N = \int \int_{\Omega} \sigma(z') dy' dz'$$

$$M_y = N z'_G - \int \int_{\Omega} \sigma(z') z' dy' dz'$$

Para ello se requiere información que determine la distribución de tensiones normales, para así obtener los esfuerzos estáticamente equivalentes. Esta información depende del régimen de trabajo de la sección.

#### Régimen elástico y elastoplástico

Sabemos que en régimen elástico y elastoplástico la distribución de tensiones queda determinado por la fibra neutra y la curvatura. En el caso de régimen elastoplástico también puede quedar determinado por la profundidad de plastificación ( $zp$ ) y la posición de fibra neutra ( $z_{fn}$ ). Sabiendo la relación entre deformaciones, tensiones y esfuerzos, se puede calcular el axil y momento a partir de diferente información como sigue:

- A partir de un valor de axil, calcular el máximo momento que actuando simultáneamente con el axil ( $N^*$ ) la sección se encuentra en régimen elástico (`N_Me()`):

Si sabemos que la curvatura de  $M_e|_{N^*}$  es positiva  $\rightarrow M_e|_{N^*} > 0$ .

Al ser régimen elástico, podemos aplicar el principio de superposición, por tanto la ley de tensiones viene definida por la expresión de Navier:  $\sigma(z) = \frac{N}{A} - \frac{M_y}{I_y} z$ .

- i. Cálculo de  $M_e|_{N^*}$ :

Suponemos que plastifica primero el extremo superior, esto significa, ver Figura 4.16:  $\sigma_1 = \sigma_{ec}$ ,  $\sigma_2 \leq \sigma_{et}$ , entonces:

$$M_e|_{N^*} = \frac{-\sigma_{ec} + N^*/A(\Omega)}{z_1} I_y(\Omega),$$

$$\text{si } \sigma_2 > \sigma_{et} \rightarrow \text{plastifica primero la cara inferior} \rightarrow M_e|_{N^*} = \frac{-\sigma_{et} + N^*/A(\Omega)}{z_2} I_y(\Omega)$$

ii. Cálculo de las tensiones en los extremos de la sección:

$$\sigma_1 = \sigma(z_1) = \frac{N^*}{A(\Omega)} - \frac{M_e|_{N^*}}{I_y(\Omega)} z_1; \sigma_2 = \sigma(z_2) = \frac{N^*}{A(\Omega)} - \frac{M_e|_{N^*}}{I_y(\Omega)} z_2$$

iii. Calcular la posición de la fibra neutra ( $z_{fne}$ ):

$$z_{fne} = \frac{\sigma_2 z_1 - \sigma_1 z_2}{\sigma_2 - \sigma_1}$$

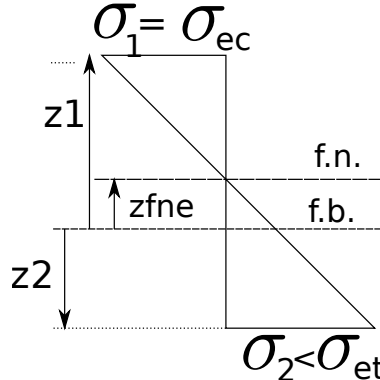


Figura 4.16:  $\sigma(z')$  cuando plastifica primero el extremo superior

- El cálculo del axil y momento a partir del diagrama de tensiones, se obtiene mediante las funciones `zfnAndChi_N()` y `zfnAndChi_M()`, respectivamente. Se calculan por medio del siguiente procedimiento:

Consideramos de forma general que la distribución de tensiones queda dividida en n tramos. El tramo k, tiene una relación de tensión - deformación de la forma:

$$\sigma_k(z') = \sigma_{i-1} + \frac{\sigma_i - \sigma_{i-1}}{\epsilon_i - \epsilon_{i-1}} (\epsilon(z') - \epsilon_{i-1}), \text{ siendo la deformación de las fibras dentro de la región } \Omega_k, \epsilon_{i-1} \leq \epsilon(z') \leq \epsilon_i, (y', z') \in \Omega_k.$$

La distribución de la tensión en la porción  $\Omega_k$  queda:

$$\sigma_k(z') = \alpha_k + \beta_k z'$$

Siendo,  $\alpha_k$  y  $\beta_k$  constantes propias de la región  $\Omega_k$ :

$$\alpha_k = \sigma_{i-1} - \frac{\sigma_i - \sigma_{i-1}}{\epsilon_i - \epsilon_{i-1}} \epsilon_{i-1}; \beta_k = -\frac{\sigma_i - \sigma_{i-1}}{\epsilon_i - \epsilon_{i-1}} \chi$$

Por tanto el cálculo del axil y momento quedan:

$$N = \sum_{k=1}^n \int \int_{\Omega_k} \sigma_k(z') dy' dz' = \sum_{k=1}^n \int \int_{\Omega_k} (\alpha_k + \beta_k z') dy' dz' = \sum_{k=1}^n [\alpha_k A(\Omega_k) + \beta_k W_{y'}(\Omega_k)]$$

$$M = N z'_G - \sum_{k=1}^n \int \int_{\Omega_k} \sigma_k(z') z' dy' dz' = \sum_{k=1}^n \int \int_{\Omega_k} (\alpha_k z' + \beta_k z'^2) dy' dz' = \sum_{k=1}^n -[\alpha_k W_{y'}(\Omega_k) + \beta_k I_{y'}(\Omega_k)]$$

Las regiones  $\Omega_k$  se calculan mediante la función `problGeom.clipArea()`.

- Calcular el axil a partir de la profundidad de plastificación ( $zp$ ) y el valor de la posición de la fibra neutra ( $z_{fn}$ ), (`zpAndzfn_N()`):

- Se calcula la curvatura ( $\chi$ ) a partir de la profundidad de plastificación ( $zp$ ), la posición de la fibra neutra ( $z_{fn}$ ) y ley constitutiva, mediante la expresión:  $\chi = -\frac{\epsilon_e}{z_e}$ .
- Se calcula el valor del axil mediante la función `zfnAndChi_N()`.

- Calcular el momento a partir de la profundidad de plastificación ( $zp$ ) y el valor del axil ( $N^*$ ) que actúa en la sección ( $zpAndN\_momento()$ )
  - i. Se calcula la posición de la fibra neutra ( $z_{fn}$ ) y curvatura ( $\chi$ ) mediante la función  $zpAndN_zfn()$ .
  - ii. Con  $z_{fn}$ ,  $\chi$  y  $N^*$ , se calcula el momento por medio de  $zfnAndChi_M()$ .
- Calcular el momento a partir de la curvatura y el valor del axil ( $chiAndN\_momento()$ )
  - i. Se calcula la posición de la fibra neutra mediante la función  $chiAndN_zfn()$ .
  - ii. Con  $z_{fn}$ ,  $\chi$  y  $N^*$ , se calcula el momento por medio de la función  $zfnAndChi_M()$ .

### Régimen plástico

Sabemos que en régimen plástico los valores de curvatura y posición de fibra neutra cumplen:  $\chi = \infty$ ,  $z_2 \leq z_{fn} \leq z_1$ . Por lo que solo se requiere la posición de la fibra neutra ( $z_{fnp}$ ) para determinar una distribución de tensiones cuando la sección tiene todas sus fibras plastificadas por flexión pura o compuesta:

$$\sigma(z) = \begin{cases} \sigma_{p2} & z_2 \leq z \leq z_{fnp} \\ \sigma_{p1} & z_{fnp} < z \leq z_1 \end{cases}$$

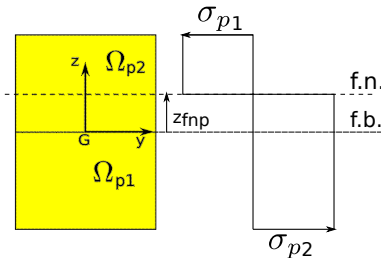


Figura 4.17:  $\sigma(z)$  sección con todas las fibras plastificadas.

- Calcular la solicitudación de agotamiento a flexión compuesta de una sección a partir del valor de la posición de la fibra neutra ( $zfnp\_NpMp()$ )

Teniendo el valor de la posición de la fibra neutra ( $z_{fnp}$ ), se puede calcular el axil y momento que son estáticamente equivalentes a la distribución de tensiones, mediante:

$$N_p = \sigma_{p1} A(\Omega_{p1}) + \sigma_{p2} A(\Omega_{p2})$$

$$M_p = N z'_G - \sigma_{p1} W_{y'}(\Omega_{p1}) - \sigma_{p2} W_{y'}(\Omega_{p2})$$

Donde,  $\Omega_{p1}$  y  $\Omega_{p2}$  son la región de la sección que queda por encima y por debajo de la fibra neutra ( $z_{fnp}$ ), respectivamente. Estas regiones se calculan por medio de `problGeom.clipArea()`.

- A partir de un valor de axil, calcular el momento que actuando simultáneamente con el axil agota la sección ( $N\_Mp()$ )

- i. Calcular la posición de fibra neutra ( $z_{fnp}$ ). Este valor se calcula por medio de un esquema iterativo que hace cumplir la condición del axil:

$$\text{Condición: } f(z_{fnp}) = N^* - N(z_{fnp})$$

Valores a, b:  $a = z_2$  ,  $b = z_1$

Tolerancia:  $10^{-6}$

- ii. Se calcula  $M_p|_{N^*}$  por medio de la función  $zfnp\_NpMp()$

iii. Se calcula la profundidad máxima de plasticación ( $z_{pmax}$ ), para el valor de axil  $N^*$ . Si la sección plastifica primero el extremo superior  $\rightarrow z_{pmax} = z_1 - z_{fnp}$ . Si la sección plastifica primero el extremo inferior  $\rightarrow z_{pmax} = z_{fnp} - z_2$ . Conocer qué sección plastifica primero se determina previamente mediante la función  $N\_Me()$ .

#### 4.3.4.3. Cálculo del factor de forma

El factor de forma ( $\lambda$ ) es la relación entre el momento plástico y momento elástico de una sección sometida a flexión pura (axil es nulo). Este valor se calcula por medio de la función `calcular_factorForma()` que sigue el procedimiento:

- i.  $N=0$ .
- ii. Se calcula el momento plástico ( $M_p$ ) por medio de  $N\_Mp()$ .
- iii. Se calcula el momento elástico ( $M_e$ ) por medio de  $N\_Me()$ .
- iv. Se calcula el factor de forma,  $\lambda = \frac{M_p}{M_e}$

#### 4.3.4.4. Cálculo del diagrama Momento - Curvatura

El programa por defecto calcula el diagrama momento curvatura correspondiente al axil nulo, pero se puede calcular el diagrama  $M - \chi$  de la sección para un valor de axil concreto, diagrama  $M - \chi|_N$ .

El diagrama Momento - Curvatura (d\_MC) se puede calcular mediante dos funciones: `N_diagramaMC()` o `N_diagramaMC2()`.

`N_diagramaMC` calcula los valores de curvatura y momento a partir de la profundidad de plastificación medida desde el extremo que plastifica primero. `N_diagramaMC2()` calcula los valores de momento directamente a partir de los valores de curvatura.

`N_diagramaMC()` presenta la ventaja de que con un menor número de puntos (20 puntos) el diagrama queda bien definido. Por medio de `N_diagramaMC2()`, se requieren 100 puntos ( $\chi_i, M_i$ ) para que el diagrama sea representativo. Sin embargo, la desventaja de `N_diagramaMC()` es que para el caso de material con endurecimiento con valores grandes de axil, no ofrece buenas soluciones debido a la limitación de la función `zpAndN_zfn()`.

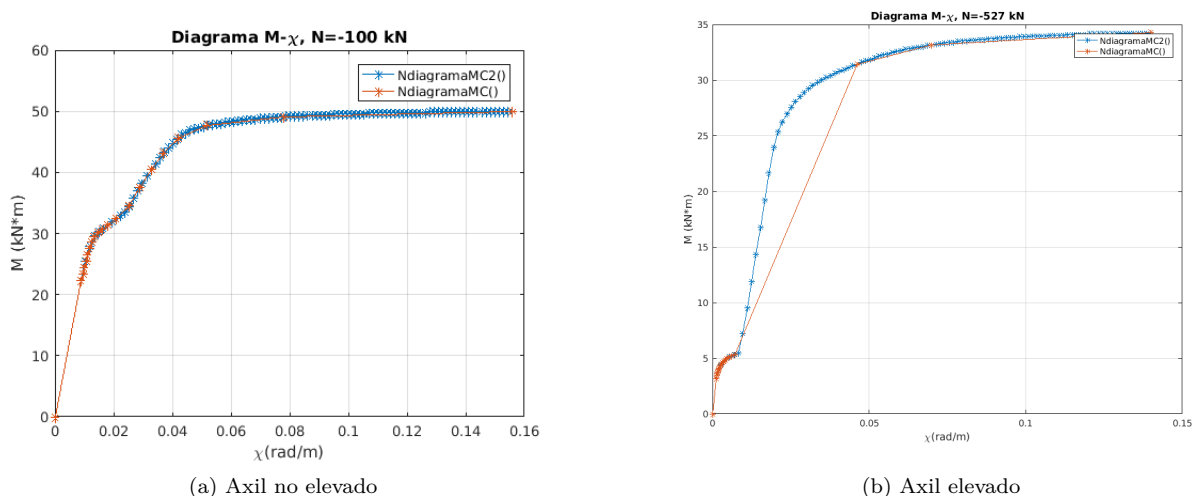


Figura 4.18: Limitación de la función `N_diagramaMC()` con secciones con material con endurecimiento.

El procedimiento que sigue la función `N_diagramaMC()` es:

- i. Se determina el extremo (superior/inferior) de la sección que plastifica primero por medio de  $N\_Me()$ .
- ii. Se calcula la profundidad de plastificación máxima ( $z_{pmax}$ ) y su carácter (compresión/tracción) a partir de la función  $N\_Mp()$ .
- iii. Se crea el vector que contienen todas las profundidades de plastificación ( $z_{pi}$ ) a las que se va a calcular su momento ( $M_i$ ) y curvatura ( $\chi_i$ ) correspondientes. Siendo  $z_{pi} \in [0, 0'95 z_{pmax}]$ ,  $i=1,...,20$ .
- iv. Para cada  $z_{pi}$  se calcula  $M_i$  y  $\chi_i$  mediante la función  $zpAndN\_momento()$ .

El procedimiento que sigue la función  $N\_diagramaMC2()$  es:

- i. Se calcula la profundidad de plastificación máxima ( $z_{pmax}$ ) mediante  $N\_Mp()$ .
- ii. Se calcula la curvatura máxima que se considera ( $\chi_{max}$ ). Esta curvatura corresponde al la profundidad de plastificación  $0,95 z_{pmax}$ .  $\chi_{max}$  se calcula por medio de la función  $zpAndN\_momento()$ .
- iii. Se calcula el vector que contiene todas las curvaturas,  $\chi_i$ .  $\chi_i \in [0, \chi_{max}]$ ,  $i=1,...,100$ .
- iv. Para cada  $\chi_i$  se calcula el momento correspondiente  $M_i$ , por medio de la función  $chiAndN\_momento()$ .

#### 4.3.4.5. Cálculo del diagrama interacción $N'_p - M'_p$

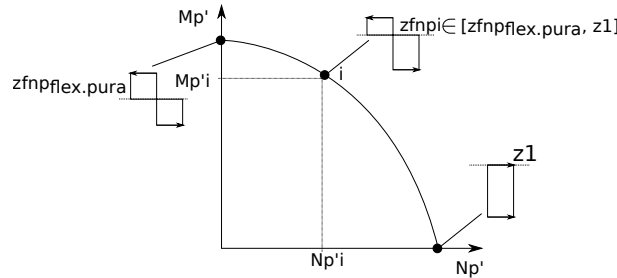


Figura 4.19: Diagrama interacción axil - momento ( $N > 0, M > 0$ )

El diagrama de interacción Axil - Momento se calcula por medio de la función *diagrama\_interaccionNM()* y su procedimiento es:

- i. Se calcula la posición de la fibra neutra asociada al diagrama de tensión normal de agotamiento cuando la sección está solicitada por flexión pura ( $zfnpflex.pura$ ).
- ii. Se calcula el vector que contiene todas las posiciones de fibra neutra ( $zfnpi$ )
  - ii.a Si el axil es de tracción y el momento comprime el extremo superior de la sección,  $zfnpi \in [zfnpflex.pura, z1]$ , ver Figura 4.19.
  - ii.b Si el axil es de compresión y el momento comprime el extremo superior de la sección,  $zfnpi \in [z2, zfnpflex.pura]$ .
- iii. Se calculan los puntos del diagrama ( $N'_p, M'_p$ ). Para cada posición de fibra neutra,  $zfnpi$ , se calcula  $N'_p$  y  $M'_p$  mediante la función *zfnp\_NpMp()*.

#### 4.3.5. Propiedades de las secciones

Las secciones se caracterizan por su geometría y por el material del que están compuestas, de esto se encarga el módulo *propSeccion*. Este módulo está compuesto, por tanto, de dos funciones principales:

- propSeccion.propGeom()*: función que calcula las propiedades geométricas de las secciones o porciones de éstas.
- propSeccion.propMaterial()*: calcula las propiedades del material del que están compuestas las secciones.

##### 4.3.5.1. Propiedades geométricas

Por medio del Teorema de Green se puede relacionar la integral de superficie con la integral de línea. [8]

**Teorema 1 (Teorema de Green)** Sea  $C$  una curva continua a trozos y  $\Omega$  una región que consiste en  $C$  y su interior. Si  $P(y,z)$  y  $Q(y,z)$  son funciones continuas de Clase 1 a lo largo de la región  $\Omega$ , entonces:

$$\int \int_{\Omega} \left( \frac{\partial P}{\partial y} - \frac{\partial Q}{\partial z} \right) dy dz = \oint_C (P dy + Q dz)$$

El signo de la integral de línea de la derecha está asociado a la orientación de la curva, de manera que si se camina sobre ella con la orientación de la misma, si la región  $\Omega$  queda a la izquierda, entonces la integral es positiva.

Un polígono es una curva cerrada compuesta por varios segmentos  $C_i$ . Por lo que el Teorema de Green queda:

$$\oint (P(y, z) dy + Q(y, z) dz) = \sum_i \int_{C_i} (P(y, z) dy + Q(y, z) dz)$$

Cada uno de estos segmentos está definido por dos vértices consecutivos con coordenadas  $(y_i, z_i)$  y  $(y_j, z_j)$ , que forman una arista del polígono y tiene como ecuación:

$$z = z_i + \lambda (y - y_i)$$

$$\text{o bien, } y = y_i + \frac{1}{\lambda} (z - z_i)$$

Siendo:

$$\lambda = \frac{z_j - z_i}{y_j - y_i}; \quad i = 1, 2, \dots, n; \quad j = \begin{cases} i+1 & i < n \\ 1 & i = n \end{cases}$$

Por tanto, aplicando el Teorema de Green a las expresiones del área y momentos de área, se pueden obtener expresiones con las que se pueden calcular dichas propiedades geométricas a partir de las coordenadas de los vértices de los polígonos. Estas expresiones son:

$$A = \int \int_{\Omega} dy dz = - \oint_C z dy = - \sum_{i=1}^n \int_{y_i}^{y_j} (z_i + \lambda (y - y_i)) dy = - \frac{1}{2} \sum_{i=1}^n (z_i + z_j) (y_j - y_i); \quad (P = -z, Q = 0)$$

$$W_y = \int \int_{\Omega} z dy dz = - \frac{1}{2} \oint_C z^2 dy = - \frac{1}{2} \sum_{i=1}^n \int_{y_i}^{y_j} [z + \lambda (y - y_i)]^2 dy = - \frac{1}{6} \sum_{i=1}^n (y_j - y_i) (z_i^2 + z_i z_j + z_j^2); \quad (P = -z^2/2, Q = 0)$$

$$W_z = \int \int_{\Omega} y dy dz = \frac{1}{2} \oint_C y^2 dz = \frac{1}{2} \sum_{i=1}^n \int_{z_i}^{z_j} [y_i + \frac{1}{\lambda} (z - z_i)]^2 dz = \frac{1}{6} \sum_{i=1}^n (z_j - z_i) (y_i^2 + y_i y_j + y_j^2); \quad (P = 0, Q = y^2/2)$$

$$I_y = \int \int_{\Omega} z^2 dy dz = - \frac{1}{3} \oint_C z^3 dy = - \frac{1}{3} \sum_{i=1}^n \int_{y_i}^{y_j} [z_i + \lambda (y - y_i)]^3 dy = - \frac{1}{12} \sum_{i=1}^n (y_j - y_i) (z_i^3 + z_i^2 z_j + z_i z_j^2 + z_j^3); \quad (P = -y^3/3, Q = 0)$$

$$I_z = \int \int_{\Omega} y^2 dy dz = \frac{1}{3} \oint_C y^3 dz = \frac{1}{3} \sum_{i=1}^n \int_{z_i}^{z_j} [y_i + \frac{1}{\lambda} (z - z_i)]^3 dz = \frac{1}{12} \sum_{i=1}^n (z_j - z_i) (y_i^3 + y_i^2 y_j + y_i y_j^2 + y_j^3); \quad (P = 0, Q = z^3/3)$$

A partir de los valores de área y momentos estáticos se obtienen los valores de las coordenadas del centro de gravedad:

$$y_G = \frac{W_z}{A}; \quad z_G = \frac{W_y}{A}.$$

### Cálculo de propiedades geométricas de secciones compuestas

Si una sección está compuesta por varias regiones que no se superponen entre ellas,  $\Omega = \Omega_1 \cup \Omega_2 \cup \dots \cup \Omega_n$ , sus propiedades geométricas se calculan de la siguiente manera:

$$\begin{aligned} I_y(\Omega) &= \sum_{i=1}^n I_y(\Omega_i); \quad I_z(\Omega) = \sum_{i=1}^n I_z(\Omega_i) \\ W_y(\Omega) &= \sum_{i=1}^n W_y(\Omega_i); \quad W_z(\Omega) = \sum_{i=1}^n W_z(\Omega_i) \\ y_G(\Omega) &= \frac{\sum_{i=1}^n y_G(\Omega_i) A(\Omega_i)}{\sum_{i=1}^n A(\Omega_i)}; \quad z_G(\Omega) = \frac{\sum_{i=1}^n z_G(\Omega_i) A(\Omega_i)}{\sum_{i=1}^n A(\Omega_i)} \end{aligned}$$

#### 4.3.5.2. Propiedades del material

Para los cálculos puede ser necesario determinar las siguientes propiedades del material a partir de su ley constitutiva ( $\sigma = \sigma(\epsilon)$ ).

$\epsilon_{ec}, \epsilon_{et}$ : deformación unitaria en el límite elástico a compresión y tracción, respectivamente.

$\sigma_{ec}, \sigma_{et}$ : tensión en el límite elástico a compresión y tracción, respectivamente.

$E$ : módulo de Young, que es igual a  $E = \frac{\sigma_{et}}{\epsilon_{et}}$ .

$\sigma_{pc}, \sigma_{pt}$ : tensión última de fluencia (antes de romper) a compresión y tracción.

Estas propiedades se obtienen, para cualquier tipo de modelo de material, sabiendo que  $\sigma_{pt}$  es el valor máximo de tensión y  $\sigma_{pc}$  es el valor mínimo de tensión. Puesto que los puntos característicos de la ley constitutiva están ordenados de menor a mayor,  $(\epsilon_{ec}, \sigma_{ec})$  es el punto anterior a  $(0,0)$  y  $(\epsilon_{et}, \sigma_{et})$  es punto posterior a  $(0,0)$ .

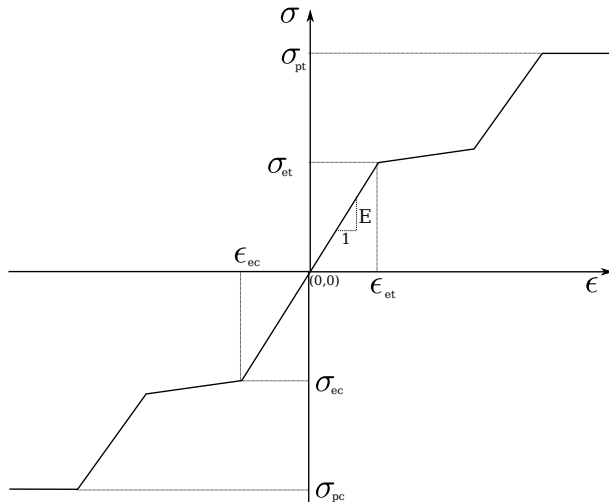


Figura 4.20: Cálculo de propiedades del material

#### 4.3.6. Problemas geométricos

Los problemas geométricos que requiere el programa son: calcular los puntos de corte entre un polígono y una recta, determinar la porción de un polígono que queda a un lado de una recta y cambiar el sistema de referencia de un conjunto de puntos. De estos problemas se ocupa el módulo *problGeom*.

Como nos podemos encontrar con la situación que muestra la Figura 4.21, los polígonos se pueden ver de dos formas:

polígono simple: formado por un sólo polígono (array), o

polígono compuesto: formado por un conjunto de polígonos. Estos se definen por medio de una estructura *cell* cuyos componentes son polígonos simples (array).

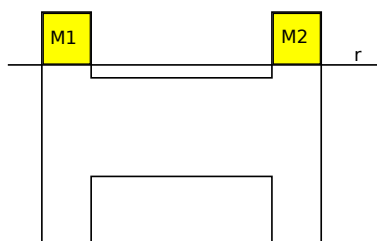


Figura 4.21: Ejemplo de un polígono compuesto

Por tanto las variables que maneja este módulo son:

P: en el caso de ser un polígono simple: polígono formado por una sucesión de puntos ordenados de manera que dos puntos consecutivos forman una arista y de forma que la región que encierra siempre queda a la izquierda de la arista. Si se trata de un polígono compuesto,  $P = \{P_1, P_2, \dots, P_n\}$ , donde  $P_i$  es un polígono simple.

r: recta definida por las constantes a,b,y c. Siendo así la ecuación de la recta:  $c y = a x + b$ .  $r = [a, b, c]$ .

#### 4.3.6.1. Cambio de sistema de referencias

Se busca cambiar el sistema de referencia de un conjunto de puntos,  $P$ , referidos al sistema de referencia  $OXY$  a otro  $O'X'Y'$ . Este cambio de sistema de referencia puede suponer una rotación y una traslación de ejes.

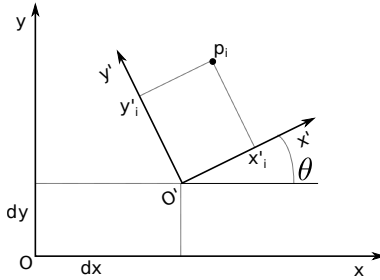


Figura 4.22: Cambio de sistema de referencia (traslación y rotación)

Por tanto, para todo  $p_i \in P$

Siendo  $p_i$  un punto del conjunto  $P$  con coordenadas  $(x_i, y_i)$ :

$$\begin{bmatrix} x'_i \\ y'_i \end{bmatrix} = \begin{bmatrix} \cos(\theta) & \sin(\theta) \\ -\sin(\theta) & \cos(\theta) \end{bmatrix} \begin{bmatrix} x_i \\ y_i \end{bmatrix} + \begin{bmatrix} -dx \\ -dy \end{bmatrix}$$

*cambioSistCoord()* es la función que cambia el sistema de coordenadas de un polígono simple.

*calculo\_cambioSistCoord()* es la función que cambia el sistema de coordenadas de un conjunto de polígonos compuestos.

#### 4.3.6.2. Calcular los puntos de corte entre un polígono y una recta

Sea una región  $\Omega \subset \mathbb{R}^2$ , con un contorno  $P$  compuesta por un conjunto de segmentos rectos  $l_i$ .

Sea una recta r que se desarrolla en el espacio  $\mathbb{R}^2$  definida por la ecuación:

$$r : c y = a x + b$$

Siendo a,b,c: constantes.

Los puntos de corte se obtienen de la intersección de  $P$  y  $r$ , y cumplen:

$$\mathbf{pc} = P \cap r = \{(x, y) \in P : c y - a x = b\}$$

Para calcular los puntos de corte  $\mathbf{pc}$  hay que evaluar la intersección de la recta r con cada uno de los segmentos rectos  $l_i$ .

$l_i$  está delimitado por dos puntos con coordenadas  $(x_i, y_i)$  y  $(x_j, y_j)$ .

Siendo,

$$i = 1, \dots, nvert; \quad j = \begin{cases} i + 1 & i < nvert \\ 1 & i = nvert \end{cases}$$

$nvert$  : número de vértices del polígono  $P$ .

Existe un punto de intersección entre  $l_i$  y r si:

$$[\text{I}] c y_i - a x_i > b \text{ y } c y_j - a x_j < b \text{ o}$$

$$[\text{II}] c y_i - a x_i < b \text{ y } c y_j - a x_j > b \text{ o}$$

$$[\text{III}] c y_i - a x_i = b \text{ o}$$

$$[\text{IV}] c y_j - a x_j = b$$

Para evitar calcular dos veces el mismo punto de corte, evaluaremos para cada  $l_i$  las condiciones [I], [II] y [III]. De manera que la condición [IV] se evaluaría con el siguiente segmento  $l_{i+1}$ .

- Si existe un punto de corte, se calcula de manera que:

- Si se cumple la condición [III]  $\rightarrow pc_k = (x_i, y_i)$
- Si se cumple la condición [I] o [II]  $\rightarrow$  se calcula por el método de Cramer las coordenadas del punto de corte entre  $l_i$  y r:

$$pc_k = l_i \cap r = \{(x, y) \in l_i : cy - ax = b\}$$

Sea la ecuación de la recta de  $l_i : c_i y - a_i x = b_i$

Por tanto el punto de corte se calcula resolviendo:

$$\begin{bmatrix} c_i & -a_i \\ c & -a \end{bmatrix} \begin{bmatrix} yc_k \\ xc_k \end{bmatrix} = \begin{bmatrix} b_i \\ b \end{bmatrix}$$

$$xc_k = \frac{c_i b - c b_i}{c_i a + c a_i}; \quad yc_k = \frac{-b_i a + b a_i}{c_i a + c a_i}$$

Siendo,  $k = 1, \dots, n_{pc}$

$n_{pc}$  :número de puntos de corte entre P y r.

*pc\_poly\_r()*: es la función que calcula los puntos de corte entre una recta y un polígono simple.

*calculo\_pc\_poly\_r()*: es la función que calcula los puntos de corte entre una recta y un polígono compuesto.

#### 4.3.6.3. Calcular la porción de una sección que cae a un lado de una recta

Sea una región  $\Omega \subset \mathbb{R}^2$ , con un contorno P compuesta por un conjunto de segmentos rectos  $l_i$ .

Sea una recta r que se desarrolla en el espacio  $\mathbb{R}^2$  definida por la ecuación:

$$r : cy = ax + b$$

Siendo a,b,c: constantes.

Se busca determinar la porción o porciones de P que quedan a un lado de r. Esto es un problema conocido de Geometría Computacional. La función *clipArea()* sigue la estrategia de solución de Shutherland - Hodgman.

Este problema se resuelve por medio de los siguientes pasos:

1. Determinar qué vértices del polígono cumplen la condición.
2. Comprobar si se dan situaciones especiales.
3. Calcular todos los vértices que forman parte del contorno de la porción del polígono que queda a un lado de la recta.
4. Clasificar las aristas y generar el polígono o polígonos resultantes.

#### Paso 1: Determinar qué vértices cumplen la condición

En esta fase se crea la matriz booleana B, cuyos componentes son 1 si el vértice de P cumple la condición y 0 en caso contrario.

Los puntos  $p_i \in P$  que cumplen la condición son los que cumplen alguna de las siguientes condiciones:

$$[I] \quad cy_i - ax_i > b \quad y \quad cy_j - ax_j < b \quad o$$

$$[II] \quad cy_i - ax_i < b \quad y \quad cy_j - ax_j > b \quad o$$

$$[III] \quad cy_i - ax_i = b \quad o$$

$$[IV] \quad cy_j - ax_j = b$$

Si algún punto cumple la condición [I] o [II] se añade un 1, en caso contrario se añade un 0 a la matriz B.

Si el vértice  $p_i$  cumple la condición [III], se incrementa una unidad a la variable *vi\_In\_r*, que cuenta el número de vértices del polígono P que caen sobre la recta r.

### Paso 2: Comprobar situaciones especiales

En esta fase se contemplan las situaciones:

a) El polígono P y r no cortan, este caso se da bien porque todos los elementos de B son nulos o bien porque siendo todos los elementos de B la unidad, ningún punto del polígono coincide con r ( $vi\_In\_r=0$ ). Por tanto, la salida de la función en este caso sería un conjunto vacío.

b) La recta r es tangente al polígono P. En este caso todos los elementos de B son la unidad y algún vértice de P coincide con r. Así, la salida de la función en este caso sería el polígono P.

De darse alguna de estas dos situaciones la función no continuaría con los siguientes pasos.

### Paso 3: Calcular todos los vértices

Este paso consiste en añadir todos los vértices que forman el contorno de la región buscada y los cuales son recogidos en la matriz R. Este paso se basa en el algoritmo de Shutherland - Hodgman que distingue cuatro situaciones al evaluar dos vértices de P consecutivos ( $pi$  y  $pj$ ), las podemos ver con la Figura 4.23:

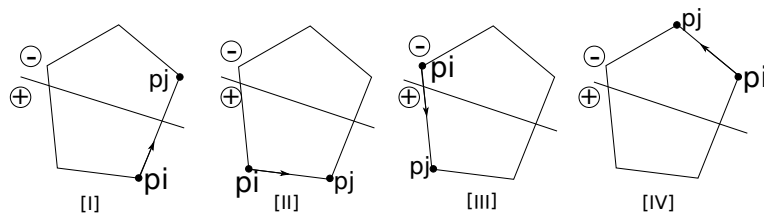


Figura 4.23: Evaluación de los vértices según Sutherland-Hodgman

Caso [I]:  $pi$  cumple la condición y  $pj$  no cumple condición, se añade el vértice  $pi$  y se añade el punto de intersección entre  $l_i$  y  $r$ .

Caso [II]:  $pi$  y  $pj$  cumplen la condición, ambos vértices se añaden.

Caso [III]:  $pi$  no cumple condición y  $pj$  sí cumple condición, en este caso se añade el punto de intersección entre  $l_i$  y  $r$ , y también el vértice  $pj$ . En este caso además añadimos el índice del punto nuevo generado en este paso y lo almacenamos en la variable `outInArray`, que son los puntos candidatos a formar el final de un polígono y el comienzo del siguiente, evaluación que se considera en el siguiente Paso 4.

Caso [IV]: tanto  $pi$  como  $pj$  no cumplen condición, en este caso no se añade ningún punto a la matriz R.

### Paso 4: Clasificar aristas y generar polígonos

Del paso anterior pueden resultar que una región del polígono P, que cumple la condición, esté dividida en varias regiones como se muestra en la Figura 4.24.

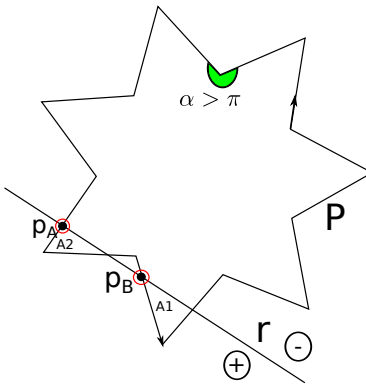


Figura 4.24: Polígono cóncavo con más de una porción resultante ( $A_1$  y  $A_2$ )

Esto sucede con los polígonos cóncavos (polígonos que presentan al menos un ángulo interno entre dos aristas mayor que  $\pi$  radianes). Por tanto se requiere este cuarto paso, en el que se clasifican las aristas. Esto es, determinar si pertenecen o no al nuevo contorno. Si no pertenece, significa que es el inicio de un nuevo polígono.

Las aristas que se consideran son las formadas por los puntos generados en el paso anterior cuando se evaluaba el caso [IV] y el vértice anterior de  $R$ , estos son, los puntos candidatos a ser el inicio de una nueva porción y además, se encuentran sobre la recta  $r$ . Los índices de estos puntos vienen recogidos en la variable *index\_ouInArray*. Se puede ver en la Figura 4.24 los puntos marcados  $p_A$  y  $p_B$  son candidatos a iniciar una nueva porción.

Una arista forma parte del contorno si se cumplen las condiciones: un punto intermedio de la arista se encuentra en el interior del polígono  $P$ , no existe ningún punto de corte en el interior de la arista. Estas condiciones se evalúan de la siguiente forma:

Un punto candidato a ser el inicio de una nueva porción ( $R_n$ ), tiene asociados dos puntos: el punto anterior que cumple la condición ( $R_{n-1}$ ) y el punto previo dentro de  $P$ , que no cumple la condición ( $p_{out}(R_n)$ ). Para que  $R_n$  sea continuación de  $R_{n-1}$ , esto significa que  $R_n$  no es el comienzo de una nueva porción, se debe cumplir:

- Área del triángulo formado por los puntos  $R_{n-1}$ ,  $p_{out}(R_n)$  y  $R_n$  ha de ser positivo.
- No debe haber ningún punto de corte entre  $R_{n-1}$  y  $R_n$ .

Sea por ejemplo el caso de la Figura 4.25, donde  $R_i$  y  $R_j$  son candidatos a ser puntos que inician una nueva porción.

Evaluando el punto  $R_i$ : i. Área[triángulo( $R_{i-1}$ ,  $p_{out}(R_i)$ ,  $R_i$ )] < 0 →  $R_i$  no es continuación de  $R_{i-1}$ . Por tanto, comienza una nueva porción con  $R_i$ .

En el caso de  $R_j$ : i. Área[triángulo( $R_{j-1}$ ,  $p_{out}(R_j)$ ,  $R_j$ )] > 0 . ii. No existe ningún punto de corte entre  $R_j$  y  $R_{j-1}$ . Como se cumplen las condiciones i y ii,  $R_j$  es continuación de  $R_{j-1}$ .

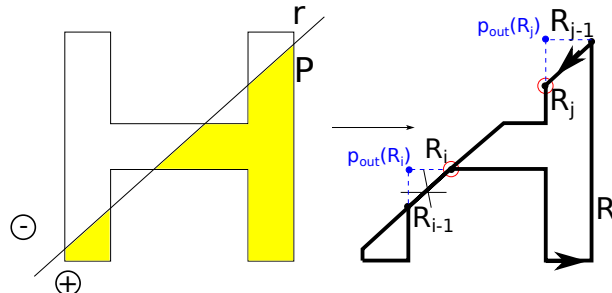


Figura 4.25: Evaluación de las aristas

### 4.3.7. Resolución de ecuaciones no lineales

Este problema consiste en hallar el valor de  $x$  que hace cumplir la condición  $f(x) = 0$ .

Los métodos de resolución de ecuaciones no lineales de una variable se dividen en dos grupos principales: aquellos que parten de un intervalo que contiene a la raíz y los que no parten de dicho intervalo.

Siempre se recomienda que el método iterativo no salga de un intervalo, ya que podría suponer la no convergencia de la solución[16]. Es por esto que siempre que se obtenga un intervalo que contenga a la raíz por medio de la función *approot()* se optará por el método de Brent (*zero()*). En caso de no haya sido posible encontrar un intervalo, se recurrirá al método de la secante (*secant()*).

#### 4.3.7.1. Cálculo del intervalo que contiene una raíz

Se busca un intervalo  $(a, b)$  que contenga una raíz de  $f(x)$ . Dicho intervalo deberá cumplir la condición  $f(a)f(b) < 0$ . Si la función es continua por el Teorema del Valor Medio se sabe que existe un valor de  $x$  entre  $a$  y  $b$  que cumple  $f(x) = 0$ .

Para obtener dicho intervalo  $(a, b)$ , se evalúa un tramo  $(A, B)$  del dominio de la función. Este tramo se subdivide en  $n$  subtramos. Se evalúa cada subtramo  $(x_i, x_{i+1})$ , si  $f(x_i)f(x_{i+1}) < 0 \rightarrow a = x_i, b = x_{i+1}$ .

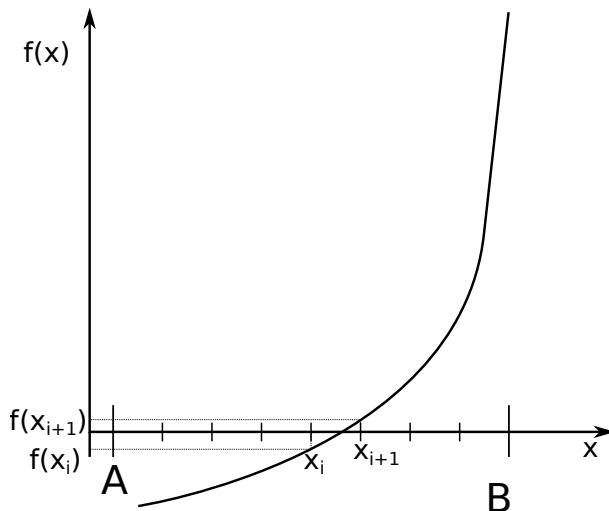


Figura 4.26: Búsqueda de un intervalo mediante *approot()*

#### 4.3.7.2. Método de la secante

Se busca el valor  $x_r$  que haga  $f(x_r) = 0$ .

El método de la secante es un método iterativo en el que cada iteración considera la función  $f(x)$  localmente lineal en el intervalo entre dos puntos  $x_1$  y  $x_2$ , de manera que considera:  $f(x) = Ax + B$ , siendo  $A = \frac{f(x_2) - f(x_1)}{x_2 - x_1}$  y  $B = f(x_1) + \frac{f(x_2) - f(x_1)}{x_2 - x_1}x_1$ , por lo que haciendo  $0 = Ax + B$  y despejando  $x$  obtendríamos una estimación de la raíz de  $f(x)$  a partir de los valores  $x_1$  y  $x_2$ .

Por tanto, el esquema iterativo queda:

$$x_0 = a$$

$$x_1 = b$$

$$x_i = x_{i-1} - f(x_{i-1}) \frac{x_{i-1} - x_{i-2}}{f(x_{i-1}) - f(x_{i-2})}$$

si  $|f(x_i)| < \text{tolerancia} \rightarrow x_r = x_i$

sino,  $i = i + 1$

Siendo,

$x_r$  :raíz de  $f(x)$ , que cumple  $|f(x_r)| < \text{tolerancia}$

$x_{i-1}, x_{i-2}$  :las dos estimaciones de la raíz

$a, b$  : dos valores del dominio de  $f(x)$ . A ser posible, próximos al valor de la raíz, con los que se pone en marcha el método

*tolerancia* :valor que consideramos

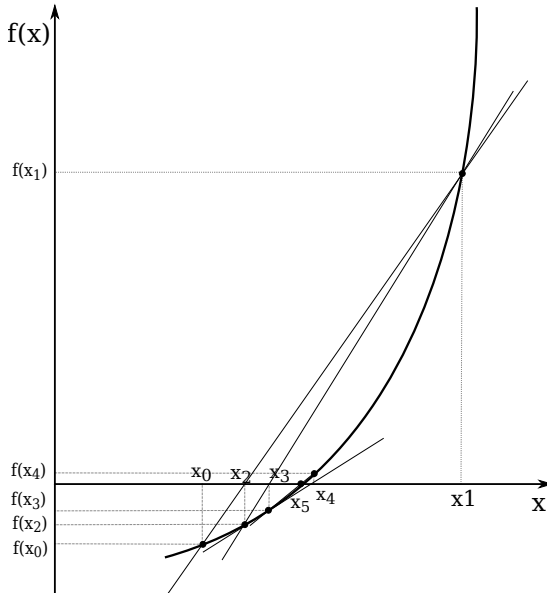


Figura 4.27: Ejemplo de uso del método de la secante

#### 4.3.7.3. Método de Brent

Se busca el valor  $x$  que haga  $f(x) = 0$ . Se parte de un intervalo  $(a, b)$  que contiene la raíz.

El método de la bisección es confiable, pero puede suponer gran número de iteraciones para alcanzar una raíz con una tolerancia prefijada. Por otro lado, el método de la secante es rápido pero no se garantiza que la búsqueda de la raíz esté dentro de un intervalo, lo que puede llevar a que la solución no converja.

El método de Brent combina la fiabilidad del método de la bisección con la rapidez de un método como el de la secante, es por ello la razón de su elección siempre que dispongamos de un intervalo que acote a la raíz.

En cada iteración, la estimación se puede llevar a cabo por medio de una interpolación inversa cuadrática, el método de la secante (interpolación lineal) o bien por el método de la bisección.

El método de Brent se basa en hacer una estimación en cada paso por medio de una interpolación inversa cuadrática. De esta forma se hace la interpolación de  $f(x)$  a partir de tres puntos  $a, b$  y  $c$ , por tanto su expresión es:

$$x = \frac{(y-f(a))(y-f(b))c}{(f(c)-f(a))(f(c)-f(b))} + \frac{(y-f(b))(y-f(c))a}{(f(a)-f(b))(f(a)-f(c))} + \frac{(y-f(c))(y-f(a))b}{(f(b)-f(c))(f(b)-f(a))}$$

Haciendo  $y=0$  y despejando  $x$ , obtenemos la expresión de la estimación por medio de una interpolación inversa cuadrática[16]:

$$x = b + P/Q, \text{ siendo:}$$

$$P = S [T(R-T)(c-b) - (1-R)(b-a)]$$

$$Q = (T-1)(R-1)(S-1)$$

$$R = f(b)/f(c); S = f(b)/f(a); T = f(a)/f(c).$$

$b$  :es la mejor estimación, por tanto  $|f(b)| < |f(a)|, |f(b)|$

$P/Q$  :es una pequeña corrección.

$c$  : es el contrapunto, valor que cumple  $f(c)f(b) < 0$

Puesto que esta estimación ofrece malos resultados cuando  $Q \simeq 0$ , el método de Brent se anticipa a este problema. Así, si  $P/Q$  no cae dentro de cierto rango, el método de Brent fuerza que la estimación se haga por medio de una biseción. De esta forma se garantiza que la búsqueda de la raíz se encuentre dentro de un intervalo acotado.

Si de los puntos  $a, b$  y  $c$  hay dos que coinciden, entonces la estimación se haría haciendo una interpolación lineal de la función (método de la secante).

En consecuencia, la estimación en un paso ( $j$ ), se lleva a cabo en función de una interpolación (lineal o cuadrática) si se cumplen las condiciones siguientes[14], en caso contrario la estimación del paso ( $j$ ) se llevaría por medio del método de la biseción ( $x = \frac{b+c}{2}$ ):

$$\text{i. } |\frac{P}{Q}| \geq \frac{3}{4} |c - b|$$

(ver Figura 4.28)

ii.a Si en el paso previo ( $j-1$ ) se llevó a cabo por medio de una biseción, permite la interpolación si se cumple:

$$\text{ii.a.1 } |\frac{P}{Q}|_j < \frac{1}{2} |\frac{P}{Q}|_{j-1}$$

$$\text{ii.a.2 } |\frac{P}{Q}|_{j-1} > \frac{\delta}{2}$$

ii.b Si en el paso previo ( $j-1$ ) se llevó a cabo por medio de una interpolación, permite la interpolación si se cumple:

$$\text{ii.b.1 } |\frac{P}{Q}|_j < \frac{1}{2} |\frac{P}{Q}|_{j-2}$$

$$\text{ii.b.2 } |\frac{P}{Q}|_{j-2} > \frac{\delta}{2}$$

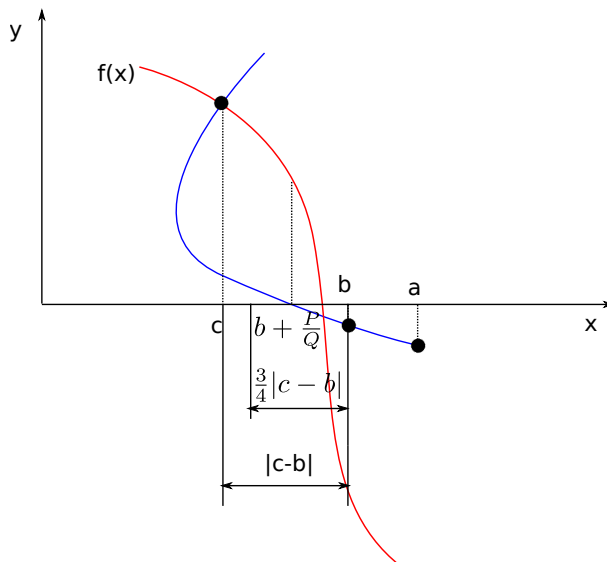


Figura 4.28: Condición i. del método de Brent

# Capítulo 5

## Ejemplos de aplicación

### 5.1. Caracterización del comportamiento de una sección

Para caracterizar el comportamiento de una sección sometida a flexión pura y compuesta, tras definir su geometría y material, mostraremos el diagrama Momento - Curvatura con el que podemos visualizar la capacidad de rotación de la sección ante un momento flector y posteriormente su diagrama de interacción Axil - Momento, que muestra todas las combinaciones de esfuerzos de axil y momento que se pueden dar simultáneamente en la sección. Finalmente, a modo de ejemplo, se tomará una de estas combinaciones para ver cual sería su distribución de tensiones ante la solicitud seleccionada.

#### 5.1.1. Definición de la sección

```
Introducir caracteres entre comillas simple
Tipo de sección: 'cajon'
cajon: sección en cajón
distancia entre caras extremas de las almas, b (mm): 200
saliente alas, b1 (mm): 50
espesor ala superior, tf1 (mm): 50
altura almas, hw (mm): 200
espesor almas, tw (mm): 50
espesor ala inferior, tf2 (mm): 50

Tipo de material:'G1'
Tensión en el límite elástico (MPa): 40
Módulo de Young (MPa): 40e3
```

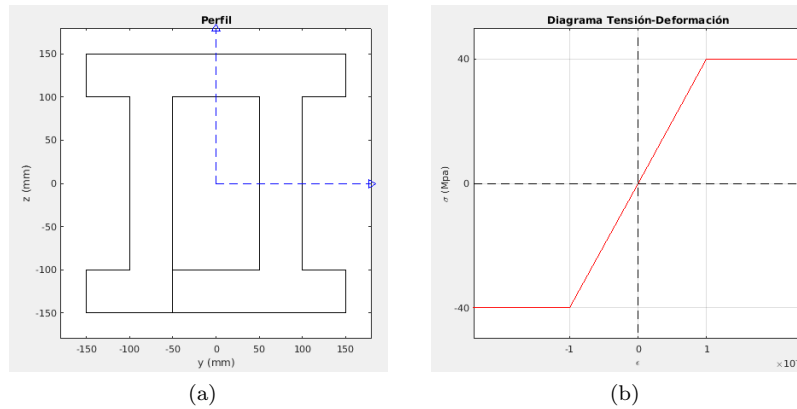


Figura 5.1: Geometría y material de la sección

### 5.1.2. Diagrama Momento - Curvatura

Introducir número asociado al problema: 1

\*\*\* RESULTADOS \*\*\*

Momento elástico: 144.4444 kN\*m

Curvatura( $M=Me$ ): 0.0066667 rad/m

Momento plástico: 190.0000 kN\*m

Factor de forma: 1.315385

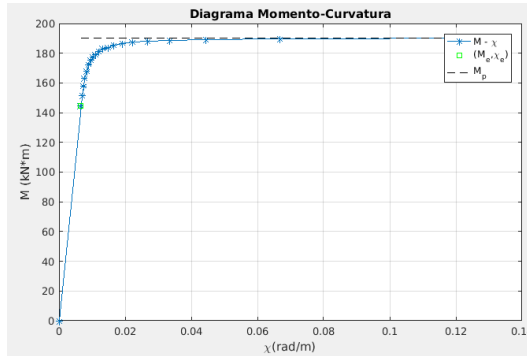


Figura 5.2: Diagrama Momento - Curvatura

### 5.1.3. Diagrama interacción Axil - Momento

Introducir número asociado al problema: 2

2: Cálculo del diagrama de interacción de la sección

$N'p - M'p$

Introduzca

n: axil de compresión

p: axil de tracción

SignoN: 'n'

\*\*\* RESULTADOS \*\*\*

Axil plástico ( $M_p=0$ ): -2000.0000 kN

Momento plástico ( $N_p=0$ ): 190.0000 kN\*m

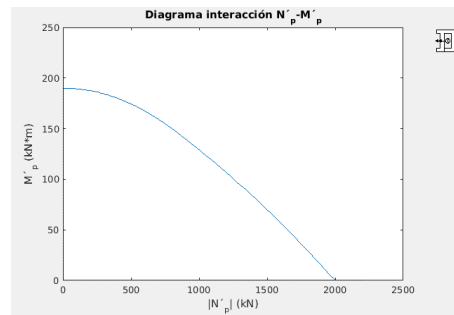


Figura 5.3: Diagrama interacción Axil - Momento ( $M > 0, N < 0$ )

#### 5.1.4. Plastificación de una sección

El diagrama de tensiones y deformaciones para una solicitación de:  $N=-1000$  kN;  $M= 120$  kNm

Introducir número asociado al problema: 3

3: Cálculo del diagrama de tensiones dada la  
solicitación de la sección ( $N, M$ )

Introducir valores de la solicitación:

Valor del axil,  $N$  (kN): -1000

Valor del momento,  $M$  (kNm): 120

\*\*\* RESULTADOS \*\*\*

Ley de Tensiones

$z$ (mm) sigma(MPa)

0.0000 32.2790

53.0527 0.0000

118.7954 -40.0000

300.0000 -40.0000

Curvatura= 0.015211 rad/m

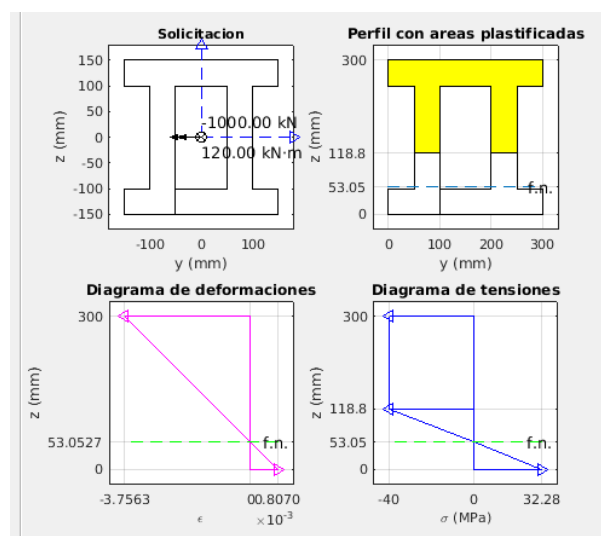


Figura 5.4: Distribución de tensiones y deformaciones

## 5.2. Casos de aplicación

En este apartado se utiliza el programa como una caja de herramientas (toolbox). De manera que se hará uso de diferentes funciones para resolver problemas específicos. Estos problemas están enfocados en el cálculo de la distribución de tensiones residuales (tras la descarga), cálculo de movimientos y cálculo de cargas críticas en estructuras isostáticas.

En el apéndice B, se pueden ver las descripciones de las funciones que permiten el uso de éstas. Para poder utilizar estas funciones se tienen que añadir los directorios que contienen a las funciones, mediante `addDirectorios`.

### Caso 1 Comparar diagramas $M - \chi$ de diferentes secciones

Puede ser interesante comparar los diagramas de Momento - Curvatura normalizados, para comparar el comportamiento plástico de diferentes secciones como muestra la Figura 5.5. Para ello utilizamos para cada sección la función `problFlexion.N_diagramaMC()` y dividimos los momentos por el momento elástico ( $M_e$ ) y las curvaturas por la curvatura asociada al momento elástico ( $\chi_e$ ).

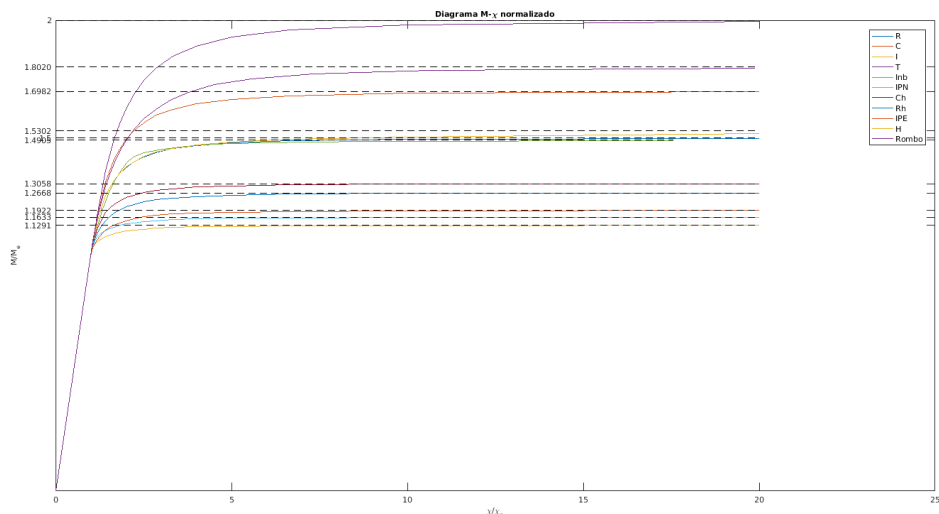


Figura 5.5: Comparación de diagramas  $M/M_e - \chi/\chi_e$

### Caso 2 Calcular distribución de tensiones y curvatura residuales

(Problema FlexPura 13 [13])

Sea la sección que se muestra en la figura, propiedades del material:  $\sigma_p = 20 \text{ MPa}$ ,  $E = 20 \cdot 10^3 \text{ MPa}$ . Se busca:

- Calcular el valor del momento flector  $M_a$  que plastifica la cabeza superior.
- Determinar la curvatura producida por el momento  $M_a$ .
- Representar el diagrama de tensiones residuales de la sección después de descargar el momento  $M_a$ .
- Determinar la curvatura residual.

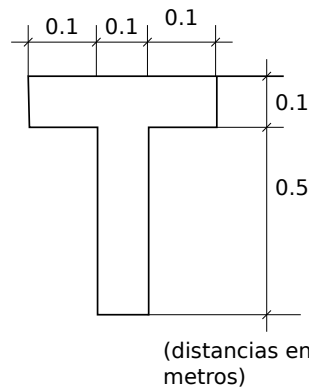


Figura 5.6: Sección problema FlexPura 13 [13]

```

addDirectorios% Añadir directorios
%Definición de la geometría
p=generacion_Modelo.verticesPoly('T',[600,300,100,100]);
zG=propSeccion.propGeom(p,'zG'); yG=propSeccion.propGeom(p,'yG');
p=problGeom.cambioSistCoord(p,-yG,-zG,0);
p=p*1e-3;
% Definición del material
ley_mat=generacion_Modelo.comportMaterial('G1',[20,20e3]);
ley_mat(:,2)=ley_mat(:,2)*1e3;

```

a) Calcular Ma:

```

% Valor del momento que plastifica cabeza (Ma)
Ma=problFlexion.zpAndN_momento(p,ley_mat,zfne,zfnp,0.1,'c',1,0)

```

$$M_a = 253,3333 \text{ kN} \cdot \text{m}$$

b) Curvatura que produce Ma ( $\chi_a$ ):

```

% Curvatura que produce Ma
[zfn,chi]=problFlexion.NAndM_zfnAndChi(p,ley_mat,0,Ma);

```

$$\chi_a = 0,01 \text{ rad/m}$$

c) Distribución de tensiones residuales (ver Figura 5.7b), tras la descarga de Ma y d) curvatura residual  $\chi_{res}$ :

```

[z_,epsz_,sigz_]=problFlexion.zfnAndChi_EpszAndSigz(p,ley_mat,zfn,chi);
% Calcular propiedades de la sección
Atot=propSeccion.propGeom(p,'area');
Iy=propSeccion.propGeom(p,'IGy');
zG=propSeccion.propGeom(p,'zG');
E=propSeccion.propMaterial(ley_mat,'E');
chiD=(-Ma)/(E*Iy); % el signo negativo, ya que aplicado de forma opuesta
% al de carga
zD_=z_+zfn; % referir los puntos a la posición cdg
% para calcular tensiones descarga
sigDescarga=-N/Atot*ones(size(z_))-chiD*zD_*E;
epsDescarga=chiD*zD_;
sigR=sigz_+sigDescarga;

```

```

epsR=epsz_+epsDescarga;
chiR=chi+chiD;
figure(1)
salidaDatos.mostrar_ley_tensiones([sigz_*1e-3,z_*1e3])
figure(2)
salidaDatos.mostrar_ley_tensiones([sigR*1e-3,z_*1e3])
title('Diagrama de Tensiones Residuales')
 $\chi_{res} = 0,0054 \text{ rad/m}$ 
    
```

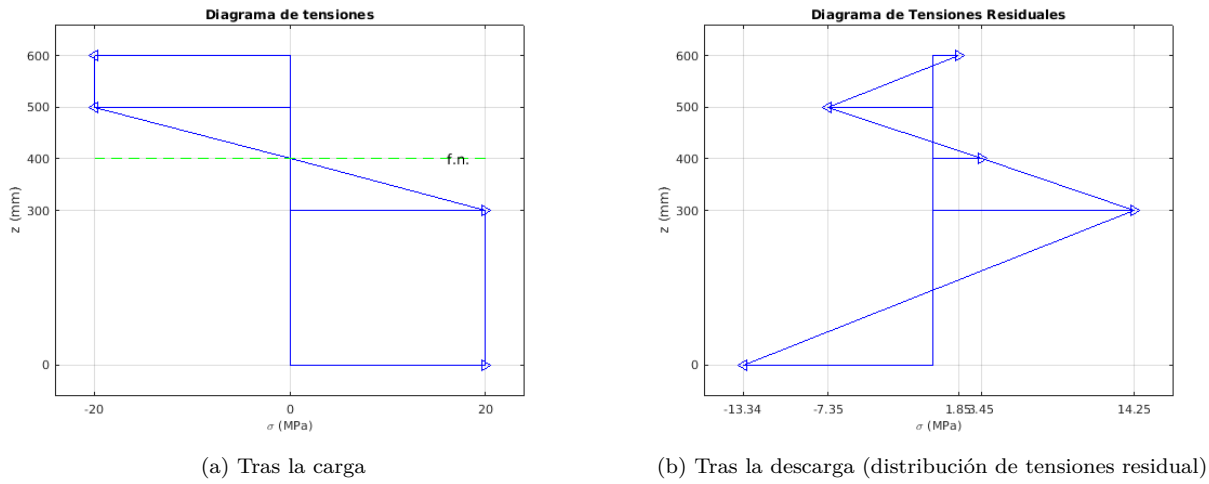


Figura 5.7: Distribución de tensiones

### Caso 3 Calcular movimientos en estructuras isostáticas

Para estructuras isostáticas podemos calcular las leyes de esfuerzos de forma directa para los diferentes regímenes, ya que este cálculo no depende del material. Por tanto, a partir de la ley de momentos se puede obtener la ley de curvaturas de la estructura y con ello usando las fórmulas de Bresse se pueden calcular los movimientos [3]. Dado que el programa solo abarca los casos de flexión pura y compuesta, sólo sería válido para los casos en los que se pudieran despreciar los efectos del cortante en la deformación y plastificación de la sección.

(Problema 3.13, Plasticidad Abreviada -Rafael Fernández Díaz-Munío [3])

Dada la estructura con una sección rectangular como se muestra en la Figura 5.8 y propiedades del material:  $\sigma_p = 200 \text{ kp/cm}^2$ ,  $E = 2 \cdot 10^5 \text{ kp/cm}^2$  Se pide: a) Calcular el máximo valor de carga  $P$  para que ninguna sección plastifique más de la mitad. b) Determinar el giro y flecha producidos por dicha carga en el extremo. c) Determinar el giro y la flecha remanentes tras la descarga.

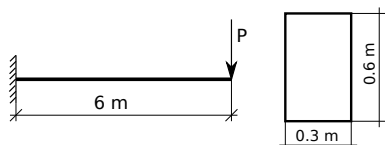


Figura 5.8: Estructura problema Caso 3 (Problema 3.13 [3])

```

%Definición de la geometría
p=generacion_Modelo.verticesPoly('R',[300,600]);
zG=propSeccion.propGeom(p,'zG'); yG=propSeccion.propGeom(p,'yG');
    
```

```

p=problGeom.cambioSistCoord(p,-yG,-zG,0);
p=p*1e-3;

% Definición del material
ley_mat=generacion_Modelo.comportMaterial('G1',[20,20e3]);
ley_mat(:,2)=ley_mat(:,2)*1e3;

```

a) El valor de carga P:

Como la ley de momentos es:

$$M(x) = -P \cdot (6 - x)$$

El mayor momento será en la sección de empotramiento. El momento asociado a una plastificación de la sección de la mitad es una profundidad de plastificación de 0.15 m:

```
[M,chi,zfn]=problFlexion.zpAndN_momento(p,ley_mat,zfne,zfnp,0.15,'c',2,0)
```

$$M = -495 \text{ kN} \cdot \text{m}$$

$$\text{Por tanto, } P = \frac{M}{L} = -82,5 \text{ kN}$$

b) Cálculo del giro y la flecha en el extremo A, se calcula mediante:

```

L=6;% longitud barra (m)
x=linspace(0,L,100);
% Ley de momentos
P=82.5;%kN
ley_M=@(x) -P*(L-x);
Marray=ley_M(x);
N=0;
% Ley de curvaturas
for i=1:length(Marray) [zfn,chi(i)]=problFlexion.NAndM_zfnAndChi(p,ley_mat,N,Marray(i));
end
p_chi=[[0,0];[6,0];[x(end:-1:1)',chi(end:-1:1)']];
p_chi=p_chi(end:-1:1,:);% si chi(L)<0
areaA=p_chi;
titaA=propSeccion.propGeom(areaA,'area')%giro en A (rad)
areaA=problGeom.cambioSistCoord(areaA,-L,0,0);
vA=-propSeccion.propGeom(areaA,'Wz')%flecha en A (m)

```

De donde se obtiene:

$$\theta_A = 0,014547 \text{ rad}$$

$$v_A = 0,059513 \text{ m}$$

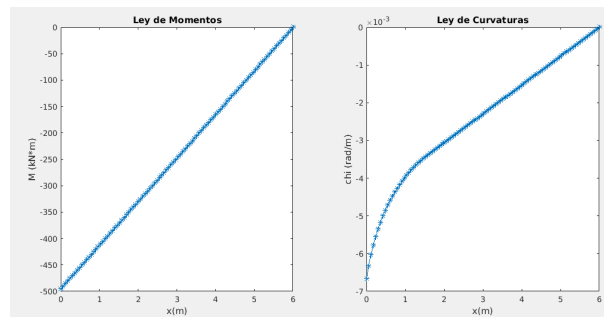


Figura 5.9: Caso 3 - Ley de momentos y de curvaturas

c) Giro y flecha tras la descarga del extremo A

```
% Calcular propiedades de la sección
Atot=propSeccion.propGeom(p,'area');
Iy=propSeccion.propGeom(p,'IGy');
zG=propSeccion.propGeom(p,'zG');
E=propSeccion.propMaterial(ley_mat,'E');

%%%% Ley de curvaturas Residuales
N=0;
for i=1:length(Marray)
    chiD=(-Marray(i))/(E*Iy); % el signo negativo, ya que aplicado de forma opuesta al de carga
    chiR(i)=chi(i)+chiD;
end
chi=chiR;
%%%%%
p_chi=[[0,0];[6,0];[x(end:-1:1)',chi(end:-1:1)']];
p_chi=p_chi(end:-1:1,:); % si chi(L)<0
areaA=p_chi;
titaA=propSeccion.propGeom(areaA,'area') %giro en A (rad)
areaA=problGeom.cambioSistCoord(areaA,-L,0,0);
vA=-propSeccion.propGeom(areaA,'Wz') %flecha en A (m)
```

De donde se obtiene:

$$\theta_A = 7,971132 \cdot 10^{-4} \text{ rad}$$

$$v_A = 0,004513 \text{ m}$$

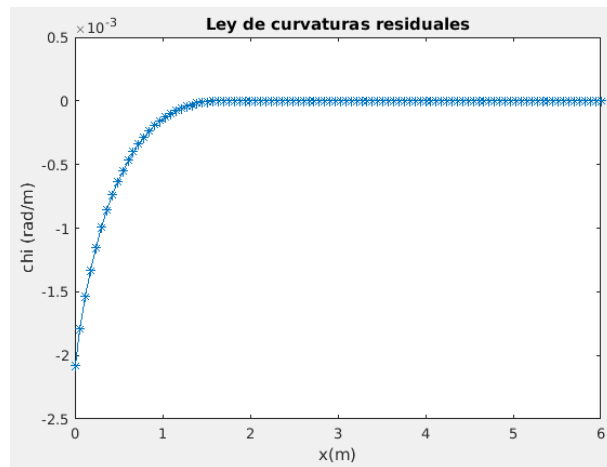


Figura 5.10: Caso 3 - Ley de Curvaturas Residuales

#### Caso 4 Calcular cargas de colapso

(Problema 4.5, Plasticidad Abreviada -Rafael Fernández Díaz-Munío [3])

Sea la estructura de la figura compuesta por la la columna AB de sección doble T (ver Figura 5.11) y por el pescante BC, que se considera infinitamente rígido. Se pide:

a) Calcular el valor de la carga  $P$  que produce el colapso de la estructura. b) Representar el diagrama de tensiones de la sección A cuando la carga  $P$  alcanza el 97% del valor teórico de colapso del apartado anterior.

Propiedades del material:  $\sigma_p = 200 \text{ kg/cm}^2$ ,  $E = 200 \times 10^3 \text{ kg/cm}^2$

Primero se define la sección del problema:

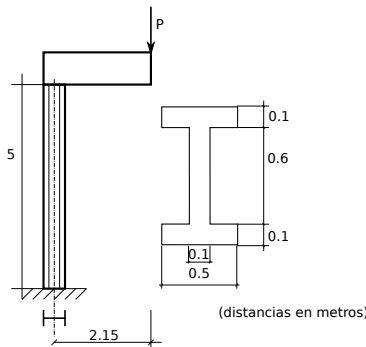


Figura 5.11: Estructura del Caso 4 (Problema 4.5 [3])

```
%Definición de la geometría
p=generacion_Modelo.verticesPoly('I',[800,500,100,100]);
zG=propSeccion.propGeom(p,'zG'); yG=propSeccion.propGeom(p,'yG');
p=problGeom.cambioSistCoord(p,-yG,-zG,0);
p=p*1e-3;

% Definición del material
ley_mat=generacion_Modelo.comportMaterial('G1',[20,20e3]);
ley_mat(:,2)=ley_mat(:,2)*1e3;
```

a) Valor de la carga ( $P$ ) de colapso

Como la solicitación de la columna AB es:

$N=P$  (de compresión) y  $M = P \cdot 2,15$

La relación entre ambos esfuerzos es:

$$M/N = 2,15$$

Con ello determinamos el par de agotamiento asociado, sabiendo que

$$N'_p < 0 \text{ y } M'_p > 0$$

Lo calculamos mediante:

```
% Para cierto valor de recta de carga, calcular el par de agotamiento
% donde m=M/N
[Np,Mp,zfnp,zpmax,signo_zpmax,condic]=problFlexion.NM_NpMp(p,ley_mat,-1,2.15)
```

De donde obtenemos:

$$Np = -400,1198 \text{ kN}$$

$$Mp = 859,9880 \text{ kN} \cdot \text{m}$$

Como  $P=N$ ,  $P = 400,1198 \text{ kN}$

b) El diagrama de tensiones de la sección A cuando  $P = 0,97 \cdot P_{agotamiento}$

Lo calculamos, mediante:

```
% Definir solicitud
N=Np*0.97; %kN
M=Mp*0.97 ; % kN*m
[zfn,chi]=problFlexion.NAndM_zfnAndChi(p,ley_mat,N,M);
[z_,epsz_,sigz_]=problFlexion.zfnAndChi_EpszAndSigz(p,ley_mat,zfn,chi);
salidaDatos.mostrar_ley_tensiones([sigz_*1e-3,z_*1e3])
```

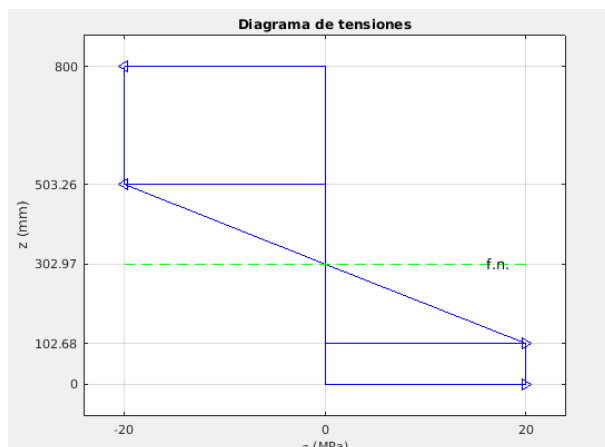


Figura 5.12: Caso 4 - Distribución de tensiones.

# Capítulo 6

## Conclusiones y trabajos futuros

### 6.1. Conclusiones

Aplicación resuelve problemas a nivel de sección, por tanto la implementación depende de la geometría, modelos de comportamiento del material de la sección y cómo está solicitada ésta. De manera que el dominio de la implementación es la que sigue:

- Se ha implementado para materiales perfectamente plástico y materiales que presentan endurecimiento tanto si tienen igual comportamiento a tracción y compresión como sino.
- Se ha implementado para secciones que pueden ser descritas por un polígono cóncavo, convexo o con hueco. De este último tipo se presenta la restricción de que los polígonos que forman un hueco han de ser convexos (debido a la función *clipArea*, con la que se resuelven las integrales dobles). No obstante, cubre la gran mayoría de las secciones que se consideran en elementos estructurales.
- Se ha implementado para secciones sometidas a flexión pura y compuesta.

El programa permite caracterizar el comportamiento de una sección sometida a flexión pura y compuesta mediante los diagramas Momento - Curvatura (con un axil constante), factor de forma y diagrama de interacción Axil - Momento. También permite representar a partir de la solicitudación de la sección el reparto de tensiones y deformaciones.

Puesto que se puede representar el diagrama Momento - Curvatura asociado a un valor de axil, es posible estudiar la influencia del axil en la capacidad de rotación de la sección.

Haciendo uso de las funciones de este programa, se puede calcular: deformaciones y movimientos (tras la carga y la descarga) y cargas de colapso de una estructura isoestática donde sea válida la hipótesis en la que los efectos de los esfuerzos cortantes sean despreciables.

### 6.2. Trabajos futuros

Se propone como continuación de este trabajo, siguiendo la línea del libro de Plasticidad Abreviada de Rafael Fernández Díaz-Munío [3], implementar las funciones necesarias para estudiar el comportamiento de una sección sometida a flexión simple y el caso más general, en el que la sección esté sometida a una combinación de esfuerzos de axil, momento y cortante. Por último, se propone el estudio de secciones compuestas por más de un material.

# Apéndice A

## Guía de Usuario

### A.1. Descripción del programa

El programa *APlastico* resuelve tres tipos de problemas de flexión pura y compuesta. Estos problemas son:

1. Calcular el diagrama Momento - Curvatura de una sección.
2. Calcular el diagrama de interacción Axil - Momento de una sección.
3. Calcular la distribución de tensiones y deformaciones dada la solicitación de una sección.

Además, se pueden resolver de tres modos:

- Modo de entrada y salida de datos por Interfaz Gráfica de Usuario (GUI).
- Modo entrada y salida de datos por consola.
- Modo entrada y salida de datos por archivo.

#### A.1.1. Desarrollo del programa

El desarrollo del programa se divide en las siguientes tareas:

1. Iniciar el programa
2. Generación del modelo:
  - a) Especificar geometría
  - b) Especificar material
3. Elegir tipo de problema y especificar los valores propios del problema
4. Generación de los resultados
5. Presentación de los resultados

#### A.1.2. Datos de entrada

Con los datos de entrada generamos el modelo. Estos datos son:

1. Tipo de problema
  - 1: Cálculo del diagrama Momento - Curvatura y factor de forma.
  - 2: Cálculo del diagrama Interacción  $N'_p - M'_p$ .
  - 3: Cálculo de la ley de tensiones dada la solicitación de la sección.
2. Valores propios del problema

a) Problema 1: Diagrama Momento - Curvatura

No requiere introducir ningún valor adicional.

b) Problema 2: Diagrama Interacción  $N'_p - M'_p$

Indicar si el axil es de tracción o compresión.

c) Problema 3: Ley de tensiones  $\sigma(z)$

1) Valor del axil,  $N(kN)$ . Siendo  $N > 0$  tracciones.

2) Valor del momento,  $M(kN \cdot m)$ . Siendo  $M > 0$ , momento que produce compresiones en la cara superior.

### 3. Tipo y dimensiones sección:

Se introducen los valores de las dimensiones en mm.

a) R: Sección rectangular

b: ancho; h: canto

b) C: Sección circular

r: radio

c) I: Sección doble T

h: altura total; bf: ancho ala; tf: espesor ala; tw: espesor alma

d) Inb: Sección doble T no bisimétrica

h: altura total; bf1: ancho ala superior; tf1: espesor ala superior; tw: espesor alma; bf2: ancho ala inferior; tf2: espesor ala inferior

e) IPN: Sección IPN

h: altura total perfil; b: ancho alas; r1: radio entre ala y alma; tf: espesor ala; r2: radio ala; d: altura alma

f) IPE: Sección IPE

h: altura total perfil; bf: ancho alas; tw: espesor alma; tf: espesor ala; r: radio ala; d: altura alma

g) H: Sección H

hf: ancho ala; b: altura total; tf: espesor ala; tw: espesor alma

h) T: Sección en T

h: altura total; bf: ancho ala; tf: espesor ala; tw: espesor alma

i) Rombo: Sección rombo

d1: diagonal horizontal; d2: diagonal vertical

j) Rh: Sección rectangular con hueco

b: ancho; h: canto; e: espesor

k) Ch: Sección circular con hueco

r: radio; e: espesor

l) cajon: Sección en cajón

b: distancia entre caras extremas de las almas; b1: saliente alas; tf1: espesor ala superior; hw: altura almas; tw: espesor almas; tf2: espesor ala inferior

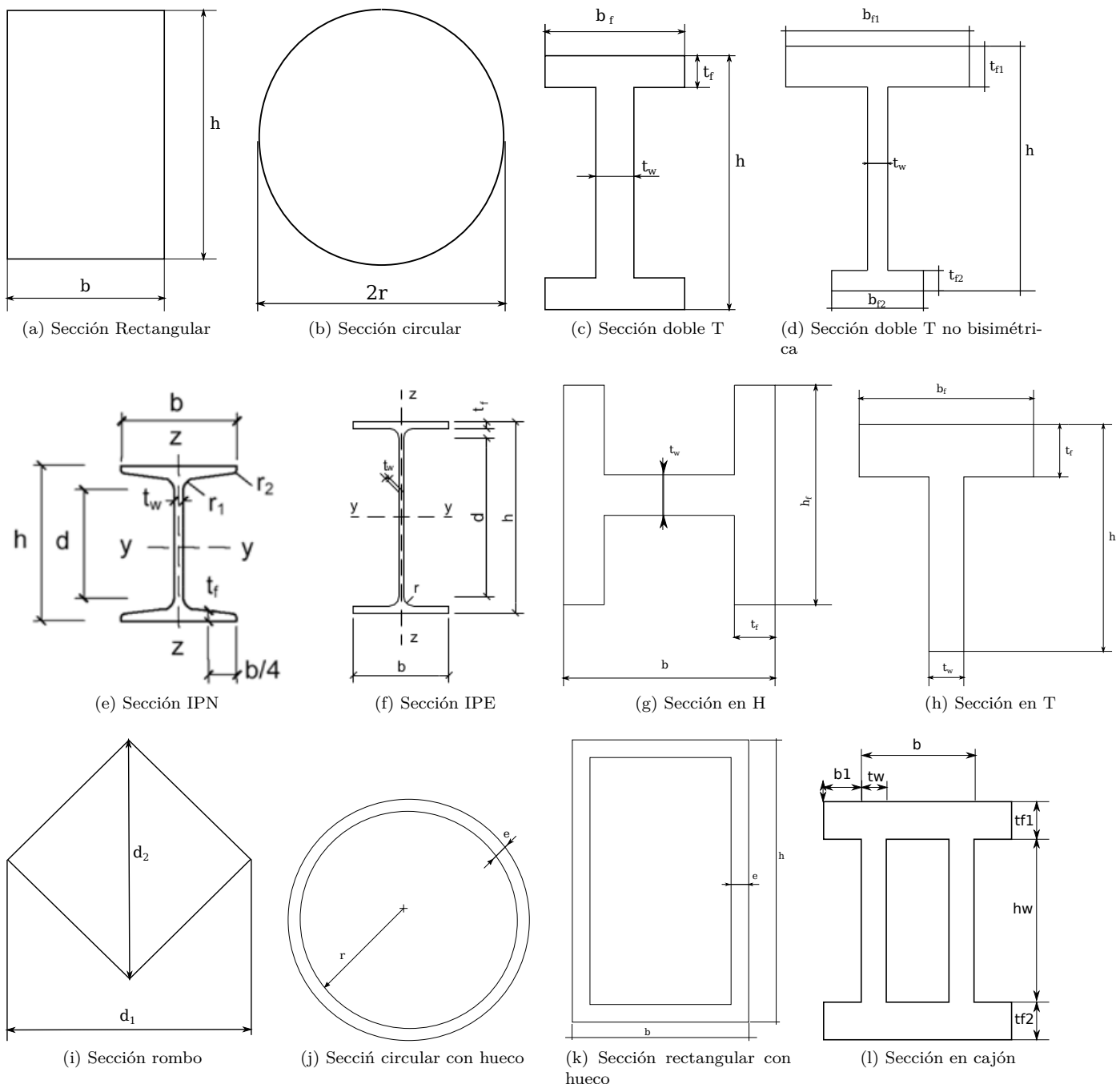


Figura A.1: Secciones con sus dimensiones

#### 4. Tipo y valores del material

Los valores tanto de tensión como el módulo de Young se introducen en MPa.

a) G1: Material perfectamente plástico con igual comportamiento a tracción que a compresión

$\sigma_e$  : tensión en el límite elástico ( $\sigma > 0$ )

$E$  : módulo de Young

b) G2: Material perfectamente plástico con diferente comportamiento a tracción que compresión

$E$  : módulo de Young

$\sigma'_p$  : tensión en el límite elástico a compresión ( $\sigma < 0$ )

$\sigma_p$  : tensión en el límite elástico a tracción ( $\sigma > 0$ )

c) G3: Material con endurecimiento

$\epsilon_1$  : deformación unitaria en el límite elástico ( $\epsilon > 0$ )

$\sigma_1$  : tensión en el límite elástico ( $\sigma > 0$ )

$\epsilon_2$  : deformación unitaria en el comienzo del endurecimiento ( $\epsilon > 0$ )

$\sigma_2$  : tensión en el comienzo del endurecimiento ( $\sigma > 0$ )

$\epsilon_3$  : deformación unitaria en el final del endurecimiento ( $\epsilon > 0$ )

$\sigma_3$  : tensión máxima ( $\sigma > 0$ )

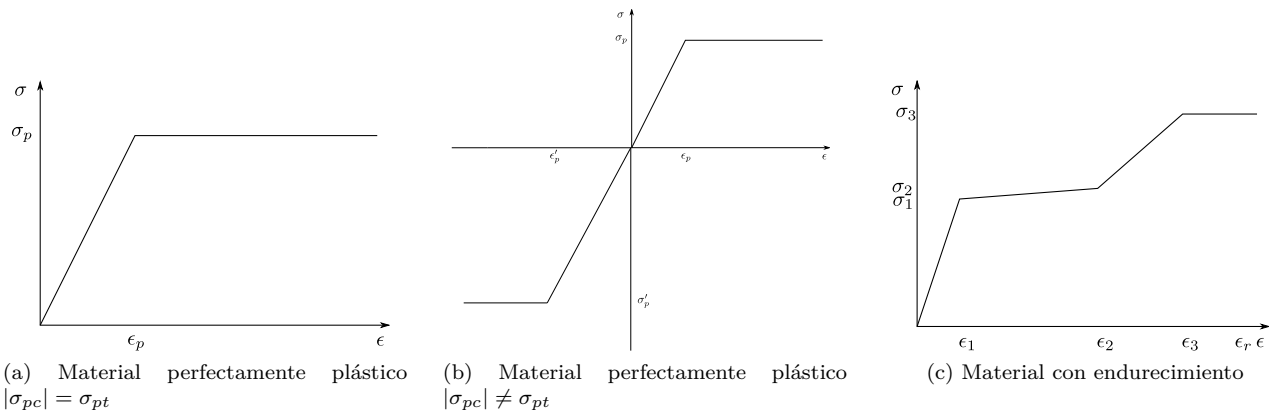


Figura A.2: Modelos de material con sus valores característicos

### A.1.3. Datos de salida

1. Problema 1: Cálculo del Diagrama Momento - Curvatura

Diagrama Momento ( $kN \cdot m$ )-Curvatura ( $rad/m$ )

Momento elástico ( $M_e$ ) y la curvatura cuando el momento es elástico ( $\chi_e$ ).

Momento plástico ( $M_p$ ).

2. Problema 2: Diagrama Interacción  $N'_p - M'_p$  :

Diagrama  $N'_p - M'_p$  ( $kN - kN \cdot m$ )

$N_p$  cuando  $M'_p = 0$

$M_p$  cuando  $N'_p = 0$

3. Problema 3: Ley de tensiones dada una solicitudación ( $N, M$ )

Ley de tensiones,  $[z, \sigma(z)]$  (mm, MPa)

Ley de deformaciones,  $[z, \epsilon(z)]$  (mm, )

### A.1.4. Visualización del modelo

Para garantizar que se está resolviendo el problema que buscamos, el programa muestra el perfil y material escogidos y la solicitudación si se trata del problema de dada una solicitudación, calcular la ley de tensiones (problema 3).

El perfil se muestra con un sistema de referencia cartesiano cuyo origen se sitúa en el centro de gravedad de la sección, como muestra la siguiente figura:

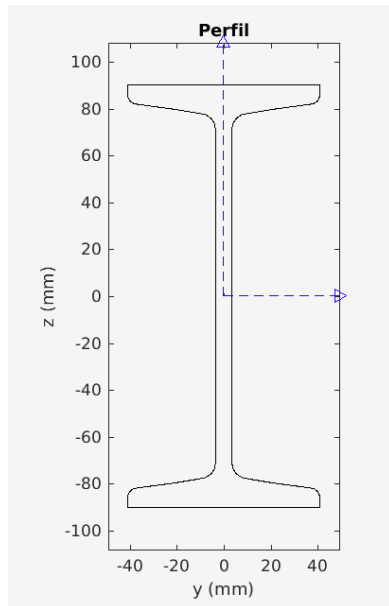


Figura A.3: Visualización del perfil

La visualización de la solicitudación sigue la siguiente simbología:

- : Axil positivo (tracción)
- ⊗ : Axil negativo (compresión)
- ◀◀: Momento positivo (produce compresión en la cara superior)
- ▶▶: Momento negativo (produce tracción en la cara superior)

Por ejemplo para una sección rectangular con un axil de  $-10^4 \text{ kN}$  y un momento de  $-1,5 \cdot 10^3 \text{ kN} \cdot \text{m}$

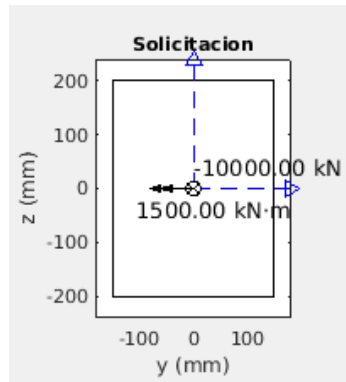


Figura A.4: Visualización de solicitudes con  $M < 0$  y  $N < 0$

#### A.1.5. Presentación de los resultados

Los resultados se muestran de forma gráfica y texto. De manera que para cada tipo de problema se muestra:

### A.1.5.1. Gráficos

#### Problema 1

Diagrama Momento - Curvatura

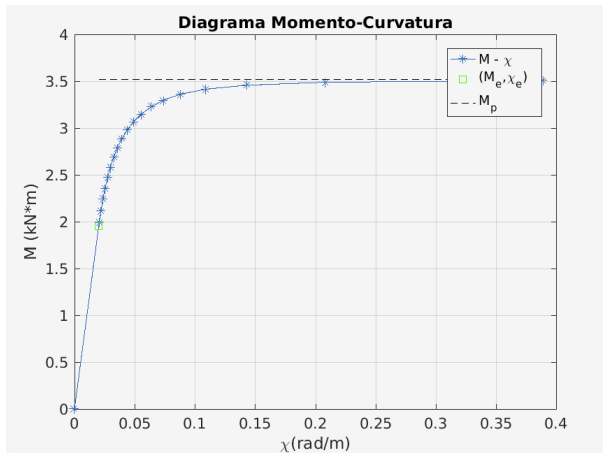
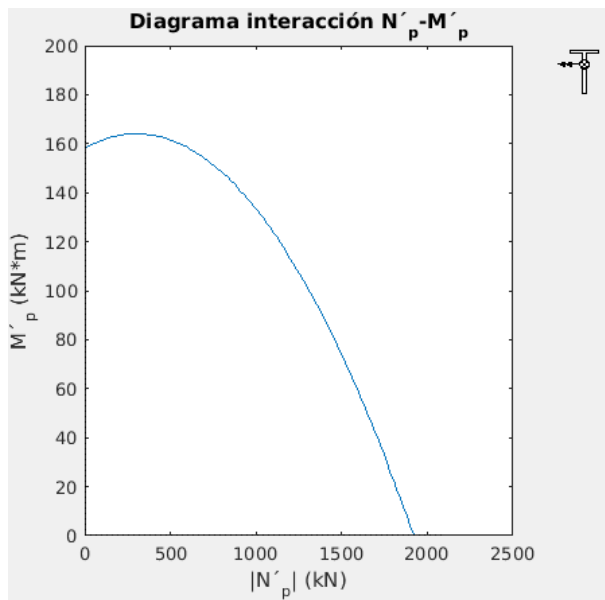


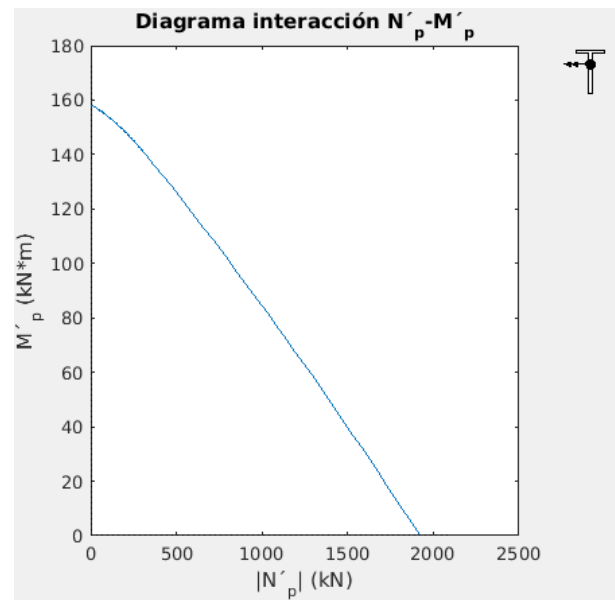
Figura A.5: Diagrama  $M - \chi$ . ( $M > 0$ )

#### Problema 2

Tipo de gráficos que obtenemos según los valores propios del problema escogido:



(a) Diagrama  $N'_p - M'_p$  con axil de compresión



(b) Diagrama  $N'_p - M'_p$  con axil de tracción

Figura A.6: Salida cálculo diagrama de interacción  $N'_p - M'_p$

#### Problema 3

La salida de este problema muestra los gráficos

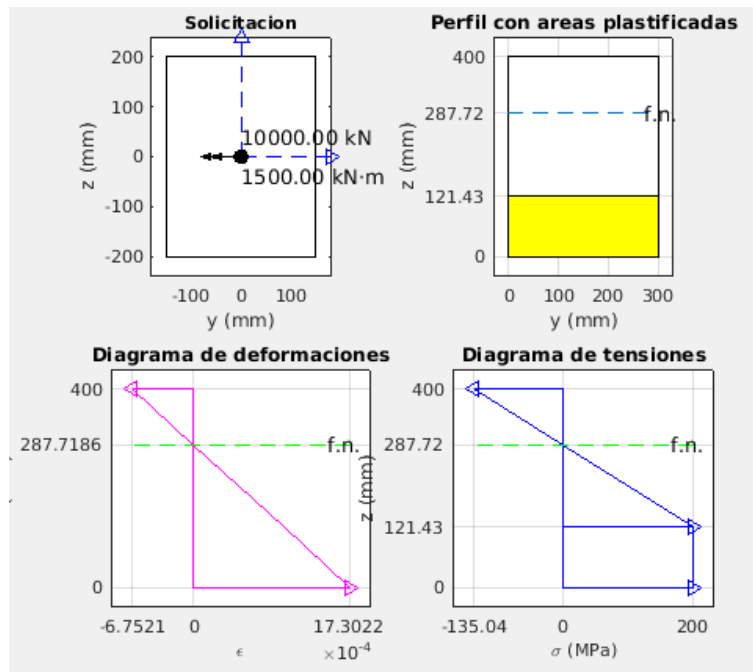


Figura A.7: Salida cálculo ley de tensiones

En el gráfico de perfil con áreas plastificadas muestra en amarillo las regiones de la sección que se encuentra en régimen elasto-plástico.

Se muestran estos gráficos con  $z=0$  en el extremo inferior de la sección para facilitar su lectura.

#### A.1.5.2. Generación de un informe

##### Problema 1

Ejemplo de salida del problema de cálculo de diagrama Momento - Curvatura:

```
+----- Cálculo Diagrama Momento - Curvatura -----+
*** VALORES ENTRADA ***
distancias(mm), tensiones(MPa), E(Mpa)
Tipo de sección: T
Dimensiones sección:
    h: 70.00 mm
    bf: 70.00 mm
    tf: 8.00 mm
    tw: 8.00 mm
Tipo de Material: G2
Valores del material:
Tensiones (MPa)
    E(MPa): 300000.000000
    sig_pc(Mpa): -900.000000
    sig_pt(MPa): 300.000000
*** RESULTADOS ***
Momento elástico: 2.9303 kN*m
Curvatura(M=Me): 0.020177 rad/m
```

Momento plástico: 5.8778 kN\*m

Factor de forma: 2.005902

#### Diagrama Momento-Curvatura

zp(mm)	chi(rad/m)	M(kN*m)
0.0000	0.0202	2.9303
3.3114	0.0216	3.1235
...		

### Problema 2

Ejemplo de salida del problema de cálculo de diagrama de interacción:

+----- Cálculo Diagrama Interacción N'p-M'p -----+

#### \*\*\* VALORES ENTRADA \*\*\*

distancias(mm), tensiones(MPa), E(Mpa)

Tipo de sección: T

Dimensiones sección:

h: 70.00 mm

bf: 70.00 mm

tf: 8.00 mm

tw: 8.00 mm

Tipo de Material: G2

Valores del material:

Tensiones (MPa)

E(MPa): 300000.000000

sig\_pc(Mpa): -900.000000

sig\_pt(MPa): 300.000000

Signo del axil: p

Signo del momento: p

#### \*\*\* RESULTADOS \*\*\*

Axil plástico (Mp=0): 316.8000 kN

Momento plástico (Np=0): 5.8778 kN\*m

#### Diagrama Interacción N'p-M'p

zfnp(mm)	N'p(kN)	M'p(kn*m)
16.6680	0.0000	5.8778
16.7061	3.2000	5.8244
16.7442	6.4000	5.7709
16.7823	9.6000	5.7172
16.8203	12.8000	5.6635
...		

### Problema 3

Ejemplo de salida del problema de cálculo de diagrama de tensión y deformación dada la solicitud de una sección:

+----- Cálculo Ley de Tensiones -----+

#### \*\*\* VALORES ENTRADA \*\*\*

distancias(mm), tensiones(MPa), E(Mpa)

```

Tipo de sección: T
Dimensiones sección:
  h: 70.00
  bf: 70.00
  tf: 8.00
  tw: 8.00
Tipo de Material: G2
Valores del material:
Tensiones (MPa)
  E(MPa): 300000.000000
  sig_pc(Mpa): -900.000000
  sig_pt(MPa): 300.000000
Solicitud de la sección
Axil: -847.64 kN·m
Momento: 4.40 kN·m
*** RESULTADOS ***
Ley de Tensiones
      z(mm)      sigma(MPa)
      0.0000      300.0000
      1.2547      300.0000
      5.9794      0.0000
     20.1536     -900.0000
     70.0000     -900.0000
Curvatura= 0.211652 rad/m

```

### A.1.6. Guardar resultados

En los modos de E/S de datos por consola y archivo existe la opción de guardar los resultados. Estos resultados se almacenan automáticamente en la carpeta *Output\_Files/*.

Si por ejemplo se ha elegido resolver el problema 2, se generarán los siguientes archivos:

*<nombre\_caso>\_perfil.txt*, donde se muestra la geometría de la sección.

*<nombre\_caso>\_leyConstitutiva.txt*, donde se muestra la ley constitutiva del material.

*<nombre\_caso>\_dInteracc.txt*, donde se muestra el diagrama interacción.

*<nombre\_caso>\_dinteracc.txt*, donde se obtiene el informe en formato texto del problema.

## A.2. Modo E/S por medio de GUI

### A.2.1. Inicio

Para iniciar el programa en modo GUI, estando dentro de la carpeta APlastico, introducimos:

```
main_modoGUI
```

Una vez introducido el comando, aparecerá la siguiente interfaz en la que se pueden distinguir las siguientes partes:

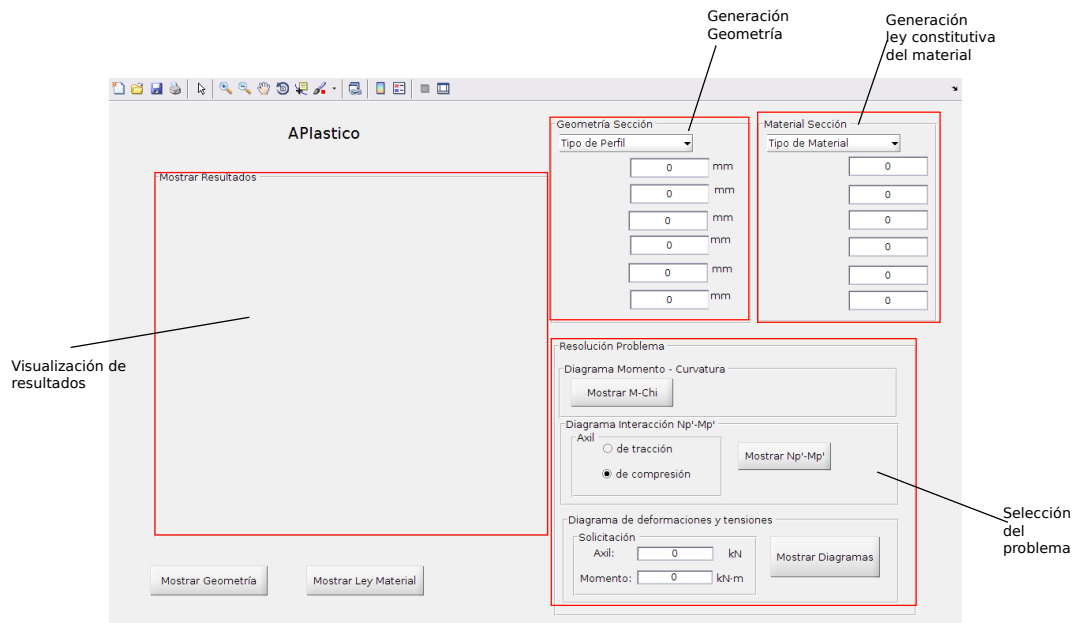


Figura A.8: Interfaz de usuario

### A.3. Modo E/S por consola

#### A.3.1. Inicio

Para acceder al programa en modo consola, introducimos el comando:

```
>> programa_APlastico
```

#### A.3.2. Generación del modelo

##### A.3.2.1. Generación de la geometría

Es importante considerar en esta parte que los valores con caracteres (a-z, A-Z) se introducen entre comillas simples y los valores numéricos sin comillas.

Ejemplo de entrada de datos para una sección rectangular:

```
Introducir caracteres entre comillas simple
Tipo de sección: 'R'
R: sección rectangular
ancho, b (mm): 400
canto, h (mm): 900
```

##### A.3.2.2. Generación del modelo del material

Es importante considerar en esta parte que los valores con caracteres (a-z, A-Z) se introducen entre comillas simples y los valores numéricos sin comillas.

Ejemplo de entrada de valores para la generación de un modelo de material perfectamente plástico con  $|\sigma_{pc}| = \sigma_{pt}$ :

```
Introducir tipo de comportamiento del material del modelo
```

G1: Material perfectamente plástico con igual comportamiento a tracción y compresión  
G2: Material perfectamente plástico con diferente comportamiento a tracción y compresión  
G3: Material con endurecimiento con igual comportamiento a tracción y compresión  
Tipo de material: 'G1'  
Tensión en el límite elástico (MPa): 300  
Módulo de Young (MPa): 300E3

### A.3.3. Introducción de los valores propios del problema

Es importante considerar en esta parte que los valores con caracteres (a-z, A-Z) se introducen entre comillas simples y los valores numéricos sin comillas.

Ejemplo de entrada de datos para obtener un diagrama de interacción con axil de compresión:

```
Introducir número asociado al problema: 2
 2: Cálculo del diagrama de interacción de la sección
  N'p - M'p
  Introduzca
    n: axil de compresión
    p: axil de tracción
  SignoN: 'n'
```

### A.3.4. Guardar resultados

Introducimos:

- 1: queremos guardar el caso.
- 0: no queremos guardar el caso (solo muestra resultados por consola).

En el caso de querer almacenar los resultados, asignamos un nombre al caso (entre comillas simples, sin extensión).

Ejemplo de entrada de datos:

```
¿Desea guardar el caso?
Pulse 1 si sí y 0 en caso negativo
Guardar resultados:1
Asignar un nombre al caso(entre comillas simples:)
Nombre: 'caso_ejemplo'
```

### A.3.5. Presentación de resultados

Los resultados se muestran de forma gráfica y texto.

## A.4. Modo E/S por medio de archivo

En este modo, a diferencia de los anteriores, tenemos que primero definir la geometría, material y especificar los valores del problema antes de iniciar el programa. Para ello se especifican los valores en los archivos almacenados en la carpeta *Input\_Files/*:

*input\_casos.csv*, donde se especifican los casos que se quieren correr.

*input\_materiales.csv*, donde se especifica el material.

*input\_problemas.csv*, donde se especifican los tipos de problemas y sus valores correspondientes.

*input\_secciones.csv*, donde se especifica los diferentes tipos de sección y sus dimensiones que se quieren considerar.

#### A.4.1. Generación del modelo

##### A.4.1.1. Generación de la geometría

Para generar el modelo geométrico de la sección hay que especificar el tipo y sus dimensiones características.

Para ello en el archivo *input\_secciones.csv* hay que llenar los siguientes campos, separados por comas:

*ID\_secc*: identificación de una sección.

*tipoSecc*: forma de la sección (rectangular, doble T,...)

*dim1,..,dim6*: dimensiones de la sección. Se recomienda asignar nan(not a number) en los campos vacíos.

Por ejemplo, a una sección T con dimensiones:  $h=70 \text{ mm}$ ,  $b_f = 70 \text{ mm}$ ,  $t_f = 8 \text{ mm}$  y  $t_w = 8 \text{ mm}$ , y que le asignamos la identificación SECC4, sería:

```
ID_secc, tipoSecc, dim1, dim2, dim3, dim4, dim5, dim6
SECC4, T, 70, 70, 8, 8, nan, nan
...
```

##### A.4.1.2. Generación del modelo del material

Para generar el modelo material de la sección hay que especificar el tipo de material y sus valores característicos.

Para ello en el archivo *input\_materiales.csv* hay que llenar los siguientes campos, separados por comas:

*ID\_Mat*: identificación de una sección.

*tipoMat*: forma de la sección (rectangular, doble T,...)

*val1,..,val6*: dimensiones de la sección. Se recomienda asignar nan(not a number) en los campos vacíos.

Por ejemplo, para un material perfectamente plástico con diferente comportamiento a tracción y compresión (G2) con valores:  $E = 200 \cdot 10^3 \text{ MPa}$ ,  $\sigma_{pc} = -400 \text{ MPa}$  y  $\sigma_{pt} = 200 \text{ MPa}$ , y al que le denominamos MAT2, sería:

```
ID_Mat, tipoMat, val1, val2, val3, val4, val5, val6  MAT2, G2, 200E3, -400, 200, nan, nan, nan
```

Se recomienda introducir *nan* a los campos vacíos.

#### A.4.2. Introducción de los valores propios del problema

Para especificar un problema se ha de llenar los siguientes campos en el archivo *input\_problemas.csv*:

*ID\_problema*: identificación de un problema.

*tipo\_problema*: <1 (calcular diagrama  $M - \chi$ ) | 2 (calcular diagrama  $N'_p - M'_p$ ) | 3 (calcular  $\sigma(z)$  y  $\epsilon(z)$ )>

*signoN*: si el axil es de compresión o tracción, <n(compresión) | p(tracción)>

*N*: valor del axil.

*M*: valor del momento.

Sea P1, para calcular el diagrama Momento-Curvatura.

P2, para resolver el diagrama interacción con axil de compresión.

P4, para calcular la ley de tensiones y deformaciones de una sección con un axil de -847.64 kN y un momento de 4.4  $kN \cdot m$ .

```
ID_problema,tipo_problema,signoN,N,M  
P1,1, ,nan,nan  
P2,2,n,nan,nan  
P4,3, ,-847.64,4.4
```

Si el campo de signoN es vacío, se ha de introducir un espacio. Si los campos N, M son vacíos se ha de introducir *nan*.

#### A.4.3. Definir un caso

Un caso está definido por una geometría, que ha sido especificada en *input\_secciones.csv*, una ley constitutiva del material, especificada en *input\_materiales.csv*, y el tipo de problema y sus valores, determinados en *input\_problemas.csv*. Por lo que en el archivo *input\_casos.csv* se pueden especificar cada uno de los casos rellenando los siguientes campos:

*ID\_Caso*: identificador del caso.

*ID\_Problema*: identificador del problema (determinado en *input\_problemas.csv*).

*ID\_Section*: identificador de la sección (determinado en *input\_secciones.csv*)

*ID\_Material*: identificador del material (determinado en *input\_materiales.csv*)

Sea por ejemplo el caso con nombre SECC4\_MAT2:

```
ID_Caso, ID_Problema, ID_Section, ID_Material  
SECC4_MAT2, P1, SECC4, MAT2
```

#### A.4.4. Inicio

Para ejecutar los casos previamente definidos en el archivo *input\_casos.csv*, almacenado en la carpeta *Input\_Files/*, se introduce el comando:

```
>> main_modoArchivo
```

#### A.4.5. Presentación de resultados

Los resultados se almacenan de forma gráfica y texto en la carpeta *Output\_Files/*.

# Apéndice B

## Código del programa

### B.1. Scripts de arranque del programa

#### B.1.1. *main\_modoConsola.m*

```
1 %%Programa Análisis Plástico en Flexión Pura y Compuesta
2 %%MODO 1: E/S de datos por consola
3 %
4
5 clear all
6 close all
7
8 %Añadir directorios
9 pathname1=fileparts('presentation/');
10 addpath(genpath(pathname1))
11
12 pathname2=fileparts('logic/');
13 addpath(genpath(pathname2))
14
15
16 guardarCaso=1;
17
18 %Entrada de datos
19 [tipoProblema ,datEntrada ,guardarCaso ,nombreCaso]=entradaDatos.modoE_consola();
20 if isnan(tipoProblema) , return , end %Se ha elegido salir del programa
21
22 %Resolución del problema
23 [valEntrada ,valSalida]=main_logic(tipoProblema ,datEntrada);
24
25
26 %Visualización del modelo
27 salidaDatos.visualizacion_modelo(tipoProblema ,valEntrada ,guardarCaso ,nombreCaso)
;
```

```

28
29 % Presentación de resultados
30 salidaDatos.visualizar_resultados(tipoProblema , valEntrada , valSalida , guardarCaso ,
31 nombreCaso);
32 salidaDatos.generar_informeResultados(tipoProblema , datEntrada , valSalida ,
33 guardarCaso , nombreCaso);

```

### B.1.2. *main\_modoArchivo.m*

```

1 %% Programa Análisis Plástico en Flexión Pura y Compuesta
2 %MODO 2: E/S de datos por archivo
3 %
4
5 clear all
6 close all
7
8 %Añadir directorios
9 pathname1=fileparts('presentation/');
10 addpath(genpath(pathname1))
11
12 pathname2=fileparts('logic/');
13 addpath(genpath(pathname2))
14
15
16 %Tomar datos de los archivos
17 fileC=fopen('Input_Files/input_casos.csv'); %archivo que recoge casos
18 fileP=fopen('Input_Files/input_problemas.csv'); %archivo que recoge
19 %la definición de los problemas
20 fileS=fopen('Input_Files/input_secciones.csv'); %archivo que recoge
21 %la definición de las secciones
22 fileM=fopen('Input_Files/input_materiales.csv');%archivo que recoge
23 %la definición de los materiales
24
25 %Almacenar los datos de los archivos
26 C=textscan(fileC,'% % % % ','delimiter',',',',','headerlines',1);
27 P=textscan(fileP,'% % % % % ','delimiter',',',',','headerlines',1);
28 S=textscan(fileS,'% % % % % % % % ','...
29 %delimiter',',',',','headerlines',1);
30 M=textscan(fileM,'% % % % % % % % ','...
31 %delimiter',',',',','headerlines',1);
32
33
34 fclose(fileC);
35 fclose(fileP);
36 fclose(fileS);

```

```
37 fclose(fileM);  
38  
39 nCasos=size(C{1},1); %número de casos  
40  
41 % Ejecución de cada caso  
42 for i=1:nCasos  
43  
44 guardarCaso=1;  
45  
46 % Entrada de datos  
47 [tipoProblema,nombreCaso,datEntrada]=entradaDatos.modoE_archivo(i,C,P,S,M);  
48  
49  
50 % Resolución del problema  
51 [valEntrada,valSalida]=main_logic(tipoProblema,datEntrada);  
52  
53  
54 % Visualización del modelo  
55 salidaDatos.visualizacion_modelo(tipoProblema,valEntrada,guardarCaso,  
      nombreCaso);  
56  
57 % Presentación de resultados  
58 salidaDatos.visualizar_resultados(tipoProblema,valEntrada,valSalida,  
      guardarCaso,nombreCaso);  
59 salidaDatos.generar_informeResultados(tipoProblema,datEntrada,valSalida,  
      guardarCaso,nombreCaso);  
60  
61 clear valEntrada; clear valSalida; clear guardarCaso; clear nombreCaso;  
62 close all  
63 end
```

### B.1.3. main\_modoGUI.fig

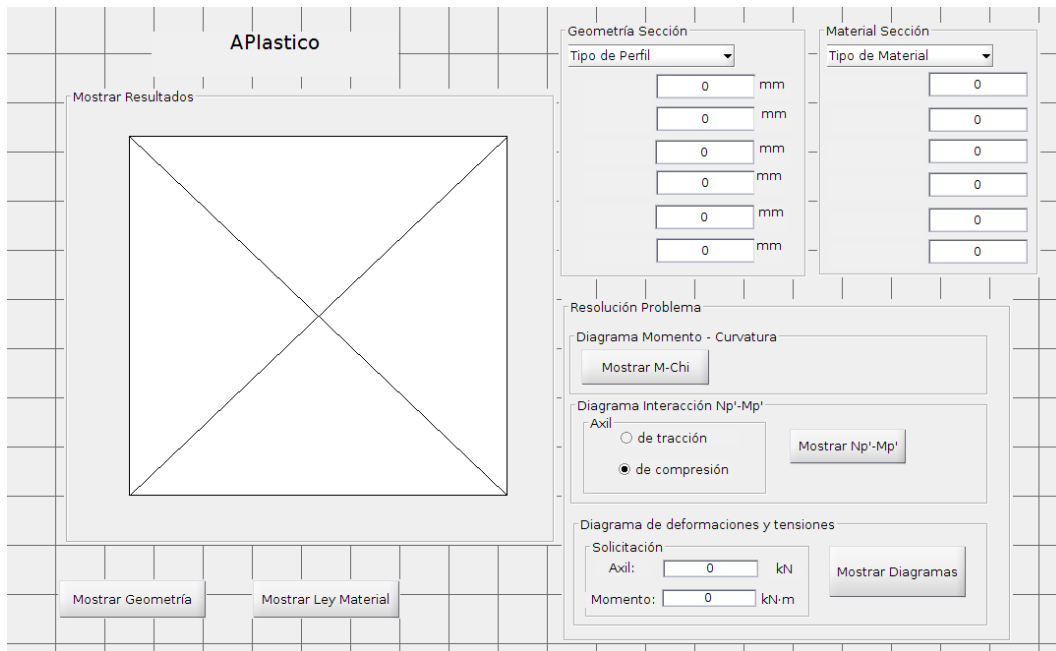


Figura B.1: main\_modoGUI.fig

## Componentes de la Interfaz Gráfica de Usuario

- Panel (8)

Mostrar Resultados (*show\_uipanel*)

Geometría Sección (*uipanel1*)

Material Sección (*uipanel3*)

Resolución Problema (*uipanel4*)

Diagrama Momento - Curvatura (*uipanel5*)

Diagrama interacción N'p-M'p (*uipanel6*)

Diagrama de deformaciones y tensiones (*uipanel7*)

Solicitación (*uipanel8*)

- Pop-up Menu (2)

Tipo de Perfil (*tipoSecc\_popupmenu*)

Tipo de Material (*tipoMat\_popupmenu*)

- Static Text (23)

(6) *dim1\_staticText*, ..., *dim6\_staticText* (indican los nombres de las dimensiones del tipo de sección seleccionado)

6 static text que indican las unidades de las dimensiones de la sección (mm)

(6) *valMat1*, ..., *valMat6* (indican los nombres de las propiedades del tipo de modelo de material seleccionado)

- (4) Axil, kN, Momento, kN\*m (tipo y unidades de la solicitud)
- (1) APlastico (nombre del programa)
- Edit Text (14)
  - (6) *dim1\_editText*, ..., *dim6\_editText* (campos en los que se introducen los valores numéricos de las dimensiones de la sección)
  - (6) *valMat1\_editText*, ..., *valMat6\_editText* (campos en los que se introducen los valores numéricos de las propiedades del material)
  - (1) *valN\_editText* (campo donde se introduce el valor del axil)
  - (1) *valM\_editText* (campo donde se introduce el valor del momento)
- Push-Button (5)
  - showGeo\_pushButton* (mostrar la geometría de la sección)
  - showMat\_pushButton* (mostrar el modelo del material)
  - showMC\_pushButton* (mostrar el diagrama Momento - Curvatura)
  - showNpMp\_pushButton* (mostrar el diagrama Interacción)
  - showSigEps\_pushButton* (mostrar el diagrama de deformaciones y tensiones)
- Button Group (1)
  - selectTipoAxil\_buttongroup* (área donde se selecciona el carácter del axil del diagrama de interacción)
- Radio Button (2)
  - axilTracc\_radiobutton* (seleccionar axil de tracción)
  - axilCompr\_radiobutton* (seleccionar axil de compresión)

#### B.1.4. *main\_modoGUI.m*

```

1 function varargout = main_modoGUI(varargin)
2 %MAIN_MODOGUI MATLAB code for main_modoGUI.fig
3 %     MAIN_MODOGUI, by itself, creates a new MAIN_MODOGUI or raises the
4 %     existing
5 %         singleton*.
6 %
7 %     H = MAIN_MODOGUI returns the handle to a new MAIN_MODOGUI or the handle
8 %     to
9 %     the existing singleton*.
10 %
11 %
12 %     MAIN_MODOGUI( 'CALLBACK' , hObject , eventData , handles ,... ) calls the local
13 %     function named CALLBACK in MAIN_MODOGUI.M with the given input arguments.
14 %
15 %
16 %     MAIN_MODOGUI( 'Property' , 'Value' ,... ) creates a new MAIN_MODOGUI or raises
17 %     the
18 %
19 %     existing singleton*. Starting from the left, property value pairs are
20 %     applied to the GUI before main_modoGUI_OpeningFcn gets called. An

```

```
15 % unrecognized property name or invalid value makes property application
16 % stop. All inputs are passed to main_modoGUI_OpeningFcn via varargin.
17 %
18 % *See GUI Options on GUIDE's Tools menu. Choose "GUI allows only one
19 % instance to run (singleton)".
20 %
21 % See also: GUIDE, GUIDATA, GUIHANDLES
22 %
23 % Edit the above text to modify the response to help main_modoGUI
24 %
25 % Last Modified by GUIDE v2.5 08-Apr-2018 14:09:47
26 %
27 % Begin initialization code - DO NOT EDIT
28 gui_Singleton = 1;
29 gui_State = struct( 'gui_Name' , mfilename , ...
30                     'gui_Singleton' , gui_Singleton , ...
31                     'gui_OpeningFcn' , @main_modoGUI_OpeningFcn , ...
32                     'gui_OutputFcn' , @main_modoGUI_OutputFcn , ...
33                     'gui_LayoutFcn' , [] , ...
34                     'gui_Callback' , [] );
35 if nargin && ischar(varargin{1})
36     gui_State.gui_Callback = str2func(varargin{1});
37 end
38 %
39 if nargout
40     [varargout{1:nargout}] = gui_mainfcn(gui_State , varargin{:});
41 else
42     gui_mainfcn(gui_State , varargin{:});
43 end
44 %End initialization code - DO NOT EDIT
45 %
46 %Añadir todos los directorios que requiere el programa
47 %Se asume que se parte de la carpeta donde se encuentra
48 %este script (APlastico)
49 %
50 pathname1=fileparts('presentation/');
51 addpath(genpath(pathname1))
52 %
53 pathname2=fileparts('logic/');
54 addpath(genpath(pathname2))
55 %
56 %—— Executes just before main_modoGUI is made visible.
57 function main_modoGUI_OpeningFcn(hObject , eventdata , handles , varargin)
58 % This function has no output args , see OutputFcn.
```

```
60 % hObject    handle to figure
61 % eventdata   reserved - to be defined in a future version of MATLAB
62 % handles     structure with handles and user data (see GUIDATA)
63 % varargin    command line arguments to main_modoGUI (see VARARGIN)
64
65 % Choose default command line output for main_modoGUI
66 handles.output = hObject;
67
68 % Update handles structure
69 guidata(hObject, handles);
70
71 % UIWAIT makes main_modoGUI wait for user response (see UIRESUME)
72 % uiwait(handles.figure1);
73
74 set(handles.selectTipoAxil_buttongroup, 'SelectionChangeFcn', ...
75      @selectTipoAxil_buttongroup_SelectionChangeFcn);
76
77 set(hObject, 'toolbar', 'figure');
78
79 %—— Outputs from this function are returned to the command line.
80 function varargout = main_modoGUI_OutputFcn(hObject, eventdata, handles)
81 % varargout  cell array for returning output args (see VARARGOUT);
82 % hObject    handle to figure
83 % eventdata   reserved - to be defined in a future version of MATLAB
84 % handles     structure with handles and user data (see GUIDATA)
85
86 % Get default command line output from handles structure
87 varargout{1} = handles.output;
88
89
90
91 function valMat6_editText_Callback(hObject, eventdata, handles)
92 % hObject    handle to valMat6_editText (see GCBO)
93 % eventdata   reserved - to be defined in a future version of MATLAB
94 % handles     structure with handles and user data (see GUIDATA)
95
96 % Hints: get(hObject,'String') returns contents of valMat6_editText as text
97 %         str2double(get(hObject,'String')) returns contents of valMat6_editText
98 %         as a double
99
100 % Almacenar el contenido de valMat6_editText como un String. Si el String
101 % no es un número entonces input será empty
102 input=str2num(get(hObject, 'String'));
103 % chequear para ver si input es empty, establecer como valor de base, 0
```

```

104 if (isempty(input))
105     set(hObject, 'String', '0')
106 end
107
108
109 %—— Executes during object creation , after setting all properties .
110 function valMat6_editText_CreateFcn(hObject, eventdata, handles)
111 % hObject    handle to valMat6_editText (see GCBO)
112 % eventdata   reserved – to be defined in a future version of MATLAB
113 % handles    empty – handles not created until after all CreateFcns called
114
115 % Hint: edit controls usually have a white background on Windows.
116 %        See ISPC and COMPUTER.
117 if ispc && isequal(get(hObject, 'BackgroundColor'), get(0,
118     'defaultUicontrolBackgroundColor'))
119     set(hObject, 'BackgroundColor', 'white');
120 end
121
122
123 function valMat5_editText_Callback(hObject, eventdata, handles)
124 % hObject    handle to valMat5_editText (see GCBO)
125 % eventdata   reserved – to be defined in a future version of MATLAB
126 % handles    structure with handles and user data (see GUIDATA)
127
128 % Hints: get(hObject,'String') returns contents of valMat5_editText as text
129 %         str2double(get(hObject,'String')) returns contents of valMat5_editText
130 %         as a double
131
132 % Almacenar el contenido de valMat5_editText como un String . Si el String
133 % no es un número entonces input será empty
134 input=str2num(get(hObject, 'String'));
135
136 % chequear para ver si input es empty , establecer como valor de base , 0
137 if (isempty(input))
138     set(hObject, 'String', '0')
139 end
140
141 %—— Executes during object creation , after setting all properties .
142 function valMat5_editText_CreateFcn(hObject, eventdata, handles)
143 % hObject    handle to valMat5_editText (see GCBO)
144 % eventdata   reserved – to be defined in a future version of MATLAB
145 % handles    empty – handles not created until after all CreateFcns called
146

```

```

147 % Hint: edit controls usually have a white background on Windows.
148 % See ISPC and COMPUTER.
149 if ispc && isequal(get(hObject, 'BackgroundColor'), get(0,
150   'defaultUicontrolBackgroundColor'))
151   set(hObject, 'BackgroundColor', 'white');
152 end
153
154
155 function valMat4_editText_Callback(hObject, eventdata, handles)
156 % hObject    handle to valMat4_editText (see GCBO)
157 % eventdata   reserved - to be defined in a future version of MATLAB
158 % handles    structure with handles and user data (see GUIDATA)
159
160 % Hints: get(hObject,'String') returns contents of valMat4_editText as text
161 % str2double(get(hObject,'String')) returns contents of valMat4_editText
162 %           as a double
163
164 % Almacenar el contenido de valMat4_editText como un String. Si el String
165 % no es un número entonces input será empty
166 input=str2num(get(hObject, 'String'));
167
168 % chequear para ver si input es empty, establecer como valor de base, 0
169 if isempty(input))
170   set(hObject, 'String', '0')
171 end
172
173 %—— Executes during object creation, after setting all properties.
174 function valMat4_editText_CreateFcn(hObject, eventdata, handles)
175 % hObject    handle to valMat4_editText (see GCBO)
176 % eventdata   reserved - to be defined in a future version of MATLAB
177 % handles    empty - handles not created until after all CreateFcns called
178
179 % Hint: edit controls usually have a white background on Windows.
180 % See ISPC and COMPUTER.
181 if ispc && isequal(get(hObject, 'BackgroundColor'), get(0,
182   'defaultUicontrolBackgroundColor'))
183   set(hObject, 'BackgroundColor', 'white');
184 end
185
186
187 function valMat3_editText_Callback(hObject, eventdata, handles)
188 % hObject    handle to valMat3_editText (see GCBO)

```

```

189 % eventdata reserved – to be defined in a future version of MATLAB
190 % handles structure with handles and user data (see GUIDATA)
191
192 % Hints: get(hObject,'String') returns contents of valMat3_editText as text
193 % str2double(get(hObject,'String')) returns contents of valMat3_editText
194 % as a double
195
196 % Almacenar el contenido de valMat3_editText como un String. Si el String
197 % no es un número entonces input será empty
198 input=str2num(get(hObject,'String'));
199
200 % chequear para ver si input es empty, establecer como valor de base, 0
201 if isempty(input))
202     set(hObject,'String','0')
203 end
204
205
206 %—— Executes during object creation, after setting all properties.
207 function valMat3_editText_CreateFcn(hObject, eventdata, handles)
208 % hObject handle to valMat3_editText (see GCBO)
209 % eventdata reserved – to be defined in a future version of MATLAB
210 % handles empty – handles not created until after all CreateFcns called
211
212 % Hint: edit controls usually have a white background on Windows.
213 % See ISPC and COMPUTER.
214 if ispc && isequal(get(hObject,'BackgroundColor'), get(0,
215     'defaultUicontrolBackgroundColor'))
216     set(hObject,'BackgroundColor','white');
217 end
218
219
220 function valMat2_editText_Callback(hObject, eventdata, handles)
221 % hObject handle to valMat2_editText (see GCBO)
222 % eventdata reserved – to be defined in a future version of MATLAB
223 % handles structure with handles and user data (see GUIDATA)
224
225 % Hints: get(hObject,'String') returns contents of valMat2_editText as text
226 % str2double(get(hObject,'String')) returns contents of valMat2_editText
227 % as a double
228
229 % Almacenar el contenido de valMat2_editText como un String. Si el String
230 % no es un número entonces input será empty

```

```
231
232 % chaquear para ver si input es empty, establecer como valor de base, 0
233 if (isempty(input))
234     set(hObject, 'String', '0')
235 end
236
237
238 %—— Executes during object creation, after setting all properties.
239 function valMat2_editText_CreateFcn(hObject, eventdata, handles)
240 % hObject    handle to valMat2_editText (see GCBO)
241 % eventdata   reserved – to be defined in a future version of MATLAB
242 % handles    empty – handles not created until after all CreateFcns called
243
244 % Hint: edit controls usually have a white background on Windows.
245 %       See ISPC and COMPUTER.
246 if ispc && isequal(get(hObject, 'BackgroundColor'), get(0,
247     'defaultUicontrolBackgroundColor'))
248     set(hObject, 'BackgroundColor', 'white');
249 end
250
251
252 function valMat1_editText_Callback(hObject, eventdata, handles)
253 % hObject    handle to valMat1_editText (see GCBO)
254 % eventdata   reserved – to be defined in a future version of MATLAB
255 % handles    structure with handles and user data (see GUIDATA)
256
257 % Hints: get(hObject, 'String') returns contents of valMat1_editText as text
258 %         str2double(get(hObject, 'String')) returns contents of valMat1_editText
259 %         as a double
260
261 % Almacenar el contenido de valMat1_editText como un String. Si el String
262 % no es un número entonces input será empty
263 input=str2num(get(hObject, 'String'));
264
265 % chaquear para ver si input es empty, establecer como valor de base, 0
266 if (isempty(input))
267     set(hObject, 'String', '0')
268 end
269
270 %—— Executes during object creation, after setting all properties.
271 function valMat1_editText_CreateFcn(hObject, eventdata, handles)
272 % hObject    handle to valMat1_editText (see GCBO)
273 % eventdata   reserved – to be defined in a future version of MATLAB
```

```

274 % handles      empty – handles not created until after all CreateFcns called
275
276 % Hint: edit controls usually have a white background on Windows.
277 %       See ISPC and COMPUTER.
278 if ispc && isequal(get(hObject, 'BackgroundColor'), get(0,
279     'defaultUicontrolBackgroundColor'))
280     set(hObject, 'BackgroundColor', 'white');
281 end
282
283 %—— Executes on selection change in tipoMat_popupmenu.
284 function tipoMat_popupmenu_Callback(hObject, eventdata, handles)
285 % hObject    handle to tipoMat_popupmenu (see GCBO)
286 % eventdata   reserved – to be defined in a future version of MATLAB
287 % handles    structure with handles and user data (see GUIDATA)
288
289 % Hints: contents = cellstr(get(hObject, 'String')) returns tipoMat_popupmenu
290 %         contents{get(hObject, 'Value')} returns selected item from
291 %         tipoMat_popupmenu
292
293 switch get(handles.tipoMat_popupmenu, 'Value')
294 case 1
295     M.tipoMat= '';
296 case 2
297     M.tipoMat='G1';
298 case 3
299     M.tipoMat='G2';
300 case 4
301     M.tipoMat='G3';
302 otherwise
303 end
304
305 set(handles.valMat1_editText, 'String', '0')
306 set(handles.valMat2_editText, 'String', '0')
307 set(handles.valMat3_editText, 'String', '0')
308 set(handles.valMat4_editText, 'String', '0')
309 set(handles.valMat5_editText, 'String', '0')
310
311 set(handles.valN_editText, 'String', '0')
312 set(handles.valM_editText, 'String', '0')
313
314 panhandle=handles.show_uipanel;
315 paxGeo=subplot(1,1,1, 'Parent', panhandle);

```

```

316 cla reset
317
318 if M.tipoMat=='
319   valMatNames=[];
320 else
321   valMatNames=salidaDatos.valNamesMaterial(M.tipoMat);
322 end
323
324 if length(valMatNames)>=1
325   set(handles.valMat1_staticText,'String',[valMatNames{1},':'])
326 else
327   set(handles.valMat1_staticText,'String','')
328 end
329 if length(valMatNames)>=2
330   set(handles.valMat2_staticText,'String',[valMatNames{2},':'])
331 else
332   set(handles.valMat2_staticText,'String','')
333 end
334 if length(valMatNames)>=3
335   set(handles.valMat3_staticText,'String',[valMatNames{3},':'])
336 else
337   set(handles.valMat3_staticText,'String','')
338 end
339
340 if length(valMatNames)>=4
341   set(handles.valMat4_staticText,'String',[valMatNames{4},':'])
342 else
343   set(handles.valMat4_staticText,'String','')
344 end
345
346 if length(valMatNames)>=5
347   set(handles.valMat5_staticText,'String',[valMatNames{5},':'])
348 else
349   set(handles.valMat5_staticText,'String','')
350 end
351
352 if length(valMatNames)>=6
353   set(handles.valMat6_staticText,'String',[valMatNames{6},':'])
354 else
355   set(handles.valMat6_staticText,'String','')
356 end
357 set(handles.tipoMat_popupmenu,'UserData',M);
358
359 %—— Executes during object creation, after setting all properties.

```

```
361 function tipoMat_popupmenu_CreateFcn(hObject, eventdata, handles)
362 % hObject    handle to tipoMat_popupmenu (see GCBO)
363 % eventdata   reserved - to be defined in a future version of MATLAB
364 % handles     empty - handles not created until after all CreateFcns called
365
366 % Hint: popupmenu controls usually have a white background on Windows.
367 %        See ISPC and COMPUTER.
368 if ispc && isequal(get(hObject, 'BackgroundColor'), get(0,
369 %                           'defaultUicontrolBackgroundColor'))
370     set(hObject, 'BackgroundColor', 'white');
371 end
372
373 %—— Executes on selection change in tipoSecc_popupmenu.
374 function tipoSecc_popupmenu_Callback(hObject, eventdata, handles)
375 % hObject    handle to tipoSecc_popupmenu (see GCBO)
376 % eventdata   reserved - to be defined in a future version of MATLAB
377 % handles     structure with handles and user data (see GUIDATA)
378
379 % Hints: contents = cellstr(get(hObject, 'String')) returns tipoSecc_popupmenu
380 %         contents{get(hObject, 'Value')} returns selected item from
381 %         tipoSecc_popupmenu
382
383 switch get(handles.tipoSecc_popupmenu, 'Value')
384     case 1
385         S.tipoSecc=' ';
386     case 2
387         S.tipoSecc='R';
388     case 3
389         S.tipoSecc='C';
390     case 4
391         S.tipoSecc='I';
392     case 5
393         S.tipoSecc='H';
394     case 6
395         S.tipoSecc='T';
396     case 7
397         S.tipoSecc='Inb';
398     case 8
399         S.tipoSecc='Rh';
400     case 9
401         S.tipoSecc='Ch';
402     case 10
403         S.tipoSecc='IPN';
```

```

403 case 11
404     S.tipoSecc='IPE';
405 case 12
406     S.tipoSecc='Rombo';
407 case 13
408     S.tipoSecc='cajon';
409 otherwise
410 end
411
412 set(handles.dim1_editText,'String','0')
413 set(handles.dim2_editText,'String','0')
414 set(handles.dim3_editText,'String','0')
415 set(handles.dim4_editText,'String','0')
416 set(handles.dim5_editText,'String','0')
417 set(handles.dim6_editText,'String','0')
418
419 set(handles.valN_editText,'String','0')
420 set(handles.valM_editText,'String','0')
421
422 panhandle=handles.show_uipanel;
423 paxGeo=subplot(1,1,1,'Parent',panhandle);
424 cla reset
425
426 if S.tipoSecc==''
427     dimNames=[];
428 else
429     dimNames=salidaDatos.dimSeccNames(S.tipoSecc);
430 end
431
432 if length(dimNames)>=1
433     set(handles.dim1_staticText,'String',[dimNames{1},':'])
434 else
435     set(handles.dim1_staticText,'String','')
436 end
437 if length(dimNames)>=2
438     set(handles.dim2_staticText,'String',[dimNames{2},':'])
439 else
440     set(handles.dim2_staticText,'String','')
441 end
442 if length(dimNames)>=3
443     set(handles.dim3_staticText,'String',[dimNames{3},':'])
444 else
445     set(handles.dim3_staticText,'String','')
446 end
447

```

```
448 if length(dimNames)>=4
449     set(handles.dim4_staticText,'String',[dimNames{4},':'])
450 else
451     set(handles.dim4_staticText,'String','')
452 end
453
454 if length(dimNames)>=5
455     set(handles.dim5_staticText,'String',[dimNames{5},':'])
456 else
457     set(handles.dim5_staticText,'String','')
458 end
459
460 if length(dimNames)>=6
461     set(handles.dim6_staticText,'String',[dimNames{6},':'])
462 else
463     set(handles.dim6_staticText,'String','')
464 end
465
466 set(handles.tipoSecc_popupmenu,'UserData',S);
467
468 %—— Executes during object creation, after setting all properties.
469 function tipoSecc_popupmenu_CreateFcn(hObject, eventdata, handles)
470 % hObject    handle to tipoSecc_popupmenu (see GCBO)
471 % eventdata   reserved – to be defined in a future version of MATLAB
472 % handles    empty – handles not created until after all CreateFcns called
473
474 % Hint: popupmenu controls usually have a white background on Windows.
475 %       See ISPC and COMPUTER.
476 if ispc && isequal(get(hObject,'BackgroundColor'), get(0,
477     'defaultUicontrolBackgroundColor'))
478     set(hObject,'BackgroundColor','white');
479 end
480
481
482 function dim1_editText_Callback(hObject, eventdata, handles)
483 % hObject    handle to dim1_editText (see GCBO)
484 % eventdata   reserved – to be defined in a future version of MATLAB
485 % handles    structure with handles and user data (see GUIDATA)
486
487 % Hints: get(hObject,'String') returns contents of dim1_editText as text
488 %         str2double(get(hObject,'String')) returns contents of dim1_editText as
489 %         a double
490 % Almacenar el contenido de dim1_editText como un String. Si el String
```

```
491 % no es un número entonces input será empty
492 input=str2num(get(hObject, 'String'));
493
494 % chequear para ver si input es empty, establecer como valor de base, 0
495 if (isempty(input))
496     set(hObject, 'String', '0')
497 end
498
499
500 %—— Executes during object creation, after setting all properties.
501 function dim1_editText_CreateFcn(hObject, eventdata, handles)
502 % hObject    handle to dim1_editText (see GCBO)
503 % eventdata   reserved – to be defined in a future version of MATLAB
504 % handles    empty – handles not created until after all CreateFcns called
505
506 % Hint: edit controls usually have a white background on Windows.
507 %       See ISPC and COMPUTER.
508 if ispc && isequal(get(hObject, 'BackgroundColor'), get(0,
509     'defaultUicontrolBackgroundColor'))
510     set(hObject, 'BackgroundColor', 'white');
511 end
512
513
514 function dim2_editText_Callback(hObject, eventdata, handles)
515 % hObject    handle to dim2_editText (see GCBO)
516 % eventdata   reserved – to be defined in a future version of MATLAB
517 % handles    structure with handles and user data (see GUIDATA)
518
519 % Hints: get(hObject,'String') returns contents of dim2_editText as text
520 %         str2double(get(hObject,'String')) returns contents of dim2_editText as
521 %         a double
522
523 % Almacenar el contenido de dim2_editText como un String. Si el String
524 % no es un número entonces input será empty
525 input=str2num(get(hObject, 'String'));
526
527 % chequear para ver si input es empty, establecer como valor de base, 0
528 if (isempty(input))
529     set(hObject, 'String', '0')
530 end
531
532 %—— Executes during object creation, after setting all properties.
533 function dim2_editText_CreateFcn(hObject, eventdata, handles)
```

```
534 % hObject    handle to dim2_editText (see GCBO)
535 % eventdata   reserved - to be defined in a future version of MATLAB
536 % handles     empty - handles not created until after all CreateFcns called
537
538 % Hint: edit controls usually have a white background on Windows.
539 %        See ISPC and COMPUTER.
540 if ispc && isequal(get(hObject,'BackgroundColor'), get(0,'
      defaultUicontrolBackgroundColor'))
      set(hObject,'BackgroundColor','white');
541 end
542
543
544
545
546 function dim3_editText_Callback(hObject, eventdata, handles)
547 % hObject    handle to dim3_editText (see GCBO)
548 % eventdata   reserved - to be defined in a future version of MATLAB
549 % handles     structure with handles and user data (see GUIDATA)
550
551 % Hints: get(hObject,'String') returns contents of dim3_editText as text
552 %         str2double(get(hObject,'String')) returns contents of dim3_editText as
553 %         a double
554
555 % Almacenar el contenido de dim3_editText como un String. Si el String
556 % no es un número entonces input será empty
557 input=str2num(get(hObject,'String'));
558
559 % chequear para ver si input es empty, establecer como valor de base, 0
560 if isempty(input))
      set(hObject,'String','0')
561 end
562
563
564
565 %—— Executes during object creation , after setting all properties.
566 function dim3_editText_CreateFcn(hObject, eventdata, handles)
567 % hObject    handle to dim3_editText (see GCBO)
568 % eventdata   reserved - to be defined in a future version of MATLAB
569 % handles     empty - handles not created until after all CreateFcns called
570
571 % Hint: edit controls usually have a white background on Windows.
572 %        See ISPC and COMPUTER.
573 if ispc && isequal(get(hObject,'BackgroundColor'), get(0,'
      defaultUicontrolBackgroundColor'))
      set(hObject,'BackgroundColor','white');
574 end
```

```
576
577
578
579 function dim4_editText_Callback(hObject, eventdata, handles)
580 % hObject    handle to dim4_editText (see GCBO)
581 % eventdata   reserved - to be defined in a future version of MATLAB
582 % handles    structure with handles and user data (see GUIDATA)
583
584 % Hints: get(hObject,'String') returns contents of dim4_editText as text
585 %         str2double(get(hObject,'String')) returns contents of dim4_editText as
586 %         a double
587
588 % Almacenar el contenido de dim4_editText como un String. Si el String
589 % no es un número entonces input será empty
590 input=str2num(get(hObject,'String'));
591
592 % chequear para ver si input es empty, establecer como valor de base, 0
593 if (isempty(input))
594     set(hObject,'String','0')
595 end
596
597
598 %—— Executes during object creation, after setting all properties.
599 function dim4_editText_CreateFcn(hObject, eventdata, handles)
600 % hObject    handle to dim4_editText (see GCBO)
601 % eventdata   reserved - to be defined in a future version of MATLAB
602 % handles    empty - handles not created until after all CreateFcns called
603
604 % Hint: edit controls usually have a white background on Windows.
605 %       See ISPC and COMPUTER.
606 if ispc && isequal(get(hObject,'BackgroundColor'), get(0,
607 %                           defaultUicontrolBackgroundColor'))
608     set(hObject,'BackgroundColor','white');
609 end
610
611
612 function dim5_editText_Callback(hObject, eventdata, handles)
613 % hObject    handle to dim5_editText (see GCBO)
614 % eventdata   reserved - to be defined in a future version of MATLAB
615 % handles    structure with handles and user data (see GUIDATA)
616
617 % Hints: get(hObject,'String') returns contents of dim5_editText as text
618 %         str2double(get(hObject,'String')) returns contents of dim5_editText as
```

```
a double

619
620 % Almacenar el contenido de dim5_editText como un String. Si el String
621 % no es un número entonces input será empty
622 input=str2num(get(hObject,'String'));

623
624 % chequear para ver si input es empty, establecer como valor de base, 0
625 if isempty(input))
626     set(hObject,'String','0')
627 end

628
629
630
631 %—— Executes during object creation, after setting all properties.
632 function dim5_editText_CreateFcn(hObject, eventdata, handles)
633 % hObject    handle to dim5_editText (see GCBO)
634 % eventdata   reserved – to be defined in a future version of MATLAB
635 % handles    empty – handles not created until after all CreateFcns called
636
637 % Hint: edit controls usually have a white background on Windows.
638 %       See ISPC and COMPUTER.
639 if ispc && isequal(get(hObject,'BackgroundColor'), get(0,
640     'defaultUicontrolBackgroundColor'))
641     set(hObject,'BackgroundColor','white');
642 end

643
644
645 function dim6_editText_Callback(hObject, eventdata, handles)
646 % hObject    handle to dim6_editText (see GCBO)
647 % eventdata   reserved – to be defined in a future version of MATLAB
648 % handles    structure with handles and user data (see GUIDATA)

649
650 % Hints: get(hObject,'String') returns contents of dim6_editText as text
651 %         str2double(get(hObject,'String')) returns contents of dim6_editText as
652 %         a double

653 % Almacenar el contenido de dim6_editText como un String. Si el String
654 % no es un número entonces input será empty
655 input=str2num(get(hObject,'String'));

656
657 % chequear para ver si input es empty, establecer como valor de base, 0
658 if isempty(input))
659     set(hObject,'String','0')
660 end
```

```
661
662
663
664 %—— Executes during object creation , after setting all properties .
665 function dim6_editText_CreateFcn(hObject, eventdata, handles)
666 % hObject    handle to dim6_editText ( see GCBO)
667 % eventdata   reserved – to be defined in a future version of MATLAB
668 % handles     empty – handles not created until after all CreateFcns called
669
670 % Hint: edit controls usually have a white background on Windows.
671 %       See ISPC and COMPUTER.
672 if ispc && isequal(get(hObject, 'BackgroundColor'), get(0,
673     'defaultUicontrolBackgroundColor'))
674     set(hObject, 'BackgroundColor', 'white');
675 end
676
677 %—— Executes on button press in showGeo_pushButton .
678 function showGeo_pushButton_Callback(hObject, eventdata, handles)
679 % hObject    handle to showGeo_pushButton ( see GCBO)
680 % eventdata   reserved – to be defined in a future version of MATLAB
681 % handles     structure with handles and user data ( see GUIDATA)
682
683 S=get(handles.tipoSecc_popupmenu, 'UserData');
684
685 dim(1)=str2num(get(handles.dim1_editText, 'String'));
686 dim(2)=str2num(get(handles.dim2_editText, 'String'));
687 dim(3)=str2num(get(handles.dim3_editText, 'String'));
688 dim(4)=str2num(get(handles.dim4_editText, 'String'));
689 dim(5)=str2num(get(handles.dim5_editText, 'String'));
690 dim(6)=str2num(get(handles.dim6_editText, 'String'));
691
692
693 if dim(1)~=0
694 p=generacion_Modelo.verticesPoly(S.tipoSecc,dim);
695 yG=propSeccion.propGeom(p, 'yG');
696 zG=propSeccion.propGeom(p, 'zG');
697 p=problGeom.cambioSistCoord(p,-yG,-zG,0);
698
699 panhandle=handles.show_uipanel;
700 paxGeo=subplot(1,1,1, 'Parent', panhandle);
701 cla reset
702 salidaDatos.mostrar_perfilConEjes(p)
703
704 handles.panhandle=panhandle;
```

```

705 handles.paxGeo=paxGeo;
706 end
707
708 guidata(hObject,handles);
709
710
711 %—— Executes on button press in showMat_pushbutton.
712 function showMat_pushbutton_Callback(hObject, eventdata, handles)
713 % hObject handle to showMat_pushbutton (see GCBO)
714 % eventdata reserved – to be defined in a future version of MATLAB
715 % handles structure with handles and user data (see GUIDATA)
716
717 M=get(handles.tipoMat_popupmenu,'UserData');
718 valores(1)=str2num(get(handles.valMat1_editText,'String'));
719 valores(2)=str2num(get(handles.valMat2_editText,'String'));
720 valores(3)=str2num(get(handles.valMat3_editText,'String'));
721 valores(4)=str2num(get(handles.valMat4_editText,'String'));
722 valores(5)=str2num(get(handles.valMat5_editText,'String'));
723 valores(6)=str2num(get(handles.valMat6_editText,'String'));
724
725 if valores(1)~=0
726 ley_mat=generacion_Modelo.comportMaterial(M.tipoMat,valores);
727
728 panhandle=handles.show_uipanel;
729 paxMat=subplot(1,1,1,'Parent',panhandle);
730 cla reset
731 salidaDatos.mostrar_ley_mat(ley_mat)
732
733 handles.panhandle=panhandle;
734 hadles.paxMat=paxMat;
735 end
736
737 guidata(hObject,handles);
738
739 %—— Executes on button press in showSigEps_pushbutton.
740 function showSigEps_pushbutton_Callback(hObject, eventdata, handles)
741 % hObject handle to showSigEps_pushbutton (see GCBO)
742 % eventdata reserved – to be defined in a future version of MATLAB
743 % handles structure with handles and user data (see GUIDATA)
744
745 %tomar valores de la geometría
746 S=get(handles.tipoSecc_popupmenu,'UserData');
747
748 dim(1)=str2num(get(handles.dim1_editText,'String'));
749 dim(2)=str2num(get(handles.dim2_editText,'String'));

```

```

750 dim(3)=str2num(get(handles.dim3_editText,'String'));
751 dim(4)=str2num(get(handles.dim4_editText,'String'));
752 dim(5)=str2num(get(handles.dim5_editText,'String'));
753 dim(6)=str2num(get(handles.dim6_editText,'String'));

754
755 % tomar valores del material
756 M=get(handles.tipoMat_popupmenu,'UserData');

757
758 valores(1)=str2num(get(handles.valMat1_editText,'String'));
759 valores(2)=str2num(get(handles.valMat2_editText,'String'));
760 valores(3)=str2num(get(handles.valMat3_editText,'String'));
761 valores(4)=str2num(get(handles.valMat4_editText,'String'));
762 valores(5)=str2num(get(handles.valMat5_editText,'String'));
763 valores(6)=str2num(get(handles.valMat6_editText,'String'));

764
765 Axil=str2num(get(handles.valN_editText,'String'));
766 Momento=str2num(get(handles.valM_editText,'String'));

767
768 tipoProblema=3;

769
770 if valores(1)~=0 && dim(1)~=0
771 datEntrada={S.tipoSecc,dim,M.tipoMat,valores,Axil,Momento};
772 [valEntrada,valSalida]=main_logic(tipoProblema,datEntrada);

773
774 guardarCaso=0;
775 nombreCaso='sinNombre';

776
777 p=valEntrada{1};

778
779 z_=valSalida{1};
780 sigz_=valSalida{2};
781 epsz_=valSalida{3};
782 Ap1=valSalida{5};
783 Ap2=valSalida{6};

784
785 panhandle=handles.show_uipanel;

786
787 pax1=subplot(2,2,1,'Parent',panhandle);
788 cla reset
789 salidaDatos.mostrar_solicitud(p,Axil,Momento)

790
791 pax2=subplot(2,2,2,'Parent',panhandle);
792 cla reset
793 salidaDatos.mostrar_areasPlastificadas(p,z_,Ap1,Ap2);

794

```

```

795 pax3=subplot(2,2,3,'Parent',panhandle);
796 cla reset
797 ancho=max(p(:,1))-min(p(:,1));
798 alto=max(p(:,2))-min(p(:,2));
799
800 salidaDatos.mostrar_ley_deformaciones([epsz_,z_])
801 if alto/ancho<=1.05, pbaspect([ancho, alto, 1]); end
802
803 pax4=subplot(2,2,4,'Parent',panhandle);
804 cla reset
805 salidaDatos.mostrar_ley_tensiones([sigz_,z_])
806 if alto/ancho<=1.05, pbaspect([ancho, alto, 1]); end
807
808
809 handles.panhandle=panhandle;
810 handles.pax1=pax1;
811 handles.pax2=pax2;
812 handles.pax3=pax3;
813 handles.pax4=pax4;
814 end
815
816 guidata(hObject,handles);
817
818
819
820 %—— Executes on button press in showNpMp_pushButton.
821 function showNpMp_pushButton_Callback(hObject, eventdata, handles)
822 % hObject    handle to showNpMp_pushButton (see GCBO)
823 % eventdata   reserved – to be defined in a future version of MATLAB
824 % handles    structure with handles and user data (see GUIDATA)
825
826 %tomar valores de la geometría
827 S=get(handles.tipoSecc_popupmenu,'UserData');
828
829 dim(1)=str2num(get(handles.dim1_editText,'String'));
830 dim(2)=str2num(get(handles.dim2_editText,'String'));
831 dim(3)=str2num(get(handles.dim3_editText,'String'));
832 dim(4)=str2num(get(handles.dim4_editText,'String'));
833 dim(5)=str2num(get(handles.dim5_editText,'String'));
834 dim(6)=str2num(get(handles.dim6_editText,'String'));
835
836 %tomar valores del material
837 M=get(handles.tipoMat_popupmenu,'UserData');
838
839 valores(1)=str2num(get(handles.valMat1_editText,'String'));

```

```

840 valores(2)=str2num(get(handles.valMat2_editText,'String'));
841 valores(3)=str2num(get(handles.valMat3_editText,'String'));
842 valores(4)=str2num(get(handles.valMat4_editText,'String'));
843 valores(5)=str2num(get(handles.valMat5_editText,'String'));
844 valores(6)=str2num(get(handles.valMat6_editText,'String'));

845
846 tipoProblema=2;
847
848 prob12=get(handles.selectTipoAxil_buttongroup,'UserData');
849 signoN=prob12.signoAxil;

850
851 if valores(1)~=0 && dim(1)~=0
852 datEntrada={S.tipoSecc,dim,M.tipoMat,valores,signoN};
853 [valEntrada,valSalida]=main_logic(tipoProblema,datEntrada);
854 guardarCaso=0;
855 nombreCaso='sinNombre';

856
857 p=valEntrada{1};
858 d_int=valSalida{1};

859
860 panhandle=handles.show_uipanel;
861 pax_dInt=subplot(1,1,1,'Parent',panhandle);
862 cla reset
863 salidaDatos.mostrar_diagr_interacc(p,d_int)

864
865 handles.panhandle=panhandle;
866 handles.pax_dInt=pax_dInt;
867 end

868
869 guidata(hObject,handles);

870
871
872
873 %—— Executes on button press in showMC_pushButton.
874 function showMC_pushButton_Callback(hObject, eventdata, handles)
875 % hObject handle to showMC_pushButton (see GCBO)
876 % eventdata reserved – to be defined in a future version of MATLAB
877 % handles structure with handles and user data (see GUIDATA)

878
879 % tomar valores de la geometría
880 S=get(handles.tipoSecc_popupmenu,'UserData');

881
882 dim(1)=str2num(get(handles.dim1_editText,'String'));
883 dim(2)=str2num(get(handles.dim2_editText,'String'));
884 dim(3)=str2num(get(handles.dim3_editText,'String'));

```

```

885 dim(4)=str2num(get(handles.dim4_editText,'String'));
886 dim(5)=str2num(get(handles.dim5_editText,'String'));
887 dim(6)=str2num(get(handles.dim6_editText,'String'));
888
889 % tomar valores del material
890 M=get(handles.tipoMat_popupmenu,'UserData');
891
892 valores(1)=str2num(get(handles.valMat1_editText,'String'));
893 valores(2)=str2num(get(handles.valMat2_editText,'String'));
894 valores(3)=str2num(get(handles.valMat3_editText,'String'));
895 valores(4)=str2num(get(handles.valMat4_editText,'String'));
896 valores(5)=str2num(get(handles.valMat5_editText,'String'));
897 valores(6)=str2num(get(handles.valMat6_editText,'String'));
898
899 tipoProblema=1;
900
901 if valores(1)~=0 && dim(1)~=0
902
903 datEntrada={S.tipoSecc,dim,M.tipoMat,valores};
904 [valEntrada,valSalida]=main_logic(tipoProblema,datEntrada);
905 guardarCaso=0;
906 nombreCaso='sinNombre';
907
908 Me=valSalida{1};
909 chie=valSalida{2};
910 Mp=valSalida{3};
911 d_MC=valSalida{7};
912
913 panhandle=handles.show_uipanel;
914 paxMC=subplot(1,1,1,'Parent',panhandle);
915 cla reset
916 salidaDatos.mostrar_diagr_MC(d_MC)
917 hold on
918 plot(chie,Me,'sg')
919 plot([min(d_MC(:,1)),max(d_MC(:,1))],[Mp,Mp],'—k')
920 legend('M - \chi','(M_e,\chi_e)', 'M_p')
921 handles.panhandle=panhandle;
922 handlex.paxMC=paxMC;
923 end
924
925
926 guidata(hObject,handles);
927
928
929

```

```
930 function valN_editText_Callback(hObject, eventdata, handles)
931 % hObject    handle to valN_editText (see GCBO)
932 % eventdata   reserved - to be defined in a future version of MATLAB
933 % handles     structure with handles and user data (see GUIDATA)
934
935 % Hints: get(hObject,'String') returns contents of valN_editText as text
936 %         str2double(get(hObject,'String')) returns contents of valN_editText as
937 %         a double
938
939 % Almacenar el contenido de valN_editText como un String. Si el String
940 % no es un número entonces input será empty
941 input=str2num(get(hObject,'String'));
942
943 % chequear para ver si input es empty, establecer como valor de base, 0
944 if (isempty(input))
945     set(hObject,'String','0')
946 end
947
948
949 %—— Executes during object creation, after setting all properties.
950 function valN_editText_CreateFcn(hObject, eventdata, handles)
951 % hObject    handle to valN_editText (see GCBO)
952 % eventdata   reserved - to be defined in a future version of MATLAB
953 % handles     empty - handles not created until after all CreateFcns called
954
955 % Hint: edit controls usually have a white background on Windows.
956 %       See ISPC and COMPUTER.
957 if ispc && isequal(get(hObject,'BackgroundColor'), get(0,
958     'defaultUicontrolBackgroundColor'))
959     set(hObject,'BackgroundColor','white');
960 end
961
962
963 function valM_editText_Callback(hObject, eventdata, handles)
964 % hObject    handle to valM_editText (see GCBO)
965 % eventdata   reserved - to be defined in a future version of MATLAB
966 % handles     structure with handles and user data (see GUIDATA)
967
968 % Hints: get(hObject,'String') returns contents of valM_editText as text
969 %         str2double(get(hObject,'String')) returns contents of valM_editText as
970 %         a double
971 % Almacenar el contenido de valM_editText como un String. Si el String
```

```

972 % no es un número entonces input será empty
973 input=str2num(get(hObject, 'String'));
974
975 % chequear para ver si input es empty, establecer como valor de base, 0
976 if isempty(input))
977     set(hObject, 'String', '0')
978 end
979
980
981
982 %—— Executes during object creation, after setting all properties.
983 function valM_editText_CreateFcn(hObject, eventdata, handles)
984 % hObject    handle to valM_editText (see GCBO)
985 % eventdata   reserved - to be defined in a future version of MATLAB
986 % handles    empty - handles not created until after all CreateFcns called
987
988 % Hint: edit controls usually have a white background on Windows.
989 %       See ISPC and COMPUTER.
990 if ispc && isequal(get(hObject, 'BackgroundColor'), get(0,
991     'defaultUicontrolBackgroundColor'))
992     set(hObject, 'BackgroundColor', 'white');
993 end
994
995 function selectTipoAxil_buttongroup_SelectionChangeFcn(hObject, eventdata, handles
996 )
997 handles=guidata(hObject);
998
999 switch (get(eventdata.NewValue, 'Tag'))
1000     case 'axilTrace_radiobutton'
1001         prob12.signoAxil='p';
1002     case 'axilCompr_radiobutton'
1003         prob12.signoAxil='n';
1004 otherwise
1005 end
1006
1007 set(handles.selectTipoAxil_buttongroup, 'UserData', prob12);

```

## B.2. *presentation/*

Módulo de preproceso y post-proceso.

### B.2.1. *entradaDatos*

```

1 classdef entradaDatos
2 methods( Static )
3
4 %*****%
5 %
6 % entradaDatos: módulo que contiene las funciones para la recogida %
7 % y almacenamiento de datos %
8 %
9 % Funciones que contiene:
10 % modoE_consola(): función con la que se recogen los datos en el %
11 % modo consola %
12 % modoE_archivo(): función con la que se recogen los datos en el %
13 % modo por archivo %
14 %
15 %*****%
16
17
18 function [ tipoProblema ,datEntrada ,guardarCaso ,nombreCaso]=modoE_consola()
19 %
20 % Pedir datos en el modo consola
21 %
22
23 %PDIR DATOS GEOMETRÍA
24 fprintf( '\nIntroducir tipo de sección: ')
25 fprintf( '\nR: sección rectangular')
26 fprintf( '\nC: sección circular')
27 fprintf( '\nI: sección doble T')
28 fprintf( '\nH: sección H')
29 fprintf( '\nT: sección en T')
30 fprintf( '\nInb: sección doble T no bisimétrica')
31 fprintf( '\nRh: sección rectangular con hueco')
32 fprintf( '\nCh: sección circular con hueco')
33 fprintf( '\nRombo: sección rombo')
34 fprintf( '\nIPE: sección IPE')
35 fprintf( '\nIPN: sección IPN')
36 fprintf( '\n\n Introducir caracteres entre comillas simple\n')
37
38 tipoSecc=input('Tipo de sección: ');
39 if isnumeric(tipoSecc), tipoSecc=num2str(tipoSecc); end
40 seccNames={ 'R' , 'I' , 'H' , 'T' , 'Inb' , 'Rh' , 'Ch' , 'Rombo' , 'IPE' , 'IPN' , 'cajon' , '0' };
41 while ~ismember(tipoSecc ,seccNames)
42     fprintf([ '\nTipo de sección no reconocido, por favor introduzca un valor'
43             ,...
44             '\nadecuado o pulse 0 para salir (caracteres entre comillas
45             simples)\n'])

```

```

44     tipoSecc=input('Tipo de sección: ');
45     if isnumeric(tipoSecc), tipoSecc=num2str(tipoSecc);end
46 end
47
48 switch tipoSecc
49
50 case 'R'
51     fprintf ('\nR: sección rectangular\n')
52     dim(1)=input ('ancho , b (mm): ');
53     dim(2)=input ('canto , h (mm): ');
54
55 case 'I'
56     fprintf ('\nI: sección doble T\n')
57     dim(1)=input ('altura total , h (mm): ');
58     dim(2)=input ('ancho ala , bf (mm): ');
59     dim(3)=input ('espesor ala , tf (mm): ');
60     dim(4)=input ('espesor alma , tw (mm): ');
61
62 case 'C'
63     fprintf ('\nC: sección circular\n')
64     dim(1)=input ('radio , r (mm): ');
65
66 case 'T'
67     fprintf ('\nT: sección en T\n')
68     dim(1)=input ('altura total , h (mm): ');
69     dim(2)=input ('ancho ala , bf (mm): ');
70     dim(3)=input ('espesor ala , tf (mm): ');
71     dim(4)=input ('espesor alma , tw (mm): ');
72
73 case 'Inb'
74     fprintf ('\nInb: sección doble T no bisimétrica\n')
75     dim(1)=input ('altura total sección, h (mm): ');
76     dim(2)=input ('ancho ala superior , bf1 (mm): ');
77     dim(3)=input ('espesor ala superior , tf1 (mm): ');
78     dim(4)=input ('espesor alma, tw (mm): ');
79     dim(5)=input ('ancho ala inferior , bf2 (mm): ');
80     dim(6)=input ('espesor ala inferior , tf2 (mm): ');
81
82 case 'Ch'
83     fprintf ('\nCh: sección circular con hueco\n')
84     dim(1)=input ('radio , r (mm): ');
85     dim(2)=input ('espesor , e (mm): ');
86
87 case 'Rh'
88     fprintf ('\nRh: sección rectangular con hueco\n')

```

```

89 dim(1)=input( 'ancho , b (mm): ' );
90 dim(2)=input( 'canto , h (mm): ' );
91 dim(3)=input( 'espesor , e (mm): ' );
92
93 case 'H'
94 fprintf( '\nH: sección H\n' )
95 dim(1)=input( 'ancho ala , hf(mm): ' );
96 dim(2)=input( 'alura total , b (mm): ' );
97 dim(3)=input( 'espesor ala , tf (mm): ' );
98 dim(4)=input( 'espesor alma , tw (mm): ' );
99
100 case 'Rombo'
101 fprintf( '\nRombo: sección rombo\n' )
102 dim(1)=input( 'diagonal horizontal , d1 (mm): ' );
103 dim(2)=input( 'diagonal vertical , d2 (mm): ' );
104
105 case 'IPN'
106 fprintf( '\nIPN: sección IPN\n' )
107 dim(1)=input( 'altura total perfil , h (mm): ' );
108 dim(2)=input( 'ancho alas , b (mm): ' );
109 dim(3)=input( 'radio entre ala y alma , r1 (mm): ' );
110 dim(4)=input( 'espesor ala , tf (mm): ' );
111 dim(5)=input( 'radio ala , r2 (mm): ' );
112 dim(6)=input( 'altura alma , d (mm): ' );
113 fprintf( '\nNota: espesor alma (tw) cumple: tw=r1' )
114
115 case 'IPE'
116 fprintf( '\nIPE: sección IPE\n' )
117 dim(1)=input( 'altura total perfil , h (mm): ' );
118 dim(2)=input( 'ancho alas , bf (mm): ' );
119 dim(3)=input( 'espesor alma , tw (mm): ' );
120 dim(4)=input( 'espesor ala , tf (mm): ' );
121 dim(5)=input( 'radio ala , r (mm): ' );
122 dim(6)=input( 'altura alma , d (mm): ' );
123
124
125 case 'cajon'
126 fprintf( '\ncajon: sección en cajón\n' )
127 dim(1)=input( 'distancia entre caras extremas de las almas , b (mm): ' );
128 dim(2)=input( 'saliente alas , b1 (mm): ' );
129 dim(3)=input( 'espesor ala superior , tf1 (mm): ' );
130 dim(4)=input( 'altura almas , hw (mm): ' );
131 dim(5)=input( 'espesor almas , tw (mm): ' );
132 dim(6)=input( 'espesor ala inferior , tf2 (mm): ' );
133

```

```

134 case '0'
135     fprintf( '\n Ha elegido salir del programa\n')
136     tipoProblema=NaN; datEntrada=NaN; guardarCaso=NaN; nombreCaso=NaN;
137     return
138
139 otherwise
140     error('Tipo de sección no reconocido')
141
142 end
143
144
145 %PEDIR DATOS MATERIAL
146 fprintf( '\nIntroducir tipo de comportamiento del material del modelo\n')
147 fprintf([ '\nG1: Material perfectamente plástico con igual comportamiento', ...
148          ' a tracción y compresión'])
149 fprintf([ '\nG2: Material perfectamente plástico con diferente', ...
150          ' comportamiento a tracción y compresión'])
151 fprintf([ '\nG3: Material con endurecimiento con igual comportamiento a', ...
152          ' tracción y compresión\n'])
153
154 tipoMat=input('Tipo de material:');
155 if isnumeric(tipoMat), tipoMat=num2str(tipoMat);end
156 matNames={'G1','G2','G3','0'};
157
158 while ~ismember(tipoMat,matNames)
159     fprintf([ '\nPor favor, introduza un valor de material', ...
160               '\nadecuado G1, G2 o G3, o bien pulse 0 ', ...
161               'para salir\n'])
162     tipoMat=input('Tipo de material:');
163     if isnumeric(tipoMat), tipoMat=num2str(tipoMat);end
164 end
165
166 switch tipoMat
167     case 'G1'
168
169         valores(1)=input('Tensión en el límite elástico (MPa): ');
170         valores(2)=input('Módulo de Young (MPa): ');
171
172     case 'G2'
173         valores(1)=input('Módulo de Young (MPa): ');
174         valores(2)=input('Tensión en el límite elástico a compresión (MPa): ');
175         valores(3)=input('Tensión en el límite elástico a tracción (MPa): ');
176
177     case 'G3'
178         valores(1)=input('Deformación unitaria en el límite elástico: ');

```

```

179     valores(2)=input('Tensión de en el límite elástico (MPa): ');
180     valores(3)=input('Deformación unitaria en el inicio del endurecimiento: ')
181         ;
182     valores(4)=input('Tensión en el inicio del endurecimiento (MPa): ');
183     valores(5)=input('Deformación unitaria en el final del endurecimiento: ');
184     valores(6)=input('Tensión máxima (MPa): ');

185 case '0'
186     fprintf('\n Ha elegido salir del programa\n')
187     tipoProblema=NaN; datEntrada=NaN; guardarCaso=NaN; nombreCaso=NaN;
188     return
189
190 otherwise
191     error('Tipo de material no reconocido.')
192 end

193
194 %ELEGIR TIPO DE PROBLEMA
195
196 fprintf('\n Escoger qué problema se desea realizar')
197 fprintf('\n Introducir:')
198 fprintf('\n 1: Cálculo de valores característicos del comportamiento')
199 fprintf('\n      de la sección en flexión pura, se calculará:')
200 fprintf('\n      * Diagrama Momento – Curvatura')
201 fprintf('\n      * Momento Elástico, Momento Plástico y factor de forma')
202 fprintf('\n 2: Cálculo del diagrama de interacción de la sección')
203 fprintf('\n      N p – M p')
204 fprintf('\n 3: Cálculo del diagrama de tensiones dada la')
205 fprintf('\n      solicitación de la sección (N,M)\n')

206 tipoProblema=input('Introducir número asociado al problema: ');
207 tipoProblNames={'1','2','3','0'};
208 if isnumeric(tipoProblema), tipoProblema=num2str(tipoProblema);end
209
210 while ~ismember(tipoProblema, tipoProblNames)
211     fprintf(['\nPor favor, introduza un tipo de problema', ...
212             '\nadecuado 1, 2 o 3, o bien pulse 0 ', ...
213             'para salir\n'])
214     tipoProblema=input('Introducir número asociado al problema: ');
215     if isnumeric(tipoProblema), tipoProblema=num2str(tipoProblema);end
216 end
217
218 tipoProblema=str2num(tipoProblema);
219
220 switch tipoProblema
221

```

```

223 case 1
224   fprintf( '\n  1: Cálculo de valores característicos del comportamiento')
225   fprintf( '\n    de la sección en flexión pura')
226
227   datEntrada{1}=tipoSecc;
228   datEntrada{2}=dim;
229   datEntrada{3}=tipoMat;
230   datEntrada{4}=valores; % valores del material
231
232
233 case 2
234   fprintf( '\n  2: Cálculo del diagrama de interacción de la sección')
235   fprintf( '\n      N p - M p')
236   fprintf( '\n Introduzca')
237   fprintf( '\n      n: axil de compresión')
238   fprintf( '\n      p: axil de tracción\n')
239   signoN=input('SignoN: ');
240   if isnumeric(signoN), signoN=num2str(signoN);end
241   valAdmissible={'n','p','0'};
242
243   while ~ismember(valAdmissible,signoN)
244     fprintf( '\n Valor no admisible.')
245     fprintf( '\nPor favor, introduzca n para axil de compresión o p para axil de
246           tracción')
247     fprintf( '\n o bien pulse 0, para salir\n')
248     signoN=input('SignoN: ');
249     if isnumeric(signoN), signoN=num2str(signoN);end
250   end
251
252   datEntrada{1}=tipoSecc;
253   datEntrada{2}=dim;
254   datEntrada{3}=tipoMat;
255   datEntrada{4}=valores;
256   datEntrada{5}=signoN;
257
258
259 case 3
260   fprintf( '\n  3: Cálculo del diagrama de tensiones dada la')
261   fprintf( '\n      solicitudación de la sección (N,M)\n')
262
263   fprintf( '\n Introducir valores de la solicitudación: \n')
264   N=input(' Valor del axil, N (kN): ');
265   M=input(' Valor del momento, M (kN*m): ');
266

```

```

267 datEntrada{1}=tipoSecc ;
268 datEntrada{2}=dim ;
269 datEntrada{3}=tipoMat ;
270 datEntrada{4}=valores ;
271 datEntrada{5}=N;
272 datEntrada{6}=M;

273
274 case 0
275     fprintf( '\n Ha elegido salir del programa\n' )
276     tipoProblema=NaN; datEntrada=NaN; guardarCaso=NaN; nombreCaso=NaN;
277     return
278
279 otherwise
280     error( '\n Tipo de problema no reconocido' )
281
282 end
283 fprintf( '\n¿Desea guardar el caso?' )
284 fprintf( '\n Pulse 1 si sí y 0 en caso negativo\n' )
285 guardarCaso=input( 'Guardar resultados:' );
286
287 if guardarCaso
288     fprintf( '\nAsignar un nombre al caso(entre comillas simples):\n' )
289     nombreCaso=input( 'Nombre:' );
290 else
291     nombreCaso='sinnombre';
292 end
293 end
294 %
295 %=====
```

---

296
297
298 **function** [ tipoProblema ,nombreCaso ,datEntrada]=modoE\_archivo(i ,C,P,S,M)
299 %
300 % Entrada de datos por medio de archivo con textscan (sin tablas)
301 %
302
303 % Entrada de datos por archivo
304 %C: cell que contiene los casos que se quiere simular
305 %P: cell que contiene los problemas y sus valores asociados
306 %S: cell que contiene las secciones
307 %M: cell que contiene los materiales
308
309
310 nombreCaso=C{1}(i);
311 nombreProblema=C{2}(i);

```

312 nombreSecc=C{3}( i );
313 nombreMaterial=C{4}( i );
314
315
316 nombreCaso=char( nombreCaso );
317 nombreProblema=char( nombreProblema );
318 nombreSecc=char( nombreSecc );
319 nombreMaterial=char( nombreMaterial );
320
321 % Determinar tipo de sección y sus dimensiones
322 for i=1:length(S{1})
323     ss=[char(S{1}(i)), ' '];
324     S{1}( i )={ss};
325 end
326
327 nombreSecc=[nombreSecc, ' '];
328 b=strfind(S{1}, nombreSecc);
329 iSecc=find(~(cellfun('isempty', b)));
330 tipoSecc=S{2}(iSecc);
331 tipoSecc=char(tipoSecc);
332 dimSecc=[S{3}(iSecc), S{4}(iSecc), S{5}(iSecc), S{6}(iSecc), S{7}(iSecc), S{8}(iSecc)];
333 dimSecc=dimSecc(~isnan(dimSecc));
334
335
336 % Determinar tipo de material y sus propiedades
337 for i=1:length(M{1})
338     mm=[char(M{1}(i)), ' '];
339     M{1}( i )={mm};
340 end
341
342 nombreMaterial=[nombreMaterial, ' '];
343 b=strfind(M{1}, nombreMaterial);
344 iMat=find(~(cellfun('isempty', b)));
345 tipoMat=M{2}(iMat);
346 tipoMat=char(tipoMat);
347 valMat=[M{3}(iMat), M{4}(iMat), M{5}(iMat), M{6}(iMat), M{7}(iMat), M{8}(iMat)];
348 valMat=valMat(find(~isnan(valMat)));
349
350
351 % Determinar tipo de problema
352
353 for i=1:length(P{1})
354     pp=[char(P{1}(i)), ' '];
355     P{1}( i )={pp};

```

```
356 end
357
358 nombreProblema=[nombreProblema , ' '];
359 b=strfind (P{1},nombreProblema);
360 iProblema=find (~(~(cellfun ('isempty',b))));
361 tipoProblema=P{2}(iProblema);
362 tipoProblema=char(tipoProblema);
363
364 %GENERACIÓN DEL MODELO
365 switch tipoProblema
366
367 case 1
368
369     datEntrada{1}=tipoSecc;
370     datEntrada{2}=dimSecc;
371     datEntrada{3}=tipoMat;
372     datEntrada{4}=valMat;
373
374 case 2
375
376     signoN=P{3}(iProblema);
377
378     datEntrada{1}=tipoSecc;
379     datEntrada{2}=dimSecc;
380     datEntrada{3}=tipoMat;
381     datEntrada{4}=valMat;
382     datEntrada{5}=char(signoN);
383
384
385 case 3
386
387     N=P{4}(iProblema);
388     M_=P{5}(iProblema);
389
390     datEntrada{1}=tipoSecc;
391     datEntrada{2}=dimSecc;
392     datEntrada{3}=tipoMat;
393     datEntrada{4}=valMat;
394     datEntrada{5}=N;
395     datEntrada{6}=M_;
396
397 otherwise
398     error( '\n Tipo de problema no reconocido ')
399 end
400
```

```

401 end
402 %
403 %-----%
404
405 end
406 end

```

### B.2.2. *salidaDatos*

```

1 classdef salidaDatos
2 methods(Static)
3
4 %*****%
5 %
6 % salidaDatos: módulo que contiene las funciones para la muestra %
7 % de resultados %
8 %
9 % Funciones que contiene: %
10 % visualizacion_modelo(): mostrar el modelo de entrada (modelo %
11 % geométrico y del material) %
12 % mostrar_ley_mat(): mostrar ley constitutiva del material %
13 % mostrar_perfilConEjes(): mostrar perfil con sus ejes de referencia %
14 % mostrar_solicitud(): mostrar solicitud (N,M) de la sección %
15 % visualizar_resultados(): mostrar resultados del programa de %
16 % forma gráfica %
17 % mostrar_diagr_MC(): mostrar diagrama Momento–Curvatura %
18 % mostrar_diagr_interacc(): mostrar diagrama interacción N'p–M'p con %
19 % axil en valor absoluto %
20 % mostrar_diagr_interacc2(): mostrar diagrama interacción N'p–M'p %
21 % sin axil en valor absoluto %
22 % mostrar_areasPlastificadas(): mostrar sección con áreas %
23 % plastificadas %
24 % mostrar_ley_tensiones(): mostrar distribución de tensiones de %
25 % la sección %
26 % mostrar_ley_deformaciones(): mostrar distribución de deformaciones %
27 % de la sección %
28 % fill_area(): llenar un polígono(simple o compuesto) de un color %
29 % mostrar_perfil(): mostrar perfil %
30 % simbolo_esfuerzo(): generar símbolos de la solicitud (N, M) %
31 % generar_informeResultados(): generar informe de resultados %
32 % informe_diagramaInteraccion(): generar informe del problema de %
33 % determinar el diagrama de interacción %
34 % informe_leyTensiones(): generar informe del problema de calcular %
35 % la distribución de tensiones dada una solicitud %
36 % dimSeccNames(): dado un tipo de sección, generar un cell con los %

```

```

37 %           nombres de las dimensiones características de la sección %
38 %   valNamesMaterial(): dado un tipo de modelo material, generar un %
39 %   cell con los nombres de los valores característicos del material %
40 %
41 %*****%
42
43
44 function visualizacion_modelo(tipo_probl ,valEntrada ,guardarCaso ,nombreCaso)
45 %-----+
46 %
47 % Descripción función:
48 %   Visualización del modelo de entrada (geometría,material y
49 %   solicitudación si fuera necesario)
50 %
51 % Inputs:
52 %   tipo_probl: tipo de problema
53 %   valEntrada: valores de entrada del problema
54 %   guardarCaso: valor booleano que indica si se quiere guardar el
55 %   caso(1) o no(0)
56 %   nombreCaso: (string) nombre del caso
57 %
58 % Outputs:
59 %   Depende del tipo de problema.
60 %
61 % Dependencias:
62 %   salidaDatos.mostrar_perfilConEjes , salidaDatos.mostrar_ley_mat ,
63 %   salidaDatos.mostrar_solicitud
64 %-----+
65 if guardarCaso , pathname=fileparts( 'Output_Files/' ); end
66 switch tipo_probl
67   case 1
68     %valEntrada{1}: vértices del polígono que define sección
69     %valSalida{2}: ley constitutiva del material
70     figure(1)
71     salidaDatos.mostrar_perfilConEjes(valEntrada{1})
72     if guardarCaso
73       figureName=[nombreCaso , '_perfil.png' ];
74       figureOut=fullfile(pathname , figureName);
75       print(gcf , figureOut , '-dpng')
76     end
77     figure(2)
78     salidaDatos.mostrar_ley_mat(valEntrada{2})
79     if guardarCaso
80       figureName=[nombreCaso , '_leyConstitutiva.png' ];
81       figureOut=fullfile(pathname , figureName);

```

```

82     print(gcf,figureOut,'-dpng')
83 end
84
85 case 2
86 % valEntrada{1}: vértices del polígono que define sección
87 % valSalida{2}: ley constitutiva del material
88 figure(1)
89 salidaDatos.mostrar_perfilConEjes(valEntrada{1})
90 if guardarCaso
91     figureName=[nombreCaso,'_perfil.png'];
92     figureOut=fullfile(pathname,figureName);
93     print(gcf,figureOut,'-dpng')
94 end
95 figure(2)
96 salidaDatos.mostrar_ley_mat(valEntrada{2})
97 if guardarCaso
98     figureName=[nombreCaso,'_leyConstitutiva.png'];
99     figureOut=fullfile(pathname,figureName);
100    print(gcf,figureOut,'-dpng')
101 end
102 case 3
103 % valEntrada{1}: vértices del polígono que define sección
104 % valSalida{2}: ley constitutiva del material
105 % valSalida{3}: solicitudación, [N,M]
106 figure(1)
107 salidaDatos.mostrar_solicitudacion(valEntrada{1},valEntrada{3},valEntrada{4})
108 if guardarCaso
109     figureName=[nombreCaso,'_solicitudes.png'];
110     figureOut=fullfile(pathname,figureName);
111     print(gcf,figureOut,'-dpng')
112 end
113 figure(2)
114 salidaDatos.mostrar_ley_mat(valEntrada{2})
115 if guardarCaso
116     figureName=[nombreCaso,'_leyConstitutiva.png'];
117     figureOut=fullfile(pathname,figureName);
118     print(gcf,figureOut,'-dpng')
119 end
120 otherwise
121     error('Tipo de problema no reconocido.')
122 end
123 end
124 %
125 %

```

```

126
127
128
129 function mostrar_ley_mat(ley_mat)
130 %+
131 %
132 % mostrar_ley_mat(ley_mat)
133 %
134 % Descripción función:
135 % Mostrar ley constitutiva del material
136 %
137 % Inputs:
138 % ley_mat: ley constitutiva del material.
139 % Siendo el vector fila i [eps_i,sig_i]
140 %
141 % Outputs:
142 % Gráfica de la ley_mat
143 %
144 % Unidades:
145 % Tensiones - MPa
146 % z - mm
147 %
148 %+
149 sig_pt=max(ley_mat(:,2));
150 i_eps_pt=find(ley_mat(:,2)==sig_pt,1); % índice de eps_pt
151 eps_pt=ley_mat(i_eps_pt,1);
152 sig_pc=min(ley_mat(:,2));
153 i_eps_pc=find(ley_mat(:,2)==sig_pc,2);
154 i_eps_pc=i_eps_pc(2); % índice elemento eps_pc(2nd elemento de find)
155 eps_pc=ley_mat(i_eps_pc,1);
156
157 n=2;
158 xmax=eps_pt*n;
159 xmin=eps_pc*n;
160 dx=(xmax-xmin)*0.10;
161 ymax=sig_pt;
162 ymin=sig_pc;
163 dy=(ymax-ymin)*0.10;
164
165 plot(ley_mat(:,1),ley_mat(:,2),'r')
166 hold on
167 plot([xmin-dx,xmax+dx],[0,0],'-k')
168 plot([0,0],[ymin-dy,ymax+dy],'-k')
169 set(gca,'Xlim',[xmin-dx,xmax+dx])
170

```

```

171 a={};
172 for i=1:length(ley_mat(:,2))
173     a{i}=sprintf('%.2f',ley_mat(i,2));
174 end
175 ley_mat(:,2)=str2double(a);
176
177 set(gca,'XTick',unique(ley_mat(:,1)))
178 set(gca,'YTick',unique(ley_mat(:,2)))
179 xlabel('\epsilon')
180 ylabel('\sigma (Mpa)')
181 title('Diagrama Tensión-Deformación')
182 grid on
183
184 set(gca,'FontSize',8)
185 end
186 %
187 %-----+
188
189
190
191 function mostrar_perfilConEjes(p)
192 %-----+
193 %
194 % mostrar_perfilConEjes(p)
195 %
196 % Descripción función:
197 %   Función que muestra el perfil dados sus vértices y sus ejes de
198 % referencia
199 %
200 % Inputs:
201 %   p: conjunto vértices que determinan el polígono que encierra a la
202 % sección. Siendo el vector fila i: [yi , zi]
203 %
204 % Outputs:
205 %   Gráfica que muestra el perfil
206 %
207 % Unidades:
208 %   Distancias - mm
209 %
210 %-----+
211
212 fill(p(:,1),p(:,2),'w')
213 title('Perfil')
214
215 xmin=min(p(:,1));

```

```

216     xmax=max(p(:,1));
217     ymin=min(p(:,2));
218     ymax=max(p(:,2));
219
220     dx=(xmax-xmin)*0.1;
221     dy=(ymax-ymin)*0.1;
222
223     % Mostrar ejes
224     hold on
225     % Eje horizontal
226     plot([0,xmax+dx],[0,0],'-b')
227     plot(xmax+dx,0,>b')
228
229     % Eje vertical
230     plot([0,0],[0,ymax+dy],'-b')
231     plot(0,ymax+dy,'^b')
232     axis('equal')
233
234     xlim([xmin-dx,xmax+dx]);
235     ylim([ymin-dy,ymax+dy]);
236
237     % ejes
238
239     xlabel('y (mm)')
240     ylabel('z (mm)')
241
242     set(gca,'FontSize',8)
243 end
244 %
245 %
246
247
248
249 function mostrar_solicitud(p,N,M)
250 %
251 %
252 % Descripción función:
253 %   Mostrar perfil con la solicitudación
254 %
255 % Inputs:
256 %   p: conjunto vértices que determinan el polígono que encierra a la
257 %       sección. Siendo el vector fila i: [yi ,zi]
258 %   N: valor del axil (en kN)
259 %   M: valor del momento (en kN*m)
260 %

```

```

261 % Outputs:
262 % Gráfica que muestra el perfil con la solicitud
263 % <<: momento positivo. >>: momento negativo
264 % círculo negro: axil de tracción. Círculo con x: axil de compresión
265 %
266 % Dependencias:
267 % salidaDatos.simbolo_esfuerzo
268 %
269 %-----+
270 xmax=max(p(:,1));
271 xmin=min(p(:,1));
272 ymax=max(p(:,2));
273 ymin=min(p(:,2));
274
275 dx=(xmax-xmin)*0.1;
276 dx2=dx/2;
277 dy=(ymax-ymin)*0.1;
278
279 Nstr=sprintf('%.2f kN',N);
280 Mstr=sprintf('%.2f kN*m',M);
281 salidaDatos.mostrar_perfilConEjes(p)
282
283 ancho=xmax-xmin;
284 alto=ymax-ymin;
285 r=max(ancho,alto)/30;
286 hold on
287
288 if N>0
289     salidaDatos.simbolo_esfuerzo('N_positivo',[0,0,r])
290     text(0,dy,Nstr)
291 elseif N<0
292     salidaDatos.simbolo_esfuerzo('N_negativo',[0,0,r])
293     text(0,dy,Nstr)
294 else
295     %%No hay axil que mostrar
296 end
297
298 if M>0
299     salidaDatos.simbolo_esfuerzo('M_positivo',[0,0,1.5*r])
300     text(0,-dy,Mstr)
301 elseif M<0
302     salidaDatos.simbolo_esfuerzo('M_negativo',[0,0,1.5*r])
303     text(0,-dy,Mstr)
304 else
305     %%No hay momento que mostrar

```

```

306 end
307 title( 'Solicitud' , 'FontSize' ,8)
308
309 end
310 %
311 %
312
313
314
315 function visualizar_resultados(tipo_probl , valEntrada , valSalida , guardarCaso ,
316 nombreCaso)
317 if guardarCaso , pathname=fileparts( 'Output_Files/' ); end
318 switch tipo_probl
319
320 case 1
321 % Problema: Calcular Diagrama Momento – Curvatura
322
323 Me=valSalida{1}; % momento elástico
324 chie=valSalida{2}; % curvatura correspondiente al momento elástico
325 Mp=valSalida{3}; % momento plástico
326 d_MC=valSalida{7}; % diagrama momento – curvatura
327
328 figure
329 salidaDatos.mostrar_diagr_MC(d_MC)
330 hold on
331 plot( chie ,Me, 'sg')
332 plot ([ min(d_MC(:,1)) ,max(d_MC(:,1)) ] ,[Mp,Mp] , '—k')
333 legend( 'M – \chi' , '(M_e,\chi_e)' , 'M_p')
334
335 if guardarCaso
336 figureName=[nombreCaso , '_dMC.png' ];
337 figureOut=fullfile (pathname ,figureName );
338 print (gcf ,figureOut , '-dpng')
339 end
340
341 case 2
342 % Problema: Calcular diagrama interacción(N-M)
343
344 p=valEntrada{1}; % vértices polígono sección
345 d_int=valSalida{1}; % diagrama interacción
346
347 figure
348 salidaDatos.mostrar_diagr_interacc(p ,d_int)
349

```

```

350 if guardarCaso
351     figureName=[nombreCaso , '_dInteracc.png'];
352     figureOut=fullfile (pathname , figureName);
353     print(gcf , figureOut , '-dpng')
354 end
355
356 case 3
357 %Problema: calcular distribución de tensiones y deformaciones
358
359 p=valEntrada{1}; %vértices del polígono de la sección
360 N=valEntrada{3}; %valor del axil
361 M=valEntrada{4}; %valor del momento
362 z_=valSalida{1}; %vector con distancias al f.n de los puntos
363 %características de la distribución de tensiones
364 sigz_=valSalida{2}; %valores de tensión de la distribución de
365 %tensiones
366 epsz_=valSalida{3}; %valores de deformación de la distribución
367 %de deformaciones
368 Ap1=valSalida{5}; %polígono del área plastificada superior
369 Ap2=valSalida{6}; %polígono del área plastificada inferior
370
371 if isnan(z_(1))
372 %En este caso , zfn=NaN, Sección agotada
373 else
374 figure
375
376 subplot(2,2,1)
377 salidaDatos.mostrar_solicitud(p,N,M)
378
379 subplot(2,2,2)
380 salidaDatos.mostrar_areasPlastificadas(p,z_,Ap1,Ap2);
381
382 subplot(2,2,3)
383 ancho=max(p(:,1))-min(p(:,1));
384 alto=max(p(:,2))-min(p(:,2));
385
386 salidaDatos.mostrar_ley_deformaciones([epsz_,z_])
387 if alto/ancho<=1.05, pbaspect([ancho, alto, 1]); end
388
389 subplot(2,2,4)
390 salidaDatos.mostrar_ley_tensiones([sigz_,z_])
391 if alto/ancho<=1.05, pbaspect([ancho, alto, 1]); end
392
393 if guardarCaso
394 figureName=[nombreCaso , '_leyTenAndDef.png'];

```

```
395     figureOut=fullfile (pathname ,figureName );
396     print ( gcf ,figureOut , '-dpng ')
397   end
398 end
399
400 otherwise
401   error ( 'No se reconoce tipo de problema .')
402 end
403
404 end
405 %
406 %
407
408
409
410 function mostrar_diagr_MC(d_MC)
411 %
412 %
413 % mostrar_diagr_MC(d_MC)
414 %
415 % Descripción función:
416 % Mostrar el diagrama Momento – Curvatura
417 %
418 % Inputs:
419 % d_MC: diagrama Momento – Curvatura
420 %       d_MC(:,1): valores curvatura
421 %       d_MC(:,2): valores momento
422 %
423 % Outputs:
424 % Muestra diagrama Momento – Curvatura
425 %
426 % Unidades:
427 % Curvatura – rad/m
428 % Momentos – kN*m
429 %
430 %
431
432 plot ([0;d_MC(:,1)],[0;d_MC(:,2)],'*-')
433 title ( 'Diagrama Momento–Curvatura ')
434 xlabel ( '\chi (rad/m) ')
435 ylabel ( 'M (kN*m) ')
436 grid on
437 end
438 %
439 %
```

```

440
441
442
443 function mostrar_diagr_interacc(p,d_int)
444 %+
445 %
446 % mostrar_diagr_interacc(d_int)
447 %
448 % Descripción función:
449 % Mostrar el diagrama Interacción Np'–Mp' con los valores del axil
450 % en valor absoluto
451 %
452 % Inputs:
453 % d_int: diagrama momento interacción
454 %         d_int(:,1): valores Np'
455 %         d_int(:,2): valores Mp'
456 %
457 % Outputs:
458 % Muestra diagrama interacción Np'–Mp'
459 %
460 % Unidades:
461 % Fuerzas – kN
462 % Momentos – kN*m
463 %
464 % Dependencias:
465 % salidaDatos.mostrar_perfil, salidaDatos.simbolo_esfuerzo
466 %
467 %+
468
469 Np_abs=abs(d_int(:,1));
470
471 ymin=min(d_int(:,2));
472 ymax=max(d_int(:,2));
473 dy=(ymax-ymin)*0.1;
474
475 xmin=min(Np_abs);
476 xmax=max(Np_abs);
477 dx=(xmax-xmin)*0.1;
478
479 subplot(6,6,[1:5,7:11,13:17,19:23,25:29,31:35])
480 plot(Np_abs,d_int(:,2),'-')
481 title('Diagrama interacción N_p-M_p')
482 xlabel('|N_p| (kN)')
483 ylabel('M_p (kN*m)')
484 hold on

```

```

485 plot ([0 ,0] ,[ymin ,ymax+dy] ,':k')
486 plot ([xmin ,xmax+dx] ,[0 ,0] ,':k')
487
488 subplot (6 ,6 ,6)
489 ancho=max(p(:,1))-min(p(:,1));
490 alto=max(p(:,2))-min(p(:,2));
491 r=max(ancho ,alto )/10;
492 salidaDatos.mostrar_perfil(p)
493 title (' ')
494 hold on
495 salidaDatos.simbolo_esfuerzo('M_positivo',[0 ,0 ,1.5*r])
496 if d_int(5,1)>0
497     salidaDatos.simbolo_esfuerzo('N_positivo',[0 ,0 ,r])
498 else
499     salidaDatos.simbolo_esfuerzo('N_negativo',[0 ,0 ,r])
500 end
501 xlim ([min(p(:,2))-r/2,max(p(:,1))+r/2])
502 axis ('off')
503
504 set (gca , 'FontSize' ,8)
505
506 end
507 %
508 %

509
510
511
512 function mostrar_diagr_interacc2(d_int)
513 %
514 %
515 % mostrar_diagr_interacc(d_int)
516 %
517 % Descripción función:
518 % Mostrar el diagrama Interacción Np'-Mp'
519 %
520 % Inputs:
521 % d_int: diagrama momento interacción
522 %         d_int(:,1): valores Np'
523 %         d_int(:,2): valores Mp'
524 %
525 % Outputs:
526 % Muestra diagrama interacción Np'-Mp'
527 %
528 % Unidades:
529 % Fuerzas - kN

```

```

530 % Momentos – kN*m
531 %
532 %
533 plot(d_int(:,1),d_int(:,2),'-')
534 title('Diagrama interacción N_p-M_p')
535 xlabel('N_p (kN)')
536 ylabel('M_p (kN*m)')
537 hold on
538
539
540 ymin=min(d_int(:,2));
541 ymax=max(d_int(:,2));
542 dy=(ymax-ymin)*0.1;
543
544 xmin=min(d_int(:,1));
545 xmax=max(d_int(:,1));
546 dx=(xmax-xmin)*0.1;
547
548 plot([0,0],[ymin,ymax+dy],':k')
549 plot([xmin,xmax+dx],[0,0],':k')
550
551 set(gca,'FontSize',8)
552
553 end
554 %
555 %
556
557
558 function mostrar_areasPlastificadas(p,z_,Ap1,Ap2)
559 %
560 %
561 % mostrar_areasPlastificadas(p,z_,Ap1,Ap2)
562 %
563 % Descripción función:
564 % Función que muestra las áreas plastificadas
565 %
566 % Inputs:
567 % p: sección de la que queremos representar sus áreas plastificadas
568 % z_: valores z_ del diagrama de tensiones(referidos a la posición de
569 % la fibra neutra)
570 % Ap1: área plastificada que queda por encima de la f.n.
571 % Ap2: área plastificada que queda por debajo de la f.n.
572 %
573 % Dependencias:
574 % salidaDatos.mostrar_perfil, salidaDatos.fill_area

```

```

575 %
576 %
577 if size(z_,1)<2, Ap1=[]; Ap2=[]; return; end
578 zmin_p=min(p(:,2));
579 ymin_p=min(p(:,1));
580
581 %Calcular zel y ze2
582 zel=z_(find(z_==0)+1);
583 ze2=z_(find(z_==0)-1);
584
585 % Calcular zfn
586 if length(z_)==2, zfn=1E16; else zfn=min(z_);end
587 if zfn>0; zfn=-zfn; else zfn=abs(zfn);end
588
589 % Ponemos (0,0) en esquina inferior izquierda
590 p(:,1)=p(:,1)-ymin_p;
591 p(:,2)=p(:,2)-zmin_p;
592
593 salidaDatos.mostrar_perfil(p)
594 hold on
595 salidaDatos.fill_area(Ap1,'y')
596 salidaDatos.fill_area(Ap2,'y')
597 z=z_+zfn;
598
599 z=unique(z);
600 z_show=[z(1),z(end),zfn];
601 if length(Ap1)~=0, z_show=[z_show,ze1+zfn]; end
602 if length(Ap2)~=0, z_show=[z_show,ze2+zfn]; end
603
604 % Ponemos cifras con 2 cifras decimales
605 for i=1:length(z_show)
606 a{i}=sprintf('%.2f',z_show(i));
607 end
608 z_show=str2double(a);
609
610 set(gca,'YTick',unique(z_show))
611 % Representar eje fibra neutra
612 xmin=min(p(:,1));
613 xmax=max(p(:,1));
614 plot([xmin,xmax],[zfn,zfn],'--')
615 dx=(xmax-xmin)*0.1;
616 text(xmax-dx,zfn,'f.n.')
617
618 title('Perfil con areas plastificadas')
619

```

```

620 grid on
621 set(gca, 'FontSize', 8)
622 hold off
623
624 end
625 %
626 %
627
628
629 function mostrar_ley_tensiones(sigma_z)
630 %
631 %
632 % mostrar_ley_tensiones(sigma_z)
633 %
634 % Descripción función:
635 %
636 % Función que muestra la distribución de tensiones
637 %
638 % Inputs:
639 % sigma_z: matriz que representa los puntos característicos de
640 % la ley de tensiones, de la forma: [sigma_i, z_i]
641 %
642 % Outputs:
643 % Diagrama de tensiones del problema
644 %
645 % Unidades:
646 % Tensiones - MPa
647 %
648 %
649 if size(sigma_z, 1) < 2, return; end
650 z_=sigma_z(:, 2);
651
652 zmin_=min(z_);
653 sigma_z(:, 2)=z_-zmin_; % Trasladamos el 0 en el extremo inferior
654
655 plot(sigma_z(:, 1), sigma_z(:, 2), 'b')
656 hold on;
657 % Ejes
658 ylabel('z (mm)')
659 ymax=max(sigma_z(:, 2));
660 ymin=min(sigma_z(:, 2));
661 plot([0, 0], [ymin, ymax], 'b')
662 xlabel('\sigma (MPa)')
663 xmax=max(sigma_z(:, 1));
664 xmin=min(sigma_z(:, 1));

```

```

665
666 dy=(ymax-ymin)*0.1;
667 if (length(z_)==2 && sigma_z(1,1)==sigma_z(2,1)) , dx=abs(sigma_z(1,1))*0.1;
668 else dx=(xmax-xmin)*0.1; end
669
670 % Eje fibra neutra
671 z_fn=sigma_z(find(sigma_z(:,1)==0),2);
672 % Si length(z_fn)==0, z_fn no cae sobre sección
673 if length(z_fn)==1
674 plot([xmax,xmin],[z_fn,z_fn],'-g')
675 text(xmax-dx,z_fn,'f.n.')
676 end
677 % Representar vectores sigma(z)
678 for i=1:length(sigma_z)
679 plot([0,sigma_z(i,1)],[sigma_z(i,2),sigma_z(i,2)],'b')
680 if sigma_z(i,1)<0
681 plot(sigma_z(i,1),sigma_z(i,2), '<b')
682 elseif sigma_z(i,1)>0
683 plot(sigma_z(i,1),sigma_z(i,2), '>b')
684 else
685 % Si es ==0 no se representa punta de flecha
686 end
687 end
688
689 % Ponemos cifras con 2 cifras decimales
690 for i=1:length(sigma_z(:,1))
691 a{i}=sprintf('%.2f',sigma_z(i,1));
692 end
693 sigma_z(:,1)=str2double(a);
694 a={};
695 for i=1:length(sigma_z(:,2))
696 a{i}=sprintf('%.2f',sigma_z(i,2));
697 end
698 sigma_z(:,2)=str2double(a);
699
700 %% Casos en los ue la f.n. cae fuera de la sección
701 if xmin<0 && xmax<0, xmax=0; end
702 if xmin>0 && xmax>0, xmin=0; end
703 %%
704 if xmin~=xmax, xlim([xmin-dx,xmax+dx]), end
705 if ymin~=ymax, ylim([ymin-dy,ymax+dy]), end
706
707 set(gca, 'XTick',unique(sigma_z(:,1)))

```

```

709 set(gca , 'YTick' ,unique(sigma_z(:,2)))
710 title('Diagrama de tensiones')
711 grid on
712
713 set(gca , 'FontSize' ,8)
714 end
715 %
716 %
717
718
719 function mostrar_ley_deformaciones(epsilon_z)
720 %
721 %
722 % mostrar_ley_deformaciones(epsilon_z)
723 %
724 % Descripción función:
725 %
726 % Función que muestra el diagrama de deformaciones
727 %
728 % Inputs:
729 % epsilon_z: matriz que representa los puntos característicos de
730 % la ley de deformaciones , de la forma: [epsilon_i ,z_i]
731 %
732 % Outputs:
733 % Diagrama de deformaciones del problema
734 %
735 % Unidades:
736 % z - mm
737 %
738 %
739 if size(epsilon_z,1)<2, return; end
740 z_=epsilon_z(:,2);
741
742 if isnan(epsilon_z(1,1))
743 plot([-1,1],[0,0], 'm')
744 title('Diagrama Deformaciones')
745 return
746 end
747 zmin_=min(z_);
748 epsilon_z(:,2)=z_-zmin_; % Trasladamos el 0 en el extremo inferior
749
750 plot(epsilon_z(:,1),epsilon_z(:,2), 'm')
751 hold on;
752 % Ejes
753 ylabel('z (mm)')

```

```

754     ymax=max(epsilon_z(:,2));
755     ymin=min(epsilon_z(:,2));
756     plot([0,0],[ymin,ymax], 'm')
757     xlabel('\epsilon')
758     xmax=max(epsilon_z(:,1));
759     xmin=min(epsilon_z(:,1));
760
761
762     dy=(ymax-ymin)*0.1;
763     if (length(z_)==2 && epsilon_z(1,1)==epsilon_z(2,1)), dx=abs(epsilon_z(1,1))
764         *0.1; else dx=(xmax-xmin)*0.1; end
765
766     % Eje fibra neutra
767     z_fn=epsilon_z(find(epsilon_z(:,1)==0),2);
768     % Si length(z_fn)==0, z_fn no cae sobre sección
769     if length(z_fn)==1
770         plot([xmax,xmin],[z_fn,z_fn], '—g')
771         text(xmax-dx,z_fn,'f.n.')
772         epsilon_z=[epsilon_z(1,:);[0,z_fn];epsilon_z(end,:)];
773     else
774         % si f.n. no cae sobre la sección
775         epsilon_z=[epsilon_z(1,:);epsilon_z(end,:)];
776     end
777     % Representar vectores epsilon(z)
778     for i=1:length(epsilon_z)
779         plot([0,epsilon_z(i,1)],[epsilon_z(i,2),epsilon_z(i,2)], 'm')
780         if epsilon_z(i,1)<
781             plot(epsilon_z(i,1),epsilon_z(i,2), '<m')
782         elseif epsilon_z(i,1)>
783             plot(epsilon_z(i,1),epsilon_z(i,2), '>m')
784         else
785             % Si es ==0 no se representa punta de flecha
786         end
787     end
788     %% Casos en los que la f.n. cae fuera de la sección
789     if xmin<0 && xmax<0, xmax=0; end
790     if xmin>0 && xmax>0, xmin=0; end
791     %%
792     if xmin~=xmax, xlim([xmin-dx,xmax+dx]), end
793     if ymin~=ymax, ylim([ymin-dy,ymax+dy]), end
794
795     if ~isnan(epsilon_z(1))
796         set(gca, 'XTick', unique(epsilon_z(:,1)))
797

```

```

798 end
799 set(gca, 'YTick', unique(epsilon_z(:,2)))
800 title('Diagrama de deformaciones')
801 grid on
802
803 set(gca, 'FontSize', 8)
804 end
805 %
806 %-----+
807
808
809
810 function fill_area(A, color)
811 %-----+
812 %
813 % fill_area(A, color)
814 %
815 % Descripción función:
816 % Función que muestra un área coloreada
817 %
818 % Inputs:
819 % A: polígono que encierra el área que queremos rellenar (puede
820 % ser simple o compuesto)
821 % color: color del área
822 %
823 % Outputs:
824 % Muestra área coloreada
825 %
826 %-----+
827 if iscell(A)
828 for i=1:length(A)
829 if length(A{i})==0
830 % no hay nada que mostrar
831 else
832 fill(A{i}(:,1), A{i}(:,2), color); hold on
833 end
834 end
835 else
836 if length(A)==0
837 % No hay nada que mostrar
838 else
839 fill(A(:,1), A(:,2), color)
840 end
841 end
842 end

```

```
843 %  
844 %%  
845  
846  
847  
848 function mostrar_perfil(p)  
849 %%  
850 %%  
851 % mostrar_perfil(p)  
852 %%  
853 % Descripción función:  
854 % Función que muestra el perfil dados sus puntos  
855 %%  
856 % Inputs:  
857 % p: conjunto vértices que determinan el polígono que encierra a la  
858 % sección. Siendo el vector fila i: [yi ,zi]  
859 %%  
860 % Outputs:  
861 % Representación del perfil  
862 %%  
863 % Unidades:  
864 % Distancias - mm  
865 %%  
866 %%  
867  
868 fill (p(:,1),p(:,2), 'w')  
869 title ('Perfil')  
870  
871 xmin=min(p(:,1));  
872 xmax=max(p(:,1));  
873 ymin=min(p(:,2));  
874 ymax=max(p(:,2));  
875  
876 axis('equal')  
877  
878 dx=(xmax-xmin)*0.1;  
879 dy=(ymax-ymin)*0.1;  
880  
881 xlim ([xmin-dx,xmax+dx]);  
882 ylim ([ymin-dy,ymax+dy]);  
883  
884 xlabel ('y (mm)')  
885 ylabel ('z (mm)')  
886  
887 set (gca, 'FontSize',8)
```

```

888 end
889 %
890 %-----+
891
892
893 function simbolo=simbolo_esfuerzo(esfuerzo ,valores)
894 %-----+
895 %
896 % simbolo=simbolo_esfuerzo(esfuerzo ,valores)
897 %
898 % Descripción función:
899 %     Función que genera el símbolo de un esfuerzo de la solicitud
900 %
901 % Inputs:
902 %     esfuerzo: (string) que puede ser: <N_positivo: axil de tracción,
903 %     N_negativo: axil de compresión, M_positivo: M>0,
904 %     M_negativo: M<0 >
905 %     valores: array
906 %         valores(1): Cx (coordenada x posición símbolo)
907 %         valores(2): Cy (coordenada y posición símbolo)
908 %         valores(3): tamaño del símbolo
909 %
910 % Outputs:
911 %     símbolo(plot)
912 %
913 %-----+
914 switch esfuerzo
915
916 case 'N_positivo'
917     Cx=valores(1);
918     Cy=valores(2);
919     r=valores(3);
920     tita=linspace(0,2*pi,50);
921     p=([r*cos(tita)+Cx;r*sin(tita)+Cy])';
922     fill(p(:,1),p(:,2),'k')
923
924 case 'N_negativo'
925     Cx=valores(1);
926     Cy=valores(2);
927     r=valores(3);
928     tita=linspace(0,2*pi,50);
929     p=([r*cos(tita)+Cx;r*sin(tita)+Cy])';
930     fill(p(:,1),p(:,2),'w')
931     hold on
932     plot([Cx+r*cos(pi/4),Cx+r*cos(5*pi/4)],[Cy+r*sin(pi/4),Cy+r*sin(5*pi/4)],'
```

```

933         k')
934     plot ([Cx+r*cos (3*pi/4) ,Cx+r*cos (7*pi/4) ] ,[Cy+r*sin (3*pi/4) ,Cy+r*sin (7*pi
935     /4) ] , 'k')

936
937
938
939
940
941
942
943
944
945
946
947
948
949
950
951
952
953
954
955
956
957
958
959
960
961
962
963
964
965
966
967
968
969
970

```

%

```

    case 'M_positivo'
        Cx=valores(1);
        Cy=valores(2);
        h=valores(3);
        tita=20*pi/180;

        p=[[Cx-4*h,Cy];[Cx+h-4*h,Cy-h*tan(tita)];[Cx+h-4*h,Cy];[2*h-4*h+Cx,Cy-h*
              tan(tita)];...
              [Cx+2*h-4*h,Cy+h*tan(tita)];[Cx+h-4*h,Cy];[Cx+h-4*h,Cy+h*tan(tita)];[Cx
              -4*h,Cy]];

        plot ([Cx-4*h,Cx],[Cy,Cy], 'k')
        hold on
        fill (p(:,1),p(:,2), 'k')

    case 'M_negativo'
        Cx=valores(1);
        Cy=valores(2);
        h=valores(3);
        tita=20*pi/180;
        p=[[Cx+4*h,Cy];[Cx-h+4*h,Cy-h*tan(tita)];[Cx-h+4*h,Cy];[-2*h+4*h+Cx,Cy-h*
              tan(tita)];...
              [Cx-2*h+4*h,Cy+h*tan(tita)];[Cx-h+4*h,Cy];[Cx-h+4*h,Cy+h*tan(tita)];[Cx
              +4*h,Cy]];

        plot ([Cx,Cx+4*h],[Cy,Cy], 'k')
        hold on
        fill (p(:,1),p(:,2), 'k')

    otherwise
        error('No se reconoce tipo de esfuerzo')
    end
end
%
```

---

```

function generar_informeResultados(tipo_probl,datEntrada,valSalida,guardarCaso,
```

```

    nombreCaso)

972 %+
973 % Función que genera el informe de resultados en función del
974 % tipo de problema, los valores de entrada y resultados
975 %+
976 switch tipo_probl
977
978 case 1
979
980     tipo_secc=datEntrada{1};
981     dim=datEntrada{2};
982     tipo_mat=datEntrada{3};
983     valores=datEntrada{4};

984
985     signoM='p'; % por defecto , M>0

986
987     Me=valSalida{1};
988     chie=valSalida{2};
989     Mp=valSalida{3};
990     ff=valSalida{4};
991     signo_zp=valSalida{5};
992     condic=valSalida{6};
993     d_MC=valSalida{7};

994
995 if guardarCaso
996     fileName=[nombreCaso, '_dMC.txt'];
997     pathname=fileparts('Output_Files/');
998     fileOut=fullfile(pathname,fileName);
999     file=fopen(fileOut,'w');
1000     salidaDatos.informe_problemaMC(tipo_secc,dim,tipo_mat,valores,signoM,Me,
1001         chie,Mp,ff,d_MC,signo_zp,condic,file)
1002     fclose(file);
1003 end
1004
1005 case 2
1006
1007     tipo_secc=datEntrada{1};
1008     dim=datEntrada{2};
1009     tipo_mat=datEntrada{3};
1010     valores=datEntrada{4};
1011     signoN=datEntrada{5};
1012     signoM='p'; % por defecto , M>0
1013

```

```

1014     d_int=valSalida{1};
1015     Np=valSalida{2};
1016     Mp=valSalida{3};
1017
1018     if guardarCaso
1019         fileName=[nombreCaso, '_dinteracc.txt'];
1020         pathname=fileparts('Output_Files/');
1021         fileOut=fullfile(pathname,fileName);
1022         file=fopen(fileOut,'w');
1023         salidaDatos.informe_diagramaInteraccion(tipo_secc,dim, tipo_mat, valores,
1024             signoN,signoM,Np,Mp,d_int,file)
1025         fclose(file);
1026     end
1027
1028     salidaDatos.informe_diagramaInteraccion(tipo_secc,dim, tipo_mat, valores,
1029             signoN,signoM,Np,Mp,d_int,1)
1030
1031
1032     case 3
1033
1034         tipo_secc=datEntrada{1};
1035         dim=datEntrada{2};
1036         tipo_mat=datEntrada{3};
1037         valores=datEntrada{4};
1038         N=datEntrada{5};
1039         M=datEntrada{6};
1040
1041         if guardarCaso
1042             fileName=[nombreCaso, '_leyTensiones.txt'];
1043             pathname=fileparts('Output_Files/');
1044             fileOut=fullfile(pathname,fileName);
1045             file=fopen(fileOut,'w');
1046             salidaDatos.informe_leyTensiones(tipo_secc, dim, tipo_mat, valores, N, M, z_,
1047                 sigz_, chi, file)
1048             fclose(file);
1049         end
1050         salidaDatos.informe_leyTensiones(tipo_secc, dim, tipo_mat, valores, N, M, z_,
1051             sigz_, chi, 1)
1052
1053     otherwise
1054         error('No se reconoce tipo de problema.')

```

```

1055
1056     end
1057
1058 end
1059 %
1060 %
1061
1062
1063 function informe_problemaMC( tipo_secc ,dim ,tipo_mat ,valores ,signoM ,Me, chie ,Mp, ff ,
1064 d_MC, signo_zp ,condic ,f )
1065 %
1066 %   Generar el informe del problema de calcular el diagrama
1067 % momento - curvatura
1068 %
1069 % Entrada de valores
1070 fprintf(f , '\n +----- Cálculo Diagrama Momento - Curvatura -----+')
1071 fprintf(f , '\n *** VALORES ENTRADA ***')
1072 fprintf(f , '\n distancias(mm) , tensiones(MPa) , E(Mpa)')
1073 fprintf(f , '\nTipo de sección: %',tipo_secc)
1074 dimNames=salidaDatos.dimSeccNames(tipo_secc);
1075 valNames=salidaDatos.valNamesMaterial(tipo_mat);
1076 fprintf(f , '\nDimensiones sección:')
1077 for i=1:length(dim)
1078     fprintf(f , '\n %: %.2f mm',dimNames{i},dim(i))
1079 end
1080
1081 fprintf(f , '\nTipo de Material: %',tipo_mat)
1082 fprintf(f , '\nValores del material:')
1083 fprintf(f , '\nTensiones (MPa)\n')
1084 for i=1:length(valores)
1085     fprintf(f , '\n %: %.6f ',valNames{i},valores(i))
1086 end
1087
1088 % Presentar valores característicos por consola
1089 if condic==1
1090     cara='superior';
1091     if signo_zp=='c' , tipo_zp='compresión';else , tipo_zp='tracción';end
1092 else
1093     cara='inferior';
1094     if signo_zp=='c' , tipo_zp='compresión';else , tipo_zp='tracción';end
1095 end
1096
1097 fprintf(f , '\n *** RESULTADOS *** ')
1098 fprintf(f , '\nMomento elástico: %.4f kN*m',Me)
1099 fprintf(f , '\nCurvatura(M=Me): %.6f rad/m',chie)

```

```

1099 fprintf(f , '\nMomento plástico: %.4f kN*m' ,Mp)
1100 fprintf(f , '\nFactor de forma: %f' ,ff)

1101

1102 printf([ '\nProfundidad de plastificación(zp) de % ', ...
1103             ' respecto cara %\r\n'] ,tipo_zp ,cara)
1104 printf(f , '\n Diagrama Momento-Curvatura')
1105 printf(f , '\n%12s    %12s    %12s\r\n' , 'zp(mm)' , ...
1106             'chi (rad/m)' , 'M(kN*m)')
1107 d_MC=[d_MC(:,3) ,d_MC(:,1) ,d_MC(:,2) ]; %seleccionamos filas zp , chi ,M
1108 for i=1:length(d_MC)
1109     printf(f , '%12.4f    %12.4f    %12.4f \r\n' ,d_MC(i ,1) ,d_MC(i ,2) ,d_MC(i ,3) )
1110 end

1111

1112 end
1113 %
1114 %=====+
1115
1116
1117
1118

1119 function informe_diagramaInteraccion(tipo_secc ,dim ,tipo_mat ,valores ,signoN ,
1120 signoM ,Np,Mp,d_int ,f)
1121 % Generar el informe del problema de calcular el diagrama
1122 % interacción axil - momento
1123 %=====+
1124 % Entrada de valores
1125 fprintf(f , '\n +----- Cálculo Diagrama Interacción N p-M p -----+')
1126 fprintf(f , '\n *** VALORES ENTRADA ***')
1127 fprintf(f , '\n distancias(mm) , tensiones(MPa) , E(Mpa) ')
1128 fprintf(f , '\nTipo de sección: %' ,tipo_secc)
1129 dimNames=salidaDatos.dimSeccNames(tipo_secc);
1130 valNames=salidaDatos.valNamesMaterial(tipo_mat);
1131 fprintf(f , '\nDimensiones sección:\r\n')
1132 for i=1:length(dim)
1133     fprintf(f , ' %: %.2f mm\r\n' ,dimNames{i} ,dim(i))
1134 end

1135

1136 fprintf(f , '\nTipo de Material: %' ,tipo_mat)
1137 fprintf(f , '\nValores del material: ')
1138 fprintf(f , '\nTensiones (MPa)\r\n')
1139 for i=1:length(valores)
1140     fprintf(f , ' %: %.6f \r\n' ,valNames{i} ,valores(i))
1141 end
1142 fprintf(f , '\nSigno del axil: %' ,signoN)

```

```

1143     fprintf(f, '\nSigno del momento: %', signoM)
1144     fprintf(f, '\n *** RESULTADOS *** ')
1145     fprintf(f, '\nAxil plástico (Mp=0): %.4f kN', Mp)
1146     fprintf(f, '\nMomento plástico (Np=0): %.4f kN*m', Np)
1147
1148     fprintf(f, '\nDiagrama Interacción N p-M p')
1149     fprintf(f, '\n %12s %12s %12s\r\n', 'zfnp(mm)', 'N p(kN)', 'M p(kN*m)')
1150     for i=1:length(d_int)
1151         fprintf(f, '%12.4f %12.4f %12.4f\r\n', d_int(i,3), d_int(i,1), d_int(i,2))
1152     end
1153
1154 end
1155 %
1156 %
1157
1158
1159
1160 function informe_leyTensiones(tipo_secc, dim, tipo_mat, valores, N, M, z_, sigz_, chi, f)
1161 %
1162 % Generar el informe del problema de calcular la distribución de
1163 % tensiones y deformaciones
1164 %
1165
1166     fprintf(f, '\n +---- Cálculo Ley de Tensiones ----+')
1167     fprintf(f, '\n *** VALORES ENTRADA *** ')
1168     fprintf(f, '\n distancias(mm), tensiones(MPa), E(Mpa) ')
1169     fprintf(f, '\nTipo de sección: %', tipo_secc)
1170     dimNames=salidaDatos.dimSeccNames(tipo_secc);
1171     valNames=salidaDatos.valNamesMaterial(tipo_mat);
1172     fprintf(f, '\nDimensiones sección:\n')
1173     for i=1:length(dim)
1174         fprintf(f, ' %: %.2f\r\n', dimNames{i}, dim(i))
1175     end
1176
1177     fprintf(f, '\nTipo de Material: %', tipo_mat)
1178     fprintf(f, '\nValores del material: ')
1179     fprintf(f, '\nTensiones (MPa)\n')
1180     for i=1:length(valores)
1181         fprintf(f, ' %: %.6f\r\n', valNames{i}, valores(i))
1182     end
1183     fprintf(f, '\nSolicitud de la sección')
1184     fprintf(f, '\nAxil: %.2f kN*m', N)
1185     fprintf(f, '\nMomento: %.2f kN*m', M)
1186     fprintf(f, '\n *** RESULTADOS *** ')
1187     fprintf(f, '\nLey de Tensiones\n')

```

```

1188 fprintf(f, '%12s %12s \r\n', 'z(mm)', ...
1189           'sigma(MPa)')
1190 zmin_=min(z_);
1191 z=z_-zmin_; % Ponemos el 0 en la fibra inferior
1192 %sigz=[z,sigz_];
1193 for i=1:length(z)
1194     fprintf(f, '%12.4f %12.4f\r\n',z(i),sigz_(i))
1195 end
1196 fprintf(f, '\n Curvatura= %f rad/m',chi)
1197 end
1198 %
1199 %
1200
1201
1202
1203 function dimNames=dimSeccNames(tipo)
1204 %
1205 % Dado un tipo de sección, la función genera un cell que contiene los
1206 % nombres de las dimensiones características de dicha sección
1207 %
1208 switch tipo
1209 case 'R'
1210     dimNames={'b','h'};
1211 case 'C'
1212     dimNames={'r'};
1213 case 'I'
1214     dimNames={'h','bf','tf','tw'};
1215 case 'H'
1216     dimNames={'hf','b','tf','tw'};
1217 case 'T'
1218     dimNames={'h','bf','tf','tw'};
1219 case 'Inb'
1220     dimNames={'h','bf1','tf1','tw','bf2','tf2'};
1221 case 'Rh'
1222     dimNames={'b','h','e'};
1223 case 'Ch'
1224     dimNames={'r','e'};
1225 case 'IPN'
1226     dimNames={'h','b','r1','tf','r2','d'};
1227 case 'IPE'
1228     dimNames={'h','bf','tw','tf','r','d'};
1229 case 'Rombo'
1230     dimNames={'dv','dh'};
1231 case 'cajon'
1232     dimNames={'b','b1','tf1','hw','tw','tf2'};

```

```

1233     otherwise
1234         error( 'No existe ese tipo de sección.' )
1235     end
1236
1237 end
1238 %
1239 %

1240
1241
1242 function valNames=valNamesMaterial(tipo_mat)
1243 %
1244 %   Dado un tipo de material, la función genera un cell que contiene los
1245 %   nombres de las propiedades características del material
1246 %
1247 switch tipo_mat
1248 case 'G1'
1249     valNames={'sig_p(MPa)', 'E(MPa)'};
1250 case 'G2'
1251     valNames={'E(MPa)', 'sig_pc(Mpa)', 'sig_pt(MPa)'};
1252 case 'G3'
1253     valNames={'eps_e', 'sig_e(MPa)', 'eps_p1', 'sig_p1(MPa)', 'eps_p2', 'sig_p2(MPa'
1254         )'};
1255 otherwise
1256     error('No se reconoce ese tipo de material.')
1257 end
1258
1259 %
1260 %

1261
1262
1263 end
1264 end

```

### B.3. *logic/*

Módulo de análisis.

#### B.3.1. *main\_logic()*

```

1 function [valEntrada, valSalida]=main_logic(tipoProblema, datEntrada)
2
3 %% Crear modelo geométrico
4 % Siendo:
5 % datEntrada{1}: tipo de sección (T, I, etc)

```

```

6   % datEntrada{2}: dimensiones características de la sección
7   valEntrada{1}=generacion_Modelo.verticesPoly(datEntrada{1},datEntrada{2});
8
9   %% Crear modelo material
10  % Siendo:
11  %   datEntrada{3}: tipo de modelo del material
12  %   datEntrada{4}: valores característicos del modelo de material
13  valEntrada{2}=generacion_Modelo.comportMaterial(datEntrada{3},datEntrada{4});
14
15  %% Acondicionar los datos de entrada para el Análisis
16  % Cambiar sistema de coorderadas (referir puntos al c.d.g)
17  % Cambiar sistema de unidades : tensiones (MPa → kPa),
18  % distancias (m → mm)
19  valEntrada=acondicionamientoDatos.datosEntrada(tipoProblema ,valEntrada);
20
21  switch tipoProblema
22
23  case 1
24      % Problema: Calcular Diagrama Momento – Curvatura
25
26      p=valEntrada{1}; % vértices del polígono de la sección
27      ley_mat=valEntrada{2}; % ley constitiva del material
28      signoM='p'; % por defecto , M>0
29
30      %Cálculo de valores característicos de la curva (M-Chi)
31      N=0; % por defecto , flexión pura
32      [Mp, zfnp ,zmax ,signo_zp ,condic]=problFlexion.N_Mp(p,ley_mat ,N,signoM);
33      [Me,~, chie]=problFlexion.N_Me(p,ley_mat ,N,signoM);
34      ff=Mp/Me;
35
36      %Cálculo del diagrama M-Chi
37      d_MC=problFlexion.N_diagramaMC(p,ley_mat ,0 ,signoM); %N=0
38
39      % Especificar valores de salida
40      valSalida{1}=Me; % momento elástico
41      valSalida{2}=chie; % curvatura correspondiente al momento elástico
42      valSalida{3}=Mp; % momento plástico
43      valSalida{4}=ff; % factor de forma
44      valSalida{5}=signo_zp; % carácter de la profundidad de plastificación
45          % de referencia (compresión/tracción)
46      valSalida{6}=condic; % desde qué extremo (superior/inferior) se mide
47          % la profundidad de plastificación de referencia
48      valSalida{7}=d_MC; % diagrama momento – curvatura
49
50      % Cambio de unidades a la salida

```

```

51 [ valEntrada , valSalida]=acondicionamientoDatos . datosSalida ( tipoProblema ,
52   valEntrada , valSalida );
53
54 case 2
55   % Problema: Calcular el Diagrama de Interacción N-M de la sección
56
57   p=valEntrada{1}; % vértices del polígono de la sección
58   ley_mat=valEntrada{2}; % ley constitutiva del material
59   signoN=datEntrada{5}; % indica si el axil del diagrama es de
59     % tracción (N>0) o compresión(N<0)
60
61   valEntrada{3}=signoN;
62
63   signoM='p'; % por defecto , se establece M>0
64
65   %% Calcular diagrama de interacción N'p-M'p, axil y momento plástico (Np,Mp)
66   [ d_int ,Np,Mp]=problFlexion . diagrama_interaccionNM ( p ,ley_mat ,signoN ,signoM );
67
68   % Especificar valores de salida
69   valSalida{1}=d_int; % diagrama de interacción
70   valSalida{2}=Np; % axil de agotamiento (axil puro)
71   valSalida{3}=Mp; % momento de agotamiento (flexión pura)
72
73   % Cambio de unidades a la salida
74   [ valEntrada , valSalida]=acondicionamientoDatos . datosSalida ( tipoProblema ,
75     valEntrada , valSalida );
76
77 case 3
78   % Problema: Calcular distribución de tensiones y deformaciones
79
80   p=valEntrada{1}; % vértices del polígono de la sección
81   ley_mat=valEntrada{2}; % ley constitutiva del material
82   N=datEntrada{5}; % valor del axil
83   M=datEntrada{6}; % valor del momento
84
85   valEntrada{3}=N;
86   valEntrada{4}=M;
87
88   % Calcular posición de la fibra neutra y curvatura (parámetros que
89   % caracterizan la ley de deformaciones)
90   [ zfn ,chi]=problFlexion . NAndM_zfnAndChi ( p ,ley_mat ,N,M );
91
92   %Cálculo del diagrama de tensiones
93   if isnan (zfn)
93     % Caso de sección fuera de superficie de interacción

```

```

94     z_=NaN;
95     epsz_=NaN;
96     sigz_=NaN;
97 elseif zfn>=1E16
98     [z_, epsz_ , sigz_]=problFlexion . EpszAndSigz_AxilPuro(p , ley_mat ,N) ;
99 else
100    [z_ , epsz_ , sigz_]=problFlexion . zfnAndChi_EpszAndSigz(p , ley_mat , zfn , chi) ;
101 end
102
103 % Calcular superficies de plastificación
104 [Ap1,Ap2]=problFlexion . calcular_areasPlastificadas(p,z_) ;
105
106 % Especificar valores de salida
107 valSalida{1}=z_; % distancias medidas respecto posición de f.n.
108 % de los puntos característicos de la distribución de tensiones
109 valSalida{2}=sigz_ ; % valores de tensión de la distribución de
110 % tensiones
111 valSalida{3}=epsz_ ; % valores de deformación de la distribución
112 % de deformaciones
113 valSalida{4}=chi; % valor de la curvatura
114 valSalida{5}=Ap1; % polígono del área plastificada superior
115 valSalida{6}=Ap2; % polígono del área plastificada inferior
116
117 %Cambio de unidades a la salida
118 [valEntrada , valSalida]=acondicionamientoDatos . datosSalida(tipoProblema ,
119 valEntrada , valSalida);
120 otherwise
121     error( 'Tipo de problema no reconocido.' )
122 end
123 end

```

### B.3.2. *generacion\_Modelo*

```

1 classdef generacion_Modelo
2 methods( Static )
3
4 %*****%
5 %%
6 % generacion_Modelo: módulo que recoge las funciones para la %
7 % generación del modelo %
8 %
9 % verticesPoly(): función para la generación de la geometría %
10 % comportMaterial(): función para generar la ley de constitutiva %
11 % del material %

```

```

12 %
13 %*****
14 %
15 %
16 function ley_mat=comportMaterial(tipo ,valores)
17 %
18 %
19 % ley_mat=comportMaterial(tipo ,valores)
20 %
21 % Descripción función:
22 % Generación de la ley constitutiva del material a partir del tipo
23 % de modelo y sus valores característicos del modelo
24 %
25 % Inputs:
26 % tipo: tipo de modelo de material
27 % <'G1' | 'G2' | 'G3' | 'G4'>
28 % valores: valores caracteristicos del modelo material(es función
29 % del tipo)
30 %
31 % Outputs:
32 % ley_mat: ley constitutiva del material. Vector fila i , [eps_i,sig_i]
33 %
34 %
35
36 switch tipo
37
38 case 'G1'
39 %G1: elástico – material perfectamente plástico con igual
40 %comportamiento a tracción que a compresión
41 sig_p=valores(1); %tensión en el límite de fluencia
42 E=valores(2); %módulo de Young
43
44 e_inf=100; %valor suficientemente grande
45 e_p=sig_p/E; %deformación unitaria en el límite elástico
46 ley_mat=[[-e_inf,-sig_p];[-e_p,-sig_p];[0,0];[e_p,sig_p];[e_inf,sig_p]];
47
48 case 'G2'
49 %G2: material elástico – perfectamente plástico con diferente
50 %comportamiento a tracción que compresión
51 E=valores(1); %módulo de Young
52 sig_pc=valores(2); %tensión del límite elástico a tracción
53 sig_pt=valores(3); %tensión del límite elástico a compresión
54
55 e_inf=100; %valor lo suficientemente grande
56 e_pt=sig_pt/E; %deformación unitaria en el límite elástico a tracc.

```

```

57     e_pc=sig_pc/E; % deformación unitaria en el límite elástico a compr.
58     ley_mat=[[-e_inf,sig_pc];[e_pc,sig_pc];[0,0];...
59             [e_pt,sig_pt];[e_inf,sig_pt]];
60
61 case 'G3'
62 %G3: material con endurecimiento con igual comportamiento a
63 %tracción que a compresión
64 e_inf=100; %valor lo suficientemente grande
65
66     eps_e=valores(1); %def. unitaria en el límite elástico
67     sig_e=valores(2); %tensión en el límite elástico
68     eps_p1=valores(3); %def. unitaria en el primer límite de fluencia
69     sig_p1=valores(4); %tensión en el primer límite de fluencia
70     eps_p2=valores(5); %def. unitaria en el segundo límite de fluencia
71     sig_p2=valores(6); %tensión en el 2ndo límite de fluencia
72
73     eps_inf=100;
74     ley_mat=[[-e_inf,-sig_p2];[-eps_p2,-sig_p2];[-eps_p1,-sig_p1];...
75             [-eps_e,-sig_e];[0,0];[eps_e,sig_e];[eps_p1,sig_p1];...
76             [eps_p2,sig_p2];[eps_inf,sig_p2]];
77
78 case 'G4'
79 %G4: material con endurecimiento con diferente comportamiento a
80 %tracción que a compresión (caso más general)
81 e_inf=100; %valor lo suficientemente grande
82
83 E=valores(1);
84 sig_ec=valores(2);
85 eps_p1c=valores(3);
86 sig_p1c=valores(4);
87 eps_p2c=valores(5);
88 sig_p2c=valores(6);
89 sig_et=valores(7);
90 eps_p1t=valores(8);
91 sig_p1t=valores(9);
92 eps_p2t=valores(10);
93 sig_p2t=valores(11);
94
95     eps_ec=sig_ec/E;
96     eps_et=sig_et/E;
97
98     ley_mat=[[-e_inf,sig_p2c];[eps_p2c,sig_p2c];[eps_p1c,sig_p1c];...
99             [eps_ec,sig_ec];[0,0];[eps_et,sig_et];[eps_p1t,sig_p1t];...
100            [eps_p2t,sig_p2t];[e_inf,sig_p2t]];
101 otherwise

```

```

102     error(['Por favor , introduza un valor de material' , ...
103           ' adecuado <G1 | G2 | G3 | G4>'])
104 end
105 end
106 %=====
107
108
109 function ptos=verticesPoly(tipo,dim)
110 %+
111 %
112 % ptos=verticesPoly(tipo,dim)
113 %
114 % Descripción función:
115 %   Función que determina los puntos de una sección indicando el tipo y
116 % sus dimensiones
117 %
118 % Inputs:
119 %   tipo: tipo de dimensión
120 %         'R': sección rectangular
121 %         'C': sección circular
122 %         'I': sección doble T
123 %         'T': sección T
124 %         'Inb': sección I no bisimétrica
125 %         'Rh': sección rectangular con hueco
126 %         'Ch': sección tubular
127 %
128 %   dim: dimensiones de la sección(mm)
129 %       Sección R: [b,h] (b: base , h: altura)
130 %       Sección C: [r] (r: radio)
131 %       Sección I: [h,bf,tf,tw] (h: altura total , bf: ancho ala ,
132 %                               tf: espesor ala , tw: espesor alma)
133 %       Sección T: [h,bf,tf,tw] (h: altura total , bf: ancho ala ,
134 %                               tf: espesor ala , tw: espesor alma)
135 %       Sección Inb: [h,bf1,tf1,tw,bf2,tf2] (h:altura total ,
136 %                                         bf1:ancho ala superior , tf1: espesor ala superior ,
137 %                                         tw: espesor alma , bf2: ancho ala inferior ,
138 %                                         tf2: espesor ala inferior)
139 %       Sección Rh: [b,h,e] (b:base , h: altura , e:espesor)
140 %       Sección Ch: [r,e] (r:radio , e: espesor)
141 %
142 % Dependencias:
143 %   Ch_ptos.m, Inb_ptos.m, I_ptos.m,Rh_ptos.m, T_ptos.m, C_ptos.m,
144 %   IPE_ptos.m, Rombo_ptos.m, H_ptos.m, IPN_ptos.m, R_ptos.m
145 %
146 %=====

```

```

147   switch tipo
148     case 'R'
149       b=dim(1); % base
150       h=dim(2); % altura
151       ptos=[[0,0];[b,0];[b,h];[0,h]];
152
153     case 'I'
154       h=dim(1); % altura total del perfil
155       bf=dim(2); % ancho alas
156       tf=dim(3); % espesor alas
157       tw=dim(4); % espesor alma
158       ptos=[[0,0];[bf,0];[bf,tf];[(bf+tw)/2,tf];[(bf+tw)/2,h-tf];...
159           [bf,h-tf];[bf,h];[0,h];[0,h-tf];[(bf-tw)/2,h-tf];...
160           [(bf-tw)/2,tf];[0,tf]];
161
162     case 'C'
163       r=dim(1); % radio
164       n=100; %por defecto num. ptos n=100;
165       tita=linspace(3*pi/2,2*pi+3*pi/2,n);
166       ptos=(r*(cos(tita)+1);r*(sin(tita)+1))';
167
168     case 'T'
169       h=dim(1); % altura total
170       bf=dim(2); % ancho alas
171       tf=dim(3); % espesor alas
172       tw=dim(4); % espesor alma
173       hw=h-tf; %Var. auxiliar (altura alma)
174       ptos=[[(bf-tw)/2,0];[(bf+tw)/2,0];[(bf+tw)/2,hw];[bf,hw];[bf,h];[0,h];...
175           [0,hw];[(bf-tw)/2,hw]];
176
177     case 'Inb'
178       h=dim(1); % Altura total perfil
179       bf1=dim(2); % Ancho ala superior
180       tf1=dim(3); % Espesor ala superior
181       tw=dim(4); % Espesor alma
182       bf2=dim(5); % Ancho ala inferior
183       tf2=dim(6); % Espesor ala inferior
184       hw=h-tf1-tf2; %Var. auxiliar (altura alma)
185       bmax=max(bf1,bf2); %Var. auxiliar (ancho máx. de las alas)
186       ptos=[[(bmax-bf2)/2,0];[(bmax+bf2)/2,0];[(bmax+bf2)/2,tf2];...
187           [(bmax+tw)/2,tf2];[(bmax+tw)/2,h-tf1];[(bmax+bf1)/2,h-tf1];...
188           [(bmax+bf1)/2,h];[(bmax-bf1)/2,h];[(bmax-bf1)/2,h-tf1];...
189           [(bmax-tw)/2,h-tf1];[(bmax-tw)/2,tf2];[(bmax-bf2)/2,tf2]];
190
191     case 'Ch'
192       R=dim(1); % radio exterior

```

```

192 espesor=dim(2); % espesor
193 r=R-espesor; % radio interior
194 n=100; % por defecto num. ptos n=100
195 % lím. sup. de tita~lim.inf. de tita
196 tita=linspace(0+6*pi/4,6*pi/4+2*pi,n);
197 ptos_r=[r*cos(tita)+R;r*sin(tita)+R] ';
198 ptos_r=ptos_r(length(ptos_r):-1:1,:); % .a.r. ya que es un agujero
199 ptos_R=[[R*(cos(tita)+1);R*(sin(tita)+1)]];
200 ptos=[ptos_R;ptos_r];

201
202 case 'Rh'
203 b=dim(1); % ancho (exterior)
204 h=dim(2); % canto (exterior)
205 e=dim(3); % espesor
206 p_ext=[[e,0];[b,0];[b,h];[0,h];[0,0];[e,0]];
207 p_int=[[e,e];[e,h-e];[b-e,h-e];[b-e,e];[e,e]];
208 ptos=[p_ext;p_int];

209
210 case 'H'
211 hf=dim(1); % altura ala
212 b=dim(2); % ancho total
213 tf=dim(3); % espesor ala
214 tw=dim(4); % espesor alma
215 bw=b-2*tf; %Var. aux.(ancho del alma)

216
217 ptos=[[0,0];[tf,0];[tf,(hf-tw)/2];[b-tf,(hf-tw)/2];[b-tf,0];[b,0];[b,hf]
218 ];...
219 [b-tf,hf];[b-tf,(hf+tw)/2];[tf,(hf+tw)/2];[tf,hf];[0,hf]];

220 case 'Rombo'
221 d1=dim(1); % diagonal horizontal
222 d2=dim(2); % diagonal vertical

223
224 ptos=[[d1/2,0];[d1,d2/2];[d1/2,d2];[0,d2/2]];

225
226 case 'IPN'
227 h=dim(1); % altura total
228 b=dim(2); % ancho alas
229 r1=dim(3); % tw=r1 (espesor alma=radio entre alma-ala)
230 tf=dim(4); % espesor alas
231 r2=dim(5); % radio - ala
232 d=dim(6); % altura alma

233
234 ntita=5; % chaflán
235 %Chaflán A

```

```

236 titaA=linspace(0,pi/2,ntita);
237 CA=[b-r2,r2];
238 rA=r2;
239 pA=([[rA*cos(titaA)+CA(1)];[rA*sin(titaA)+CA(2)]])';
240
241 %Chaflán B
242 titaB=linspace(-pi/2,-pi,ntita);
243 yB=(h-d)/2;
244 xB=(b+r1)/2+r1;
245 CB=[xB,yB];
246 rB=r1;
247 pB=([[rB*cos(titaB)+CB(1)];[rB*sin(titaB)+CB(2)]])';
248
249 %Chaflán C
250 titaC=linspace(-pi,-3*pi/2,ntita);
251 xC=xB;
252 yC=(h+d)/2;
253 CC=[xC,yC];
254 rC=r1;
255
256 pC=([[rC*cos(titaC)+CC(1)];[rC*sin(titaC)+CC(2)]])';
257
258 %Chaflán D
259 titaD=linspace(3*pi/2,2*pi,ntita);
260 CD=[b-r2,h-r2];
261 rD=r2;
262 pD=([[rD*cos(titaD)+CD(1)];[rD*sin(titaD)+CD(2)]])';
263
264 %Chaflán E
265 titaE=linspace(pi,3*pi/2,ntita);
266 CE=[r2,h-r2];
267 rE=r2;
268 pE=([[rE*cos(titaE)+CE(1)];[rE*sin(titaE)+CE(2)]])';
269
270 %Chaflán F
271 titaF=linspace(-3*pi/2,-2*pi,ntita);
272 CF=[(b-r1)/2-r1,yC];
273 rF=r1;
274 pF=([[rF*cos(titaF)+CF(1)];[rF*sin(titaF)+CF(2)]])';
275
276 %Chaflán G
277 titaG=linspace(0,-pi/2,ntita);
278 yG=CB(2); CG=[CF(1),yG]; rG=r1;
279 pG=([[rG*cos(titaG)+CG(1)];[rG*sin(titaG)+CG(2)]])';
280

```

```

281 %Chaflán H
282 titaH=linspace( pi/2 , pi , ntita );
283 CH=[r2 , r2 ]; rH=r2 ;
284 pH=([ [ rH*cos( titaH)+CH(1) ] ; [ rH*sin( titaH)+CH(2) ] ] ) ';
285
286 ptos=[[ 0 , 0 ];[ b , 0 ];pA;pB;pC;pD;[ b , h ];[ 0 , h ];...
287 pE;pF;pG;pH];
288
289 case 'IPE'
290 h=dim(1); % altura total
291 b=dim(2); % ancho alas
292 tw=dim(3); % espesor alma
293 tf=dim(4); % espesor alas
294 r=dim(5); % radio
295 d=dim(6); % altura alma
296
297 ntita=5;
298 %Chaflán B
299 titaB=linspace(-pi/2,-pi ,ntita );
300 yB=tf+r ;
301 xB=(b+tw)/2+r ;
302 CB=[xB ,yB ];
303 rB=r ;
304 pB=([ [ rB*cos( titaB)+CB(1) ] ; [ rB*sin( titaB)+CB(2) ] ] ) ';
305
306 %Chaflán C
307 titaC=linspace(-pi ,-3*pi /2 ,ntita );
308 xC=xB;
309 yC=h-tf-r ;
310 CC=[xC ,yC ];
311 rC=r ;
312 pC=([ [ rC*cos( titaC)+CC(1) ] ; [ rC*sin( titaC)+CC(2) ] ] ) ';
313
314
315 %Chaflán F
316 titaF=linspace(-3*pi /2,-2*pi ,ntita );
317 xF=(b-tw)/2-r ;
318 yF=yC;
319 CF=[xF ,yF ];
320 rF=r ;
321 pF=([ [ rF*cos( titaF)+CF(1) ] ; [ rF*sin( titaF)+CF(2) ] ] ) ';
322
323
324 %Chaflán G
325 titaG=linspace(0,-pi /2 ,ntita );

```

```

326 xG=xF;
327 yG=yB;
328 CG=[xG,yG];
329 rG=r;
330 pG=([ [rG*cos(titaG)+CG(1)]; [rG*sin(titaG)+CG(2)] ] )';
331
332 ptos=[[0,0];[b,0];[b,tf];pB;pC;[b,h-tf];...
333 [b,h];[0,h];[0,h-tf];pF;pG;[0,tf]];
334
335 case 'cajon'
336 % Definición de vértices
337 b=dim(1); % ancho agujero
338 b1=dim(2); % saliente ala
339 tf1=dim(3); % espesor ala superior
340 hw=dim(4); % altura almas
341 tw=dim(5); % ancho almas
342 tf2=dim(6); % espesor ala inferior
343
344 h=hw+tf1+tf2;
345 b2=b1;
346
347 v1=[0,0]; v2=[0,tf2]; v3=[0,h-tf1]; v4=[b-2*tw,h-tf1];
348 v5=[b-2*tw,tf2]; v6=[b-tw+b2,0]; v7=[b-tw+b2,tf2];
349 v8=[b-tw,tf2]; v9=[b-tw,h-tf1]; v10=[b-tw+b1,h-tf1];
350 v11=[b-tw+b1,h]; v12=[-b1-tw,h]; v13=[-b1-tw,h-tf1];
351 v14=[-tw,h-tf1]; v15=[-tw,tf2]; v16=[-tw-b2,tf2];
352 v17=[-tw-b2,0];
353
354 ptos=[v1;v2;v3;v4;v5;v2;v1;v6;v7;v8;v9;v10;v11;v12;v13;v14;v15;v16;v17];
355
356 otherwise
357 error(['Por favor introduce un tipo de perfil apropiado.',...
358 'Opciones: R, I, H, C, T, Inb, Ch, Rh, IPE, IPN, cajon']);
359 end
360 end
361 %
362 %
363
364 end
365 end

```

### B.3.3. *acondicionamientoDatos*

<sub>1</sub> **classdef** acondicionamientoDatos  
<sub>2</sub> **methods**(Static)

```

3
4 %*****%
5 %
6 % acondicionamientoDatos: módulo que contiene las funciones para %
7 % preparar los datos a la entrada de la resolución del problema %
8 % y para la presentación de los resultados %
9 %
10 % Funciones que contiene: %
11 %
12 %   datosEntrada(): función que prepara los datos a la entrada de los % cálculos %
13 %   datosSalida(): función que prepara los datos a la salida de la % resolución del problema para su posterior representación %
14 %
15 %*****%
16 %
17 %
18
19
20 function valEntrada=datosEntrada(tipo_problema , valEntrada)
21 %
22 % Acondicionamiento de los datos a la entrada de los cálculos:
23 % Dimensiones: mm —> m
24 % Tensiones: MPa —> kPa
25 % Origen del sistema de referencia de los vértices de la sección: c.d.g
26 %
27 p=valEntrada{1};
28 yG=propSeccion .propGeom(p , 'yG' );
29 zG=propSeccion .propGeom(p , 'zG' );
30 p=problGeom .cambioSistCoord(p,-yG,-zG,0 );
31 p=p*1E-3; %mm—>m
32 valEntrada{1}=p;
33
34 ley_mat=valEntrada{2};
35 ley_mat (:,2)=ley_mat (:,2)*1E3; %MPa —> kPa
36 valEntrada{2}=ley_mat ;
37
38 end
39 %
40 %
41
42
43
44 function [ valEntrada , valSalida]=datosSalida(tipo_problema , valEntrada , valSalida)
45 %
46 % Acondicionamiento de los datos a la salida de los cálculos:
47 % Dimensiones: m —> mm

```

```

48 % Tensiones: kPa —> MPa
49 %
50
51 valEntrada{1}=valEntrada{1}*1E3; %m —> mm
52 ley_mat=valEntrada{2};
53 ley_mat(:,2)=ley_mat(:,2)*1E-3; %kPa —> MPa
54 valEntrada{2}=ley_mat;
55
56 switch tipo_problema
57
58 case 1
59 d_MC=valSalida{7};
60 d_MC(:,3:5)=d_MC(:,3:5)*1E3; %m —> mm
61 valSalida{7}=d_MC;
62
63 case 2
64 d_int=valSalida{1};
65 d_int(:,3)=d_int(:,3)*1E3; %m —> mm
66 valSalida{1}=d_int;
67
68 case 3
69 valSalida{1}=valSalida{1}*1E3; %m —> mm
70 valSalida{2}=valSalida{2}*1E-3; %kPa —> MPa
71 if iscell(valSalida{5})
72 for i=1:length(valSalida{5})
73 valSalida{5}{i}=valSalida{5}{i}*1E3; %m —> mm
74 end
75 else
76 valSalida{5}=valSalida{5}*1E3; %m —> mm
77 end
78
79 if iscell(valSalida{6})
80 for i=1:length(valSalida{6})
81 valSalida{6}{i}=valSalida{6}{i}*1E3; %m —> mm
82 end
83 else
84 valSalida{6}=valSalida{6}*1E3; %m —> mm
85 end
86
87 otherwise
88 error('No se reconoce tipo de problema')
89 end
90 end
91 %
92 %

```

```

93
94 end
95 end

```

### B.3.4. *problFlexion*

```

1 classdef problFlexion
2 methods(Static)
3
4 %*****%
5 %
6 % problFlexion: módulo que recoge las funciones para la resolución de %
7 % problemas de flexión en régimen elasto–plástico %
8 % zfnAndChi_N(): cálculo del axil a partir de la posición de la %
9 % de la fibra neutra y la curvatura %
10 % zfnAndChi_M(): cálculo del momento a partir de la posición de la %
11 % fibra neutra, curvatura y axil %
12 % sigma(): cálculo de la tensión de una fibra dada su deformación %
13 % unitaria %
14 % zfnAndChi_EpszAndSigz(): cálculo de la ley de tensiones y %
15 % deformaciones a partir de la posición %
16 % de la f.n. y curvatura %
17 % EpszAndSigz_AxilPuro(): cálculo de la ley de tensiones y %
18 % deformaciones para axil puro %
19 % calculo_factorForma(): cálculo del factor de forma de una sección %
20 % N_Me(): cálculo del momento elástico asociado a un valor de axil %
21 % N_Mp(): cálculo del momento plástico asociado a un valor de axil %
22 % N_diagramaMC(): diagrama Momento–Curvatura para un axil determinado %
23 % N_diagramaMC2(): diagrama Momento–Curvatura para un axil determinado %
24 % diagrama_interaccionNM(): diagrama interacción (N–M) %
25 % zfnp_NpMp(): cálculo del par de agotamiento de la sección (Np,Mp) %
26 % asociado a una posición de fibra neutra (zfnp) %
27 %
28 % zpAndN_momento(): cálculo del momento a partir de la profundidad %
29 % de plastificación y valor del axil %
30 % zpAndN_zfn(): cálculo de la posición de la fibra neutra a partir %
31 % de la profundidad de plastificación y axil %
32 % zpAndzfn_N(): cálculo del axil a partir de la profundidad de %
33 % plastificación y la posición de la fibra neutra %
34 % chiAndN_momento(): cálculo del momento a partir de la curvatura %
35 % y valor del axil %
36 % chiAndN_zfn(): cálculo de la posición de la fibra neutra a partir %
37 % de la curvatura y el valor del axil %
38 % NAndM_zfnAndChi(): cálculo de la posición de la fibra neutra y la %
39 % curvatura a partir de la solicitud (N,M) %

```

```

40 % NM_NeMe(): calcular el momento–axil máximo que se encuentra en %
41 % régimen elástico dada una recta de carga determinada %
42 % por N y M %
43 % NM_NpMp(): calcular el momento–axil de agotamiento dada una recta %
44 % de carga determinada por N y M %
45 % calcular_areasPlastificadas(): determinar los polígonos que %
46 % encierran las regiones plastificadas de la sección %
47 % %
48 %*****%
49 %
50 %
51 function N=zfnAndChi_N(P,ley_mat,zfn,chi)
52 %+
53 %
54 % N=zfnAndChi_N(P,ley_mat,zfn,chi)
55 %
56 % Descripción función:
57 % Calcular el axil dada la posición de la fibra neutra y la curvatura
58 % de la distribución de tensiones
59 %
60 % Inputs:
61 % P: conjunto vértices que determinan el polígono que encierra a la
62 % sección. Siendo el vector fila i: [yi,zi]
63 % ley_mat: ley constitutiva del material.
64 % Siendo el vector fila i [eps_i,sig_i]
65 % zfn: posición de la fibra neutra respecto sist. ref. global(OYZ)
66 % chi: curvatura
67 %
68 % Outputs:
69 % N: axil que es estáticamente equivalente al diagrama de tensiones
70 % con zfn y chi.
71 %
72 % Dependencias:
73 % problFlexion.zfnAndChi_EpszAndSigz, problGeom.cambioSistCoord,
74 % problGeom.calculo_cortarArea, propSeccion.propGeom
75 %
76 %+
77 z1=max(P(:,2));
78 z2=min(P(:,1));
79 %
80 % Calcular la distribución de tensiones y deformaciones
81 [z_, epsz_, sigz_]=problFlexion.zfnAndChi_EpszAndSigz(P,ley_mat,zfn,chi);
82 %
83 nz_=length(z_); %z_ está ordenado de menor a mayor
84

```

```

85 % Referimos los puntos de la sección al sistema de referencia O_Y_Z_
86 %O_Y_Z_ sist. referencia local , donde O_=(0,zfn)
87 P_=problGeom.cambioSistCoord(P,0,-zfn,0);
88
89 %Cálculo del axil(N)
90 N=0; % inicializamos variable
91 for i=1:nz_-1
92     % Para el tramo i , zi_<=zx<=zj_ -> epsi_<=epsx<=epsj_ ->
93     % sigi_<=sigx<=sigj_
94     Pi_=problGeom.calculo_cortarArea(P_,[0,z_(i+1),1],2);
95     P_=problGeom.calculo_cortarArea(P_,[0,z_(i+1),1],1);
96     Ai_=propSeccion.propGeom(Pi_, 'area');
97     Wyi_=propSeccion.propGeom(Pi_, 'Wy');
98     if length(Pi_)==0, Ai_=0;Wyi_=0;end
99     Ex=(sigz_(i+1)-sigz_(i))/(epsz_(i+1)-epsz_(i));
100    Nx=(sigz_(i)-Ex*epsz_(i))*Ai_-Ex*chi_*Wyi_;
101    N=N+Nx;
102 end
103 end
104 %
105
106
107 function M=zfnAndChi_M(P,ley_mat,zfn,chi,N)
108 %
109 %
110 % M=zfnAndChi_M(P,ley_mat,zfn,chi,N)
111 %
112 % Descripción función:
113 %   Calcular el momento estáticamente equivalente a la distribución
114 % de tensiones , dada la posición de la fibra neutra y la curvatura
115 %
116 % Inputs:
117 %   P: conjunto vértices que determinan el polígono que encierra a la
118 %       sección. Siendo el vector fila i: [yi,zi]
119 %   ley_mat: ley constitutiva del material.
120 %           Siendo el vector fila i [eps_i,sig_i]
121 %   zfn: posición de la fibra neutra respecto sist. ref. global(OYZ)
122 %   chi: curvatura
123 %   N: axil(si es flexión pura, N=0)
124 %
125 % Outputs:
126 %   M: momento que es estáticamente equivalente al diagrama de tensiones
127 %       con zfn y chi.
128 %
129 % Dependencias:

```

```

130  %      problFlexion.zfnAndChi_EpszAndSigz ,  problGeom.cambioSistCoord ,
131  %  propSeccion.propGeom ,  problGeom.calculo_cortarArea
132  %
133  %-----+
134
135  %Cálculo de la distribución de tensiones y deformaciones
136  [z_ , epsz_ , sigz_ ]=problFlexion.zfnAndChi_EpszAndSigz(P,ley_mat,zfn,chi);
137
138  nz_=length(z_);
139  %z_ está ordenado de menor a mayor
140
141  % Referimos los puntos de la sección al sistema de referencia O_Y_Z_
142  %O_Y_Z_ sist. referencia local , donde O_=(0,zfn)
143  P_=problGeom.cambioSistCoord(P,0,-zfn,0);
144  dist=propSeccion.propGeom(P_, 'zG'); % Distancia del cdg a la f.n.
145
146  %Cálculo del momento(M)
147  M=0; % inicializamos variable
148  for i=1:nz_-1
149    % Para el tramo i , zi_<=zx<=zj_ -> epsi_<=epsx<=epsj_ ->
150    % sigi_<=sigx<=sigj_
151    Pi_=problGeom.calculo_cortarArea(P_ ,[0 ,z_(i+1) ,1] ,2);
152    P_=problGeom.calculo_cortarArea(P_ ,[0 ,z_(i+1) ,1] ,1);
153    Wyi_=propSeccion.propGeom(Pi_, 'Wy');
154    Ex=(sigz_(i+1)-sigz_(i))/(epsz_(i+1)-epsz_(i));
155    Wyi_=propSeccion.propGeom(Pi_, 'Wy');
156    Iyi_=propSeccion.propGeom(Pi_, 'Iy');
157    Ex=(sigz_(i+1)-sigz_(i))/(epsz_(i+1)-epsz_(i));
158    Mx=-(sigz_(i)-Ex*epsz_(i))*Wyi_+Ex*chi*Iyi_;
159    M=M+Mx;
160  end
161  M=M+dist*N;
162 end
163 %
164 %-----+
165
166
167 function sig_x=sigma(e_x,ley_constitutiva)
168 %-----+
169 %
170 % sig_x=sigma(e_x,ley_constitutiva)
171 %
172 % Descripción función:
173 %   Función que calcula la tensión de una fibra que tiene una
174 % deformación(e_x) y una ley constitutiva(ley_constitutiva)

```

```

175 %
176 % Inputs:
177 % e_x: deformación de la fibra donde queremos calcular la tensión
178 % ley_constitutiva: ley constitutiva del material
179 %
180 % Outputs:
181 % sig_x: tensión que soporta la fibra en cuestión
182 %
183 % Variables Auxiliares:
184 % E: módulo de Young en el tramo considerado de la ley constitutiva
185 %
186 % Dependencias:
187 % Ninguna
188 %
189 %-----+
190
191 i=1; % inicializamos variable
192
193 while e_x>ley_constitutiva(i,1)
194     i=i+1;
195 end
196
197 E=(ley_constitutiva(i,2)-ley_constitutiva(i-1,2))/...
198     (ley_constitutiva(i,1)-ley_constitutiva(i-1,1));
199 sig_x=ley_constitutiva(i-1,2)+E*(e_x-ley_constitutiva(i-1,1));
200 end
201 %-----+
202
203
204 function [z_, epsz_, sigz_]=zfnAndChi_EpszAndSigz(P, ley_mat, zfn, chi)
205 %-----+
206 %
207 % [z_, epsz_, sigz_]=zfnAndChi_EpszAndSigz(P, ley_mat, zfn, chi)
208 %
209 % Descripción función:
210 % Función que calcula el diagrama de tensiones y deformaciones
211 % a partir de la posición de la fibra neutra y la curvatura.
212 %
213 % Inputs:
214 % P: conjunto vértices que determinan el polígono que encierra a la
215 % sección. Siendo el vector fila i: [yi, zi]
216 % ley_mat: ley constitutiva del material.
217 % Siendo el vector fila i [eps_i, sig_i]
218 % zfn: posición de la f.n. respecto sistema de referencia global(OYZ)
219 % chi: curvatura

```

```

220 %
221 % Outputs:
222 % z__: posiciones referidas al sist. de referencia local(asociado
223 % a la posición de la f.n., O_Y_Z__)
224 % epsz__: deformaciones asociadas a las diferentes posiciones z__
225 % calculadas mediante hipótesis Navier , eps(z__)=chi*z__
226 % sigz__: tensiones asociadas a las diferentes posiciones z__
227 %
228 % Dependencias:
229 %   probGeom.cambioSistCoord , propSeccion.propMaterial ,
230 % probFlexion.sigma
231 %
232 %
233
234 delta=1E-6;
235
236 P_=probGeom.cambioSistCoord(P,0,-zfn,0);
237
238 z1_=max(P(:,2)); % posición cara sup. respecto f.n.
239 z2_=min(P(:,2)); % posición cara sup. respecto f.n.
240
241 if abs(chi)>1E3
242
243 % Sección agotada
244 epsz_=[nan; -inf; inf; inf; nan];
245 chi=100;
246 z_=[z1_;-1E-16;0;1E-16;z2_];
247
248 epsz1_=sign(-chi*z1_)*50;
249 epsz2_=sign(-chi*z2_)*50;
250
251 sig_pc=propSeccion.propMaterial(ley_mat,'sig_pc');
252 sig_pt=propSeccion.propMaterial(ley_mat,'sig_pt');
253 if chi>0, sigz1_=sig_pc; sigz2_=sig_pt;
254 else, sigz1_=sig_pt; sigz2_=sig_pc; end
255 sigz_=[sigz1_; sigz1_; 0; sigz2_; sigz2_];
256 return
257 end
258
259 %Cálculo de posiciones(z__)
260 z_=ley_mat(:,1)/(-chi);
261 z_=z_(find(z_>=z2_ & z_<=z1_));
262 z_=unique(z_);
263
264 if abs(min(z_)-z2_)<=delta , z_=z_(2:end); end

```

```

265 if abs(max(z_)-z1_)<=delta , z_=z_(1:end-1); end
266 z_=[z2_;z_;z1_];
267
268 z_=unique(z_); % Garantizar que no hay puntos repetidos
269
270 %Cálculo diagrama de deformaciones
271 epsz_=-chi*z_;
272
273 %Cálculo diagrama de tensiones
274 nz_=length(z_);
275 sigz_=nan(nz_,1);
276 for i=1:nz_
277     sigz_(i)=problFlexion.sigma(epsz_(i),ley_mat);
278 end
279
280 end
281 %
282 %
283
284
285 function [z_,epsz_,sigz_]=EpszAndSigz_AxilPuro(p,ley_mat,N)
286 %
287 %
288 % [z_,epsz_,sigz_]=EpszAndSigz_AxilPuro(p, ley_mat, N)
289 %
290 % Descripción función: función que calcula el diagrama de tensiones
291 % y deformaciones cuando la sección está sometida a axil puro
292 %
293 % Inputs:
294 % p: conjunto vértices que determinan el polígono que encierra a la
295 % sección. Siendo el vector fila i: [yi,zi]
296 % ley_mat: ley constitutiva del material.
297 % Siendo el vector fila i [eps_i,sig_i]
298 % N: axil de la sección
299 %
300 % Outputs:
301 % z_: posiciones referidas al sist. de referencia local(asociado
302 % a la posición de la f.n., O_Y_Z_)
303 % epsz_: deformaciones asociadas a las diferentes posiciones z_
304 % calculadas mediante hipótesis Navier, eps(z_)=chi*z_
305 % sigz_: tensiones asociadas a las diferentes posiciones z_
306 %
307 % Dependencias:
308 % propSeccion.propMaterial, propSeccion.propGeom
309 %

```

```

310 %
311
312 E=propSeccion.propMaterial(ley_mat, 'E');
313 Atot=propSeccion.propGeom(p, 'area');
314
315 z_=[min(p(:,2)),max(p(:,2))]' ;
316 sigma=N/Atot;
317 epsilon=sigma/E;
318
319 epsz_=[epsilon, epsilon]';
320 sigz_=[sigma, sigma]';
321
322 end
323 %
324
325
326 function ff=calculo_factorForma(p, ley_mat, signoM)
327 %
328 %
329 % ff=calculo_factorForma(p, ley_mat, signoM)
330 %
331 % Descripción función:
332 % Función que calcula el factor de forma de una sección
333 %
334 % Inputs:
335 % p: conjunto vértices que determinan el polígono que encierra a la
336 % sección. Siendo el vector fila i: [yi, zi]
337 % ley_mat: ley constitutiva del material.
338 % Siendo el vector fila i [eps_i, sig_i]
339 % signoM: signo del momento <'p': positivo | 'n': negativo>
340 % (Momento positivo: cara superior comprimida)
341 %
342 % Outputs:
343 % ff: factor de forma
344 %
345 % Se asume:
346 % M>0: cara superior comprimida
347 % M<0: cara superior traccionada
348 %
349 % Dependencias:
350 % prob1Flexion.N_Me, prob1Flexion.N_Mp
351 %
352 %
353 N=0;
354 Me=prob1Flexion.N_Me(p, ley_mat, N, signoM);

```

```

355 Mp=problFlexion .N_Mp(p,ley_mat,N,signoM);
356 ff=Mp/Me;
357 end
358 %
359 %=====+
360
361
362 function [Me,zfne,chie,condic]=N_Me(p,ley_mat,N,signoM)
363 %-----+
364 %
365 % [Me,zfne,chie,condic]=N_Me(p,ley_mat,N,signoM)
366 %
367 % Descripción función:
368 % Función que calcula el momento elástico asociado a un valor de axil
369 %
370 % Inputs:
371 % p: conjunto vértices que determinan el polígono que encierra a la
372 % sección. Siendo el vector fila i: [yi,zi]
373 % ley_mat: ley constitutiva del material.
374 % Siendo el vector fila i [eps_i,sig_i]
375 % signoM: signo del momento <'p': positivo | 'n': negativo>
376 % (Momento positivo: cara superior comprimida)
377 %
378 % Outputs:
379 % Me: máximo momento asociado a un valor de axil, con el que la
380 % sección permanece en el régimen elástico
381 % zfne: posición de la fibra neutra cuando la sección está sometida
382 % por la solicitación (N,Me)
383 % chie: curvatura de la sección cuando está sometida a (N,Me)
384 % condic: indica qué cabeza de la sección plastifica primero
385 % <1: si cabeza superior | 2: si cabeza inferior>
386 % Se asume:
387 % M>0: cara superior comprimida
388 % M<0: cara superior traccionada
389 %
390 % Dependencias:
391 % propSeccion.propGeom, propSeccion.propMaterial
392 %
393 %-----+
394
395 zG=propSeccion.propGeom(p,'zG');
396 Iy=propSeccion.propGeom(p,'IGy');
397 Atot=propSeccion.propGeom(p,'area');
398 z1=max(p(:,2));
399 z2=min(p(:,2));

```

```

400
401 z1_=z1-zG; % Referimos posición de la cara superior a la
402 % posición de la f.n.
403 z2_=z2-zG; % Referimos posición de la cara inferior a la
404 % posición de la f.n.
405
406 % Propiedades del material
407 sig_et=propSeccion.propMaterial(ley_mat, 'sig_et');
408 sig_ec=propSeccion.propMaterial(ley_mat, 'sig_ec');
409 E=propSeccion.propMaterial(ley_mat, 'E');

410
411 if N<0, sig_e=sig_ec; else sig_e=sig_et;end
412 Ny=sig_e*Atot;
413 sigN=N/Atot;
414 if abs(N)>=abs(Ny) && N~=0
415 Me=0;
416 z1=1E16; z2=-1E16;
417 if signoM=='p'
418 if N>0 condic=1; zfne=z1; else , condic=2; zfne=z2;end
419 else
420 if N>0 condic=2; zfne=z2; else , condic=1; zfne=z1;end
421 end
422 chie=0;
423 else
424 if signoM=='p'
425 % Caso en el que el momento es positivo
426 sigp1=sig_ec;
427 sigp2=sig_et;
428 else
429 % Caso en el que el momento es negativo
430 sigp1=sig_et;
431 sigp2=sig_ec;
432 end
433
434 %Cálculo Me
435 if abs((sigp1-sigN)/z1_)<abs((sigp2-sigN)/z2_)
436 condic=1;
437 Me=-(sigp1-sigN)*Iy/z1_;
438 else
439 condic=2;
440 Me=-(sigp2-sigN)*Iy/z2_;
441 end
442
443 sig1=sigN-Me/Iy*z1_;
444 sig2=sigN-Me/Iy*z2_;

```

```

445
446 %Cálculo de la posición de la fibra neutra y curvatura
447 zfne=(z1*sig2-z2*sig1)/(sig2-sig1);
448 chie=Me/(E*Iy);
449 end
450 end
451 %
452
453
454 function [Mp,zfnp ,zpmax ,signo_zpmax ,condic]=N_Mp(p ,ley_mat ,N,signoM)
455 %
456 %
457 % [Mp,zfnp ,zpmax ,signo_zpmax ,condic]=N_Mp(p ,ley_mat ,N,signoM)
458 %
459 % Descripción función: %
460 % Función que calcula el momento plástico asociado a un
461 % axil de una sección
462 %
463 % Inputs:
464 % p: conjunto vértices que determinan el polígono que encierra a la
465 % sección. Siendo el vector fila i: [yi ,zi ]
466 % ley_mat: ley constitutiva del material.
467 % Siendo el vector fila i [eps_i ,sig_i ]
468 % signoM: signo del momento <'p': positivo | 'n': negativo>
469 %
470 % Outputs:
471 % Mp: momento plástico de la sección p asociado al axil N
472 % zfnp: posición de la fibra neutra cuando solicitación es: (N,Mp)
473 % zpmax: valor de la profundidad de plastificación de la sección
474 % medida desde el extremo que plastifica primero cuando
475 % solicitación es (N,Mp)
476 % signo_zpmax: carácter de la profundidad de plastificación (zpmax)
477 % <'t': tracción | 'c': compresión >
478 % condic: indica qué extremo(superior/inferior) plastifica primero
479 % <1: extremo superior | 2: extremo inferior >
480 %
481 % Se asume:
482 % M>0: cara superior comprimida
483 % M<0: cara superior traccionada
484 %
485 % Dependencias:
486 % problFlexion.N_Me, propSeccion.propMaterial, problFlexion.zfnp_NpMp,
487 % metNum.zero, problGeom.calculo_cambioSistCoord ,
488 % problGeom.calculo_cortarArea, propSeccion.propGeom
489 %

```

```

490 %
491
492 tolerancia=1E-6;
493
494 z1=max(p(:,2));
495 z2=min(p(:,2));
496
497 [~,zfne,~,condic]=problFlexion.N_Me(p,ley_mat,N,signoM); % Saber qué cara
498 %plastifica antes
499 sig_pt=propSeccion.propMaterial(ley_mat,'sig_pt');
500 sig_pc=propSeccion.propMaterial(ley_mat,'sig_pc');
501
502 if signoM=='p'
503 % Caso en el que el momento es positivo
504 sigp1=sig_pc;
505 sigp2=sig_pt;
506 else
507 % Caso en el que el momento es negativo
508 sigp1=sig_pt;
509 sigp2=sig_pc;
510 end
511
512 f=@(zfnp) N-problFlexion.zfnp_NpMp(p,ley_mat,zfnp,signoM);
513
514 zfnp1=z2;
515 zfnp2=z1;
516
517 %Cálculo de la posición de la f.n. cuando la sección está agotada
518 zfnp=metNum.zero(zfnp1,zfnp2,eps,tolerancia,f);
519
520 %Cálculo Mp
521 p_=problGeom.calculo_cambioSistCoord(p,0,-zfnp,0);
522 p1_=problGeom.calculo_cortarArea(p_,[0,0,1],1);
523 W1_=propSeccion.propGeom(p1_,'Wy');
524 p2_=problGeom.calculo_cortarArea(p_,[0,0,1],2);
525 W2_=propSeccion.propGeom(p2_,'Wy');
526 dist=propSeccion.propGeom(p_,'zG');
527 Mp=sigp1*W1-sigp2*W2+dist*N;
528
529 if condic==1
530 zpmax=z1-zfnp;
531 if sigp1<0, signo_zpmax='c';
532 else, signo_zpmax='t'; end
533 else

```

```

534     zpmax=zfnp-z2 ;
535     if signp2<0, signo_zpmax='c' ;
536     else , signo_zpmax='t' ; end
537 end
538 end
539 %
540 %
541
542
543 function [D_MC,Me, chie ,Mp]=N_diagramaMC(p,ley_mat ,N,signoM)
544 %
545 %
546 % [D_MC,Me, chie ,Mp]=N_diagramaMC(p,ley_mat ,N,signoM)
547 %
548 % Descripción función:
549 % Función que calcula el diagrama Momento–Curvatura de una sección
550 % con el mínimo número de puntos
551 %
552 % Inputs:
553 % p: conjunto vértices que determinan el polígono que encierra a la
554 % sección. Siendo el vector fila i: [yi,zi]
555 % ley_mat: ley constitutiva del material.
556 % Siendo el vector fila i [eps_i,sig_i]
557 % signoM: signo del momento <'p': positivo | 'n': negativo>
558 % (Momento positivo: cara superior comprimida)
559 %
560 % Outputs:
561 % D_MC: diagrama momento curvatura. Array
562 % D_MC(:,1): curvatura
563 % D_MC(:,2): momento
564 % D_MC(:,3): profundidad de plastificación
565 % D_MC(:,4): posición fibra neutra
566 % D_MC(:,5): posición primera fibra plastificada respecto
567 % posición f.n.
568 % Me: momento elástico
569 % chie: curvatura cuando el momento es elástico
570 % Mp: momento plástico
571 %
572 % Se asume:
573 % M>0: cara superior comprimida
574 % M<0: cara superior traccionada
575 %
576 % Limitación:
577 % Esta función no es válida para material con endurecimiento con
578 % valores de axil próximos a Ny. Para estos casos utilizar

```

```

579 % N_diaramaMC2()
580 %
581 % Dependencias:
582 %     prob1Flexion.N_Mp, prob1Flexion.N_Me, prob1Flexion.zpAndN_momento
583 %
584 %-----+
585
586 % delta=1E-3;
587 n=20; %Número de puntos del diagrama
588
589 [Mp,zfnp,zpmax,signo_zpmax,condic]=prob1Flexion.N_Mp(p,ley_mat,N,signoM);
590 [Me,zfne,chie]=prob1Flexion.N_Me(p,ley_mat,N,signoM);
591
592 zp=linspace(0,zpmax*0.95,n);
593
594 signo_zp=signo_zpmax;
595
596 D_MC=[];
597 for i=1:length(zp)
598     [M,chi,zfn,ze]=prob1Flexion.zpAndN_momento(p,ley_mat,zfne,zfnp,zp(i),
599         signo_zp,condic,N);
600     D_MC=[D_MC; [chi,M,zp(i),zfn,ze]];
601 end
602 %
603
604
605 function [D_MC,Me,chie,Mp]=N_diagramaMC2(p,ley_mat,N,signoM)
606 %-----+
607 %
608 % [D_MC,Me,chie,Mp]=N_diagramaMC2(p,ley_mat,N,signoM)
609 %
610 % Descripción función:
611 %     Función que calcula el diagrama Momento–Curvatura de una sección
612 %
613 % Inputs:
614 %     p: conjunto vértices que determinan el polígono que encierra a la
615 %         sección. Siendo el vector fila i: [yi,zi]
616 %     ley_mat: ley constitutiva del material.
617 %             Siendo el vector fila i [eps_i,sig_i]
618 %     signoM: signo del momento <'p': positivo | 'n': negativo>
619 %             (Momento positivo: cara superior comprimida)
620 %
621 % Outputs:
622 %     D_MC: diagrama momento curvatura. Array

```

```

623 %      D_MC(:,1) : curvatura
624 %      D_MC(:,2) : momento
625 %      Me: momento elástico
626 %      chie: curvatura cuando el momento es elástico
627 %      Mp: momento plástico
628 %
629 % Se asume:
630 %      M>0: cara superior comprimida
631 %      M<0: cara superior traccionada
632 %
633 % Limitación:
634 %      Para el caso de material con endurecimiento no ofrece solución
635 % para axiles |Ny|<=|N|<=|Np|
636 %
637 % Dependencias:
638 %      propSeccion.propGeom, propSeccion.propMaterial,
639 %      prob1Flexion.N_Mp, prob1Flexion.N_Me, prob1Flexion.zpAndN_momento,
640 %      prob1Flexion.chiAndN_zfn, prob1Flexion.zfnAndChi_M
641 %
642 %-----+
643
644 delta=1E-3;
645 n=100
646
647 Atot=propSeccion.propGeom(p, 'area');
648 sig_et=propSeccion.propMaterial(ley_mat, 'sig_et');
649 sig_ec=propSeccion.propMaterial(ley_mat, 'sig_ec');
650 if N<0, sig_e=sig_ec; else, sig_e=sig_et;end
651 Ny=sig_e*Atot;
652
653 % Determinar rango de valores de profundidad de plastificación(zp),
654 % condición y si es de compresión o tracción
655 [Mp, zfnp, zpmax, signo_zpmax, condic]=prob1Flexion.N_Mp(p, ley_mat, N, signoM);
656 [Me, zfne, chie]=prob1Flexion.N_Me(p, ley_mat, N, signoM);
657
658 if N>0, Ny=Atot*sig_et; else, Ny=Atot*sig_ec; end
659
660 if abs(N)>=abs(Ny), D_MC=[]; fprintf('No hay diagrama M-chi para |N|>|%.2f| ', Ny), return, end
661 signo_zp=signo_zpmax;
662 [~, chip]=prob1Flexion.zpAndN_momento(p, ley_mat, zfne, zfnp, zpmax*0.95,
663 signo_zpmax, condic, N);
664 if size(ley_mat,1)>5
665 % Caso de no ser un material perfectamente plástico (ley constitutiva

```

```

determinada por más de 5 puntos)
666 z1=max(p(:,2));
667 z2=min(p(:,2));
668 h=z1-z2;
669 if signo_zpmax=='c',signo_zpmax2='t';else , signo_zpmax2='c';end
670 if condic==1,condic2=2;else , condic2=1;end
671 zpmax2=h-zpmax;
672 [~,chip2]=problFlexion.zpAndN_momento(p,ley_mat,zfne,zfnp,zpmax2*0.8,
673 signo_zpmax2,condic2,N);
674 chip=sign(chip)*max(abs(chip),abs(chip2));
675 end
676 chi=linspace(chie,chip,n);
677 D_MC=[];
678
679 for i=1:length(chi)
680 fprintf('\n**chi= %f',chi(i))
681 zfn=problFlexion.chiAndN_zfn(p,ley_mat,zfne,zfnp,chi(i),N);
682 M=problFlexion.zfnAndChi_M(p,ley_mat,zfn,chi(i),N);
683 D_MC=[D_MC; [chi(i),M],zfn];
684 end
685
686 end
687 %
688 %
689
690
691 function [d_int,Np,Mp]=diagrama_interaccionNM(p,ley_mat,signoN,signoM)
692 %
693 %
694 % [d_int,Np,Mp]=diagrama_interaccionNM(p,ley_mat,signoN,signoM)
695 %
696 % Descripción función:
697 % Calcular el diagrama de interacción axil - momento
698 %
699 % Inputs:
700 % p: conjunto vértices que determinan el polígono que encierra a la
701 % sección. Siendo el vector fila i: [yi,zi]
702 % ley_mat: ley constitutiva del material.
703 % Siendo el vector fila i [eps_i,sig_i]
704 % signoN: signo del axil <'p': tracción | 'n': compresión>
705 % signoM: signo del momento <'p': positivo | 'n': negativo>
706 % (Momento positivo: cara superior comprimida)
707 %
708 % Outputs:

```

```

709 % d_int: diagrama de interacción axil – momento
710 % d_int(:,1): Np
711 % d_int(:,2): Mp
712 % d_int(:,3): m, recta de carga ( $m_i=Np_i/Mp_i$ )
713 % Np: axil de plastificación (axil puro)
714 % Mp: momento de plasifiación (flexión pura)
715 %
716 % Dependencias:
717 % problFlexion.zfnAndChi_M, propSeccion.propMaterial, problFlexion.N_Mp,
718 % problFlexion.zfnp_NpMp
719 %
720 %-----+
721
722 d_int=[]; %inicializamos variable
723 Atot=propSeccion.propGeom(p,'area');
724
725 z1=max(p(:,2));
726 z2=min(p(:,2));
727
728 sig_pc=propSeccion.propMaterial(ley_mat,'sig_pc');
729 sig_pt=propSeccion.propMaterial(ley_mat,'sig_pt');
730
731 [Mp,zfnp]=problFlexion.N_Mp(p,ley_mat,0,signoM);
732 if signoN=='p',sig_p=sig_pt; else sig_p=sig_pc; end
733
734 Np=sig_p*Atot;
735
736 %Límites de zfn
737 if signoM=='p'
738   if signoN=='p'
739     zfn0=zfnp;
740     zfnN=z1;
741   else
742     zfn0=z2;
743     zfnN=zfnp;
744   end
745 else
746   if signoN=='p'
747     zfn0=z2;
748     zfnN=zfnp;
749   else
750     zfn0=zfnp;
751     zfnN=z1;
752   end
753 end

```

```

754
755 zfn=linspace(zfn0,zfnN,100);
756 for i=1:length(zfn)
757 [Np_,Mp_]=problFlexion.zfnp_NpMp(p,ley_mat,zfn(i),signoM);
758 m=Mp_/Np_;
759 d_int=[d_int;[Np_,Mp_,zfn(i),m]];
760 end
761 end
762 %
763 %=====+
764
765
766
767 function [Np,Mp]=zfnp_NpMp(p,ley_mat,zfnp,signoM)
768 %=====+
769 %
770 % [Np,Mp]=zfnp_NpMp(p,ley_mat,zfnp,signoM)
771 %
772 % Descripción función:
773 % Función que calcula el par de agotamiento Np, Mp dada una posición
774 % de fibra neutra
775 %
776 % Inputs:
777 % p: conjunto vértices que determinan el polígono que encierra a la
778 % sección. Siendo el vector fila i: [yi,zi]
779 % ley_mat: ley constitutiva del material.
780 % Siendo el vector fila i [eps_i,sig_i]
781 % zfnp: posición de la f.n. respecto sistema de referencia global(OYZ)
782 % signoM: signo del momento. <'p': positivo | 'n': negativo>
783 %
784 % Outputs:
785 % Np: axil de agotamiento
786 % Mp: momento de agotamiento
787 %
788 % Dependencias:
789 % propSeccion.propMaterial, problGeom.cambioSistCoord,
790 % problGeom.calculo_cortarArea, propSeccion.propGeom
791 %
792 %=====+
793
794 % Propiedades del material
795 sig_pt=propSeccion.propMaterial(ley_mat,'sig_pt');
796 sig_pc=propSeccion.propMaterial(ley_mat,'sig_pc');
797
798 if signoM=='p'

```

```

799 % Caso en el que el momento es positivo
800 sigp1=sig_pc;
801 sigp2=sig_pt;
802 else
803 % Caso en el que el momento es negativo
804 sigp1=sig_pt;
805 sigp2=sig_pc;
806 end
807
808 p_=problGeom . cambioSistCoord (p,0,-zfnp ,0) ;
809 p1_=problGeom . calculo_cortarArea (p_ ,[0 ,0 ,1] ,1) ;
810 p2_=problGeom . calculo_cortarArea (p_ ,[0 ,0 ,1] ,2) ;
811 A1_=propSeccion . propGeom (p1_ , 'area' );
812 A2_=propSeccion . propGeom (p2_ , 'area' );
813 W1_=propSeccion . propGeom (p1_ , 'Wy' );
814 W2_=propSeccion . propGeom (p2_ , 'Wy' );
815 zG_=propSeccion . propGeom (p_ , 'zG' );
816 dist=zG_;
817
818 Np= sigp1*A1_+sigp2*A2_;
819 Mp= sigp1*W1_-sigp2*W2_+dist*Np;
820
821 end
822 %
823 %
824
825
826 function [M, chi , zfn , ze_]=zpAndN_momento(p , ley_mat , zfne , zfnp , zp , signo_zp , condic , N
827 )
828 %
829 % [M, chi , zfn , ze_]=zpAndN_momento(p , ley_mat , zfne , zfnp , zp , signo_zp , condic , N)
830 %
831 % Descripción función:
832 % Función que calcula el momento, dado una profundidad de
833 % plastificación
834 %
835 % Inputs:
836 % p: conjunto vértices que determinan el polígono que encierra a la
837 % sección. Siendo el vector fila i: [yi ,zi]
838 % ley_mat: ley constitutiva del material.
839 % Siendo el vector fila i [eps_i,sig_i]
840 % zfne: posición de la fibra neutra cuando sección en régimen elástico
841 % y el axil es N
842 % zfnp: posición de la fibra neutra cuando sección está plastificada

```

```

843 % y el axil es N
844 % zp: profundidad de plastificación (medida desde extremo
845 % determinado por condic)
846 % signo_zp: indica si la profundidad de plastificación es de
847 % compresión o tracción <'c': compresión | 't': tracción>
848 % condic: indica si la profundidad de plastificación es respecto
849 % a la cara superior o inferior
850 % <1: cara superior | 2: cara inferior>
851 % N: valor del axil de la sección
852 %
853 % Outputs:
854 % M: momento de la sección
855 % chi: curvatura
856 % zfn: posición de la fibra neutra referido al sistema de
857 % ejes global (OYZ)
858 % ze_: posición de la primera fibra plastificada en referencia a la
859 % posición de la fibra neutra(O_Y_Z_)
860 %
861 % Se asume:
862 % M>0: cara superior comprimida
863 % M<0: cara superior traccionada
864 %
865 % Dependencias:
866 % propSeccion.propMaterial , problFlexion.zpAndN_zfn,
867 % problGeom.cambioSistCoord , problFlexion.zfnAndChi_M
868 %
869 %-----+
870
871
872 z1=max(p(:,2));
873 z2=min(p(:,2));
874
875 sig_et=propSeccion.propMaterial(ley_mat,'sig_et');
876 sig_ec=propSeccion.propMaterial(ley_mat,'sig_ec');
877 eps_et=propSeccion.propMaterial(ley_mat,'eps_et');
878 eps_ec=propSeccion.propMaterial(ley_mat,'eps_ec');
879
880 if signo_zp=='c'
881     sig_e=sig_ec;
882     eps_e=eps_ec;
883 else
884     sig_e=sig_et;
885     eps_e=eps_et;
886 end
887

```

```

888 %Cálculo de la posición de la fibra neutra(zfn)
889 zfn=problFlexion.zpAndN_zfn(p,ley_mat,zfne,zfnp,zp,signo_zp,condic,N);
890
891 p_=problGeom.cambioSistCoord(p,0,-zfn,0);
892
893 z1_=max(p(:,2));
894 z2_=min(p(:,2));
895
896 %ze_: posición de la primera fibra plastificada considerada respecto
897 %posición de la f.n.
898 if condic==1
899     %zp==zpc
900     ze_=z1_-zp;
901 else
902     %zp==zpt
903     ze_=z2_+zp;
904 end
905
906 %%f.n. cae fuera de la sección(flexión compuesta)
907 %Caso en el que posición de la fibra neutra cae por encima de la
908 %cara superior sección
909 if zfn>z1_, ze_=z2_+zp; end
910 %Caso en el que posición de la fibra neutra cae por debajo de la
911 %cara inferior sección
912 if zfn<z2_, ze_=z1_-zp;end
913
914 chi=-eps_e/ze_;
915
916 M=problFlexion.zfnAndChi_M(p,ley_mat,zfn,chi,N);
917 end
918 %
919 %

920
921
922
923 function zfn=zpAndN_zfn(p,ley_mat,zfne,zfnp,zp,signo_zp,condic,N)
924 %
925 %
926 % zfn=zpAndN_zfn(p,ley_mat,zfne,zfnp,zp,signo_zp,condic,N)
927 %
928 % Descripción función:
929 %    Cálculo posición de la fibra neutra dada una profundidad de
930 %    plastificación y el valor del axil
931 %
932 % Inputs:

```

```

933 % p: conjunto vértices que determinan el polígono que encierra a la
934 % sección. Siendo el vector fila i: [yi ,zi]
935 % ley_mat: ley constitutiva del material.
936 % Siendo el vector fila i [eps_i ,sig_i]
937 % zfnp: posición de la fibra neutra cuando sección está plastificada
938 % y el axil es N
939 % zp: profundidad de plastificación (medida desde extremo
940 % determinado por condic)
941 % signo_zp: indica si la profundidad de plastificación es de
942 % compresión o tracción <'c': compresión | 't': tracción>
943 % condic: indica si la profundidad de plastificación es respecto
944 % a la cara superior o inferior
945 % <1: cara superior | 2: cara inferior>
946 % N: valor del axil de la sección
947 %
948 % Outputs:
949 % zfn: distancia de la f.n. respecto sistema ejes global (OYZ)
950 %
951 % Dependencias:
952 % problFlexion .zpAndzfn_N , metNum .aproot , metNum .secant , metNum .zero
953 %
954 %-----+
955
956 tolerancia=1E-6;
957 delta=1E-3;
958
959
960 z1=max(p(:,2));
961 z2=min(p(:,2));
962
963 h=z1-z2;
964
965 %Cálculo de la posición de fibra neutra en sección agotada
966 if condic==1
967 %Si la profundidad de plástificación es en la cara superior
968 %y es de compresión, está asociado a un momento positivo.
969 %Si la profundidad de plastificación es de tracción, el
970 %momento es negativo
971 if signo_zp=='c', signoM='p'; else , signoM='n';end
972 else
973 %Si la profundidad de plastificación es en
974 %la cara inferior , compresiones abajo --> M<0, tracciones -->M>0
975 if signo_zp=='c', signoM='n'; else , signoM='p';end
976 end
977

```

```

978 if abs(zfne-zfnp)<1E-3
979 %Como la f.n. se mueve entre zG y zfnp , en este caso es
980 %directo su valor
981 zfn=zfne;
982 else
983
984 f=@(zfn) N=problFlexion.zpAndzfn_N(p,ley_mat,zp,signo_zp,condic,zfn);
985
986
987 if condic==2, b=max(zfne,zfnp)+delta;a=z2+zp+delta;
988 else, b=min(zfne,zfnp)+delta; a=z1-zp-delta; end
989
990 n=5;
991 [R,x]=metNum.approot(f,a,b,n,tolerancia);
992 if length(x)==0
993 p0=b;
994 p1=a;
995 zfn=metNum.secant(f,p0,p1,tolerancia);
996 else
997 p0=x(1,1);
998 p1=x(1,2);
999 zfn=metNum.zero(p0,p1,eps,tolerancia,f);
1000 end %length(x)==0
1001
1002 end
1003 end
1004 %-----+
1005
1006
1007 function N=zpAndzfn_N(p,ley_mat,zp,signo_zp,condic,zfn)
1008 %
1009 %
1010 % N=zpAndzfn_N(p,ley_mat,zp,signo_zp,condic,zfn)
1011 %
1012 % Descripción función:
1013 % Función que calcula el axil dada la profundidad de plastificación
1014 % y la posición de la fibra neutra
1015 %
1016 % Inputs:
1017 % p: conjunto vértices que determinan el polígono que encierra a la
1018 % sección. Siendo el vector fila i: [yi,zi]
1019 % ley_mat: ley constitutiva del material.
1020 % Siendo el vector fila i [eps_i,sig_i]
1021 % zp: profundidad de plastificación
1022 % signo_zp: tipo de plastificación

```

```

1023 % <'c': compresión | 't': tracción>
1024 % condic: indica si la profundidad de plastificación es en referencia
1025 % a la cara superior o inferior
1026 % <1: cara superior | 2: cara inferior>
1027 %
1028 % Outputs:
1029 % N: axil estáticamente equivalente al diagrama de tensiones normales
1030 % con una posición de la fibra neutra y profundidad de
1031 % plástificación especificadas.
1032 %
1033 % Dependencias:
1034 % propSeccion.propMaterial , probGeom.cambioSistCoord ,
1035 % probFlexion.zfnAndChi_N
1036 %
1037 %-----+
1038
1039 z1=max(p(:,2));
1040 z2=min(p(:,2));
1041
1042 eps_et=propSeccion.propMaterial(ley_mat,'eps_et');
1043 eps_ec=propSeccion.propMaterial(ley_mat,'eps_ec');
1044
1045 if signo_zp=='c'
1046     eps_e=eps_ec;
1047 else
1048     eps_e=eps_et;
1049 end
1050
1051 p=probGeom.cambioSistCoord(p,0,-zfn,0);
1052
1053 z1_=max(p_(:,2));
1054 z2_=min(p_(:,2));
1055
1056 %ze: posición de la primera fibra plástificada considerada respecto
1057 %posición de la f.n.
1058 if condic==1
1059     ze=z1_-zp;
1060 else
1061     ze=z2_+zp;
1062 end
1063
1064 %%%Caso en que f.n. cae fuera de la sección
1065 % Caso en el que posición de la fibra neutra cae por encima de la
1066 % cara superior sección
1067 if zfn>z1, ze=z2_+zp; end

```

```

1068
1069 % Caso en el que posición de la fibra neutra cae por debajo de la
1070 % cara inferior sección
1071 if zfn<z2 , ze=z1_zp; end
1072 %%%
1073
1074 chi=-eps_e/ze;
1075 N=problFlexion.zfnAndChi_N(p,ley_mat,zfn,chi);
1076
1077 end
1078 %
1079
1080
1081 function [M,zfn]=chiAndN_momento(p,ley_mat,zfne,zfnp,chi,N)
1082 %
1083 %
1084 % [M,zfn]=chiAndN_momento(p,ley_mat,zfne,zfnp,chi,N)
1085 %
1086 % Descripción función:
1087 % Calcular el momento a partir del valor de la curvatura y
1088 % el axil de la sección
1089 %
1090 % Inputs:
1091 % p: conjunto vértices que determinan el polígono que encierra a la
1092 % sección. Siendo el vector fila i: [yi,zi]
1093 % ley_mat: ley constitutiva del material.
1094 % Siendo el vector fila i [eps_i,sig_i]
1095 % zfne: posición de la fibra neutra cuando sección en régimen elástico
1096 % y el axil es N
1097 % zfnp: posición de la fibra neutra cuando sección está plastificada
1098 % y el axil es N
1099 % chi: curvatura
1100 % condic: indica si la profundidad de plastificación es respecto
1101 % a la cara superior o inferior
1102 % <1: cara superior | 2: cara inferior>
1103 % N: valor del axil de la sección
1104 %
1105 % Outputs:
1106 % M: momento
1107 % zfn: posición de la fibra neutra referido al sistema de ejes
1108 % global (OYZ)
1109 %
1110 % Dependencias:
1111 % problFlexion.chiAndN_zfn, problFlexion.zfnAndChi_M
1112 %

```

```

1113 %
1114
1115 % Calcular posición de la fibra media
1116 zfn=problFlexion.chiAndN_zfn(p,ley_mat,zfne,zfnp,chi,N);
1117
1118 % Calcular momento
1119 M=problFlexion.zfnAndChi_M(p,ley_mat,zfn,chi,N);
1120 end
1121 %
1122
1123
1124 function zfn=chiAndN_zfn(p,ley_mat,zfne,zfnp,chi,N)
1125 %
1126 %
1127 % zfn=zpAndN_zfn(p,ley_mat,zfnp,zp,signo_zp,condic)
1128 %
1129 % Descripción función:
1130 % Cálculo posición de la fibra neutra dada una profundidad de
1131 % plastificación en flexión pura(ha de cumplir condición N=0)
1132 %
1133 % Inputs:
1134 % p: conjunto vértices que determinan el polígono que encierra a la
1135 % sección. Siendo el vector fila i: [yi,zi]
1136 % ley_mat: ley constitutiva del material.
1137 % Siendo el vector fila i [eps_i,sig_i]
1138 % zfne: posición de la fibra neutra cuando sección en régimen elástico
1139 % y el axil es N
1140 % zfnp: posición de la fibra neutra cuando sección está plastificada
1141 % y el axil es N
1142 % chi: curvatura
1143 % condic: indica si la profundidad de plastificación es respecto
1144 % a la cara superior o inferior
1145 % <1: cara superior | 2: cara inferior>
1146 % N: valor del axil de la sección
1147 %
1148 % Outputs:
1149 % zfn: distancia de la f.n. respecto sistema ejes global (OYZ)
1150 %
1151 % Dependencias:
1152 % problFlexion.zfnAndChi_N, metNum.approot, metNum.secant, metNum.zero
1153 %
1154 %
1155
1156 tolerancia=1E-6;
1157 delta=1E-3;

```

```

1158
1159     z1=max(p(:,2));
1160     z2=min(p(:,2));
1161
1162     if zfne>zfnp , a=zfne+delta ;b=z2-delta ;
1163     else , a=zfne-delta ; b=z1+delta ;
1164     end
1165
1166     if abs(zfne-zfnp)<1E-3
1167         zfn=zfne;
1168     else
1169         f=@(zfn) N-problFlexion.zfnAndChi_N(p,ley_mat,zfn,chi);
1170         n=5;
1171         [R,x]=metNum.approot(f,a,b,n,tolerancia);
1172         if length(x)==0
1173             p0=a;
1174             p1=b;
1175             zfn=metNum.secant(f,p0,p1,tolerancia);
1176         else
1177             p0=x(1,1);
1178             p1=x(1,2);
1179             zfn=metNum.zero(p0,p1,eps,tolerancia,f);
1180         end %length(x)==0
1181     end
1182 end
1183 %
1184 %-----+
1185
1186
1187
1188 function [zfn,chi]=NAndM_zfnAndChi(p,ley_mat,N,M)
1189 %-----+
1190 %
1191 % [zfn,chi]=NAndM_zfnAndChi(p,ley_mat,N,M)
1192 %
1193 % Descripción función:
1194 % Calcular los parámetros que caracteriza una distribución de
1195 % tensiones (posición de f.n. y curvatura) asociado a un axil y momento
1196 %
1197 % Inputs:
1198 % p: conjunto vértices que determinan el polígono que encierra a la
1199 % sección. Siendo el vector fila i: [yi,zi]
1200 % ley_mat: ley constitutiva del material.
1201 % Siendo el vector fila i [eps_i,sig_i]
1202 % N: valor del axil

```

```

1203 % M: valor del momento
1204 %
1205 % Outputs:
1206 % zfn: posición de la fibra neutra en referencia al sistema de
1207 % ejes global (OYZ)
1208 % chi: curvatura de la sección asociada a la solicitación (N,M)
1209 %
1210 % Dependencias:
1211 % propSeccion.propGeom, propSeccion.propMaterial, problFlexion.N_Mp,
1212 % problFlexion.N_Me, problFlexion.zpAndN_momento,
1213 % problGeom.calculo_cambioSistCoord, problGeom.calculo_cambioSistCoord ,
1214 % metNum.approot, metNum.secant, metNum.zero ,
1215 % problFlexion.chiAndN_momento
1216 %
1217 %
1218
1219 Atot=propSeccion.propGeom(p, 'area');
1220
1221 sig_ec=propSeccion.propMaterial(ley_mat, 'sig_ec');
1222 sig_et=propSeccion.propMaterial(ley_mat, 'sig_et');
1223
1224 sig_pc=propSeccion.propMaterial(ley_mat, 'sig_pc');
1225 sig_pt=propSeccion.propMaterial(ley_mat, 'sig_pt');
1226
1227 if N<0, sig_e=sig_ec; else , sig_e=sig_et;end
1228 if N<0, sig_p=sig_pc; else , sig_p=sig_pt;end
1229
1230 Ny=sig_e*Atot;
1231 Np=sig_p*Atot;
1232
1233 tita=0;
1234
1235 if abs(N)>abs(0.99*Np)
1236 disp('Sección agotada')
1237 zfn=NaN;
1238 chi=NaN;
1239 return
1240
1241 elseif abs(N)>=abs(Ny)
1242 disp('|Np|>=|N|>=|Ny|, no se dispone de solución para este rango de valores
1243 del axil.')
1244 zfn=NaN;
1245 chi=NaN;
1246 return

```

```

1247 elseif M==0 %axil puro
1248     zfn=1E16;
1249     chi=0;
1250 else
1251
1252     if M>0, signoM='p'; else, signoM='n'; end
1253
1254     [Mp,zfnp,zpmax,signo_zpmax,condic]=problFlexion.N_Mp(p,ley_mat,N,signoM);
1255
1256     signo_zp=signo_zpmax;
1257
1258     [Me,zfne,chie,~]=problFlexion.N_Me(p,ley_mat,N,signoM);
1259     [Mmax,chimax]=problFlexion.zpAndN_momento(p,ley_mat,zfne,zfnp,zpmax*0.95,
1260           signo_zpmax,condic,N);
1261
1262     if size(ley_mat,1)>5
1263         % Caso de no ser un material perfectamente plástico
1264         %(ley constitutiva determinada por más de 5 puntos)
1265         z1=max(p(:,2));
1266         z2=min(p(:,2));
1267         h=z1-z2;
1268         if signo_zpmax=='c',signo_zpmax2='t'; else, signo_zpmax2='c'; end
1269         if condic==1, condic2=2; else, condic2=1; end
1270         zpmax2=h-zpmax;
1271         [Mmax2,chimax2]=problFlexion.zpAndN_momento(p,ley_mat,zfne,zfnp,zpmax2
1272             *0.95,signo_zpmax2,condic2,N);
1273         if abs(chimax2)>abs(chimax)
1274             chimax=chimax2;
1275             Mmax=Mmax2;
1276         end
1277     end
1278
1279     if abs(M)<=abs(Me)
1280         disp('Régimen elástico')
1281         Iy=propSeccion.propGeom(p,'IGy');
1282         zG=propSeccion.propGeom(p,'zG');
1283         z1=max(p(:,2));
1284         z2=min(p(:,2));
1285         E=propSeccion.propMaterial(ley_mat,'E');
1286         chi=M/(E*Iy);
1287         p_=problGeom.calculo_cambioSistCoord(p,0,-zG,0);
1288         %Cálculo tensión en cara superior e inferior
1289         z1_=max(p_(:,2));
1290         z2_=min(p_(:,2));
1291         sig1=N/Atot-M/Iy*z1_;

```

```

1290     sig2=N/Atot-M/Iy*z2_;
1291     zfn=(z1*sig2-z2*sig1)/(sig2-sig1);
1292
1293 elseif abs(M)<=abs(Mmax)
1294     disp('Régimen elasto-plástico')
1295
1296     delta=1E-6;
1297     tolerancia=1E-6;
1298
1299     f=@(chi) M-problFlexion.chiAndN_momento(p,ley_mat,zfne,zfnp,chi,N);
1300
1301     a=chie;
1302     b=chimax;
1303
1304     n=5;
1305     [R,x]=metNum.approot(f,a,b,n,tolerancia);
1306
1307     if length(x)==0
1308         chi0=a;
1309         chi1=b;
1310         chi=metNum.secant(f,chi0,chi1,tolerancia);
1311     else
1312         chi0=x(1,1);
1313         chi1=x(1,2);
1314         chi=metNum.zero(chi0,chi1,eps,tolerancia,f);
1315     end
1316     [M,zfn]=problFlexion.chiAndN_momento(p,ley_mat,zfne,zfnp,chi,N);
1317 elseif abs(M)<=abs(Mp)
1318     disp('Sección agotada')
1319     zfn=zfnp;
1320     chi=1E16;
1321 else
1322     disp('No se puede dar el caso. Punto (N,M) cae fuera de la superficie de
1323         interacción.')
1324     zfn=NaN;
1325     chi=NaN;
1326 end
1327 end
1328 %
1329 %
1330
1331
1332
1333 function [Ne,Me,zfne,chie,condic]=NM_NeMe(p,ley_mat,N,M)

```

```

1334 %
1335 %
1336 % [Ne,Me,zfne ,chie ,condic]=NM_NeMe(p,ley_mat ,N,M)
1337 %
1338 % Descripción función:
1339 % Calcular el momento-axil máximo que se encuentra en régimen
1340 % elástico dada una recta de carga determinada por N y M
1341 %
1342 % Inputs:
1343 % p: conjunto vértices que determinan el polígono que encierra a la
1344 % sección. Siendo el vector fila i: [yi ,zi ]
1345 % ley_mat: ley constitutiva del material.
1346 % Siendo el vector fila i [eps_i ,sig_i ]
1347 % N: valor del axil
1348 % M: valor del momento
1349 %
1350 % Outputs:
1351 % Ne: valor del axil
1352 % Me: valor del momento
1353 % zfne: posición de la f.n. cuando solicitudación es (Ne,Me)
1354 % chie: curvatura cuando solicitudación es (Ne,Me)
1355 % condic: indica el extremo que plastifica primero
1356 % <1: extremo superior | 2: extremo inferior>
1357 %
1358 % Dependencias:
1359 % propSeccion .propGeom , probGeom . calculo_cambioSistCoord ,
1360 % propSeccion .propMaterial
1361 %
1362 %
1363
1364 z1=max(p(:,2));
1365 z2=min(p(:,2));
1366
1367 Iy=propSeccion .propGeom(p,'IGy');
1368 zG=propSeccion .propGeom(p,'zG');
1369 Atot=propSeccion .propGeom(p,'area');
1370 p_=probGeom .calculo_cambioSistCoord(p,0,-zG,0);
1371 z1_=max(p_(:,2));
1372 z2_=min(p_(:,2));
1373
1374 E=propSeccion .propMaterial(ley_mat , 'E');
1375 sig_ec=propSeccion .propMaterial(ley_mat , 'sig_ec');
1376 sig_et=propSeccion .propMaterial(ley_mat , 'sig_et');
1377
1378 if N<0

```

```

1379 if M>0
1380     sig_e1=sig_ec ;
1381     sig_e2=sig_et ;
1382 else
1383     sig_e1=sig_et ;
1384     sig_e2=sig_ec ;
1385 end
1386 else
1387     if M<0
1388         sig_e1=sig_et ;
1389         sig_e2=sig_ec ;
1390     else
1391         sig_e1=sig_ec ;
1392         sig_e2=sig_et ;
1393     end
1394 end
1395 m=M/N;
1396 % Suponemos que plastifica primero cara superior
1397 % Por tanto, sig1==sig_e1 y sig2<=sig_e2
1398 condic=1;
1399 Ne=sig_e1/(1/Atot-z1_*m/Iy);
1400 Me=m*Ne;
1401 sig2=Ne/Atot-Me*z2_/Iy;
1402 if sig2>sig_e2
1403     condic=2;
1404     Ne=sig_e2/(1/Atot-z2_*m/Iy);
1405     Me=Ne*m;
1406 end
1407
1408 sig1=Ne/Atot-Me*z1_/Iy;
1409 sig2=Ne/Atot-Me*z2_/Iy;
1410
1411 zfne=(sig2*z1-z2*sig1)/(sig2-sig1);
1412 chie=-Me/(E*Iy);
1413
1414 end
1415 %
1416
1417
1418
1419 function [Np,Mp,zfnp ,zpmmax ,signo_zpmmax ,condic]=NM_NpMp(p ,ley_mat ,N,M)
1420 %
1421 %
1422 % [Np,Mp,zfnp ,zpmmax ,signo_zpmmax ,condic]=NM_NpMp(p ,ley_mat ,N,M)
1423 %

```

```

1424 % Descripción función:
1425 % Calcular el momento-axil de agotamiento dada una recta de carga
1426 % determinada por N y M
1427 %
1428 % Inputs:
1429 % p: conjunto vértices que determinan el polígono que encierra a la
1430 % sección. Siendo el vector fila i: [yi ,zi]
1431 % ley_mat: ley constitutiva del material.
1432 % Siendo el vector fila i [eps_i ,sig_i]
1433 % N: valor del axil
1434 % M: valor del momento
1435 %
1436 % Outputs:
1437 % Np: axil plástico de la sección p asociado al momento Mp
1438 % Mp: momento plástico de la sección p asociado al axil Np
1439 % zfnp: posición de la fibra neutra cuando solicitudación es: (N,Mp)
1440 % zpmax: valor de la profundidad de plastificación de la sección
1441 % medida desde el extremo que plastifica primero cuando
1442 % solicitudación es (N,Mp)
1443 % signo_zpmax: carácter de la profundidad de plastificación (zpmax)
1444 % <'t ': tracción | 'c ': compresión >
1445 % condic: indica qué extremo(superior/inferior) plastifica primero
1446 % <1: extremo superior | 2: extremo inferior >
1447 % Dependencias:
1448 % propSeccion.propMaterial , prob1Flexion.NM_NeMe,
1449 % prob1Flexion.diagrama_interaccionNM , prob1Flexion.zfnp_NpMp
1450 %
1451 %-----+
1452
1453 z1=max(p(:,2));
1454 z2=min(p(:,2));
1455
1456 sig_pt=propSeccion.propMaterial(ley_mat,'sig_pt');
1457 sig_pc=propSeccion.propMaterial(ley_mat,'sig_pc');
1458
1459 if N<0, signoN='n'; else, signoN='p';end
1460 if M<0, signoM='n'; else, signoM='p';end
1461
1462 if signoM=='p'
1463 % Caso en el que el momento es positivo
1464 sigp1=sig_pc;
1465 sigp2=sig_pt;
1466 else
1467 % Caso en el que el momento es negativo
1468 sigp1=sig_pt;

```

```

1469     sigp2=sig_pc ;
1470
end
1471
1472 [~,~,~,~,condic]=problFlexion.NM_NeMe(p,ley_mat,N,M) ;
1473
1474 m=M/N;
1475 d_int=problFlexion.diagrama_interaccionNM(p,ley_mat,signoN,signoM) ;
% Como ma<m<mb
1477 index_a=find(abs(d_int(:,4))<=abs(m));
1478 if m>0, index_a=min(index_a); else index_a=max(index_a); end
1479 ma=d_int(index_a,4);
1480 index_b=find(abs(d_int(:,4))>abs(m));
1481 if m>0, index_b=max(index_b); else , index_b=min(index_b); end
1482 mb=d_int(index_b,4);
1483 zfnp_a=d_int(index_a,3);
1484 zfnp_b=d_int(index_b,3);

1485
1486 zfnp=((m-mb)*zfnp_a+(ma-m)*zfnp_b)/(ma-mb);

1487
1488 [Np,Mp]=problFlexion.zfnp_NpMp(p,ley_mat,zfnp,signoM);
1489
1490 %Cálculo de zpmax
1491 if condic==1
1492     zpmax=z1-zfnp;
1493     if sigp1<0, signo_zpmax='c';
1494     else , signo_zpmax='t'; end
1495 else
1496     zpmax=zfnp-z2;
1497     if sigp2<0, signo_zpmax='c';
1498     else , signo_zpmax='t'; end
1499 end
1500
1501 %
1502 %=====+
1503
1504 function [Ap1,Ap2]=calcular_areasPlastificadas(p,z_)
1505 %
1506 %
1507 % [Ap1,Ap2]=calcular_areasPlastificadas(p,z_)
1508 %
1509 % Descripción función:
1510 %   Función que muestra las áreas plastificadas
1511 %
1512 % Inputs:
1513 %   p: conjunto vértices que determinan el polígono que encierra a la

```

```

1514 % sección. Siendo el vector fila i: [yi ,zi ]
1515 % z_ : valores z_ del diagrama de tensiones(referidos a la posición de
1516 % la fibra neutra)
1517 %
1518 % Outputs:
1519 % Ap1: área plastificada que queda por encima de la f.n.
1520 % Ap2: área plastificada que queda por debajo de la f.n.
1521 %
1522 % Dependencias:
1523 % problGeom . calculo_cortarArea , problGeom . cambioSistCoord
1524 %
1525 %-----+
1526 if size(z_,1)<2, Ap1=[]; Ap2=[]; return; end
1527 zmin_p=min(p(:,2));
1528 ymin_p=min(p(:,1));
1529 p=problGeom . cambioSistCoord(p,-ymin_p,-zmin_p,0); % Ponemos (0,0) en
1530 % la esquina inferior izquierda
1531
1532 %Calcular ze1 y ze2
1533 ze1=z_( find(z_==0)+1);
1534 ze2=z_( find(z_==0)-1);
1535
1536 % Calcular zfn
1537 if length(z_)==2, zfn=1E16; else zfn=min(z_);end
1538 if zfn>0; zfn=-zfn; else zfn=abs(zfn);end
1539
1540 p_=problGeom . cambioSistCoord(p,0,-zfn ,0);
1541
1542 if length(ze1)==0
1543     Ap1=[];
1544 else
1545     Ap1=problGeom . calculo_cortarArea(p_,[0 ,ze1 ,1] ,1);
1546     Ap1=problGeom . calculo_cambioSistCoord(Ap1,0 ,zfn ,0);
1547 end
1548
1549 if length(ze2)==0
1550     Ap2=[];
1551 else
1552     Ap2=problGeom . calculo_cortarArea(p_,[0 ,ze2 ,1] ,2);
1553     Ap2=problGeom . calculo_cambioSistCoord(Ap2,0 ,zfn ,0);
1554 end
1555
1556 if length(ze1)==0 && length(ze2)==0
1557     z_=unique(z_);
1558     if length(z_)>2

```

```

1559 if z_(1)>0
1560     %zfn cae por debajo de la sección
1561     ze1=z_(end-1);
1562     Ap1=problGeom.calculo_cortarArea(p_,[0,z_(end-1),1],1);
1563     Ap1=problGeom.calculo_cambioSistCoord(Ap1,0,zfn,0);
1564 else
1565     ze2=z_(2);
1566     Ap2=problGeom.calculo_cortarArea(p_,[0,z_(2),1],2);
1567     Ap2=problGeom.calculo_cambioSistCoord(Ap2,0,zfn,0);
1568 end
1569 end
1570 end
1571 end
1572 %
1573 %
1574
1575 end
1576 end

```

### B.3.5. *propSeccion*

```

1 classdef propSeccion
2 methods(Static)
3
4 %*****%
5 %
6 % propSeccion: módulo que recoge las funciones para la
7 %                 generación de las propiedades de la sección
8 % propMaterial(): función para hallar la propiedad del material
9 %
10 % propGeom(): calcular las propiedades geométricas de la sección
11 % perimetro(): calcular el perímetro
12 % calculo_area(): calcular el área de un polígono compuesto/simple
13 % Area(): calcular el área de un polígono simple
14 % calculo_Gn(): calcular el cdg de la coordenada n de un polígono
15 %                 compuesto
16 % G_n(): calcular el cdg de la coordenada n de un polígono simple
17 % calculo_Inn(): calcular el momento de inercia respecto eje n
18 %                 de un polígono compuesto/simple
19 % I_nn(): calcular el momento de inercia respecto el eje n de un
20 %                 polígono simple
21 % I_nm(): calcular el producto de inercia de un polígono simple
22 % calculo_W_n(): calcular el momento estático de un polígono
23 %                 simple/compuesto
24 % W_n(): calcular el momento estático de un polígono simple

```

```

25 %
26 %
27 % Se Asume:
28 % polígono simple: región determinada por un solo polígono (array) %
29 % polígono compuesto: región determinada por un conjunto de %
30 % polígonos (cell) %
31 %
32 %*****%
33
34
35 function propVal=propMaterial(ley_mat ,prop)
36 %-----+
37 %
38 % propVal=propMaterial(ley_mat ,prop)
39 %
40 % Descripción:
41 % Función que calcula la propiedad del material escogida
42 %
43 % Inputs:
44 % ley_mat: ley constitutiva del material. Array(Nx2). N puntos
45 %           característicos de la ley constitutiva. (eps , sig )i i={1..N}
46 %
47 % Outputs:
48 % propVal: valor de la propiedad escogida. String.
49 %           Opciones: { 'E' , 'sig_pc' , 'sig_pt' , 'eps_pc' , 'eps_pt' ,
50 %                         'sig_ec' , 'sig_et' , 'sig_ec' , 'eps_et' }
51 %
52 %
53 % Siendo:
54 %           E: módulo de Young
55 %           sig_pc: tensión plástica a compresión
56 %           sig_pt: tensión plástica a tracción
57 %           eps_pc: deformación de plastificación a compresión
58 %           eps_pt: deformación de plastificación a tracción
59 %           sig_ec: tensión en el límite elástico a compresión
60 %           sig_et: tensión en el límite elástico a tracción
61 %           eps_ec: deformación en el límite elástico a compresión
62 %           eps_et: deformación en el límite elástico a tracción
63 %
64
65 switch prop
66   case 'E'
67     sig_et=ley_mat(find(ley_mat(:,1)==0)+1,2);
68     eps_et=ley_mat(find(ley_mat(:,1)==0)+1,1);
69     E=sig_et/eps_et;

```

```

70     propVal=E;
71     case 'sig_et'
72         sig_et=ley_mat(find(ley_mat(:,1)==0)+1,2);
73         propVal=sig_et;
74     case 'sig_ec'
75         sig_ec=ley_mat(find(ley_mat(:,1)==0)-1,2);
76         propVal=sig_ec;
77     case 'eps_et'
78         eps_et=ley_mat(find(ley_mat(:,1)==0)+1,1);
79         propVal=eps_et;
80     case 'eps_ec'
81         eps_ec=ley_mat(find(ley_mat(:,1)==0)-1,1);
82         propVal=eps_ec;
83     case 'sig_pt'
84         sig_pt=max(ley_mat(:,2));
85         propVal=sig_pt;
86     case 'sig_pc'
87         sig_pc=min(ley_mat(:,2));
88         propVal=sig_pc;
89     case 'eps_pt'
90         eps_pt=ley_mat(length(ley_mat)-1,1);
91         propVal=eps_pt;
92     case 'eps_pc'
93         eps_pc=ley_mat(2,1);
94         propVal=eps_pc;
95     otherwise
96         error([ 'Introducir un valor de propiedad de material válida.',...
97                 ' Opciones: E, sig_et, sig_ec, eps_et, eps_ec',...
98                 'sig_pt, sig_pc, eps_pt, eps_pc'])]
99     end
100 end
101 %
102 %=====+
103
104
105 function propVal=propGeom(p,prop)
106 %
107 %
108 % propVal=propGeom(p,prop)
109 %
110 % Descripción función:
111 %     Calcular el valor de una propiedad geométrica, dado los vértices
112 %     de un polinomio.
113 %
114 % Inputs:

```

```

115 % p: vértices que definen polinomio. Array (Nx2), N: númer. de vértices
116 % prop: propiedad que se desea calcular. String.
117 % opciones:{'area','IGy','IGz','Iy','Iz','zG','yG','Wy','Wz'}
118 %
119 % Outputs:
120 % propVal: valor de la propiedad escogida
121 %
122 % Dependencias:
123 % propSeccion.perimetro, propSeccion.calculo_area, propSeccion.G_n,
124 % propSeccion.calculo_I_nn, problGeom.cambioSistCoord,
125 % propSeccion.calculo_W_n
126 %
127 %

128
129 switch prop
130 case 'perimetro'
131     propVal=propSeccion.perimetro(p);
132 case 'area'
133     propVal=propSeccion.calculo_area(p);
134 case 'yG'
135     propVal=propSeccion.G_n(p,1);
136 case 'zG'
137     propVal=propSeccion.calculo_G_n(p,2);
138 case 'Iy'
139     propVal=propSeccion.calculo_I_nn(p,1);
140 case 'IGy'
141     zG=propSeccion.G_n(p,2);
142     p1=problGeom.cambioSistCoord(p,0,-zG,0);
143     propVal=propSeccion.calculo_I_nn(p1,1);
144 case 'Iz'
145     propVal=propSeccion.calculo_I_nn(p,2);
146 case 'IGz'
147     yG=propSeccion.G_n(p,1);
148     p1=problGeom.cambioSistCoord(p,-yG,0,0);
149     propVal=propSeccion.calculo_I_nn(p1,2);
150 case 'Wy'
151     propVal=propSeccion.calculo_W_n(p,1);
152 case 'Wz'
153     propVal=propSeccion.calculo_W_n(p,2);
154 otherwise
155     error(['Opción de propiedad no válida. Opciones válidas:',...
156         ' area , yG, zG, Iy , Iz , IGy , IGz , Wy, Wz'])
157 end
158 end
159 %

```

```
160 %
161
162 function per=perimetro(p)
163 %
164 %
165 % Descripción función:
166 %     Calcular el perímetro de un polígono
167 %
168 % Inputs:
169 %     p: conjunto de vértices (array) que definen el polígono
170 %
171 % Outputs:
172 %     per: perímetro
173 %
174 %
175 nver=length(p);
176 per=0; %inicializamos variable
177 for i=1:nver
178     j=i+1;
179     if i==nver
180         j=1;
181     end
182     per=per+sqrt((p(i,1)-p(j,1))^2+(p(i,2)-p(j,2))^2);
183 end
184 end
185 %
186 %

187
188 function A=calculo_area(p)
189 %
190 %
191 % Descripción función:
192 %     Calcular el área de un polígono compuesto (cell) o simple (array)
193 %
194 % Inputs:
195 %     p: polígono simple (array) o compuesto (array)
196 %
197 % Outputs:
198 %     A=área de p
199 %
200 % Dependencias:
201 %     propSeccion.Area
202 %
203 %
204 if iscell(p)
```

```

205     A=0;
206     for i=1:length(p)
207         A=A+propSeccion.Area(p{i});
208     end
209     else
210         A=propSeccion.Area(p);
211     end
212 end
213 %
214 %

215
216 function A=Area(p)
217 %
218 %
219 % Descripción función:
220 %   Calcular el área de un polígono simple(array)
221 %
222 % Inputs:
223 %   p: vértices del polígono simple(array)
224 %
225 % Outputs:
226 %   A=área de p
227 %
228 %

229 A=0;
230 nver=length(p);
231 for i=1:nver
232     j=i+1;
233     if i==nver
234         j=1;
235     end
236     A=A+(p(i,1)-p(j,1))*(p(i,2)+p(j,2))/2;
237 end
238 end
239 %
240 %

241
242
243 function Gn=calculo_G_n(p,n)
244 %
245 %
246 % Descripción función:
247 %   Calcular la coordenada del centro de gravedad respecto eje n de un
248 %   polígono compuesto(cell) o simple(array)
249 %

```

```

250 % Inputs:
251 %   p: polígono simple(array) o compuesto(array)
252 %   n: eje respecto al cual queremos calcular la coordenada del c.d.g.
253 %       <1: eje de abscisas | 2: eje ordenado>
254 % Outputs:
255 %   Gn= coordenada del c.d.g.
256 %
257 % Dependencias:
258 %   propSeccion.G_n
259 %

260 if iscell(p)
261     p=conjuntoSimpleArrays(p);
262     A=0;
263     Gn=0;
264     for i=1:length(p)
265         Ai=Area(p{i});
266         A=A+Ai;
267         Gn=Gn+propSeccion.G_n(p{i},n)*Ai;
268     end
269     Gn=Gn/A;
270 else
271     Gn=propSeccion.G_n(p,n);
272 end
273 end
274 %
275 %

276
277

278 function Gn=G_n(p,n)
279 %

280 %
281 % Descripción función:
282 %   Calcular la coordenada del centro de gravedad respecto eje n de un
283 %   polígono simple(array)
284 %
285 % Inputs:
286 %   p: polígono simple(array)
287 %   n: eje respecto al cual queremos calcular la coordenada del c.d.g.
288 %       <1: eje de abscisas | 2: eje ordenado>
289 % Outputs:
290 %   Gn= coordenada del c.d.g.
291 % Dependencias:
292 %   propSeccion.W_n, propSeccion.Area
293 %
294 %

```

```

295  if n==1
296      m=2;
297  else
298      m=1;
299  end
300  Gn=propSeccion.W_n(p,m)/propSeccion.Area(p);
301 end
302 %
303 %

304
305
306 function Inn=calculo_I_nn(p,n)
307 %
308 %
309 % Descripción función:
310 % Calcular el momento de inercia respecto el eje n de un polígono
311 % simple o compuesto
312 %
313 % Inputs:
314 % p: polígono simple(array) o compuesto(array)
315 % n: eje respecto al cual queremos calcular la coordenada del c.d.g.
316 % <1: eje de abscisas | 2: eje ordenado>
317 %
318 % Outputs:
319 % Inn: momento de inercia respecto eje n
320 %
321 % Dependencias:
322 % propSeccion.I_nn
323 %
324 %

325 if iscell(p)
326     Inn=0;
327     for i=1:length(p)
328         Inn=Inn+propSeccion.I_nn(p{i},n);
329     end
330 else
331     Inn=propSeccion.I_nn(p,n);
332 end
333 end
334 %
335 %

336
337 function Inn=I_nn(p,n)
338 %
339 %

```

```

340 % Descripción función:
341 % Calcular el momento de inercia de un polígono simple respecto el
342 % eje n
343 %
344 % Inputs:
345 % p: polígono simple(array)
346 % n: eje respecto al cual queremos calcular el momento de inercia
347 % < 1: eje de abscisas | 2: eje ordenado >
348 %
349 % Outputs:
350 % Inn: momento de inercia de p respecto de n
351 %
352 %

353 Inn=0;
354 if n==1
355     m=2;
356 else
357     m=1;
358 end
359 nver=length(p);
360 for i=1:nver
361     j=i+1;
362     if i==nver
363         j=1;
364     end
365     Inn=Inn+(-1)^n*(p(j,n)-p(i,n))*(p(i,m)^3+ ...
366     p(i,m)^2*p(j,m)+p(i,m)*p(j,m)^2+p(j,m)^3)/12;
367 end
368 end
369 %
370 %

371
372
373 function Inm=I_nm(p)
374 %
375 %
376 % Descripción función:
377 % Calcular producto de inercia de un polígono simple
378 %
379 % Inputs:
380 % p: polígono simple
381 %
382 % Outputs:
383 % Inm: producto de inercia
384 %

```

```

385 %
386 Inm=0;
387 nver=length(p);
388 for i=1:nver
389     j=i+1;
390     if i==nver
391         j=1;
392     end
393     w_A=9*p(i,2)^2+6*p(i,2)*p(j,2)+3*p(j,2)^2; %var auxiliar
394     w_B=3*p(i,2)^2+6*p(i,2)*p(j,2)+9*p(j,2)^2; %var auxiliar
395     Inm=Inm+(p(i,1)-p(j,1))*(p(i,1)*w_A+p(j,1)*w_B)/72;
396 end
397 end
398 %
399 %

400
401
402 function Wn=calculo_W_n(p,n)
403 %
404 %
405 % Descripción función:
406 %   Calcular el momento estático de un polígono simple/compuesto
407 % respecto eje n
408 %
409 % Inputs:
410 %   p: polígono simple compuesto
411 %   n: eje respecto al cual calculamos momento estático
412 %       <1: eje de abscisas | 2: eje ordenado>
413 %
414 % Outputs:
415 %   wn: momento estático de p respecto el eje n
416 %
417 % Dependencias:
418 %   propSeccion.W_n
419 %
420 %

421 if iscell(p)
422     Wn=0;
423     for i=1:length(p)
424         Wn=Wn+propSeccion.W_n(p{i},n);
425     end
426 else
427     Wn=propSeccion.W_n(p,n);
428 end
429 end

```

```

430 %
431 %
432
433
434 function Wn=W_n(p ,n)
435 %
436 %
437 % Descripción función:
438 % Calcular el momento estático de un polígono simple respecto un eje
439 %
440 % Inputs:
441 % p: polígono simple
442 % n: eje respecto al cual se calcula el momento estático
443 % <1: eje de abscisas | 2: eje ordenado>
444 %
445 % Outputs:
446 % Wn: momento estático de p respecto del eje n
447 %
448 %
449 Wn=0;
450 if n==1
451 m=2;
452 else
453 m=1;
454 end
455 nver=length (p) ;
456 for i=1:nver
457 j=i+1;
458 if i==nver
459 j =1;
460 end
461 Wn=Wn+(-1)^n*(p(j ,n)-p(i ,n ))*(p(i ,m)^2+p(i ,m)*p(j ,m)+p(j ,m)^2)/6;
462 end
463 end
464 %
465 %
466
467 end
468 end

```

### B.3.6. *metNum*

```

1 classdef metNum
2 methods( Static )
3

```

```

4  %*****%
5  %
6  % metNum: módulo para la resolución de problemas de Métodos Numéricos %
7  %           (Resolución de ecuaciones no lineales) %
8  %
9  % Funciones que contiene: %
10 %   approot(): hallar el intervalo que contiene una raíz de f(x)=0 %
11 %   zero(): método de Brent %
12 %   secant(): método de la secante %
13 %
14 %*****%
15
16
17 function [R,x]=approot(f ,a ,b ,n ,epsilon)
18 %-----+
19 %
20 % R=approot(f ,a ,b ,n ,epsilon)
21 %
22 % Descripción función:
23 %   Función que estima la posición de una raíz dada una función y un
24 %   intervalo que contiene la raíz de dicha función
25 %
26 % Inputs:
27 %   f: función de la que queremos encontrar el intervalo
28 %   a,b: valores que encierran el intervalo donde se estima que existe
29 %         una raíz
30 %   n: número de puntos del intervalo donde se evaluará la función
31 %   epsilon: tolerancia
32 %
33 % Outputs:
34 %   R: raíz estimada
35 %   x: el intervalo que contiene una raíz
36 %
37 % Fuente:
38 %   Numerical Methods Using MATLAB. 3ra Edición, Cap.2 – John H. Mathews,
39 %   Kurtis D. Fink
40 %
41 %-----+
42
43 R=[];
44 x=[];
45 X=linspace(a ,b ,n );
46 fa=f(X(1));
47 for i=2:n
48     fb=f(X(i));

```

```
49     if fb*fa<=0
50         R=(X(i-1)+X(i))/2;
51         x=[X(i-1),X(i)];
52         fa=fb;
53         return
54     end
55 end
56 %
57 %
58 %=====
59
60
61 function value = zero ( a, b, machepr, t, f )
62 %*****80
63 %
64 %%ZERO seeks the root of a function F(X) in an interval [A,B].
65 %
66 % Discussion:
67 %
68 % The interval [A,B] must be a change of sign interval for F.
69 % That is, F(A) and F(B) must be of opposite signs. Then
70 % assuming that F is continuous implies the existence of at least
71 % one value C between A and B for which F(C) = 0.
72 %
73 % The location of the zero is determined to within an accuracy
74 % of 6 * MACHEPS * abs ( C ) + 2 * T.
75 %
76 % Thanks to Thomas Secretin for pointing out a transcription error in the
77 % setting of the value of P, 11 February 2013.
78 %
79 % Licensing:
80 %
81 % This code is distributed under the GNU LGPL license.
82 %
83 % Modified:
84 %
85 % 11 February 2013
86 %
87 % Author:
88 %
89 % Original FORTRAN77 version by Richard Brent
90 % MATLAB version by John Burkardt
91 %
92 % Reference:
93 %
```

```
94 % Richard Brent ,
95 % Algorithms for Minimization Without Derivatives ,
96 % Dover , 2002 ,
97 % ISBN: 0-486-41998-3,
98 % LC: QA402.5.B74 .
99 %
100 % Parameters:
101 %
102 % Input , real A, B, the endpoints of the change of sign interval .
103 %
104 % Input , real MACHEP, an estimate for the relative machine
105 % precision .
106 %
107 % Input , real T, a positive error tolerance .
108 %
109 % Input , real value = F ( x ), the name of a user-supplied
110 % function which evaluates the function whose zero is being sought .
111 %
112 % Output, real VALUE, the estimated value of a zero of
113 % the function F .
114 %
115 %
116 %
117 % Make local copies of A and B .
118 %
119     sa = a ;
120     sb = b ;
121     fa = f ( sa ) ;
122     fb = f ( sb ) ;
123
124     c = sa ;
125     fc = fa ;
126     e = sb - sa ;
127     d = e ;
128
129     while ( 1 )
130
131         if ( abs ( fc ) < abs ( fb ) )
132
133             sa = sb ;
134             sb = c ;
135             c = sa ;
136             fa = fb ;
137             fb = fc ;
138             fc = fa ;
```

```
139
140     end
141
142     tol = 2.0 * machep * abs ( sb ) + t ;
143     m = 0.5 * ( c - sb );
144
145     if ( abs ( m ) <= tol || fb == 0.0 )
146         break
147     end
148
149     if ( abs ( e ) < tol || abs ( fa ) <= abs ( fb ) )
150
151         e = m;
152         d = e ;
153
154     else
155
156         s = fb / fa ;
157
158         if ( sa == c )
159
160             p = 2.0 * m * s ;
161             q = 1.0 - s ;
162
163         else
164
165             q = fa / fc ;
166             r = fb / fc ;
167             p = s * ( 2.0 * m * q * ( q - r ) - ( sb - sa ) * ( r - 1.0 ) );
168             q = ( q - 1.0 ) * ( r - 1.0 ) * ( s - 1.0 );
169
170         end
171
172         if ( 0.0 < p )
173             q = - q;
174         else
175             p = - p;
176         end
177
178         s = e ;
179         e = d ;
180
181         if ( 2.0 * p < 3.0 * m * q - abs ( tol * q ) && p < abs ( 0.5 * s * q ) )
182             d = p / q;
183         else
```

```

184         e = m;
185         d = e ;
186     end
187
188 end
189
190     sa = sb ;
191     fa = fb ;
192
193     if ( tol < abs ( d ) )
194         sb = sb + d;
195     elseif ( 0.0 < m )
196         sb = sb + tol;
197     else
198         sb = sb - tol;
199     end
200
201     fb = f ( sb );
202
203     if ( ( 0.0 < fb && 0.0 < fc ) || ( fb <= 0.0 && fc <= 0.0 ) )
204         c = sa ;
205         fc = fa ;
206         e = sb - sa ;
207         d = e ;
208     end
209
210 end
211
212     value = sb ;
213
214 return
215 end
216 %
217 %
218
219
220 function [p,f,nit]=secant(fun,p0,p1,tolerancia)
221 %
222 %
223 % [p,err,nit]=secant(fun,p0,p1,tolerancia)
224 %
225 % Descripción función:
226 %   Función que calcula la raíz de una función(fun) por medio del
227 % Método de la secate
228 %

```

```
229 % Inputs:  
230 % fun: función(ha de ser anonymous)  
231 % p0, p1: puntos que pertenecen al dominio de la función  
232 % tolerancia: tolerancia  
233 %  
234 % Outputs:  
235 % p: raíz de la función(fun)  
236 % f: valor de la función en p  
237 % nit: número de iteraciones  
238 %  
239 % Se asume:  
240 % - fun: fun es una función anonymous, i.e. es de la forma  
241 % fun=@(x) f(x)  
242 %  
243 % Fuente:  
244 % Numerical Methods Using MATLAB. 3ra Edición, Cap.2 - John H. Mathews,  
245 % Kurtis D. Fink  
246 %  
247 %-----+  
248  
249 nitMax=500; %número máximo de iteraciones permitidas  
250 delta=tolerancia;  
251  
252 f0=fun(p0);  
253 f1=fun(p1);  
254 nit=0;  
255  
256 if abs(f0)<tolerancia  
257     p=p0;  
258     f=f0;  
259 elseif abs(f0)<tolerancia  
260     p=p1;  
261     f=f1;  
262 else  
263     f=-9999;  
264     nit=0; %inicializamos variable  
265  
266 while abs(f)>tolerancia  
267     p=p1-f1*(p1-p0)/(f1-f0);  
268     f=fun(p);  
269  
270     p0=p1;  
271     f0=f1;  
272     p1=p;  
273     f1=f;
```

```

274
275 %% Evitar errores de redondeo debido a p0 y p1 próximos (lo que es
276 % lo mismo a f0 y f1 próximos)
277 if abs(p0-p1)<delta
278     p0=p0;
279     f0=f0;
280     p1=p;
281     f1=f;
282 end
283
284 nit=nit+1;
285 if nit>nitMax, error('Solución no converge.');?>
286 return, end
287 end
288 end
289 %
290 %-----
```

---

```

291
292
293 end % method( Static )
294 end % classdef metNum
```

### B.3.7. *problGeom*

```

1 classdef problGeom
2 methods( Static )
3
4 %*****%
5 %
6 % problGeom(): módulo que recoge las funciones que calculan los %
7 % problemas geométricos %
8 % calculo_cambioSistCoord(): cambiar el sistema de referencias de %
9 % los vértices de un polígono simple o compuesto %
10 % cambioSistCoord(): cambiar el sistema de referencias de los %
11 % vértices de un polígono simple %
12 % calculo_pc_poly_r(): calcular los puntos de corte entre una recta %
13 % y un polígono simple o compuesto %
14 % pc_poly_r(): calcular los puntos de corte entre una recta y un %
15 % polígono simple o compuesto %
16 % calculo_cortarArea(): determinar la porción de un polígono simple %
17 % o compuesto que queda a un lado de una recta %
18 % clipArea(): determinar la porción de un polígono simple o compuesto %
19 % que queda a un lado de una recta %
20 % conjuntoSimpleArrays(): convertir un conjunto de cell en un %
21 % conjunto de arrays %
```

```

22 %
23 %*****%
24 %
25 %
26 function ptos=calculo_cambioSistCoord(p,dx,dy,tita)
27 %-----+
28 %
29 % ptos=calculo_cambioSistCoord(p,dx,dy,tita)
30 %
31 % Descripción función:
32 % Función que cambia el sistema de referencia de un conjunto
33 % de puntos(2D). (Contempla el caso de cambiar el sistema de
34 % referencia de más de un conjunto de puntos, polígonos compuestos)
35 %
36 % Inputs:
37 % p: conjunto de puntos que se desea trasladar y/o rotar
38 % dx: traslación del eje x
39 % dy: traslación del eje y
40 % tita: ángulo de giro(radianes)
41 %
42 % Outputs:
43 % ptos: puntos(p) referidos al nuevo sistema de coordenadas
44 %
45 % Dependencias:
46 % conjuntoSimpleArrays, cambioSistCoord
47 %
48 %-----+
49
50 if iscell(p)
51 p=problGeom.conjuntoSimpleArrays(p);
52 for i=1:length(p)
53 ptos{i}=problGeom.cambioSistCoord(p{i},dx,dy,tita);
54 end
55 else
56 ptos=problGeom.cambioSistCoord(p,dx,dy,tita);
57 end
58 end
59 %
60 %-----+
61
62
63
64 function ptos=cambioSistCoord(p,dx,dy,tita)
65 %-----+
66 %

```

```

67 % ptos=cambioSistCoord(p,dx,dy,tita)
68 %
69 % Descripción función:
70 % Función que cambia el sistema de referencia de un conjunto
71 % de puntos(2D) recogidos en un array.
72 %
73 % Inputs:
74 % p: conjunto de puntos que se desea trasladar y/o rotar
75 % dx: traslación del eje x
76 % dy: traslación del eje y
77 % tita: ángulo de giro(radianes)
78 %
79 % Outputs:
80 % ptos: puntos(p) referidos al nuevo sistema de coordenadas
81 %
82 %-----+
83 ptos=[];%inicializamos variable
84 for i=1:length(p)
85     %Rotamos(tita) y trasladamos(dx,dy)
86     pto=[[cos(tita),sin(tita)]; ...
87     [-sin(tita),cos(tita)]]*p(i,:)'+[dx;dy];%2x1
88     pto=(pto)';%1x2
89     %Incorporamos este punto(pto) en la lista de puntos(ptos)
90     ptos=[ptos;pto];
91 end
92 end
93 %
94 %-----+
95
96
97 function pc=calculo_pc_poly_r(p,r)
98 %-----+
99 %
100 % p_corte=pc_poly_r(p,r)
101 %
102 % Descripción función:
103 % Función que calcula los puntos de corte entre una recta
104 % y un polígono. (Contempla el caso de calcular puntos de
105 % corte de una sección compuesta por diferentes porciones)
106 %
107 % Inputs:
108 % p: vértices que definen el polígono
109 % r: recta de la forma c*y=a*x+b. Array 1x3.
110 % Siendo:
111 % [r(1),r(2),r(3)]=[a,b,c]

```

```

112 %
113 % Outputs:
114 %     p_corte: puntos de corte entre el polígono(p) y la recta(r)
115 %
116 % Dependencias:
117 %     conjuntoSimpleArrays , pc_poly_r
118 %
119 %

120
121 if iscell(p)
122     p=problGeom.conjuntoSimpleArrays(p);
123     pc=[];
124     for i=1:length(p)
125         pc_i=problGeom.pc_poly_r(p{i},r);
126         pc=[pc;pc_i];
127     end
128 else
129     pc=problGeom.pc_poly_r(p,r);
130 end
131 end
132 %
133 %

134
135
136 function p_corte=pc_poly_r(p,r)
137 %
138 %
139 % p_corte=pc_poly_r(p,r)
140 %
141 % Descripción función:
142 %     Función que calcula los puntos de corte entre una recta
143 %     y un polígono.
144 %
145 % Inputs:
146 %     p: vértices que definen el polígono
147 %     r: recta de la forma c*y=a*x+b. Array 1x3.
148 %         Siendo:
149 %             [r(1),r(2),r(3)]=[a,b,c]
150 %
151 % Outputs:
152 %     p_corte: puntos de corte entre el polígono(p) y la recta(r)
153 %
154 %

155
156 if size(p,1)<2

```

```

157     error( 'Para el cálculo de los puntos de corte al menos se requiere una
158         arista (dos puntos)' )
159     return
160
161     if size(p,1)>2 && p(1,1)==p(end,1) && p(1,2)==p(end,2)
162         p=p(1:end-1,:);
163     end
164
165     tolerancia=1E-6;
166
167     a=r(1);
168     b=r(2);
169     c=r(3);
170     nver=length(p);
171     p_corte=[];
172
173     for i=1:nver
174         if i==nver
175             j=1;
176         else
177             j=i+1;
178         end
179
180         corta_rAndli=(( -a*p(i,1)+c*p(i,2))>b && ( -a*p(j,1)+c*p(j,2))<b) || ...
181                         (( -a*p(i,1)+c*p(i,2))<b && ( -a*p(j,1)+c*p(j,2))>b);
182
183         if ( -a*p(i,1)+c*p(i,2))==b
184             %Caso en el que li y r son paralelas
185             p_corte=[p_corte;p(i,:)];
186
187         elseif corta_rAndli
188
189             if p(i,1)==p(j,1)
190                 %Si x_i==x_i+1 --> se trata ec. recta x=x_i
191                 ci=0;
192                 ai=1;
193                 bi=-p(i,1);
194             else
195                 ci=1;
196                 ai=(p(j,2)-p(i,2))/(p(j,1)-p(i,1));
197                 bi=p(i,2)-ai*p(i,1);
198             end
199
200             if abs(-a*ci+c*ai)>tolerancia

```

```

201      % Resolvemos por Cramer
202      pc(1)=(b*ci-bi*c)/(-a*ci+c*ai);
203      pc(2)=(-a*bi+b*ai)/(-a*ci+c*ai);
204      p_corte=[p_corte;pc];
205  end
206 end
207
208 end
209 end
210 %
211 %=====
212
213
214 function A=calculo_cortarArea(p,r,condic)
215 %+
216 %
217 % A=calculo_cortarArea(p,r,condic)
218 %
219 % Descripción función:
220 % Función que determina el polígono resultante de
221 % dividir un área por medio de una recta. El polígono resultante
222 % es aquel que cae a un lado de la recta (especificado con condic)
223 % (Contempla el caso de calcular los polígonos que cumplen
224 % la condición de una sección compuesta por diferentes porciones)
225 %
226 % Inputs:
227 % p: vértices que definen el polígono(array) o conjunto de
228 % polígonos(cell)
229 % r: recta de la forma. c*y=a*x+b. Array 1x3.
230 % Siendo: r=[a,b,c]
231 % condic: condición que determina que lado de la recta escogemos.
232 % Siendo:
233 %         condic==1, si c*y-a*x>=b
234 %         condic==2, si c*y-a*x<=b
235 %
236 % Outputs:
237 % Ai: polígono o conjunto de polígonos que cumplen la condición
238 % esto es, forma parte de p y cae a un lado de r(condic)
239 %
240 % Se asume:
241 % Orden de la sucesión de vértices de p en s.a.r. si arista forma
242 % parte de arista exterior, s.c.a.r. si la arista forma parte de un
243 % agujero
244 %
245 % Dependencias:

```

```

246 % conjuntoSimpleArrays , clipArea
247 %
248 if iscell(p)
249 p=problGeom.conjuntoSimpleArrays(p);
250 pc=problGeom.calculo_pc_poly_r(p,r);
251 if pc(1,1)~==pc(2,1)
252 % caso en el que r no es vertical
253 C1=pc(pc(:,1)==min(pc(:,1)),:); % pto de corte con la componente
254 % horizontal mínima
255 C2=pc(pc(:,1)==max(pc(:,1)),:); % pto de corte con la componente
256 % horizontal máxima
257 else
258 %En el caso de que r sea vertical
259 C1=pc(pc(:,2)==max(pc(:,2)),:); % pto de corte con la componente
260 % vertical máxima
261 C2=pc(pc(:,2)==min(pc(:,2)),:); % pto de corte con la componente
262 % vertical mínima
263 end
264
265 n=(C2-C1)/norm(C2-C1); % dirección de r
266
267 for i=1:length(p)
268 pc_i=problGeom.pc_poly_r(p{i},r);
269 if length(pc_i)==0
270 ni=(p{i}(1,:)-C1)/norm(p{i}(1,:)-C1);
271 % Si no hay punto de corte pero un punto cumple condición. Entonces
272 % todos cumplen(caso en el que no porción forme parte de una sección,
273 % cumple condición pero no corta la recta)
274 if (-1)^(condic-1)*det([n;ni])>0,A{i}=p{i}, end
275 else
276 A{i}=problGeom.clipArea(p{i},r,condic);
277 end
278 end
279 A=problGeom.conjuntoSimpleArrays(A);
280 A=A(~cellfun('isempty',A)); % como la salida de clipArea puede ser vacío
281 % para cierto p{i}, hay que quitar esos elementos
282 else
283 A=problGeom.clipArea(p,r,condic);
284 end
285 %
286 %
287

```

```

288 function Ai=clipArea(vertexArray ,r ,condic)
289 %
290 %
291 % Ai=clipArea(vertexArray ,r ,condic)
292 %
293 % Descripción función:
294 % Función que determina el polígono resultante de
295 % dividir un área por medio de una recta. El polígono resultante
296 % es aquel que cae a un lado de la recta(especificado con condic)
297 %
298 % Inputs:
299 % vertexArray: vértices que definen el polígono
300 % r: recta de la forma. c*y=a*x+b. Array 1x3.
301 % Siendo: r=[a,b,c]
302 % condic: condición que determina que lado de la recta escogemos.
303 % Siendo:
304 % condic==1, si c*y-a*x>=b
305 % condic==2, si c*y-a*x<=b
306 %
307 % Outputs:
308 % Ai: polígono o conjunto de polígonos que cumplen la condición
309 % esto es, forma parte de vertexArray y cae a un lado de r(condic)
310 %
311 % Se asume:
312 % Orden de la sucesión de vértices de p en s.a.r. si arista forma
313 % parte de arista exterior , s.c.a.r. si la arista forma parte de un
314 % agujero
315 %
316 % Referencias:
317 % Algoritmo basado en la función clipArea() de:
318 % Louis H. Turcotte and Howard B. Wilson. Computer Applications
319 % in Mechanics of Materials Using MATLAB. Prentice Hall , 1998.
320 %
321 % Válido para polígonos convexos , cóncavos y con huecos(convexos)
322 %
323 %
324 tol=eps*1E4; % Valor que consideramos como cero
325 %
326 %
327 % Garantizar que el primer vértice y el último no es el mismo
328 if abs(vertexArray(1,1)-vertexArray(end,1))<tol && abs(vertexArray(1,2)-
329 vertexArray(end,2))<tol
330 vertexArray=vertexArray(1:end-1,:);
331 end

```

```

332     a=r(1);
333     b=r(2);
334     c=r(3);
335
336     nvert=size(vertexArray,1);
337
338     %B: matriz booleana que indica qué puntos cumplen condición
339     %Ver qué vértices del polígono cumplen la condición
340     B=zeros(1,nvert+1);
341     vi_In_r=0;
342     for i=1:nvert
343         if abs(c*vertexArray(i,2)-a*vertexArray(i,1)-b)<tol
344             B(i)=0;
345             vi_In_r=vi_In_r+1;
346         else
347             if condic==1
348                 if c*vertexArray(i,2)-a*vertexArray(i,1)>b
349                     B(i)=1;
350                 end
351             else %condic==2
352                 if c*vertexArray(i,2)-a*vertexArray(i,1)<b
353                     B(i)=1;
354                 end
355             end
356         end
357     end %for
358
359     B(end)=B(1);
360
361     %Calcular número de puntos de corte (npc)
362     npc=0;
363     for i=1:nvert
364         existePc=(B(i)==0 && B(i+1)==1) || (B(i)==1 && B(i+1)==0);
365         if existePc, npc=npc+1; end
366     end
367
368     %Calcular número de puntos que cumplen la condición y no están
369     %sobre recta r (nB1)
370     nB1=length(find(B(1:end-1)==1));
371
372     if all(B==0); Ai=[]; return, end %Caso en el que ningún vértice
373                                         %cumple la condición, Ai=[]
374     if all(B==1) && vi_In_r==0, Ai=[]; return; end %Si todos los puntos
375                                         %cumplen condición, pero ninguno se
376                                         %encuentra sobre recta r, Ai=[]

```

```

377 if nB1+vi_In_r==nvert , Ai=vertexArray; return , end % Caso en el que
378 % todos los puntos cumplen condición y r tg a vertexArray
379
380 % Calcular array R
381
382 % inicializamos variables
383 nR=nB1+npc;
384 R=nan(nR,2);
385 pcArray=nan(npc,2);
386 indexR=1;
387 i_pc=1;
388 nOutIn=str2num(sprintf('%.0f',npc/2))+1;
389 index_outInArray=nan(nOutIn,1);
390 index_p0outInArray=nan(nOutIn,1);
391 index_v0outInArray=nan(nOutIn,1);
392 index_outIn=1;
393
394 for i=1:nvert
395 if i==nvert , j=1; else , j=i+1; end
396 if B(i)==0
397 if B(j)==1
398 if abs(c*vertexArray(j,2)-a*vertexArray(j,1)-b)<tol
399 pc=vertexArray(j,:);
400 else
401
402 if vertexArray(i,1)==vertexArray(j,1)
403 %Si x_i==x_i+1 --> se trata ec. recta x=x_i
404 ci=0;
405 ai=1;
406 bi=-vertexArray(i,1);
407 else
408 ci=1;
409 ai=(vertexArray(j,2)-vertexArray(i,2))/(vertexArray(j,1)-vertexArray(i,1));
410 bi=vertexArray(i,2)-ai*vertexArray(i,1);
411 end
412 % Resolvemos por Cramer
413 pc(1)=(b*ci-bi*c)/(-a*ci+c*ai);
414 pc(2)=(-a*bi+b*ai)/(-a*ci+c*ai);
415
416 end
417 R(indexR,1)=pc(1,1);
418 R(indexR,2)=pc(1,2);
419 index_outInArray(index_outIn)=indexR;
420 index_v0outInArray(index_outIn)=i;

```

```

421     index_outIn=index_outIn+1;
422     indexR=indexR+1;
423
424     pcArray(i_pc,1)=pc(1,1);
425     pcArray(i_pc,2)=pc(1,2);
426     i_pc=i_pc+1;
427 end
428
429 else %if B(i)==1
430     R(indexR,1)=vertexArray(i,1);
431     R(indexR,2)=vertexArray(i,2);
432     indexR=indexR+1;
433 if B(j)==0
434     if abs(c*vertexArray(i,2)-a*vertexArray(i,1)-b)<tol
435         pc=vertexArray(i,:);
436     else
437
438         if vertexArray(i,1)==vertexArray(j,1)
439             %Si x_i==x_{i+1} --> se trata ec. recta x=x_i
440             ci=0;
441             ai=1;
442             bi=-vertexArray(i,1);
443         else
444             ci=1;
445             ai=(vertexArray(j,2)-vertexArray(i,2))/(vertexArray(j,1)-vertexArray(i,1));
446             bi=vertexArray(i,2)-ai*vertexArray(i,1);
447         end
448         % Resolvemos por Cramer
449         pc(1)=(b*ci-bi*c)/(-a*ci+c*ai);
450         pc(2)=(-a*bi+b*ai)/(-a*ci+c*ai);
451     end % caso en que B(i)==0 B(i+1)==1
452     R(indexR,1)=pc(1,1);
453     R(indexR,2)=pc(1,2);
454     indexR=indexR+1;
455
456     pcArray(i_pc,1)=pc(1,1);
457     pcArray(i_pc,2)=pc(1,2);
458     i_pc=i_pc+1;
459 end
460 end
461 end
462
463 if isnan(index_outInArray(end,1)), index_outInArray=index_outInArray(1:end
-1,:); end

```

```

464 if isnan (R(end,1)) , R=R(1:end-1,:); end
465 nR=size(R,1);

466
467 % Inicializamos
468 i_Ai=1;
469 i_0=1;

470
471 % Generar los polígonos
472 for i=1:length(index_outInArray)
473     if index_outInArray(i)~=1 && index_outInArray(i)<=nR
474         pcArray_aux=setdiff(pcArray,[R(index_outInArray(i)-1,:);R(index_outInArray(i)
475             ),:] , 'rows');
476         if c==0
477             % Si r es una recta vertical
478             ymax=max(R(index_outInArray(i)-1,2),R(index_outInArray(i),2));
479             ymin=min(R(index_outInArray(i)-1,2),R(index_outInArray(i),2));
480
481             if any((ymax-pcArray_aux(:,2))>tol & (pcArray_aux(:,2)-ymin)>tol)
482                 isAny_pcInLi=1;
483             else
484                 isAny_pcInLi=0;
485             end
486
487         else
488             xmax=max(R(index_outInArray(i)-1,1),R(index_outInArray(i),1));
489             xmin=min(R(index_outInArray(i)-1,1),R(index_outInArray(i),1));
490             if any((xmax-pcArray_aux(:,1))>tol & (pcArray_aux(:,1)-xmin)>tol)
491                 isAny_pcInLi=1;
492             else
493                 isAny_pcInLi=0;
494             end
495         end
496     p1=R(index_outInArray(i)-1,:);
497     p2=vertexArray(index_v0outInArray(i),:);
498     p3=R(index_outInArray(i),:);
499     a1=p2(1)*p3(2)-p3(1)*p2(2);
500     a2=p3(1)*p1(2)-p1(1)*p3(2);
501     a3=p1(1)*p2(2)-p2(1)*p1(2);

502     if (a1+a2+a3)<tol*10
503         if (abs(p1(1)-p2(1))<tol && abs(p1(2)-p2(2))<tol && abs(p1(1)-p3(1))<tol
504             && abs(p1(2)-p3(2))<tol) && index_outInArray(i)>1 && index_outInArray(i)
505             <nR
506             p1=R(index_outInArray(i)-2,:);
507             p3=R(index_outInArray(i)+1,:);

```

```

506     a1=p2(1)*p3(2)-p3(1)*p2(2) ;
507     a2=p3(1)*p1(2)-p1(1)*p3(2) ;
508     a3=p1(1)*p2(2)-p2(1)*p1(2) ;
509
510    elseif abs(p2(1)-p3(1))<tol && abs(p2(2)-p3(2))<tol && index_outInArray(i)
511        <nR
512        p3=R(index_outInArray(i)+1,:);
513        a1=p2(1)*p3(2)-p3(1)*p2(2) ;
514        a2=p3(1)*p1(2)-p1(1)*p3(2) ;
515        a3=p1(1)*p2(2)-p2(1)*p1(2) ;
516
517    end
518
519    if (isAny_pcInLi || a1+a2+a3<=0) && ~(abs(p1(1)-vertexArray(1,1))<tol &&
520        abs(p1(2)-vertexArray(1,2))<tol && abs(p1(1)-p2(1))<tol && abs(p1(2)-p2
521        (2))<tol && abs(p1(1)-p3(1))<tol && abs(p1(2)-p3(2))<tol)
522        n=index_outInArray(i)-1-i_0;
523        Ai{i_Ai}=nan(n,2) ;
524        m=1;
525        for j=i_0:index_outInArray(i)-1
526            Ai{i_Ai}(m,1)=R(j,1) ;
527            Ai{i_Ai}(m,2)=R(j,2) ;
528            m=m+1;
529        end
530
531        i_0=index_outInArray(i) ;
532        i_Ai=i_Ai+1;
533
534    end
535
536
537    Ai{i_Ai}=R(i_0:end,:) ;
538    % Problema polígonos con huecos (puntos repetidos)
539    if size(Ai{end},1)==1 && length(Ai)>3 && abs(Ai{end}(1,1)-Ai{end-1}(end,1))<
540        tol && abs(Ai{end}(1,2)-Ai{end-1}(end,2))<tol , Ai=Ai(1,1:end-1); end
541
542    if ismember(i_0,index_outInArray) && i_0~=1
543        pcArray_aux=setdiff(pcArray,[Ai{end}(1,:);Ai{1}(end,:) ],'rows');
544        if c==0
545            % Si r es una recta vertical
546            ymax=max(Ai{end}(1,2),Ai{1}(end,2));
            ymin=min(Ai{end}(1,2),Ai{1}(end,2));

```

```

547
548     if any((ymax-pcArray_aux(:,2))>tol & (pcArray_aux(:,2)-ymin)>tol)
549         isAny_pcInLi=1;
550     else
551         isAny_pcInLi=0;
552     end
553
554 else
555     xmax=max(Ai{end}(1,1),Ai{1}{end,1});
556     xmin=min(Ai{end}(1,1),Ai{1}{end,1});
557
558     if any((xmax-pcArray_aux(:,1))>tol & (pcArray_aux(:,1)-xmin)>tol)
559         isAny_pcInLi=1;
560     else
561         isAny_pcInLi=0;
562     end
563 end
564
565 p1=Ai{1}{end-1,:};
566 p2=Ai{1}{end,:};
567 p3=Ai{end}(1,:);
568 a1=p2(1)*p3(2)-p3(1)*p2(2);
569 a2=p3(1)*p1(2)-p1(1)*p3(2);
570 a3=p1(1)*p2(2)-p2(1)*p1(2);
571
572 if (~isAny_pcInLi && a1+a2+a3>0) || (size(Ai{1},1)==2 && abs(a1+a2+a3)<tol*10
573 && size(Ai{end},1)==1)
574     Ai{1}=[Ai{1};Ai{end}];
575     Ai=Ai(1,1:end-1);
576
577     if abs(Ai{1}{end,1}-Ai{1}(1,1))<tol && abs(Ai{1}{end,2}-Ai{1}(1,2))<tol ,
578         Ai{1}=Ai{1}(1:end-1,:);end
579 end
580
581 % Si Ai es un polígono simple, cell --> array
582 if length(Ai)==1, Ai=Ai{1}; end
583 end
584 %
585
586
587 function pSimple=conjuntoSimpleArrays(p)
588 %
589 %

```

```
590 % pSimple=conjuntoSimpleArrays(p)
591 %
592 % Descripción función:
593 %   Función que convierte un conjunto de conjuntos(un cell con elementos
594 %   cell) en un conjunto de arrays(un cell con todos sus
595 %   componentes arrays)
596 %
597 % Inputs:
598 %   p: conjunto de conjuntos(estructura cell)
599 %
600 % Outputs:
601 %   pSimple: conjunto de arrays
602 %
603 %-----+
604 for i=1:length(p)
605     b=0;
606     if iscell(p{i}), b=1; break, end
607 end
608 if b==1
609     p=[p{:}];
610     %Función recursiva
611     pSimple=problGeom.conjuntoSimpleArrays(p); %recursivo
612 else
613     pSimple=p;
614 end
615 end
616 %
617 %-----+
618
619 end
620 end
```

# Bibliografía

- [1] *Software Architecture and Design*. Tutorials Point.
- [2] John Burkardt. Brent's method, matlab version. [http://people.sc.fsu.edu/~jburkardt/m\\_src/brent/zero.m](http://people.sc.fsu.edu/~jburkardt/m_src/brent/zero.m).
- [3] Fernández Díaz-Munío, Rafael . *Plasticidad Abreviada 2001*. E.T.S.INGENIEROS CAMINOS C.P.MADRID, 1996.
- [4] Inkscape Project. Inkscape. <https://inkscape.org>.
- [5] John H. Mathews and Kurtis D. Fink. *Numerical Methods Using MATLAB*. Prentice Hall, 1999.
- [6] John W. Eaton, David Bateman, Soren Hauberg, and Rik Wehbring. *GNU Octave version 4.0.0 manual: a high-level interactive language for numerical computations*. 2015.
- [7] Johnson, Richard. *MATLAB Style Guidelines 2.0*. 2014.
- [8] Yong-Ming Li. Centroid, area, and moments of inertia. 1997.
- [9] Louis H. Turcotte and Howard B. Wilson. *Computer Applications in Mechanics of Materials Using MATLAB*. Prentice Hall, 1998.
- [10] Martha A. Brandstad and John C. Cherniavsky. Validation, verification, and testing for the individual programmer. 1980.
- [11] Miguel Cervera Ruiz and Elena Blanco Díaz. *Resistencia de Materiales*. CIMNE, 2015.
- [12] Park, J.S. *MATLAB GUI (Graphical User Interface) Tutorial for Beginners*. University of Incheon.
- [13] Perelli Botello, Jorge . *Resistencia de Materiales, Elasticidad y Plasticidad. Parte 2 Plasticidad*. RETINEO, 2013.
- [14] Pat Scott. *Practical Numerical Methods in Physics and Astronomy*.
- [15] W. Richards Adrion, Martha A. Brandstad, and John C. Cherniavsky. Validation, verification, and testing of computer software. 1982.
- [16] William H. Press, Saul A. Teukolsky, William T. Vetterling, and Brian P. Flannery. *Numerical Recipes in C. The Art of Scientific Computing*. Cambridge University Press, 2002.